

การสังเคราะห์เชรามิกและทนทานมั่นคงกานีสออกแบบ  
วิธีการปฏิกริยาการเผาใหม่ไฮล-เจล



วิทยานิพนธ์เสนอคณบัญชีวิทยาลัย มหาวิทยาลัยนเรศวร เพื่อเป็นส่วนหนึ่งของการศึกษา  
หลักสูตรปริญญาวิทยาศาสตร์มหาบัณฑิต  
สาขาวิชาพิสิกส์ประยุกต์  
มิถุนายน 2563  
ลิขสิทธิ์เป็นของมหาวิทยาลัยนเรศวร

วิทยานิพนธ์ เรื่อง “การสังเคราะห์เชรามิกแอลนทานัมแมกนีสืออโคไซด์ ที่เตรียมโดยวิธีการปูนกิริยา  
การเผาไหม้โซล-เจล”  
ของนางสาวนันทิชา ศรีวิชัย  
ได้รับการพิจารณาให้นับเป็นส่วนหนึ่งของการศึกษาตามหลักสูตร  
ปริญญาวิทยาศาสตรมหาบัณฑิต สาขาวิชาฟิสิกส์ประยุกต์

คณะกรรมการสอบวิทยานิพนธ์

.....  
.....  
(ผู้ช่วยศาสตราจารย์ ดร.วนัชร์ คล้ายแท้)

.....  
.....  
(ผู้ช่วยศาสตราจารย์ ดร.ทุมศักดิ์ โนไชยา)

.....  
.....  
(ผู้ช่วยศาสตราจารย์ ดร.ศศิพร ประเสริฐปาลิตัตร)

.....  
.....  
(ผู้ช่วยศาสตราจารย์ ดร.คชនทร์ แดงอุดม)

(ศาสตราจารย์ ดร.ไพศาล มูลีสว่าง)

คณะบดีบัณฑิตวิทยาลัย

๑๗ กันยายน ๒๕๖๓

## ประกาศคุณปการ

ผู้วิจัยขอทราบขอบพระคุณเป็นอย่างสูงในความกรุณาของ ผู้ช่วยศาสตราจารย์ ดร.ศราวุฒิ เดือนถ้า ที่ได้สละเวลาอันมีค่าที่ค่อยให้คำปรึกษา พร้อมทั้งให้คำแนะนำต่อต่องradeyle ในการทำวิทยานิพนธ์ฉบับนี้ รวมถึงผู้ช่วยศาสตราจารย์ ดร.ทนงศักดิ์ ในไชยา ประฐานที่ปรึกษาวิทยานิพนธ์ ที่ได้สละเวลาชี้แนะแนวทาง และขอขอบคุณคณะกรรมการวิทยานิพนธ์อันประกอบไปด้วย ผู้ช่วยศาสตราจารย์ ดร.ศศิพง ประเสริฐปานิชัตร ผู้ช่วยศาสตราจารย์ ดร.ค.เนนทร์ แคงอุดม และผู้ช่วยศาสตราจารย์ ดร.อนวัตร์ คล้ายแท้ กรรมการผู้ทรงคุณวุฒิ ที่ได้กรุณาให้คำแนะนำ ตลอดจนแก้ไขข้อบกพร่องของวิทยานิพนธ์ด้วยความเอาใจใส่จนทำให้วิทยานิพนธ์ฉบับนี้สำเร็จ ลุล่วงได้อย่างสมบูรณ์และทรงคุณค่า

ขอขอบคุณเจ้าหน้าที่และบุคลากรของคณะวิทยาศาสตร์ทุกท่านที่ให้ความช่วยเหลือ และอำนวยความสะดวกในการดำเนินงานวิจัยและขอขอบคุณนักศึกษาปริญญาโท และปริญญาเอก ของภาควิชาฟิสิกส์ที่ให้ความช่วยเหลือและเสียสละคิววิเคราะห์ในงานวิจัยเมื่อเวลาจำเป็น ตลอดจนให้คำปรึกษาเมื่อเวลาดำเนินงานวิจัยได้เกิดข้อผิดพลาด

เห็นอีสิ่งอื่นใดขอกราบขอบพระคุณบิดา มารดา รวมถึงบุคคลในครอบครัวของข้าพเจ้าที่ ให้กำลังและให้การสนับสนุนในทุก ๆ ด้านอย่างดีที่สุดเสมอมา

คุณค่าและคุณประโยชน์อันเพียงจะมีจากวิทยานิพนธ์ฉบับนี้ ข้าพเจ้าขอขอบและคุณศรัทธา ผู้มีพระคุณทุก ๆ ท่าน ข้าพเจ้าหวังเป็นอย่างยิ่งว่างานวิจัยนี้จะเป็นประโยชน์ไม่น้อยสำหรับ ผู้ต้องการศึกษาต่อไป

นันทิชา ศรีวิชัย

ชื่อเรื่อง	การสังเคราะห์เซรามิกและทานัมแมงกานีสออกไซด์ที่เตรียมโดยวิธีการปฏิกิริยาการเผาไหม้ไฮล-เจล
ผู้จัด	นันพิชา ศรีวิชัย
อาจารย์ที่ปรึกษา	ผู้ช่วยศาสตราจารย์ ดร. ทนงศักดิ์ ในไชยา
ประเภทสารนิพนธ์	วิทยานิพนธ์ ว.ม. สาขาวิชาฟิสิกส์ประยุกต์, มหาวิทยาลัยมหิดล, 2562
คำสำคัญ	แผนทานัมแมงกานีสออกไซด์ วิธีการเผาไหม้ของไฮล-เจล โครงสร้างเพอร์อฟส์ไกต์

### บทคัดย่อ

แผนทานัมแมงกานีสออกไซด์ ( $\text{LaMnO}_3$ : LMO) ถูกสังเคราะห์ด้วยกระบวนการไฮล-เจล ร่วมกับสารเชื้อเพลิงยูเรีย กรดซิตริก และไกลซีน ในอัตราส่วนระหว่างสารตั้งต้นต่อสารเชื้อเพลิง เป็น 1:0.1 1:0.2 และ 1:0.3 โดยไม่ลด นำสารตัวอย่างไปเผาแคลดไชน์ที่อุณหภูมิ 600 700 800 และ 900 องศาเซลเซียส เป็นเวลา 2 ชั่วโมง โดยศึกษาโครงสร้างผลึก โครงสร้างจุลภาค และขนาดอนุภาคของผลึก จากนั้นขึ้นรูปเป็นเซรามิกทำการศึกษาขนาดเกรณ ความหนาแน่น และทดสอบค่าความแข็งแบบวิกเกอร์ ด้วยเครื่องเงา เครื่องทดสอบความแข็งแบบจุลภาค ตามลำดับ จากการศึกษาโครงสร้างผลึกด้วยเทคนิคการเลี้ยวเบนของรังสีเอกซ์ (XRD) พบว่าผงผลึกและทานัมแมงกานีสออกไซด์เริ่มเกิดเฟสเพอร์อฟส์ไกต์ที่อุณหภูมิ 600 องศาเซลเซียส แต่โครงสร้างที่ได้ยังไม่สมบูรณ์ เนื่องจากยังพบเฟสของสารตั้งต้นหลงเหลืออยู่คือ  $\text{MnO}_2$   $\text{La}_2\text{O}_3$   $\text{LaO}$  และ  $\text{Mg}_5\text{O}_8$  นอกจากนี้ยังพบโครงสร้างของผงผลึกที่มีความบริสุทธิ์ในทุกสารเชื้อเพลิงที่อุณหภูมิ 900 องศาเซลเซียส ในอัตราส่วน 1:0.3 โดยไม่ลด โดยมีโครงสร้างเพอร์อฟส์ไกต์แบบรวมใบอีดวัลชีน สอดคล้องกับฐานข้อมูล JCPDS หมายเลข 50-0298 จากนั้นนำไปวิเคราะห์ด้วยกล้องจุลทรรศน์อิเล็กตรอนแบบส่องกราด (SEM) พบว่าผงผลึกที่เติมสารเชื้อเพลิงยูเรีย กรดซิตริก และไกลซีน ในอัตราส่วน 1:0.3 โดยไม่ลด อนุภาคมีลักษณะเป็นทรงกรวย เกาะกันอย่างหนาแน่น อนุภาคมีขนาดเฉลี่ยอยู่ที่ 147.40 147.34 และ 172.86 นาโนเมตร ตามลำดับ

จากการวิเคราะห์เซรามิกและทานัมแมงกานีสออกไซด์เผาชิ้นเดียวที่อุณหภูมิ 1000 1100 1200 และ 1300 องศาเซลเซียส พบว่า เซรามิกที่เตรียมร่วมกับสารเชื้อเพลิงยูเรียและกรดซิตริกเกิดการเปลี่ยนโครงสร้างจากการรวมใบอีดวัลเป็นออร์โกรอมบิคที่ช่วงอุณหภูมิ 1200 และ

1300 องศาเซลเซียส และเกิดเฟสเปลกปลอมของ  $\text{La}_2\text{MnO}_{4.15}$  สำหรับเซรามิกที่เตรียมร่วมกับสารเชือเพลิงไกลซีนพบความบริสุทธิ์ทุกช่วงอุณหภูมิ และมีโครงสร้างเพอร์อฟส์ไกท์แบบรวมใบอีดรัล เมื่อศึกษาโครงสร้างจุลภาคพบว่าเกرنเมชนาดใหญ่ขึ้นเมื่ออุณหภูมิการเผาชินเตอร์สูงขึ้น โดยมีขนาดเกรณอลี่ประมาณ 0.55-3.33 ไมโครเมตร ค่าความหนดตัวของเซรามิกลดลงตามทันทีเมื่อออกรีดที่เตรียมร่วมกับสารเชือเพลิงยูเรีย กรดซิตริก และไกลซีน มีอัตราการหนดตัวเพิ่มขึ้นเมื่ออุณหภูมิการเผาชินเตอร์สูงขึ้น และค่าความหนาแน่นจะมีค่าเพิ่มขึ้นเมื่ออุณหภูมิและเวลาในการเผาเชื้อเพิ่มขึ้น ซึ่งสอดคล้องกับค่าความแข็งซึ่งมีค่าความแข็งประมาณ 3.82-7.97 จิกะปาสคาด



Title	SYNTHESIS OF LANTHANUM MANGANESE OXIDE CERAMICS VIA SOL-GEL COMBUSTION TECHNIQUE
Author	Nanthicha Srivichai
Advisor	Assistant Professor Thanongsak Nochaiya, Ph.D.
Academic Paper	Thesis M.S. in Applied Physics, Naresuan University, 2019
Keywords	Lanthanum Manganese Oxide, Sol-gel combustion, Perovskite structure

## ABSTRACT

Lanthanum Manganese Oxide ( $\text{LaMnO}_3$ ; LMO) were prepared by sol-gel combustion method with using urea, citric acid and glycine as additional fuels. The molar ratios of sol-gel to fuel were 1:0.1, 1:0.2 and 1:0.3. All samples were calcined at the temperature of 600, 700, 800 and 900°C for 2 hours. The crystal structure, microstructure, average particles size were investigated using X-ray diffraction (XRD), scanning electron microscopy (SEM), respectively. After that, the LMO ceramics were prepared for crystal structure, grain size, density and hardness analyses using XRD, SEM, the Archimedes method and micro-hardness (vicker), respectively. The results showed that the analysis of the crystal structure via X-ray diffraction showed the perovskite phases of LMO and pyrochlore ( $\text{MnO}_2$ ,  $\text{La}_2\text{O}_3$ ,  $\text{LaO}$ ,  $\text{Mn}_5\text{O}_8$ ) were obtained after the calcination temperature of 600°C. Moreover the pure perovskite phases were found at the calcined temperature at 900°C in the 1:0.3 molar ratio, in all fuels. The synthesis LMO has an rhombohedral structure which corresponding to the JCPDS file no. 50-0298. The microstructure of LMO calcined powders was analyzed by a SEM technique, the LMO powders with the addition fuels of urea, citric acid and glycine with in the molar ratio of 1:0.3. The LMO particles were spherical in shape and agglomerated with their average sizes about 147.40, 147.34 and 172.86 nm, respectively.

The analysis of LMO ceramics structure via X-ray diffraction sintered at different temperature of 1000, 1100, 1200 and 1300°C. The XRD results of LMO ceramics the addition of urea and citric acid the temperature of 1200-1300°C showed the change of

the structure from rhombohedral to orthorhombic, and also presented pyrochlore phases of  $\text{La}_2\text{MnO}_{4.15}$ . The addition glycine fuel shown the pure perovskite phase as showed rhombohedral structure in all the samples. Furthermore the microstructure of LMO ceramics exhibited the grain sizes were larger corresponding with increase of sintering temperature. While the average grain size was about  $0.55\text{-}3.33 \mu\text{m}$ . The shrinkage of LMO ceramics with urea citric acid and glycine fuels was found to increase with increasing sintering temperature. In addition the density of LMO ceramics were presented to increase with increasing sintering temperature, and soaking period, which corresponding to Vickers hardness was about  $3.82\text{-}7.97 \text{ GPa}$ .



## สารบัญ

บทที่	หน้า
1 บทนำ.....	1
ความเป็นมาของปัจจุบัน.....	1
จุดมุ่งหมายของงานวิจัย.....	2
ขอบเขตของงานวิจัย.....	2
2 เอกสารและงานวิจัยที่เกี่ยวข้อง.....	3
การเดรียมเซรามิกด้วยวิธีกระบวนการโซล-เจล (Sol-gel Method).....	4
กระบวนการสังเคราะห์แบบเผาไหม้ (Combustion Synthesis).....	5
สมบัติเชิงไฟฟ้า (Piezoelectric property).....	6
เฟอร์โรอิเล็กทริก (Ferroelectric).....	8
โครงสร้างเพอร์โวฟลไกต์ (perovskite structure).....	11
พาราอิเล็กทริก (Paraelectric).....	13
เครื่องวิเคราะห์การเดี้ยวเบนของรังสีเอกซ์ (X-Ray Diffractometer; XRD).....	13
กล้องจุลทรรศน์อิเล็กตรอนแบบส่องภาพ (Scanning Electron Microscope; SEM).....	19
การชินเตอร์เซรามิก.....	21
การหาค่าความหนาแน่น.....	26
ค่าความหนดตัว.....	28
สมบัติเชิงกล (Mechanical properties).....	28
งานวิจัยที่เกี่ยวข้อง.....	31

## สารบัญ (ต่อ)

บทที่	หน้า
3 วิธีดำเนินการวิจัย.....	49
สารเคมีที่ใช้ในการทดลอง.....	49
อุปกรณ์ที่ใช้ในการเตรียมสาร.....	49
เครื่องมือที่ใช้เคราะห์ผล.....	50
วิธีการทดลอง.....	50
4 ผลการวิจัย.....	54
ผลการตรวจสอบลักษณะเฉพาะของผงลึกແلنทานมแมงกานีสออกไซด์ร่วมกับสารเชื้อเพลิงยูเรีย กรดซิตริก และไกลชีน.....	54
ผลการตรวจสอบลักษณะเฉพาะของเซรามิกແلنทานมแมงกานีสออกไซด์ร่วมกับสารเชื้อเพลิงยูเรีย กรดซิตริก และไกลชีน.....	81
ผลการตรวจสอบลักษณะเฉพาะของเซรามิกແلنทานมแมงกานีสออกไซด์ร่วมกับสารเชื้อเพลิงยูเรีย กรดซิตริก และไกลชีน ที่อุณหภูมิ 1300 องศาเซลเซียส ระยะเวลาเผา灼 4 8 และ 12 ชั่วโมง.....	95
5 บทสรุป.....	114
สรุปผลงานวิจัย.....	114
ข้อเสนอแนะ.....	115
บรรณานุกรม.....	116
ประวัติผู้วิจัย.....	120

## สารบัญตาราง

ตาราง	หน้า
1 แสดงกลไกการซินเตอร์.....	25
2 แสดงร้อยละความบริสุทธิ์ของผงผลึก LMO ที่เตรียมด้วยวิธีการปฏิกิริยา เเผ่ใหม่โซล-เจลร่วมกับสารเชื้อเพลิงญี่ปุ่น เกรดซิตติก และไกลซีน ในอัตราส่วน 1:0.1 1:0.2 และ 1:0.3 โดยไมล.....	79
3 แสดงขนาดอนุภาคเฉลี่ยของผงผลึก LMO ที่เตรียมด้วยวิธีการปฏิกิริยา เเผ่ใหม่โซล-เจล ร่วมกับสารเชื้อเพลิงญี่ปุ่น เกรดซิตติก และไกลซีน ในอัตราส่วน 1:0.1 1:0.2 และ 1:0.3 โดยไมล.....	80
4 แสดงขนาดอนุภาคเฉลี่ยของผงผลึก LMO ตามสมการ Scherrer ที่เตรียมด้วยวิธี การปฏิกิริยาเเผ่ใหม่โซล-เจล ร่วมกับสารเชื้อเพลิงญี่ปุ่น เกรดซิตติก และไกลซีน ในอัตราส่วน 1:0.1 1:0.2 และ 1:0.3 โดยไมล.....	80
5 แสดงขนาดเกราะเฉลี่ย ค่าร้อยละการหดตัว ค่าความหนาแน่นของเซรามิก และน้ำหนักของเซรามิกที่อุณหภูมิ 1000-1300 องศาเซลเซียส เป็นเวลา 4 ชั่วโมง.....	85
6 แสดงขนาดเกราะเฉลี่ย ค่าร้อยละการหดตัว ค่าความหนาแน่นของเซรามิก และน้ำหนักของเซรามิกที่อุณหภูมิ 1000-1300 องศาเซลเซียส เป็นเวลา 4 ชั่วโมง.....	89
7 แสดงขนาดเกราะเฉลี่ย ค่าร้อยละการหดตัว ค่าความหนาแน่นของเซรามิก และน้ำหนักของเซรามิกที่อุณหภูมิ 1000-1300 องศาเซลเซียส เป็นเวลา 4 ชั่วโมง.....	93
8 แสดงขนาดเกราะเฉลี่ย ค่าร้อยละการหดตัว ค่าความหนาแน่นของเซรามิก และน้ำหนักของเซรามิกที่อุณหภูมิ 1300 องศาเซลเซียส เป็นเวลา 4 8 และ 12 ชั่วโมง.....	99
9 แสดงค่าความแข็งระดับจุดภาคแบบวิกเกอร์ของเซรามิกและน้ำหนักของเซรามิกที่อุณหภูมิ 1300 องศาเซลเซียส เป็นเวลา 4 8 และ 12 ชั่วโมง.....	101

## สารบัญตาราง (ต่อ)

ตาราง	หน้า
10 แสดงขนาดเกรนเคลือบ ค่าร้อยละการหดตัว ค่าความหนาแน่นของเซรามิก <sup> LEN</sup> บนพื้นแมงกานีสออกไซด์ร่วมกับสารเชื้อเพลิงกรดซิตริกที่อุณหภูมิ 1300 องศาเซลเซียส เป็นเวลา 48 และ 12 ชั่วโมง.....	105
11 แสดงค่าความแข็งระดับจุลภาคแบบวิกเกอร์ของเซรามิกบนพื้นแมงกานีสออกไซด์ร่วมกับสารเชื้อเพลิงกรดซิตริกที่อุณหภูมิ 1300 องศาเซลเซียส เป็นเวลา 48 และ 12 ชั่วโมง.....	107
12 แสดงขนาดเกรนเคลือบ ค่าร้อยละการหดตัว ค่าความหนาแน่นของเซรามิก <sup> LEN</sup> บนพื้นแมงกานีสออกไซด์ร่วมกับสารเชื้อเพลิงไกลซีนที่อุณหภูมิ 1300 องศาเซลเซียส เป็นเวลา 48 และ 12 ชั่วโมง.....	111
13 แสดงค่าความแข็งระดับจุลภาคแบบวิกเกอร์ของเซรามิกบนพื้นแมงกานีสออกไซด์ร่วมกับสารเชื้อเพลิงไกลซีนที่อุณหภูมิ 1300 องศาเซลเซียส เป็นเวลา 48 และ 12 ชั่วโมง.....	112

## สารบัญภาพ

ภาพ	หน้า
1 ความสัมพันธ์ระหว่างอุณหภูมิกับเวลาในการเกิดปฏิกิริยาการเผาไหม้.....	6
2 ปรากฏการณ์พิโซอิเล็กทริกในวัสดุ (ก) แบบตรง และ (ข) แบบผันกลับ.....	7
3 แผนภาพแสดงการแบ่งกลุ่มพิโซอิเล็กทริกและกลุ่มปอย.....	8
4 ความต่างเพสระระหว่างกระแสงลับ (I) และศักยไฟฟ้า (U) ของวัสดุไดอิเล็กทริก (ก) กรณีไม่มีการสูญเสียพลังงาน และ (ข) กรณีมีการสูญเสียพลังงาน.....	10
5 วงรอบอีสเทอเรียมีสระระหว่างโพลาไรเซชันกับสนามไฟฟ้าในสารเฟริโออิเล็กทริก.....	11
6 หน่วยเซลล์แบบเพอร์ฟสไกท์ ( $ABO_3$ ).....	12
7 วงรอบอีสเทอเรียมีสระระหว่างโพลาไรเซชันกับสนามไฟฟ้า (ก) สารเอนติเฟริโอ อิเล็กทริก และ (ข) สารพาราอิเล็กทริก.....	13
8 หลักการทำงานเครื่องวิเคราะห์การเลี้ยวเบนของรังสีเอกซ์.....	14
9 แบบจำลองสำหรับการพิสูจน์กุญแจของแบรกก์.....	16
10 หลักการทำงานกล้องจุลทรรศน์อิเล็กตรอนแบบส่องกราด (SEM).....	19
11 พลังงานขั้นสำหรับการชนเตอร์.....	21
12 กลไกที่มีผลต่อการชนเตอร์ของอนุภาคผลึก.....	24
13 การเปลี่ยนแปลงที่เกิดขึ้นขณะชนเตอร์.....	26
14 เครื่องทดสอบความแข็งแบบจุลภาค (Jinan Testing Equipment IE Corporation) รุ่น HV-1000.....	28
15 ลักษณะหากดและรอยกดแบบบิกเกอร์.....	30
16 ผลการวิเคราะห์โครงสร้างผลึกของผงผลึกแلنทดานัมแมงกานีสออกไซด์ เฟอเคลไชน์ที่อุณหภูมิ 300 องศาเซลเซียส.....	32
17 ผลการวิเคราะห์โครงสร้างจุลภาคของผงผลึกแلنทดานัมแมงกานีสออกไซด์ ขัตตราส่วน $CA/MN = 0.5$ 1 และ 1.5 ตามลำดับ เคลไชน์ที่อุณหภูมิ 300 องศาเซลเซียส.....	32
18 ผลการวิเคราะห์โครงสร้างผลึกของผงผลึกแلنทดานัมแมงกานีสออกไซด์ เฟอเคลไชน์ที่อุณหภูมิ 600 700 800 และ 900 องศาเซลเซียส เป็นเวลา 3 ชั่วโมง.....	34

## สารบัญภาพ (ต่อ)

ภาพ	หน้า
19 ผลการวิเคราะห์โครงสร้างจุลภาคของผงผลึกและท่าน้ำมั่นแมงกานีสออกไซด์ เผาเคลื่อนที่อุณหภูมิ (ก) 600 (ข) 700 (ค) 800 และ (ง) 900 องศาเซลเซียส เป็นเวลา 3 ชั่วโมง.....	34
20 ผลการวิเคราะห์โครงสร้างผลึกของผงผลึกและท่าน้ำมั่นแมงกานีสออกไซด์เผา เคลื่อนที่อุณหภูมิ 900 องศาเซลเซียส เป็นเวลา 2 ชั่วโมง.....	35
21 ผลการวิเคราะห์สเปกตรัมของธาตุเชิงคุณภาพของอนุภาคนามะแลนท่าน้ำมั่น แมงกานีสออกไซด์เคลื่อนที่ 800 องศาเซลเซียสเป็นเวลา 2 ชั่วโมง.....	36
22 ผลการวิเคราะห์โครงสร้างจุลภาคของผงผลึกและท่าน้ำมั่นแมงกานีสออกไซด์ เคลื่อนที่อุณหภูมิ 800 องศาเซลเซียส เป็นเวลา 2 ชั่วโมง ที่กำลังขยาย ต่างกัน.....	36
23 ผลการวิเคราะห์โครงสร้างผลึกของผงผลึกและท่าน้ำมั่นแมงกานีสออกไซด์ที่เติม $PVA = 0$ และ 5 มิลลิลิตร.....	37
24 ผลการวิเคราะห์โครงสร้างจุลภาคผลึกของผงผลึกและท่าน้ำมั่นแมงกานีสออกไซด์ ที่เติม $PVA = 0$ และ 5 มิลลิลิตร.....	38
25 ผลการวิเคราะห์ด้วยเทคนิคการเลี้ยวเบนของรังสีเอกซ์แบบ Rietveld refinement ของเซรามิกและท่าน้ำมั่นแมงกานีสออกไซด์ที่เตรียมโดยเทคนิค สปาร์คพลาสม่า.....	39
26 ภาพถ่ายด้วยกล้องจุลทรรศน์อิเล็กทรอนแบบส่องการดูแบบช่องเซรามิก และท่าน้ำมั่นแมงกานีสออกไซด์ที่เตรียมโดยเทคนิคสปาร์คพลาสม่า.....	39
27 อุณหภูมิของการเผาเคลื่อนที่ขึ้นกับอุณหภูมิความหนาแน่น เผาเคลื่อนที่อุณหภูมิ ต่าง ๆ เป็นเวลา 10 ชั่วโมง.....	41
28 อุณหภูมิการเผาขึ้นอยู่กับความหนาแน่นโดยเลือกผงจากการเผาเคลื่อนที่ ที่อุณหภูมิ 500 องศาเซลเซียส มาเผาขึ้นเตอร์โมสภาวะอากาศที่อุณหภูมิ ต่าง ๆ เป็นเวลา 10 ชั่วโมง.....	41

## สารบัญภาพ (ต่อ)

ภาพ	หน้า
29 ภาพถ่ายด้วยกล้องจุลทรรศน์อิเล็กตรอนแบบส่องการดูของ $\text{La}_{1-x}\text{Sr}_x\text{MnO}_3$ เผาชิ้นเตอร์ในสภาวะอากาศที่อุณหภูมิ 1300 องศาเซลเซียส เป็นเวลา 10 ชั่วโมง (ก) $x=0.0$ , (ข) $X=0.2$ และ (ค) $x=0.4$ ซม.ก 5 มิลลิเมตร.....	42
30 ค่าความหนาแน่นของตัวอย่างที่เผาชิ้นเตอร์ในสภาวะอากาศและระบบ สูญญากาศที่อุณหภูมิ 1300 องศาเซลเซียส เป็นเวลา 10 ชั่วโมง.....	42
31 รูปแบบการเลี้ยวเบนของรังสีเอกซ์ของฟิล์มน้ำที่อุณหภูมิห้อง (ก) BFO- $x$ LM ( $x=0.2\ 4\ 5\ 6\ 8$ และ 10%) และ (ข) BFO-5La และ BFO-5Mn.....	43
32 รูปแบบการเลี้ยวเบนของรังสีเอกซ์ของผงสม $\text{La}_2\text{O}_3$ และ $\text{MnO}_2$ ( $\text{La}/\text{Mn}=0.95$ ).....	45
33 เส้นโค้ง TG-DSC ของผงสม $\text{La}_2\text{O}_3$ และ $\text{MnO}_2$ ( $\text{La}/\text{Mn}=0.95$ ) .....	45
34 รูปแบบการเลี้ยวเบนของรังสีเอกซ์ของ $\text{La}_{0.95}\text{MnO}_3$ .....	46
35 รูปแบบการเลี้ยวเบนของรังสีเอกซ์ของ $\text{LaMnO}_3$ .....	46
36 รูปแบบการเลี้ยวเบนของรังสีเอกซ์ของเซรามิก $\text{La}_{1-x}\text{Mg}_x\text{MnO}_3$ ที่ $x = 0.1\ 0.25$ และ 0.50.....	47
37 ภาพถ่ายด้วยกล้องจุลทรรศน์อิเล็กตรอนแบบส่องการดูของเซรามิก $\text{La}_{1-x}\text{Mg}_x\text{MnO}_3$ ที่ $x = (ก)0.1\ (ข)0.25$ และ (ค)0.50.....	47
38 รูปแบบการเลี้ยวเบนของรังสีเอกซ์ของ (ก) LMO-SG (ข) LMO-GC และ (ค) LMO-CP.....	48
39 แผนผังการเตรียมผงผลึกแลนทานัมแมงกานีสออกไซด์.....	52
40 แผนผังการเตรียมเซรามิกแลนทานัมแมงกานีสออกไซด์.....	53
41 รูปแบบการเลี้ยวเบนของรังสีเอกซ์ของผงผลึกแลนทานัมแมงกานีสออกไซด์.....	55
42 ภาพถ่ายด้วยกล้องจุลทรรศน์อิเล็กตรอนแบบส่องการดูของผงผลึกแลนทานัม แมงกานีสออกไซด์ เผาเคลื่อนที่อุณหภูมิ (ก) 600 องศาเซลเซียส (ข) 700 องศาเซลเซียส (ค) 800 องศาเซลเซียส และ (ง) 900 องศาเซลเซียส เป็นเวลา 2 ชั่วโมง.....	56

## สารบัญภาพ (ต่อ)

ภาพ	หน้า
43 รูปแบบการเลี้ยวเบนของรังสีเอกซ์ของผงผลึกแلنทานัมแมงกานีสออกไซด์ร่วมกับสารเชือเพลิงยูเรียในอัตราส่วน 1:0.1 โดยโมล แคลไธน์ที่อุณหภูมิ 600-900 องศาเซลเซียส เป็นเวลา 2 ชั่วโมง.....	58
44 รูปแบบการเลี้ยวเบนของรังสีเอกซ์ของผงผลึกแلنทานัมแมงกานีสออกไซด์ร่วมกับสารเชือเพลิงยูเรียในอัตราส่วน 1:0.2 โดยโมล แคลไธน์ที่อุณหภูมิ 600-900 องศาเซลเซียส เป็นเวลา 2 ชั่วโมง.....	59
45 รูปแบบการเลี้ยวเบนของรังสีเอกซ์ของผงผลึกแلنทานัมแมงกานีสออกไซด์ร่วมกับสารเชือเพลิงยูเรียในอัตราส่วน 1:0.3 โดยโมล แคลไธน์ที่อุณหภูมิ 600-900 องศาเซลเซียส เป็นเวลา 2 ชั่วโมง.....	60
46 ภาพถ่ายด้วยกล้องจุลทรรศน์อิเล็กตรอนแบบสองกราดของผงผลึกแلنทานัมแมงกานีสออกไซด์ร่วมกับสารเชือเพลิงยูเรีย ในอัตราส่วน 1:0.1 โดยโมล เฟาแคลไธน์ที่อุณหภูมิ (ก) 600 องศาเซลเซียส (ข) 700 องศาเซลเซียส (ค) 800 องศาเซลเซียส และ (ง) 900 องศาเซลเซียส เป็นเวลา 2 ชั่วโมง.....	61
47 ภาพถ่ายด้วยกล้องจุลทรรศน์อิเล็กตรอนแบบสองกราดของผงผลึกแلنทานัมแมงกานีสออกไซด์ร่วมกับสารเชือเพลิงยูเรีย ในอัตราส่วน 1:0.2 โดยโมล เฟาแคลไธน์ที่อุณหภูมิ (ก) 600 องศาเซลเซียส (ข) 700 องศาเซลเซียส (ค) 800 องศาเซลเซียส และ (ง) 900 องศาเซลเซียส เป็นเวลา 2 ชั่วโมง.....	62
48 ภาพถ่ายด้วยกล้องจุลทรรศน์อิเล็กตรอนแบบสองกราดของผงผลึกแلنทานัมแมงกานีสออกไซด์ร่วมกับสารเชือเพลิงยูเรีย ในอัตราส่วน 1:0.3 โดยโมล เฟาแคลไธน์ที่อุณหภูมิ (ก) 600 องศาเซลเซียส (ข) 700 องศาเซลเซียส (ค) 800 องศาเซลเซียส และ (ง) 900 องศาเซลเซียส เป็นเวลา 2 ชั่วโมง.....	63
49 รูปแบบการเลี้ยวเบนของรังสีเอกซ์ของผงผลึกแلنทานัมแมงกานีสออกไซด์ร่วมกับสารเชือเพลิงกรดซีติริกในอัตราส่วน 1:0.1 โดยโมล แคลไธน์ที่อุณหภูมิ 600-900 องศาเซลเซียส เป็นเวลา 2 ชั่วโมง.....	65

## สารบัญภาพ (ต่อ)

ภาพ	หน้า
50 รูปแบบการเจี้ยวเบนของรังสีเอกซ์ของผงผลึกแلنทานัมแมงกานีสออกไซด์ร่วมกับสารเชือเพลิงกรดซิตริกในอัตราส่วน 1:0.2 โดยโมล แคลไชน์ที่อุณหภูมิ 600-900 องศาเซลเซียส เป็นเวลา 2 ชั่วโมง.....	66
51 รูปแบบการเจี้ยวเบนของรังสีเอกซ์ของผงผลึกแلنทานัมแมงกานีสออกไซด์ร่วมกับสารเชือเพลิงกรดซิตริกในอัตราส่วน 1:0.3 โดยโมล แคลไชน์ที่อุณหภูมิ 600-900 องศาเซลเซียส เป็นเวลา 2 ชั่วโมง.....	67
52 ภาพถ่ายด้วยกล้องจุลทรรศน์อิเล็กตรอนแบบส่องการดูของผงผลึกแلنทานัม แมงกานีสออกไซด์ร่วมกับสารเชือเพลิงกรดซิตริก ในอัตราส่วน 1:0.1 โดยโมล เผาแคลไชน์ที่อุณหภูมิ (ก) 600 องศาเซลเซียส (ข) 700 องศาเซลเซียส (ค) 800 องศาเซลเซียส และ (ง) 900 องศาเซลเซียส เป็นเวลา 2 ชั่วโมง.....	68
53 ภาพถ่ายด้วยกล้องจุลทรรศน์อิเล็กตรอนแบบส่องการดูของผงผลึกแلنทานัม แมงกานีสออกไซด์ร่วมกับสารเชือเพลิงกรดซิตริก ในอัตราส่วน 1:0.2 โดยโมล เผาแคลไชน์ที่อุณหภูมิ (ก) 600 องศาเซลเซียส (ข) 700 องศาเซลเซียส (ค) 800 องศาเซลเซียส และ (ง) 900 องศาเซลเซียส เป็นเวลา 2 ชั่วโมง.....	69
54 ภาพถ่ายด้วยกล้องจุลทรรศน์อิเล็กตรอนแบบส่องการดูของผงผลึกแلنทานัม แมงกานีสออกไซด์ร่วมกับสารเชือเพลิงกรดซิตริก ในอัตราส่วน 1:0.3 โดยโมล เผาแคลไชน์ที่อุณหภูมิ (ก) 600 องศาเซลเซียส (ข) 700 องศาเซลเซียส (ค) 800 องศาเซลเซียส และ (ง) 900 องศาเซลเซียส เป็นเวลา 2 ชั่วโมง.....	70
55 รูปแบบการเจี้ยวเบนของรังสีเอกซ์ของผงผลึกแلنทานัมแมงกานีสออกไซด์ร่วมกับสารเชือเพลิงไกลเชินในอัตราส่วน 1:0.1 โดยโมล แคลไชน์ที่อุณหภูมิ 600-900 องศาเซลเซียส เป็นเวลา 2 ชั่วโมง.....	72
56 รูปแบบการเจี้ยวเบนของรังสีเอกซ์ของผงผลึกแلنทานัมแมงกานีสออกไซด์ร่วมกับสารเชือเพลิงไกลเชินในอัตราส่วน 1:0.2 โดยโมล แคลไชน์ที่อุณหภูมิ 600-900 องศาเซลเซียส เป็นเวลา 2 ชั่วโมง.....	73

## สารบัญภาพ (ต่อ)

ภาพ	หน้า
57 รูปแบบการเลี้ยงเบนของรังสีเอกซ์ของผงผลึกแلنทานัมแมงกานีสออกไซด์ร่วมกับสารเชือเพลิงไกลซีนในอัตราส่วน 1:0.3 โดยไม่แลคไชน์ที่อุณหภูมิ 600-900 องศาเซลเซียส เป็นเวลา 2 ชั่วโมง.....	74
58 ภาพถ่ายด้วยกล้องจุลทรรศโนธิเล็กตรอนแบบส่องการดูของผงผลึกแلنทานัมแมงกานีสออกไซด์ร่วมกับสารเชือเพลิงไกลซีน ในอัตราส่วน 1:0.1 โดยไม่แลคไชน์ที่อุณหภูมิ (ก) 600 องศาเซลเซียส (ข) 700 องศาเซลเซียส (ค) 800 องศาเซลเซียส และ (ง) 900 องศาเซลเซียส เป็นเวลา 2 ชั่วโมง.....	75
59 ภาพถ่ายด้วยกล้องจุลทรรศโนธิเล็กตรอนแบบส่องการดูของผงผลึกแلنทานัมแมงกานีสออกไซด์ร่วมกับสารเชือเพลิงไกลซีน ในอัตราส่วน 1:0.2 โดยไม่แลคไชน์ที่อุณหภูมิ (ก) 600 องศาเซลเซียส (ข) 700 องศาเซลเซียส (ค) 800 องศาเซลเซียส และ (ง) 900 องศาเซลเซียส เป็นเวลา 2 ชั่วโมง.....	76
60 ภาพถ่ายด้วยกล้องจุลทรรศโนธิเล็กตรอนแบบส่องการดูของผงผลึกแلنทานัมแมงกานีสออกไซด์ร่วมกับสารเชือเพลิงไกลซีน ในอัตราส่วน 1:0.3 โดยไม่แลคไชน์ที่อุณหภูมิ (ก) 600 องศาเซลเซียส (ข) 700 องศาเซลเซียส (ค) 800 องศาเซลเซียส และ(ง) 900 องศาเซลเซียส เป็นเวลา 2 ชั่วโมง.....	77
61 รูปแบบการเลี้ยงเบนของรังสีเอกซ์ของเซรามิกแلنทานัมแมงกานีสออกไซด์ร่วมกับสารเชือเพลิงญี่เรียวที่อุณหภูมิในการหินเตอร์ 1200-1300 องศาเซลเซียส เป็นเวลา 4 ชั่วโมง.....	82
62 ภาพถ่ายด้วยกล้องจุลทรรศโนธิเล็กตรอนแบบส่องการดูของเซรามิกแلنทานัมแมงกานีสออกไซด์ร่วมกับสารเชือเพลิงญี่เรียว เผาหินเตอร์ที่อุณหภูมิ (ก) 1000 องศาเซลเซียส (ข) 1100 องศาเซลเซียส (ค) 1200 องศาเซลเซียส และ (ง) 1300 องศาเซลเซียส เป็นเวลา 4 ชั่วโมง.....	84

## สารบัญภาพ (ต่อ)

ภาพ	หน้า
63 รูปแบบการเลี้ยวเบนของรังสีเอกซ์ของเซรามิกແລນທານັ້ນແມງການຝຶກໄຊດ້ວ່າມກັບ ສາຮື່ອເພີ້ງຈິຕົກທີ່ອຸນຫຼວມໃນການຈິນເຕອຣ໌ 1200-1300 ອົງສາເໜລເໜີຍສ ເປັນເວລາ 4 ຊົ່ວໂມງ.....	86
64 ກາພຖ່າຍດ້ວຍກຳລັອງຈຸລທຽບສະອູນອີເລີກຕອນແບບສ່ອງກາດຂອງເຊົາມືກແລນທານັ້ນ ແມງການຝຶກໄຊດ້ວ່າມກັບສາຮື່ອເພີ້ງຈິຕົກ ເມາຈິນເຕອຣ໌ທີ່ອຸນຫຼວມ (ກ) 1000 ອົງສາເໜລເໜີຍສ (ຂ) 1100 ອົງສາເໜລເໜີຍສ (ຄ) 1200 ອົງສາເໜລເໜີຍສ ແລະ (ງ) 1300 ອົງສາເໜລເໜີຍສ ເປັນເວລາ 4 ຊົ່ວໂມງ.....	88
65 รูปแบบการเลี้ยวเบนของຮັບສີເອົກຂົງຂອງເຊົາມືກແລນທານັ້ນແມງການຝຶກໄຊດ້ວ່າມກັບ ສາຮື່ອເພີ້ງໄກລື້ນທີ່ອຸນຫຼວມໃນການຈິນເຕອຣ໌ 1200-1300 ອົງສາເໜລເໜີຍສ ເປັນເວລາ 4 ຊົ່ວໂມງ.....	90
66 ກາພຖ່າຍດ້ວຍກຳລັອງຈຸລທຽບສະອູນອີເລີກຕອນແບບສ່ອງກາດຂອງເຊົາມືກແລນທານັ້ນ ແມງການຝຶກໄຊດ້ວ່າມກັບສາຮື່ອເພີ້ງໄກລື້ນ ເມາຈິນເຕອຣ໌ທີ່ອຸນຫຼວມ (ກ) 1000 ອົງສາເໜລເໜີຍສ (ຂ) 1100 ອົງສາເໜລເໜີຍສ (ຄ) 1200 ອົງສາເໜລເໜີຍສ ແລະ (ງ) 1300 ອົງສາເໜລເໜີຍສ ເປັນເວລາ 4 ຊົ່ວໂມງ.....	92
67 ກາຮັບສີ (ກ) ຂະດເກຣນເລື່ອຍ ແລະ (ຂ) ຄວາມໜ່າແໜ່ນ ຂອງເຊົາມືກແລນທານັ້ນ ແມງການຝຶກໄຊດ້ວ່າມກັບສາຮື່ອເພີ້ງຢູ່ເວີຍ ກາດຈິຕົກ ແລະໄກລື້ນ ທີ່ອຸນຫຼວມ 1000-1300 ອົງສາເໜລເໜີຍສ.....	94
68 ຮູບແບບການເລື້ອງເວັບຂອງຮັບສີເອົກຂົງຂອງເຊົາມືກແລນທານັ້ນແມງການຝຶກໄຊດ້ວ່າມກັບ ສາຮື່ອເພີ້ງຢູ່ເວີຍທີ່ອຸນຫຼວມໃນການຈິນເຕອຣ໌ 1300 ອົງສາເໜລເໜີຍສເປັນເວລາ 4 8 ແລະ 12 ຊົ່ວໂມງ.....	96
69 ຮູບແບບການເລື້ອງເວັບຂອງຮັບສີເອົກຂົງຂອງເຊົາມືກແລນທານັ້ນແມງການຝຶກໄຊດ້ວ່າມກັບ ສາຮື່ອເພີ້ງຢູ່ເວີຍທີ່ອຸນຫຼວມໃນການຈິນເຕອຣ໌ 1300 ອົງສາເໜລເໜີຍສເປັນເວລາ 4 ແລະ 8 ຊົ່ວໂມງ.....	96

## สารบัญภาพ (ต่อ)

ภาพ	หน้า
70 ภาพถ่ายด้วยกล้องจุลทรรศน์อิเล็กตรอนแบบส่องการดูของเชรามิกແລນທານັ້ນ ແມງການີສອອກໄຊດໍຮ່ວມກັບສາວເຫຼືອເພີ້ງຢູ່ເງົາຊີນເຕອຣ໌ທີ່ອຸນໜູມ 1300 ອົງຄາເໜລເຫືຍສ ເປັນເວລາ (ກ) 4 ຊົ່ວໂມງ (ຂ) 8 ຊົ່ວໂມງ ແລະ (ຄ) 12 ຊົ່ວໂມງ.....	98
71 ภาพถ่ายด้วยกล้องຈุลทรรศນ์ແສງກຳລັງຂໍ້າຍ 400 ເທົ່າຂອງຮອຍກົດແບບວິກເກອ້ງ ຂອງເໝາມືກແລນທານັ້ນແມງການີສອອກໄຊດໍຮ່ວມກັບສາວເຫຼືອເພີ້ງຢູ່ເງົາຊີນເຕອຣ໌ທີ່ອຸນໜູມ 1300 ອົງຄາເໜລເຫືຍສ ເປັນເວລາ (ກ) 4 ຊົ່ວໂມງ (ຂ) 8 ຊົ່ວໂມງ ແລະ (ຄ) 12 ຊົ່ວໂມງ.....	100
72 ຮູບແບບການເລື່ອຍແບນຂອງຮັງສີເອກົ້າຂອງເໝາມືກແລນທານັ້ນແມງການີສອອກໄຊດໍ ຮ່ວມກັບສາວເຫຼືອເພີ້ງກົດຊີຕິວິກທີ່ອຸນໜູມໃນການຊື່ນເຕອຣ໌ 1300 ອົງຄາເໜລເຫືຍສ ເປັນເວລາ 4 8 ແລະ 12 ຊົ່ວໂມງ.....	102
73 ภาพถ่ายด้วยกล้องຈุลทรรศນ์ອີເລີກຕຽນແບບສ່ອງກາດຂອງເໝາມືກແລນທານັ້ນ ແມງການີສອອກໄຊດໍຮ່ວມກັບສາວເຫຼືອເພີ້ງກົດຊີຕິວິກ ເງົາຊີນເຕອຣ໌ທີ່ອຸນໜູມ 1300 ອົງຄາເໜລເຫືຍສ ເປັນເວລາ (ກ) 4 ຊົ່ວໂມງ (ຂ) 8 ຊົ່ວໂມງ ແລະ (ຄ) 12 ຊົ່ວໂມງ.....	104
74 ภาพถ่ายด้วยกล้องຈุลทรรศນ์ແສງກຳລັງຂໍ້າຍ 400 ເທົ່າຂອງຮອຍກົດແບບວິກເກອ້ງ ຂອງເໝາມືກແລນທານັ້ນແມງການີສອອກໄຊດໍຮ່ວມກັບສາວເຫຼືອເພີ້ງກົດຊີຕິວິກ ເງົາຊີນເຕອຣ໌ທີ່ອຸນໜູມ 1300 ອົງຄາເໜລເຫືຍສ ເປັນເວລາ (ກ) 4 ຊົ່ວໂມງ (ຂ) 8 ຊົ່ວໂມງ ແລະ (ຄ) 12 ຊົ່ວໂມງ.....	106
75 ແສດງຮູບແບບການເລື່ອຍແບນຂອງຮັງສີເອກົ້າຂອງເໝາມືກແລນທານັ້ນແມງການີອອກໄຊດໍ ຮ່ວມກັບສາວເຫຼືອເພີ້ງໄກລຊື່ນທີ່ອຸນໜູມໃນການຊື່ນເຕອຣ໌ 1300 ອົງຄາເໜລເຫືຍສ ເປັນເວລາ 4 8 ແລະ 12 ຊົ່ວໂມງ.....	108
76 ภาพถ่ายด้วยกล้องຈุลทรรศນ์ອີເລີກຕຽນແບບສ່ອງກາດຂອງເໝາມືກແລນທານັ້ນ ແມງການີສອອກໄຊດໍຮ່ວມກັບສາວເຫຼືອເພີ້ງໄກລຊື່ນ ເງົາຊີນເຕອຣ໌ທີ່ອຸນໜູມ 1300 ອົງຄາເໜລເຫືຍສ ເປັນເວລາ (ກ) 4 ຊົ່ວໂມງ (ຂ) 8 ຊົ່ວໂມງ ແລະ (ຄ) 12 ຊົ່ວໂມງ...	110

## สารบัญภาพ (ต่อ)

ภาพ	หน้า
77 ภาพถ่ายด้วยกล้องจุลทรรศน์แสดงกำลังขยาย 400 เท่าของรอยกดแบบวิกเกอร์ ของเซรามิกและทนทานมั่นคงกว่าน้ำยาซีดร่วมกับสารเชื้อเพลิงไกลีน เผาชิ้นเตอร์ที่อุณหภูมิ 1300 องศาเซลเซียส เป็นเวลา (ก) 4 ชั่วโมง (ข) 8 ชั่วโมง และ (ค) 12 ชั่วโมง.....	112
78 กราฟแสดง (ก) ขนาดการนวด (ข) ความหนาแน่น และ (ค) ความแข็งของ เซรามิกและทนทานมั่นคงกว่าน้ำยาซีดร่วมกับสารเชื้อเพลิงยูเรีย กรณีติด และไกลีน ที่อุณหภูมิ 1300 องศาเซลเซียส เป็นเวลา 4 8 และ 12 ชั่วโมง.....	113



## บทที่ 1

### บทนำ

#### ความเป็นมาของปัญหา

ในปัจจุบันเป็นที่ทราบกันดีว่าวัสดุที่มีขนาดอนุภาคหรือผลึกในระดับนาโนสามารถแสดงสมบัติที่แตกต่างไปจากวัสดุที่มีขนาดอนุภาคใหญ่ถึงแม้ว่าจะเป็นวัสดุชนิดเดียวกันก็ตามนักวิจัยจึงให้ความสนใจแก้วัสดุที่มีขนาดของผลึกอยู่ในระดับนาโน จึงทำให้มีการค้นคว้าถึงวิธีการและแนวทางในการสังเคราะห์วัสดุนาโนให้ได้สมบัติที่เหมาะสมต่อการนำไปประยุกต์ใช้งาน และเป็นที่ทราบกันดีว่ากระบวนการรวมถึงเงื่อนไขที่ใช้ในการสังเคราะห์วัสดุเป็นปัจจัยที่มีอิทธิพลต่อสมบัติของวัสดุโดยทั่วไปทั้งในด้านของโครงสร้างผลึก สมบัติทางแม่เหล็ก สมบัติทางไฟฟ้า และสมบัติทางแสง ซึ่งนอกจากนี้ขนาดของอนุภาคหรือขนาดของผลึกที่สังเคราะห์ได้นั้นก็มีความสำคัญเป็นอย่างมาก เพราะเป็นปัจจัยที่สามารถช่วยส่งผลต่ออุณหภูมิที่ใช้ในการเผาต่อปฏิกิริยาเพื่อเปลี่ยนโครงสร้างเฟสของวัสดุให้ต่างๆ อีกทั้งขนาดของอนุภาคยังส่งผลต่อคุณภาพและพฤติกรรมของวัสดุหลังการเผาผ่านที่ได้ขึ้น (1)

LEN THAN NAM MAGNANE SOKOK ITZED (LaMnO<sub>3</sub>) เป็นเซรามิกที่มีสมบัติเป็นเฟโรโวิเล็กทริก (Ferroelectric) ซึ่งเป็นสารประกอบออกไซด์ที่มีโครงสร้างเป็นแบบเพอร์โสวไกต์ (Perovskite, ABO<sub>3</sub>) ซึ่งในปัจจุบันสารในกลุ่มนี้ได้รับความสนใจเป็นอย่างมาก เนื่องด้วยคุณสมบัติที่โดดเด่นเชิงได้มีการนำมาประยุกต์ใช้งานได้หลากหลาย เช่น ข้อวิลเล็กไตรดินเซลล์หรือเพลิงของสารประกอบออกไซด์แบบแข็ง (Solid oxide fuel cell, SOFC) (2) ตัวต้านทานเชิงแม่เหล็กระดับสูง (Giant magneto resistor) (3) คุปกรอนตัวจั่วต่างทางเคมี หรือใช้เป็นตัวเร่งปฏิกิริยา (Catalyst) (4) ในระบบการควบคุมมลพิษที่เกิดจากไอเสียของเครื่องยนต์ เป็นต้น ซึ่งในการประยุกต์ใช้งานดังกล่าวจำเป็นที่จะต้องสังเคราะห์สารที่มีขนาดอนุภาคอยู่ในระดับนาโนเมตร เนื่องจากทำให้มีพื้นผิวจำเพาะ (Specific surface area) สูง และอนุภาคระดับนาโนเมตรยังช่วยให้ชิ้นงานมีความหนาแน่นสูงซึ่งส่งผลทำให้ประสิทธิภาพในการใช้งานสูงไปด้วย

จากคุณสมบัติและประโยชน์ของ (LaMnO<sub>3</sub>) ทำให้ปัจจุบันได้มีการสังเคราะห์สารในกลุ่มนี้กันอย่างแพร่หลายและมีวิธีการที่แตกต่างกันออกไป เช่น ปฏิกิริยาสถานะของแข็ง (Solid state reaction) การตกตะกอนร่วม (Co precipitation) วิธีเจลโพลิเมอริก (Polymeric gel) การเผาไหม้ อย่างรวดเร็ว (Combustion) วิธีไฮโดรเทอร์มอล (Hydrothermal treatment) และวิธีที่เตรียมด้วยกระบวนการโซล-เจล (Sol-gel) (5) เป็นต้น โดยแต่ละกระบวนการมีปัจจัยและเงื่อนไขที่เกี่ยวข้อง

แตกต่างกัน ซึ่งส่งผลโดยตรงต่อคุณลักษณะของสารที่เตรียมได้ เช่น วิธีปฏิกริยาสถานะของแข็ง เป็นวิธีที่ง่าย ไม่ซับซ้อน แต่มีอุณหภูมิเพากรอบปฏิกริยาสูง และสารที่เตรียมได้มีเฟสอื่นเดือปนมาก วิธีการตกตะกอนร่วมเป็นวิธีที่ยุ่งยากมีความซับซ้อนในการควบคุมองค์ประกอบแต่ละอย่างนั้น ตกตะกอนในเวลาเดียวกัน วิธีไนโตรเทอร์มัลเป็นวิธีที่ต้องใช้เวลาในการทำปฏิกริยาเพื่อสังเคราะห์ สารนั้นค่อนข้างนาน และบางครั้งก็ยากที่จะทำให้สารนั้นบริสุทธิ์ ส่วนวิธีโซล-เจล เป็นการ สังเคราะห์ทางเคมีที่ไม่ยุ่งยาก ใช้เครื่องมือไม่ซับซ้อน ผลิตภัณฑ์ที่สังเคราะห์ได้มีความบริสุทธิ์สูง สามารถเตรียมที่อุณหภูมิต่ำและอนุภาคมีขนาดเล็ก มีอุณหภูมิการเผากรอบปฏิกริยาต่ำแต่มี ค่าใช้จ่ายสูง และสารตั้งต้นซึ่งอยู่ในรูปโซล ต้องใช้ระยะเวลามากในการเกิดปฏิกริยา

ดังนั้นโครงงานนี้จึงเสนอแนวทางในการวิจัยสำหรับการสังเคราะห์เซรามิก  $\text{LaMnO}_3$  ที่เตรียมโดยวิธีการปฏิกริยาการเผาในมัลโซล-เจล โดยใช้สารเชื้อเพลิงยูเรีย กรดซิตริก และไกลชีน เพื่อต้องการผลิตภัณฑ์ที่มีความบริสุทธิ์ ในอุณหภูมิแคลตไชน์ที่ต่ำลง มีขนาดอนุภาคอยู่ในระดับ นาโนเพื่อให้ได้เซรามิก  $\text{LaMnO}_3$  ที่มีความหนาแน่นมากขึ้นซึ่งจะส่งผลต่อสมบัติอื่นๆ ต่อไป

### จุดมุ่งหมายของงานวิจัย

- เพื่อศึกษาอุณหภูมิในการเผาผงผลึกแลนทานัมแมงกานีสออกไซด์ที่เตรียมโดยวิธี ปฏิกริยาการเผาในมัลโซล-เจล
- เพื่อศึกษาชนิดของสารเชื้อเพลิงที่มีผลต่อโครงสร้างผงลีก โครงสร้างอุณหภูมิของผงลีก แลนทานัมแมงกานีสออกไซด์
- เพื่อศึกษาผลของการเผาซึ่งเตอร์ที่มีผลต่อสมบัติทางกายภาพของเซรามิก ที่เตรียมได้

### ขอบเขตของงานวิจัย

- เตรียมผงผลึกแลนทานัมแมงกานีสออกไซด์ ( $\text{LaMnO}_3$ ) อัตราส่วน  $\text{La:Mn}$  0.1:0.1 โดยโมล โดยเติมกรดสเตียริกในปริมาณ 0.4 มิล เตรียมโดยวิธีปฏิกริยาการเผาในมัลโซล-เจล ร่วมกับสารเชื้อเพลิงยูเรีย กรดซิตริก และไกลชีน ในอัตราส่วน 1:0.1 1:0.2 และ 1:0.3 โดยโมล โดยใช้อุณหภูมิในการเผาแคลตไชน์ 600-900 องศาเซลเซียส เป็นเวลา 2 ชั่วโมง
- เตรียมเซรามิกแลนทานัมแมงกานีสออกไซด์ ที่เตรียมโดยวิธีปฏิกริยาการเผาในมัลโซล-เจล ร่วมกับสารเชื้อเพลิงยูเรีย กรดซิตริก และไกลชีน โดยใช้อุณหภูมิในการเผาซึ่งเตอร์ 1000-1300 องศาเซลเซียส เป็นเวลา 4 ชั่วโมง และ 1300 องศาเซลเซียส เป็นเวลา 8 และ 12 ชั่วโมง

3. ศึกษาสมบัติทางก咽ภพ โครงสร้างผลึก โครงสร้างจุลภาค ของเชรามีกแลนทานั่ม  
แมงกานีสออกไซด์ที่เตรียมได้



## บทที่ 2

### เอกสารและงานวิจัยที่เกี่ยวข้อง

#### การเตรียมเซรามิกด้วยวิธีกระบวนการโซล-เจล (Sol-gel Method) (6)

กระบวนการโซล-เจลเป็นกระบวนการทางเคมีที่อาศัยการเกิดพันธะทางเคมีหรือการเกาะตัวกันของสารตั้งต้นในระดับโมโนเมอร์ เทคโนโลยีนี้เป็นที่รู้จักครั้งแรกในปี ค.ศ. 1800 เทคโนโลยีโซล-เจลเริ่มใช้สารอัลคาไลไซด์ในปี 1846 เป็นเวลาอยู่กว่าปีแล้วที่ได้มีความสนใจการเคลือบชั้นออกไซด์และการเตรียมสารแขวนลอยในรูปของโซล-เจล อย่างไรก็ตามการพัฒนาเทคโนโลยีโซล-เจล ก็เพิ่งเริ่มสนใจพัฒนาอย่างรวดเร็วไม่กี่สิบปีมานี้ โดยเฉพาะการเตรียมสารละลายไอกอนโดโลหะ เช่น อัลคาไลไซด์ เกลือในรูปของสารอนินทรีย์ (Inorganic salts) เกลือของโลหะอินทรีย์ (Metallo-organic salts) ในแอลกอฮอล์ที่เป็นตัวทำละลายที่เหมาะสม ที่กล่าวมานี้เพื่อทำให้สารตั้งต้นที่เรียกว่า “โซล” (Sol) ตามมาด้วยขั้นตอนของการเกิดเจล (Gellation step) โดยโซลจะถูกกำจัดของเหลวออกไปทำให้ได้ของแข็งที่มีข่องเหลวภายในที่เรียกว่า “เจล” (Gel)

แต่เดิมนั้น คำนิยามของโซล (Solution, Sol) คือ ของผสมหรือคอลloid (Colloids) ที่มีเฟสรวมกันของสารที่กระจายตัว (Dispersed Phase) อยู่ในสารที่เป็นตัวกลาง (Medium) ส่วนที่เป็นอนุภาคซึ่งกระจายอยู่ในตัวกลาง มักเป็นอนุภาคของคอลloid (Colloidal particles) หรือกลุ่มของโอลิโกเมอร์ (Oligomer cluster) ซึ่งมีขนาดอยู่ระหว่างโมโนเมอร์ (Monomer) และโมเลกุลขนาดใหญ่ (Macro molecule) ส่วนเจล (Gel) เป็นสารที่มีโครงสร้างที่เป็นไมलากุลของแข็งต่อเรียงกัน โดยปลายทั้งสองด้านเป็นเฟสของของเหลวซึ่งมีลักษณะเป็นเฟสแบบต่อเนื่อง (Continuous phase)

ต่อมามีการสร้างเซรามิกขึ้นจากสารละลายในระบบของโซล-เจล โดยรวมไปถึงการตกลงกันของอนุภาคโลหะออกไซด์จากสารละลาย เริ่มต้นโดยโซลซึ่งไม่มีความเสถียรเกิดการรวมตัวกันในลักษณะเป็นเครือข่ายเชื่อมโยงต่อเนื่องไปเรื่อยๆ จนได้โครงสร้างที่แน่นอนรวมตัวกันซึ่งเป็นการเกิดเป็นเจลนั่นเอง

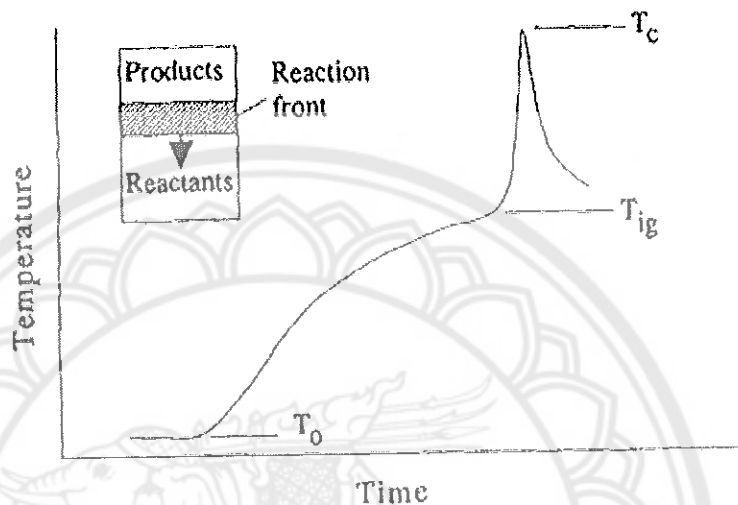
ความหลากหลายของกระบวนการแบบโซล-เจล ซึ่งสารละลายเริ่มต้นสามารถเตรียมจากลักษณะทางเคมีได้หลายรูปแบบ เช่นสารละลายของสารประกอบระหว่างสารอินทรีย์กับโลหะ (metallo-organic) สารละลายพอกพอลิเมอร์ (Polymeric) และสารละลายพอกไอกอนิกเป็นต้น ซึ่งรูปแบบทางเคมีของสารตั้งต้นที่เลือกใช้จะเป็นตัวแปรสำคัญที่ค่อยกำหนดลักษณะเฉพาะทาง

กายภาพของเจลที่จะเกิดขึ้นมา เช่น ลักษณะโครงสร้าง การแตกแยกของความหนาแน่นภายในโครงข่ายของตัวเจล

### กระบวนการสังเคราะห์แบบเผาไหม้ (Combustion Synthesis) (7)

กระบวนการสังเคราะห์แบบเผาไหม้ (Combustion Synthesis) เป็นกระบวนการสังเคราะห์ทางเคมีซึ่งปัจจุบันเป็นวิธีที่ได้รับความสนใจเป็นอย่างมาก ในการผลิตผลละเอียดของสารประกอบออกไซด์หลายชนิด อาทิ เช่น สารประกอบเชิงโลหะและวัสดุนาโนกว่า 500 ชนิด เช่น เซรามิกขั้นสูง วัสดุหนไฟ ตัวเร่ง วัสดุประกอบ อัลลอย ซึ่งวิธีการข้างต้นที่ได้กล่าวมานี้สามารถเกิดปฏิกิริยาอย่างต่อเนื่องขึ้นได้เองที่อุณหภูมิสูง (Self-propagating high-temperature synthesis; SHS) และไม่ต้องอาศัยแหล่งพลังงานจากภายนอก โดยการสังเคราะห์แบบเผาไหม้นี้ต้องอาศัยพื้นฐานการเกิดปฏิกิริยาออกซิเดชัน-รีดักชัน (Oxidation-reduction reaction) หรือการเกิดปฏิกิริยาเรียดออกซ์ (Redox reaction) ของสารตั้งต้น โดยเวลาที่ใช้ในการเกิดปฏิกิริยาสั้นมาก (หน่วยวินาทีหรือนาที) และมีอัตราการเพิ่มขึ้นของอุณหภูมิที่รวดเร็ว โดยมีหลักการพื้นฐานของวิธีการสังเคราะห์แบบเผาไหม้สามารถแสดงความสัมพันธ์ระหว่างอุณหภูมิกับระยะเวลาในการดำเนินไปของปฏิกิริยาการเผาไหม้สามารถแสดงความสัมพันธ์ระหว่างอุณหภูมิที่ต้องการ คือ การให้ความร้อนแก่สารตั้งต้น ณ อุณหภูมิเริ่มต้น (Initial temperature:  $T_0$ ) ที่อาจเป็นสารประกอบหรือของผสมระหว่างตัวออกซิไดซ์กับสารเชื้อเพลิง หลังจากนั้นอุณหภูมิของสารตั้งต้นจะเพิ่มขึ้นจนกระทั่งถึงอุณหภูมิที่เกิดการจุดระเบิด (Ignition temperature:  $T_g$ ) ซึ่งจากการที่สารตั้งต้นเกิดปฏิกิริยาเรียดออกซ์ที่มีการขยายความร้อนอย่างรุนแรง พลังงานที่ระบบทำความร้อนจะถูกนำไปใช้ในการดำเนินงานของปฏิกิริยา และเนื่องจากในปฏิกิริยาเกิดผลิตภัณฑ์ที่มีสถานะเกล็กซ์เป็นจำนวนมาก จึงทำให้เกิดการป้องกันการจับตัวกันของอนุภาค และหลังจากนั้นทำให้อุณหภูมิของระบบเพิ่มขึ้นและลดลงอย่างรวดเร็ว ณ อุณหภูมิการเผาไหม้ (Combustion temperature:  $T_c$ ) เป็นจุดที่อุณหภูมิสูงที่สุด ทำให้สามารถกำจัดสารประกอบอินทรีย์หรือสารปนเปื้อนอื่นที่มีจุดเดือดต่ำออกໄปได้ และผลิตต่อจากการสังเคราะห์แบบเผาไหม้จะมีความบริสุทธิ์สูงและอนุภาคมีขนาดเล็ก ซึ่งผลิตภัณฑ์ที่เป็นผลละเอียดที่มีขนาดเล็กได้โดยไม่จำเป็นต้องผ่านกระบวนการบดปอกหรือกระบวนการเผาแคลไชน์เหมือนวิธีการเตรียมแบบตั้งเดิม ซึ่งทำให้กระบวนการสังเคราะห์แบบเผาไหม้เป็นวิธีที่สามารถประหยัดค่าใช้จ่าย ผงที่ได้จากการสังเคราะห์มีความละเอียดและเป็นเนื้อเดียวกัน อนุภาคไม่จับตัวกันและสามารถเตรียมอนุภาคที่มีขนาดออยู่ในระดับนาโนเมตรโดยใช้เวลาอันรวดเร็ว ซึ่งวัสดุนาโนที่มีขนาด 1-100 นาโนเมตร มีการแสดงสมบัติทางเคมี สมบัติทางกายภาพ สมบัติทางแสงและสมบัติเชิงกลที่พิเศษและ

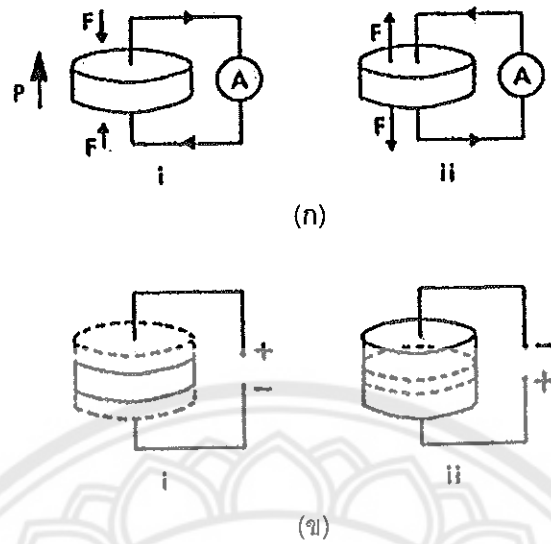
แตกต่างจากสมบัติของอนุภาคที่มีขนาดใหญ่กว่า จึงทำให้เป็นที่นิยมและได้รับความสนใจใน เทคโนโลยีการผลิตผลละเอียดระดับนาโนเมตรจากสมบัติที่ได้เด่นจึงเป็นข้อดีของผลละเอียดและ เหมาะสมในการผลิตเซมิคอนดักเตอร์ ตัวเร่งวัสดุเคลือบผิว หรือในการลดขนาดของอิเล็กทรอนิกส์



ภาพ 1 ความสัมพันธ์ระหว่างอุณหภูมิกับเวลาในการเกิดปฏิกิริยาการเผาไหม้ (7)

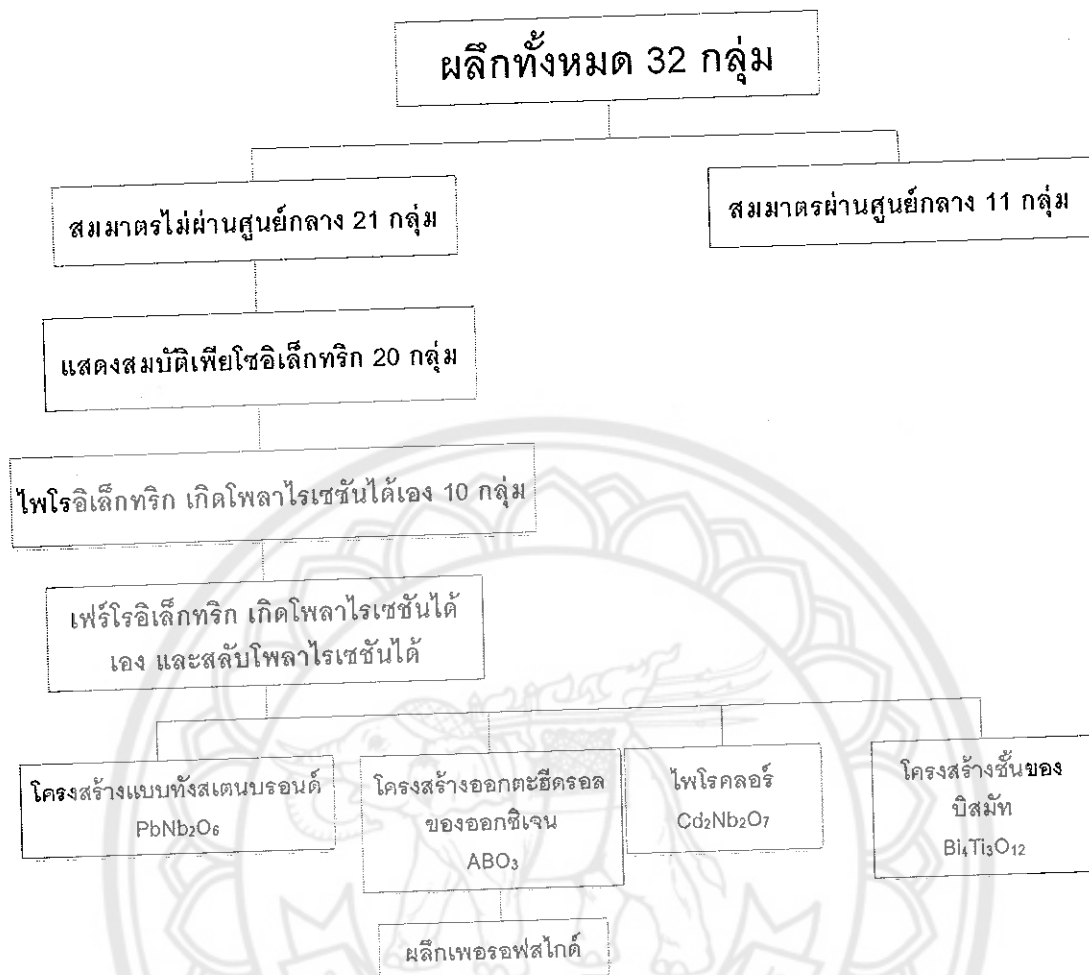
#### สมบัติพิโซอิเล็กทริก (Piezoelectric property) (8)

คำว่า "พิโซ" มาจากภาษากรีก แปลว่า "กด" ดังนั้นพิโซอิเล็กทริก จึงหมายความว่า ความสามารถของวัสดุในการเปลี่ยนแรงกดที่ได้รับให้เป็นกระแสไฟฟ้า ซึ่งแรงกดที่ได้รับเป็นแรงทางกลทำให้เกิดความเครียดในผลึกขึ้น จึงเกิดการเรียงตัวไปทางเดียวกันเรียกว่าการโพลาไรเซชัน และการให้กระแสออกมา โดยสภาพพิโซอิเล็กทริกถูกค้นพบครั้งแรก โดย Jacques และ Pierre เมื่อประมาณ ค.ศ. 1880 ในสารประกอบผลึกเชิงเดี่ยว สภาพพิโซอิเล็กทริกสามารถเกิดขึ้นได้ 2 แบบ คือ แบบตรง (Direct piezoelectric effect) และแบบผันกลับได้ (converse piezoelectric effect) กล่าวคือ สภาพพิโซอิเล็กทริกแบบตรงสามารถเปลี่ยนแรงทางกลให้เป็นไดโอลได้ภาพ 2(ก) ใน ทำงานของกลับกันสภาพพิโซอิเล็กทริกแบบผันกลับสามารถเปลี่ยนแรงไฟฟ้าให้เป็นแรงกลได้แสดง ดังภาพ 2(ข) ซึ่งระดับการเกิดโพลาไรเซชันจะขึ้นกับความเครียดที่เกิดจากแรงที่ได้รับ นอกจานี้ ทิศทางของสนามไฟฟ้าที่ให้แก้วัสดุชนิดนี้จะเป็นตัวกำหนดว่าวัสดุจะขยายหรือหดลง



ภาพ 2 ปรากฏการณ์พิโซอิเล็กทริกในวัสดุ (ก) แบบต่าง และ (ข) แบบผังกลับ (8)

หน่วยเซลล์ (Unit cell) ของโครงสร้างผลักในวัสดุมีความสำคัญมากต่อสภาพพิโซอิเล็กทริก กล่าวคือ สภาพพิโซอิเล็กทริกจะเกิดขึ้นได้ในวัสดุที่ไม่มีความสมมาตรกับจุดศูนย์กลางของหน่วยเซลล์เท่านั้น ดังนั้น จึงสามารถแบ่งกลุ่มผลัก 32 กลุ่ม เป็น 2 ประเภทใหญ่ ๆ คือ ประเภทแรกเป็นสารที่มีความสมมาตรกับจุดศูนย์กลางของหน่วยเซลล์ มีทั้งหมด 11 กลุ่ม อีกประเภทหนึ่งเป็นสารที่ไม่มีความสมมาตรกับจุดศูนย์กลางของหน่วยเซลล์ มีทั้งหมด 21 กลุ่ม ใน 21 กลุ่ม เป็นสารที่ไม่มีความสมมาตรกับจุดศูนย์กลางของหน่วยเซลล์ ดังนั้น มี 20 กลุ่มที่มีสมบัติเป็นสารพิโซอิเล็กทริก และในสาร 20 กลุ่มนี้มีกลุ่มย่อยที่เป็นสารเฟริโออิเล็กทริก ดังภาพ 3 ซึ่งข้อแตกต่างของวัสดุทั้ง 2 ชนิดนี้ คือความสามารถในการเกิดโพลาไรเซชัน โดยสารพิโซอิเล็กทริกไม่สามารถเกิดโพลาไรเซชันได้ แต่จะเกิดเมื่อให้แรงกดต่อผลักเท่านั้น ในขณะที่สารเฟริโออิเล็กทริกสามารถเกิดโพลาไรเซชันได้โดยตัวเองได้แม้จะไม่มีแรงกดมากกระทำ



ภาพ 3 แผนภาพแสดงการแบ่งกลุ่มพิโซอิเล็กทริกและกลุ่มย่อย (8)

### เฟอร์โรอิเล็กทริก (Ferroelectric) (8)

สารเฟอร์โรอิเล็กทริกเป็นสารที่ไม่มีความสมมาตรกับจุดศูนย์กลางของหน่วยเซลล์ทำให้ผลรวมของการเคลื่อนตัวของประจุบวกและลบ จึงทำให้สามารถสร้างได้โดยไม่ต้องได้รับแรงกดซึ่งสามารถแยกจากเฟอร์โซอิเล็กทริกออกจากการวัดค่าไดอิเล็กทริก โพลาไรเซชัน (remanent polarization:  $P_R$ ) เมื่อสนามไฟฟ้าที่ใส่เข้าไปมีค่าเป็นศูนย์ โดยปกติเมื่อโพลาไรเซชัน ( $P$ ) เป็นผลมาจากการสนามไฟฟ้า ( $E$ ) เมื่อสนามไฟฟ้าที่ใส่เข้าไปมีค่าเป็นศูนย์ โดยปกติเมื่อโพลาไรเซชัน ( $P$ ) เป็นผลมาจากการสนามไฟฟ้า ( $E$ ) เมื่อสนามไฟฟ้า  $E$  มีความเข้มข้นอยู่

$$\bar{P} = \epsilon_0 \chi_e \bar{E} \quad (1)$$

เมื่อ  $\chi_e$  เป็นค่าคงที่เรียกว่า สภาพรับได้ทางไฟฟ้า (electric susceptibility) ของตัวกลางค่าของ  $\chi_e$  ขึ้นกับโครงสร้างทางอุตสาหกรรม (microscopic structure) ของสารที่พิจารณาและ  $\epsilon_0$  เป็นส่วนย่อยของสัญญาการมีค่าคงที่ประมาณ  $8.854 \times 10^{-12} \text{ F/m}$  โปรดสังเกตว่า สนามไฟฟ้า  $E$  ในสมการที่ 1 นี้เป็นสนามไฟฟ้าทั้งหมด ซึ่งอาจเกิดจากส่วนของประจุอิสระและส่วนของโพลาไรเซชันที่สนาม  $\bar{E}$  ผลิตขึ้นเอง

$\chi_e$  ไม่มีทิศทาง และการกระจัดไฟฟ้า (electric displacement:  $D$ ) มาจากการกระจายประจุอิสระเท่านั้น ซึ่งมีความสัมพันธ์ตามสมการที่ 1 ดังนั้นจะได้สมการดังสมการที่ 2

$$\bar{D} = \epsilon_0 \bar{E} + P \quad (2)$$

จากสมการที่ 1 และ 2 จะได้ความสัมพันธ์ดังสมการที่ 3

$$\bar{D} = \epsilon_0 \bar{E} + \epsilon_0 \chi_e \bar{E} = \epsilon_0 (1 + \chi_e) \bar{E} \quad (3)$$

ดังนั้นไม่เพียงแต่  $P$  เท่านั้นที่ขึ้นกับ  $\bar{E}$  แต่  $\bar{D}$  ก็ขึ้นกับ  $\bar{E}$  ด้วยเช่นกัน ดังสมการที่ 4 และ 5

$$\bar{D} = \epsilon \bar{E} \quad (4)$$

$$\epsilon = \epsilon_0 (1 + \chi_e) \quad (5)$$

เรียก  $\epsilon$  ว่า สภาพยอม (Permittivity) ของวัสดุ

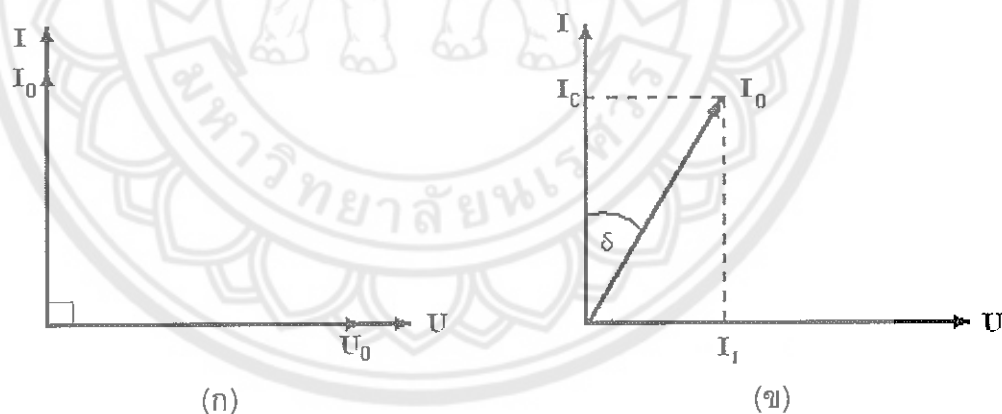
ในสัญญาการมีสารใดก่อให้เกิดโพลาเรซ์ ดังนั้น สภาพรับไว้ได้ทางไฟฟ้าจึงเป็นศูนย์ และสภาพยอม ( $\epsilon$ ) จะมีค่าเท่ากับ  $\epsilon_0$  และจากสมการที่ 5 จะได้สมการที่ 6

$$\epsilon_r = 1 + \chi_e = \frac{\epsilon}{\epsilon_0} \quad (6)$$

เมื่อ  $\epsilon_r$  คือ สภาพยอมสัมพันธ์ (relative permittivity) หรือ ค่าคงที่ไดอิเล็กทริกในวัสดุ

เฟอร์โอดิเล็กทริก ส่วนใหญ่ค่าคงที่ไดอิเล็กทริก  $\epsilon$  จะมีค่าสูง ดังนั้น  $\overline{P} \gg \epsilon_0 \overline{E}$  และ  $D \approx P$  เมื่อป้อนไฟฟ้ากระแสสลับให้กับวัสดุไดอิเล็กทริก สนามไฟฟ้าจากแหล่งกำเนิดเป็นเหตุให้เกิดไดเพลภายในวัสดุ ไดอิเล็กทริก ในการณ์อุดมคติ ไดเพลภายในวัสดุไดอิเล็กทริกสามารถสับทิศทางได้ตามความถี่ของแหล่งกำเนิด กรณีกระแสสลับ ( $I$ ) และศักย์ไฟฟ้า ( $V$ ) มีความต่างเฟสกันอยู่ 90 องศา ดังภาพ 4(ก) ทำให้ผลคูณสเกลาร์ (scalar product) ของ  $I$  และ  $V$  เท่ากับศูนย์ ดังนั้น จึงไม่มีการสูญเสียพลังงานของวัสดุไดอิเล็กทริก (dielectric loss:  $\tan \delta$ ) เกิดขึ้น แต่ในความเป็นจริงการสับทิศทางของไดเพลจะก่อให้เกิดความต้านทานภายในวัสดุเอง ทำให้เกิดการสูญเสียพลังงานขึ้น ซึ่งกรณีนี้กระแสไฟฟ้ากับศักย์ไฟฟ้ามีความต่างเฟสกันน้อยกว่า 90 องศา ภาพ 4(ข) โดยการสูญเสียพลังงานที่เกิดขึ้นนั้น สามารถวัดได้จากการทดลองและเป็นอัตราส่วนของส่วนของจินตภาพ (imaginary permittivity:  $\epsilon'$ ) และส่วนของจริง (real permittivity:  $\epsilon$ ) ดังสมการที่ 7

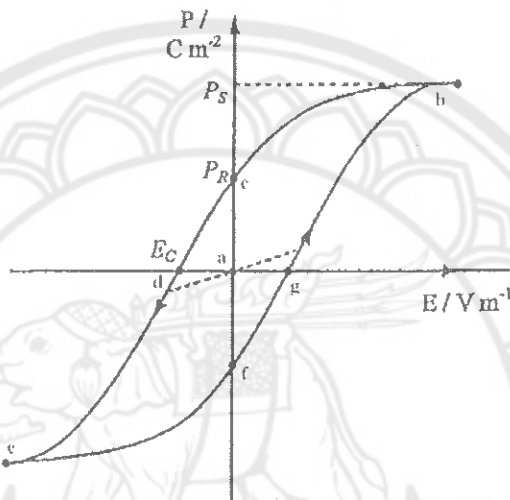
$$\tan \delta = \frac{\epsilon'}{\epsilon} \quad (7)$$



ภาพ 4 ความต่างเฟสระหว่างกระแสสลับ ( $I$ ) และศักย์ไฟฟ้า ( $U$ ) ของวัสดุไดอิเล็กทริก  
(ก) กรณีไม่มีการสูญเสียพลังงานและ (ข) กรณีมีการสูญเสียพลังงาน (8)

ในวัสดุเฟอร์โอดิเล็กทริกการสับทิศทางของไดเพลตามความถี่ของแหล่งกำเนิดได้ความสัมพันธ์ระหว่างการโพลาไรเซชันและสนามไฟฟ้า (polarization versus field) ซึ่งความสัมพันธ์จะพบในรูปของวงรอบไฮสเตโรเรซิส (hysteresis loop) ภาพ 5 เมื่อให้สนามไฟฟ้าเข้าไปครั้งแรก การกิดไฟลาไวเซชันเพิ่มมากขึ้นอย่างรวดเร็วจนกระทั่งถึงจุดอิมตัว (saturation polarization) คือ

จุด b ซึ่งการเกิดโพลาไรเซชันมีค่ามากที่สุด ได้โพลทั้งหมดจะเรียงตัวขนานกัน และหากเพิ่มสนามไฟฟ้าไปมากกว่านั้น ก็ไม่มีผลต่อการเกิดโพลาไรเซชัน เมื่อสนามไฟฟ้ามีค่าลดลงแทนที่การโพลาไรเซชันจะถอยกลับไปตามเส้นทางเดิมเมื่อขั้นตอนเริ่มต้น ( $P = 0$ ) แต่กลับไปสูงทิศทางที่แตกต่างกัน แม้ว่าไม่มีการให้สนามไฟฟ้า ( $E = 0$ ) แก่วัสดุเฟอร์โรอิเล็กทริกก็ตามแต่ยังคงมีโพลาไรเซชันหลงเหลืออยู่ หรือรีเมเนนท์ โพลาไรเซชัน (remnant value:  $P_r$ ) ที่จุด C



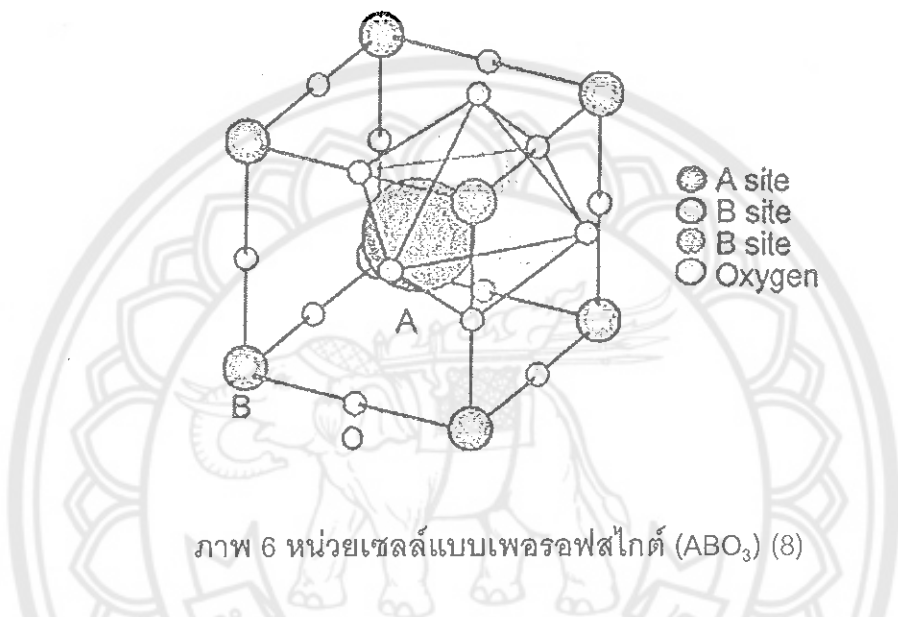
ภาพ 5 วงรอบฮิสเทอเรซิสระหว่างโพลาไรเซชันกับสนามไฟฟ้าในสารเฟอร์โรอิเล็กทริก  
(9)

ถ้าเราต้องการกำจัดโพลาไรเซชันที่ยังหลงเหลืออยู่ เราต้องให้สนามไฟฟ้าย้อนกลับทิศทางเดิม (นั่นคือ  $-E$ ) โพลาไรเซชันจะลดลงสู่ศูนย์ที่จุด d ซึ่งเรียกว่าสนามโคลอเรชีฟอิมตัวที่จุด C ข้าวได้โพลทั้งหมดซึ่งทางขวา เมื่อถึงขั้นตอนนี้ ถ้าไม่ป้อนกระแสไฟฟ้าให้กับวัสดุเฟอร์โรอิเล็กทริก แล้วปล่อยให้วัสดุที่มีโพลาไรเซชันเพิ่มขึ้นไปทางขวาจุด f เพื่อให้ครบวงจรต้องป้อนกระแสไฟฟ้าอีกครั้งในทิศทางบวกโพลาไรเซชันจะกลับสู่ศูนย์ที่จุด g และในที่สุดก็จะมุ่งไปสู่จุดอิมตัวที่จุด b ดังภาพ 5

### โครงสร้างเพอร์อฟไกท์ (Perovskite structure) (8,10)

โครงสร้างเพอร์อฟไกท์มีสูตรโครงสร้างว่า “ $ABO_3$ ” ประกอบไปด้วยองค์ประกอบของไอออนบวกที่มีรัศมีอะตอมขนาดใหญ่กว่าอนุภาคที่ต่ำแห่ง A (A-site) ซึ่งอยู่ที่มุ่งทุกมุมของหน่วยเซลล์ (Unit cell) และมีค่าความเป็นประจุไฟฟ้าต่ำกว่าอาทิเช่น  $K^+$ ,  $Na^+$ ,  $Ca^{2+}$ ,  $Sr^{2+}$ ,  $Ba^{2+}$  และ  $Pb^{2+}$  ส่วนที่

ตำแหน่ง B (B-site) ซึ่งอยู่ต่างจากการของหน่วยเซลล์จะมีอะตอมของไอโอดอนบากที่มีรัศมีอะตอมขนาดเล็กและมีค่าความเป็นประจุไฟฟ้าสูงกว่าวางแผนตัวออยู่ อาร์เซน  $Ta^{5+}$   $Nb^{5+}$   $Ti^{4+}$   $Zr^{4+}$  และ  $Sn^{4+}$  โดยไอโอดอนบากนี้จะถูกด้อมรอบด้วยไอโอดอนบนของออกซิเจน 6 ตัว จับตัวกันเป็นรูปปอกตะไคร่ดรอล (Octahedral) แสดงดังภาพ 6



ภาพ 6 หน่วยเซลล์แบบเพอร์โอฟสไกต์ ( $ABO_3$ ) (8)

เป็นที่ทราบกันแล้วว่าหากสารเฟริโออิเล็กทริกได้รับอุณหภูมิมากกว่าอุณหภูมิคู่รือของสารนั้นแล้ว สารดังกล่าวจะลายสภาพเป็นพาราอิเล็กทริก โดยผลึกมีความสมมาตรกับจุดศูนย์กลางของหน่วยเซลล์ ผลที่ตามมาคือสารจะไม่สามารถเกิดโพลาไรเซชันด้วยตนเองได้ และเมื่อลดอุณหภูมิลงกล่าวลงให้ต่ำกว่าอุณหภูมิคู่รือ สารดังกล่าวจะมีการเปลี่ยนสภาพจากพาราอิเล็กทริกไปเป็นเฟริโออิเล็กทริกเช่นเดิม ทำให้ที่ตำแหน่งศูนย์กลางมีการเปลี่ยนตำแหน่ง และโครงสร้างผลึกแบบคิวบิกจะเปลี่ยนเป็นโครงสร้างผลึกที่ไม่มีความสมมาตรกับศูนย์กลาง ตัวอย่างโครงสร้างดังกล่าว เช่น เทtrapagonal (tetragonal) รวมไปยัง rhombohedral หรือใน monoclinic สำหรับค่าร้อยละความบริสุทธิ์ของผงผลึก สามารถหาได้โดยนำข้อมูลที่ได้จาก XRD มาคำนวณโดยใช้สมการที่ 8 ในการคำนวณร้อยละความบริสุทธิ์คือ

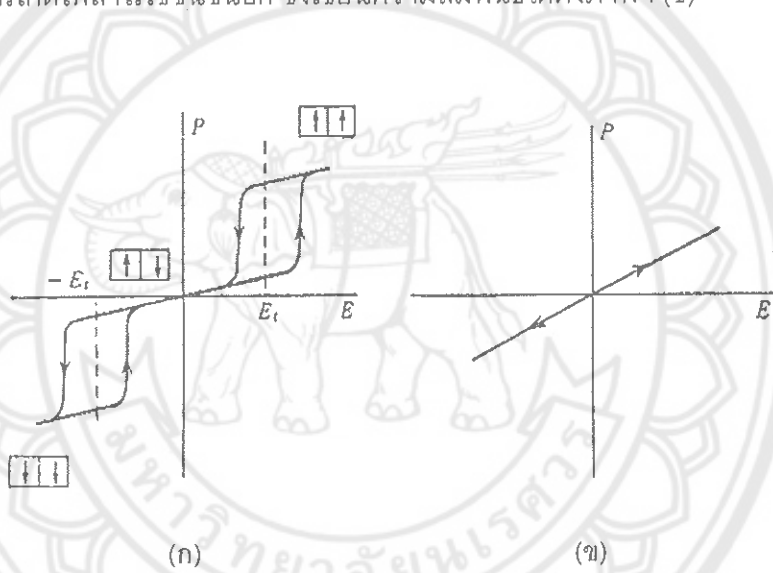
$$\% Perovskite = \left( \frac{I_{perov}}{I_{perov} + I_{excess}} \right) \times 100 \quad (8)$$

เมื่อ  $I_{perov}$  คือ ความเข้มของรังสีเอกซ์ที่เกิดจากโครงสร้างเพอร์โอลิเต้

$I_{excess}$  คือ ความเข้มของรังสีเอกซ์ที่เกิดจากโครงสร้างที่ไม่ใช่เพอร์โอลิเต้

### พาราอิเล็กทริก (Paraelectric)

โครงสร้างพาราอิเล็กทริกเกิดขึ้นที่อุณหภูมิสูงกว่าอุณหภูมิโครงสร้างเฟริโออิเล็กทริกและโครงสร้างแอนติเฟริโออิเล็กทริก ซึ่งสารพาราอิเล็กทริกจะประพฤติตัวเป็นจนวนตามปกติ มีโครงสร้างที่สมมาตร จึงไม่สามารถเกิดโพลาไรเซชันได้ด้วยตนเอง เมื่อมีการป้อนสนามไฟฟ้าให้กับสารพาราอิเล็กทริกทำให้เกิดโพลาไรเซชันขึ้นดังภาพ 7(ก) แต่เมื่อยุดป้อนสนามไฟฟ้าเข้าไป ผลก็คือไม่มีการเกิดโพลาไรเซชันขึ้นอีก ซึ่งเป็นความสมมตินี้ได้ดังภาพ 7(ข)

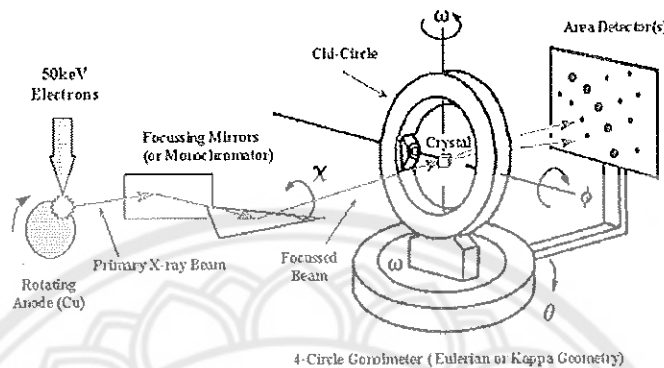


ภาพ 7 วงรอบฮีสเทอเรซิสระหว่างโพลาไรเซชันกับสนามไฟฟ้า (ก) สารแอนติเฟริโออิเล็กทริกและ (ข) สารพาราอิเล็กทริก (11)

### เครื่องวิเคราะห์การเลี้ยวเบนของรังสีเอกซ์ (X-Ray Diffractometer; XRD) (12)

หลักการทำงานเครื่องมือวิเคราะห์การเลี้ยวเบนของรังสีเอกซ์ ดังแสดงในภาพ 8 เป็นเครื่องมือวิเคราะห์วัสดุพื้นฐานแบบไม่ทำลาย (Non-destructive analysis) เพื่อศึกษาเกี่ยวกับโครงสร้างผลึก การจัดเรียงตัวของอะตอมในโมเลกุลของสารประกอบต่าง ๆ ทั้งในเชิงคุณภาพและปริมาณ โดยอาศัยหลักการเลี้ยวเบนและการกระเจิงของรังสีเอกซ์ และความรู้เกี่ยวกับวิชาระบบโครงสร้างผลึกรังสีเอกซ์ เป็นคลื่นแม่เหล็กไฟฟ้าซึ่งมีอำนาจการทะลุทะลวงสูง มีความยาวคลื่นสั้น

อยู่ในช่วงระหว่าง 0.1 - 100 อัองสตروم การเกิดอันตรกิริยาของรังสีเอกซ์กับสารนั้นก่อให้เกิดปรากฏการณ์ต่าง ๆ โดยปรากฏการณ์ดังกล่าวล้วนเป็นลักษณะเฉพาะของสารแต่ละชนิด



ภาพ 8 หลักการทำงานเครื่องวิเคราะห์การเลี้ยงเบนของรังสีเอกซ์ (12)

ซึ่งหลักการดังกล่าวเหล่านี้เราจึงสามารถนำมาใช้วิเคราะห์สารได้ดังนี้

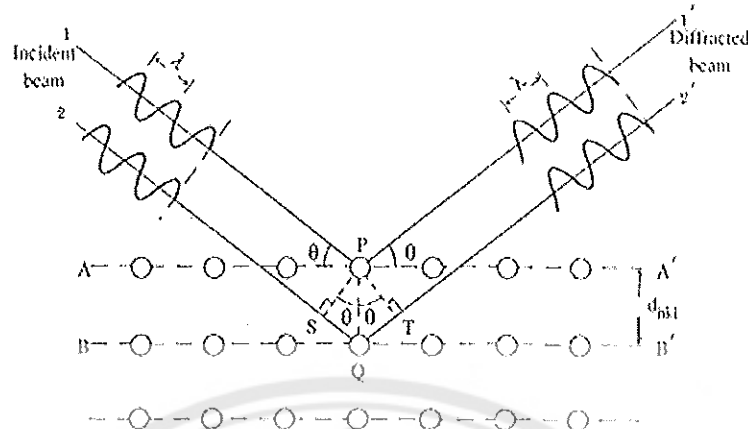
1. ใช้วิเคราะห์หาองค์ประกอบของธาตุต่าง ๆ ในสารทั้งในเชิงปริมาณและคุณภาพ
2. ใช้ศึกษาหาโครงสร้างอิเล็กทรอนิกส์ ซึ่งสามารถให้ข้อมูลเกี่ยวกับการเกิดพันธะเคมี
3. ใช้ศึกษาเกี่ยวกับโครงสร้างผลึก หรือโมเลกุลของสารด้วยการใช้เทคนิคการเลี้ยงเบนของรังสีเอกซ์

รังสีเอกซ์มีทั้งที่เกิดเองตามธรรมชาติจากการ放射性元素กัมมันต์รังสีและที่มนุษย์ผลิตขึ้นจากกลไกทางอิเล็กทรอนิกส์ กล่าวคือ เมื่ออะตอมได้รับการกระตุ้นด้วยอิเล็กตรอนที่มีพลังงานสูงวิ่งชนอะตอม ทำให้เกิดอันตรกิริยา ระดับพลังงานของอิเล็กตรอนซึ่งจะสูงมากต่อตัวเอง ของอะตอมมีค่าสูงขึ้นเกิดภาวะเข้าสู่ปกติ โดยมวลของอะตอมไม่เปลี่ยนแปลงปรากฏการณ์ดังกล่าวเป็นกระบวนการปลดปล่อยพลังงานส่วนเกิน ในรูปคลื่นแม่เหล็กไฟฟ้าหรือไฟต่อนของมานี้เรียกว่า “รังสีเอกซ์” ซึ่งแบ่งได้ 2 ชนิด ตามกระบวนการของการปลดปล่อยพลังงานส่วนเกินจากอะตอมบริเวณซึ่งโคจรอิเล็กตรอน คือ รังสีเอกซ์เฉพาะตัว มีลักษณะเป็นรังสีเอกซ์ที่มีพลังงานเดียว (monochromatic X-ray) เพราะเกิดจากกระบวนการลดระดับพลังงานที่แน่นอนปรากฏการณ์ของการเกิดรังสีเอกซ์ชนิดนี้เกิดขึ้นเมื่ออิเล็กตรอนหรืออนุภาคที่มีประจุบวกดื่น ๆ หรือไฟต่อนพลังงานสูงเคลื่อนที่เข้าชนอิเล็กตรอนในวงโคจรซึ่นในของอะตอม แล้วถ่ายโอนพลังงานให้อิเล็กตรอน อิเล็กตรอนซึ่นในวงโคจรได้รับพลังงานเพิ่มสูงขึ้นกว่าพลังงานยึดเหนี่ยวของซึ่งวงโคจร ทำให้หลุดออกจากวงโคจรเกิดที่

ว่างของอิเล็กตรอนในชั้นวงโคจรขึ้น ทำให้อะตอมอยู่ในภาวะที่ถูกกระตุ้นและจะลดระดับพลังงานลงสูงภาวะปกติในช่วงระยะเวลาอันสั้นโดยอิเล็กตรอนซึ่งอยู่ในชั้นดังไปจะลดระดับพลังงานลงมาให้เท่ากับพลังงานยึดเหนี่ยวของวงโคจรขึ้นในด้วยการปลดปล่อยพลังงานส่วนเกินออกมายังรูปร่างสีเอกซ์ แล้วเข้ามาแทนที่ช่องว่างของวงโคจรขึ้นใน พลังงานส่วนเกินนี้จะมีค่าเท่ากับความต่างระดับพลังงานยึดเหนี่ยวเฉพาะวงโคจรของอิเล็กตรอน และชนิดของธาตุนั้น ๆ จึงมีพลังงานเฉพาะค่ารังสีแบบต่อเนื่อง มีลักษณะเป็นรังสีเอกซ์ที่มีพลังงานต่อเนื่องกระจายจากค่าต่ำสุดถึงสูงสุด ปรากฏการณ์ของการเกิดรังสีเอกซ์ต่อเนื่องเกิดจากปฏิกิริยาตอนพลังงานสูงเคลื่อนเข้าสู่สนามคูลอมบ์ (coulomb field) บริเวณใกล้นิวเคลียส ความหนาแน่นของสนามไฟฟ้าสถิตย์บริเวณดังกล่าวทำให้อิเล็กตรอนสูญเสียพลังงานอย่างรวดเร็วและปล่อยรังสีเอกซ์ออกมายัง

ก่อนที่อิเล็กตรอนปฐมภูมิจะทำอันตรกิริยากับสนามไฟฟ้าบริเวณใกล้นิวเคลียสที่เกิดจากประจุของอะตอม อิเล็กตรอนจะสูญเสียพลังงานบางส่วน อันเนื่องจากการกระเจิงของอิเล็กตรอนดังนั้นพลังงานของ รังสีเอกซ์ที่เกิดขึ้น จึงมีค่ากระจายต่อเนื่องจากพลังงานต่ำสุดถึงสูงสุดของอิเล็กตรอนปฐมภูมิ ถ้าอิเล็กตรอนปฐมภูมิมีพลังงานสูงพอที่จะกระตุ้นให้อิเล็กตรอนในวงโคจรขึ้นในของอะตอมหลุดออกได้ก็จะเกิดรังสีเอกซ์เฉพาะค่าปะปนซ้อนอยู่กับสเปกตรัมของรังสีเอกซ์ ต่อเนื่องด้วยเสมอ

การปลดปล่อยรังสีเอกซ์ออกมายังความยาวคลื่นใด ๆ ขึ้นอยู่กับระดับพลังงานที่คายออกมายังความยาวคลื่นที่สั้นที่สุดเกิดจาก การที่อิเล็กตรอนคายพลังงานที่ได้รับมาหักหมัดจากแหล่งกำเนิดโดยไม่ขึ้นกับชนิดของเป้าหมายที่ใช้ เมื่อรังสีเอกซ์ตกระบทผิวน้ำของผลึกโดยทำมูน θ บางส่วนของรังสีเอกซ์จะเกิดการกระเจิงด้วยชั้นของอะตอมที่ผิวน้ำ อีกส่วนหนึ่งของลำรังสีเอกซ์จะผ่านไปยังชั้นที่ 2 ของอะตอม ซึ่งบางส่วนจะกระเจิงและส่วนที่เหลือก็จะผ่านเข้าไปยังชั้นที่ 3 ของอะตอม ดังภาพ 9



ภาพ 9 แบบจำลองสำหรับการพิสูจน์กฎของเบร็ก (12)

ถ้าอะตอมในผลึกมีการจัดเรียงตัวอย่างไม่เป็นระเบียบและมีระยะห่างระหว่างอะตอมเท่า ๆ กัน รังสีเอกซ์ที่ผ่านเข้าไปในแต่ละชั้นของอะตอมจะเกิดการเลี้ยวเบนเป็นลำชานานกัน สิ่งสำคัญในการเกิดการเลี้ยวเบนของรังสีเอกซ์ขึ้นอยู่กับภาวะ 2 ประการ คือ

1. รังสีที่ตกกระทบ รังสีเลี้ยวเบน และเส้นตั้งฉากกับผิวน้ำจะต้องอยู่ในระนาบเดียวกัน
2. ระยะห่างระหว่างชั้นของอะตอมควรมีค่าใกล้เคียงกับความยาวคลื่นของรังสีเอกซ์

เมื่อปี ค.ศ. 1912 เบร็กได้ยิงรังสีเอกซ์แคน ฯ กระทบผิวน้ำผลลัพธ์เป็นมุม  $\theta$  เพื่อให้เกิดการเลี้ยวเบนและการสะท้อนเมื่อเกิดอันตรกิริยา กับอะตอม O, P และ R ซึ่งจากภาพ 10 จะเห็นว่าระยะห่างระหว่างที่คัลลีนทั้ง 2 ชั้นเดินทางไปตักกระทบระนาบ A และ B และสะท้อนออกมามีความแตกต่างระหว่างระยะเดินทางเท่ากับ  $SQ + QT$  โดยที่ระยะ  $SQ$  มีค่าเท่ากันกับระยะ  $QT$  และยังสามารถหาค่าของระยะ  $SQ$  ได้จากความสัมพันธ์เชิงตรีgonometric สามเหลี่ยม  $PSQ$  ซึ่งจะได้ค่าระยะ  $SQ$  ออกมากเท่ากับ  $d \sin \theta$  ดังสมการที่ 11 และ 12 ตามลำดับ ดังนั้นความแตกต่างระหว่างระยะเดินทางของคลื่นทั้ง 2 ชั้นจะมีค่าเท่ากับ  $2d \sin \theta$  และจากแนวคิดของเบร็กที่ได้กล่าวข้างต้น ทำให้ได้สมการที่ใช้ในการอธิบายการเลี้ยวเบนของรังสีเอกซ์โดยโครงสร้างผลึก ที่มีชื่อว่ากฎของเบร็ก (Bragg's equation) ดังสมการที่ 13

$$SQ = QT = n\lambda \quad (11)$$

เมื่อ  $n$  คือ จำนวนเต็ม รังสีที่กระทบจะอยู่ในเฟสที่ OCD ผลึกจะทำหน้าที่สะท้อนรังสีเอกซ์จะเห็น

$$SQ = QT = d \sin \theta \quad (12)$$

เมื่อ  $d$  คือ ระยะห่างระหว่างชั้นของผลึก เอียนสมการใหม่ได้ว่า

$$n\lambda = 2d \sin \theta \quad (13)$$

จากสมการของแบร็คท์ทิกล่ามานั้นมีประโยชน์มากสำหรับการศึกษาที่มีโครงสร้างเป็นระเบียบ เช่น สารที่มีโครงสร้างเป็นผลึกเดียว (single crystal) และผลึกเชิงซ้อน (polycrystalline) เพราะในสารแต่ละชนิดจะมีรูปแบบการเรียงตัวของอะตอมเป็นลักษณะเฉพาะ เมื่อเวลาทราบถึงค่า  $n\lambda$  ที่เกิดการเลี้ยวเบนไปของรังสีเอกซ์เมื่อชนกับอะตอมของสาร เราจะทราบถึงระยะห่างระหว่างแต่ละอะตอมของสารนั้น ๆ จึงเป็นประโยชน์อย่างมากในการวิเคราะห์ทางนิวเคลียร์ของสาร (qualitative analysis) รวมไปถึงสมบัติทางกายภาพของสารนั้น ๆ อีกด้วย

การคำนวณหาค่าคงที่แลตทิช  $c$ ,  $a$  และค่าอัตราส่วน  $c/a$  สามารถกระทำได้โดยอาศัยข้อมูลจากเครื่องเอกซเรย์ดิฟเฟρอกซัน ดังสมการที่ 14

$$\frac{1}{d^2} = \frac{h^2}{a^2} + \frac{k^2}{b^2} + \frac{l^2}{c^2} \quad (14)$$

ในระบบเทหะรั่งไนโอลินน์ค่าแลตทิช  $a$  มีค่าเท่ากับแลตทิช  $b$  แต่ไม่เท่ากับแลตทิช  $c$  ( $a = b \neq c$ ) ดังนั้น จากสมการที่ 14 เอียนใหม่ได้ดังสมการที่ 15

$$\frac{1}{d_{hkl}^2} = \frac{h^2+k^2}{a^2} + \frac{l^2}{(\frac{c}{a})^2} \quad (15)$$

หรือดังสมการที่ 16

$$a^2 \frac{1}{d_{hkl}^2} = (h^2 + k^2) + \frac{l^2}{(\frac{c}{a})^2} \quad (16)$$

นอกจากนี้ XRD ยังสามารถใช้วิเคราะห์เชิงปริมาณได้ คือ การใช้ในการคำนวณหาขนาดอนุภาคของวัสดุที่มีขนาดระดับนาโนเมตร ซึ่งในการคำนวณนี้เป็นวิธีการคำนวณที่ท่อนลงมาจากการวิธีเดียมสัน-ฮอลล์ (Williamson-Hall Method) โดยไม่นำอิทธิพลที่เกิดจากความเครียดของตัวอย่าง มาคำนวณคงใช้แต่ขนาดอนุภาคเพียงอย่างเดียว ซึ่งในการคำนวณตัวอย่างนี้มีประโยชน์มากในการ

มาคำนวณคงใช้แต่ขนาดอนุภาคเพียงอย่างเดียว ซึ่งในการคำนวณด้วยวิธีนี้มีประโยชน์มากในการหาขนาดอนุภาคเนื่องจากให้ค่าการวัดที่ใกล้เคียงกับขนาดอนุภาคจริง แต่มีข้อสังเกตคือ สมการนี้จะใช้เมื่ออนุภาคมีขนาดไม่เกิน 100-200 นาโนเมตร และการคำนวณจะไม่รวมองค์ประกอบอื่นที่ส่งผลต่อขนาดความกว้างของกราฟ เช่น จากเครื่องมือ (instrumental broadening) หรือจากความเครียดของตัวอย่าง (strain broadening) อย่างไรก็ตาม การวัดขนาดอนุภาคด้วยวิธีนี้ยังจำกัดอยู่เฉพาะในงานวิจัยด้านวัสดุศาสตร์ พลังงาน และนาโนเทคโนโลยี จากที่กล่าวมาเบื้องต้น สมการที่ใช้ในการคำนวณขนาดอนุภาคนั้นคือ สมการเชอร์เรอร์ (Scherrer equation) ดังนี้ สมการที่ 17 (13)

$$D = \frac{k\lambda}{\beta \cos \theta} \quad (17)$$

กำหนดให้

$D$  คือ ขนาดอนุภาค

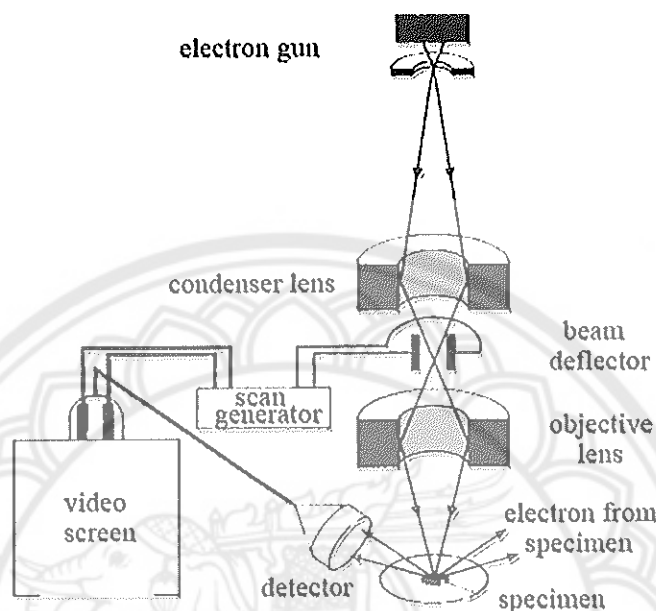
$k$  คือ ค่าคงที่ 0.9

$\lambda$  คือ ความยาวคลื่นของแหล่งกำเนิดรังสีเอกซ์ (0.15406 nm)

$\beta$  คือ ความกว้างที่ความสูงเป็นครึ่งหนึ่งของความสูงสูงสุดของกราฟระฆัง หรือ full width half maximum (FWHM) มีหน่วยเป็น radians

$\theta$  คือ มุมของแบรก (Bragg's angle) มีหน่วยเป็น radians

### กล้องจุลทรรศน์อิเล็กตรอนแบบส่องกราด (Scanning Electron Microscope; SEM) (14)



ภาพ 10 หลักการทำงานกล้องจุลทรรศน์อิเล็กตรอนแบบส่องกราด (SEM) (14)

เนื่องจากกล้องจุลทรรศน์เลนส์ประกอบทั้งแบบใช้แสงธรรมชาดและใช้วิธีแบบอิเล็กตรอน ทำให้มีข้อจำกัดในการขยายภาพ เพราะกำลังขยายและกำลังแยกของจากจะขึ้นกับลักษณะของเลนส์ แล้วยังขึ้นอยู่กับความยาวคลื่นของแสงที่ใช้อีกด้วย กล้องจุลทรรศน์เลนส์ประกอบสามารถมีกำลังแยกขนาดต่ำสุดถึงขนาดเล็กสุดได้เพียง 0.2 ไมโครเมตรเท่านั้น ส่วนกำลังขยายรวมก็ไม่เกิน 2,000 เท่า จึงยังคงเห็นวัตถุภายใต้ชีลส์ที่มีขนาดเล็กเป็นจุด ไม่สามารถแยกรายละเอียดได้ร่วง ส่วนนั้นเป็นอะไร ต่อมาได้มีการนำเอาอิเล็กตรอนซึ่งมีช่วงคลื่นสั้นกว่าคลื่นของแสงมาก เข้ามาใช้ ในกล้องจุลทรรศน์แทนคลื่นแสง และใช้เลนส์แม่เหล็กแทนเลนส์กระจุก เรียกกล้องดังกล่าวว่า กล้องจุลทรรศน์อิเล็กตรอนดังแสดงในภาพ 10 ดังนั้นกล้องจุลทรรศน์อิเล็กตรอนแบบส่องกราดเป็น กล้องที่ใช้ศึกษาโครงสร้างหรือองค์ประกอบพื้นผิวของชีลส์เนื้อเยื่อและวัตถุได้ โดยทำให้ องค์ประกอบต่าง ๆ ของชีลส์หรือวัตถุให้มีความเข้มของเงาแตกต่างกัน

หลักการเกิดภาพของกล้องจุลทรรศน์อิเล็กตรอนแบบส่องกราดอิเล็กตรอนปฐมภูมิ (Primary electron) จากแหล่งกำเนิดอิเล็กตรอน (Electron gun) จะถูกเร่งด้วยศักย์ไฟฟ้าสูง (1,000 ถึง 3,000 อิเล็กตรอนโวลท์ หรือมากกว่า) ที่สามารถปรับค่าได้ จากนั้นจึงถูกดึงดูดลงสู่เบื้องล่างโดยแผ่นอาโนด (Anode plate) ภายใต้ภาวะความดันสูญญากาศ  $10^{-5} - 10^{-7}$  ทอร์ และมีชุด

ความเข้มของลำอิเล็กตรอน จากนั้นลำอิเล็กตรอนจะวิ่งลงสู่เบื้องล่างฝาแน่นสวัตตุ ซึ่งทำหน้าที่ในการปรับลำอิเล็กตรอนปั๊มน้ำมันให้มีจุดไฟกับบนผิวตัวอย่างพอดี และลำอิเล็กตรอนที่ตกกระทบผิวสวัตตุ หรือตัวอย่างจะมีขนาดในช่วง 5 ถึง 200 นาโนเมตร โดยมีจุดขัดลาดควบคุมการส่องกราด (Scan coil) ของลำอิเล็กตรอนทำหน้าที่ในการควบคุมทิศทางการเคลื่อนที่ของลำอิเล็กตรอนบนผิวตัวอย่าง ซึ่งผู้ใช้สามารถกำหนดได้โดยผ่านทางชุดควบคุม (Control unit) ขณะที่ลำอิเล็กตรอนกระแทบผิวตัวอย่าง จะเกิดอันตรกิริยา (Interaction) ระหว่างอิเล็กตรอนปั๊มน้ำมันกับอะตอมธาตุในสวัตตุหรือตัวอย่างและเกิดการถ่ายโอนพลังงานที่ขึ้นความลึกจากพื้นผิวที่ระดับต่าง ๆ ทำให้เกิดการปลดปล่อยสัญญาณอิเล็กตรอน (Electron signal) ชนิดต่าง ๆ ออกมานี้ ซึ่งใช้ประโยชน์ในการศึกษาลักษณะผิวของตัวอย่างและวิเคราะห์ธาตุที่มีในตัวอย่างได้ตามลักษณะสัญญาณภาพได้จากสัญญาณอิเล็กตรอนชนิดต่าง ๆ ที่เกิดขึ้น คือ

1. สัญญาณภาพจากอิเล็กตรอนทุติยภูมิ (Secondary Electron Image, SEI) หรือเป็นอิเล็กตรอนพลังงานต่ำ 3-5 อิเล็กตรอนโวลท์ เกิดที่พื้นผิวระดับไม่ลึก (ไม่เกิน 10 นาโนเมตร) โดยเกิดกับธาตุที่มีแรงยึดเหนี่ยวอิเล็กตรอนที่ผิวตัว

2. สัญญาณภาพจากอิเล็กตรอนกระเจิงกลับ (Backscattered Electron Image, BEI) หรือเป็นกลุ่มอิเล็กตรอนที่สูญเสียพลังงานให้กับอะตอมในชั้นงานเพียงบางส่วนและกระเจิงกลับออกมานี้ มีพลังงานสูงกว่าอิเล็กตรอนทุติยภูมิ เกิดที่พื้นผิวระดับลึกกว่า 10 นาโนเมตร โดยเกิดได้ดีกับธาตุที่มีเลขอะตอมสูง

3. สัญญาณภาพจากรังสีเอกซ์ (X-Ray Image, XRI) ชนิดที่เป็นรังสีเอกซ์เฉพาะตัวเป็นคลื่นแม่เหล็กไฟฟ้าที่เกิดจากอิเล็กตรอนในระดับชั้นโคจรต่าง ๆ ( $K, L, M, \dots$ ) ถูกกระตุ้น (Excited) หรือได้รับพลังงานมากพอจนหลุดออกจากวงโคจรของ它 ทำให้อะตอมต้องรักษาสมดุลของโครงสร้างรวมภายในอะตอม โดยการดึงอิเล็กตรอนจากชั้นวงโคจรถัดไปเข้ามาแทนที่และต้องลดพลังงานส่วนเกินออกมานอกปุ่มคลื่นแม่เหล็กไฟฟ้าเพื่อทำให้ตัวเองมีพลังงานเท่ากับชั้นโคจรที่แทนที่ซึ่งคลื่นแม่เหล็กไฟฟ้านี้มีความยาวคลื่นเฉพาะในแต่ละธาตุตามระดับพลังงานของตัวอย่างได้ทั้งเชิงปริมาณและคุณภาพ

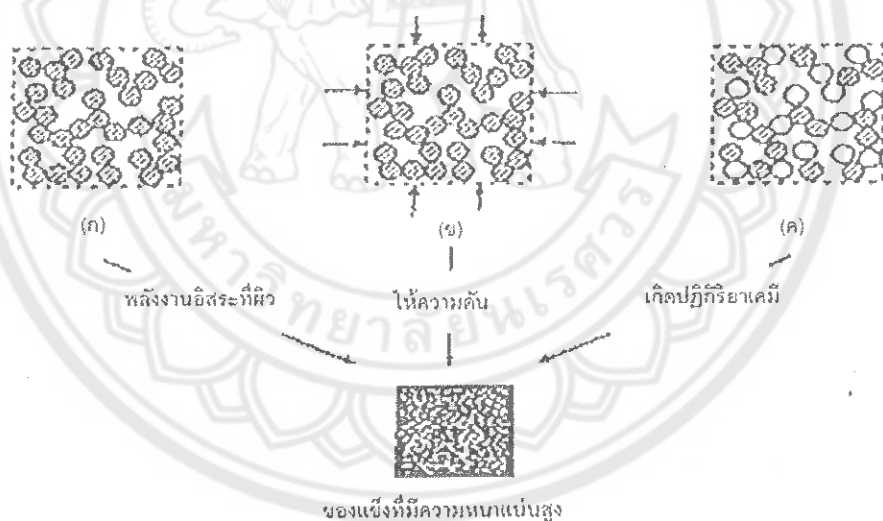
สัญญาณภาพจากอิเล็กตรอนเหล่านี้จะถูกเปลี่ยนมาเป็นสัญญาณภาพประกอบน จอร์บภาพได้โดยต้องเลือกใช้อุปกรณ์ในการวัดให้เหมาะสมกับสัญญาณแต่ละชนิด โดยทั่วไปสัญญาณอิเล็กตรอนทุติยภูมิใช้ตัวตรวจวัดชนิดพลาสติกเรืองแสง (Plastic scintillation detector) สัญญาณภาพจากอิเล็กตรอนกระเจิงกลับจะใช้ตัวตรวจวัดที่เป็นสารกึ่งตัวนำชนิดรอยต่อพีเอ็น (PN junction detector) หรือตัวตรวจวัดชนิดโรบินสัน (Robinson detector) และในสัญญาณภาพ

จากรังสีเอกซ์จะใช้หัววัดรังสีชนิดสารกึ่งตัวนำประเทืองซิลิโคนลิตี้ียม (lithium drifted silicon, Si(Li)) ทำงานร่วมกับอุปกรณ์ในการวิเคราะห์พลังงานของรังสีเอกซ์เฉพาะตัวซึ่งอุปกรณ์วิเคราะห์นั้นมีทั้งแบบเดี่ยว (Single Channel Analyzer, SCA) และอุปกรณ์วิเคราะห์แบบหลายช่อง (Multi Channel Analyzer, MCA)

### การซินเตอร์เซรามิก (15)

การซินเตอร์เป็นกระบวนการที่สำคัญอย่างยิ่งในการผลิตเซรามิก เซรามิกจะถูกเผาที่อุณหภูมิสูงเพื่อให้ได้โครงสร้างจุลภาค (microstructure) ตามที่ต้องการ ซึ่งจะส่งผลให้ได้คุณสมบัติต่าง ๆ ตามที่ต้องการด้วย

กระบวนการซินเตอร์เกิดขึ้นได้ด้วยพลังงานขับสำหรับการซินเตอร์ (driving forces for sintering) และจะเกิดขึ้นควบคู่กับการลดพลังงานอิสระรวมของระบบ ซึ่งประกอบด้วย 3 ส่วนคือ ความต้องของผิว ความดันจากภายนอก และปฏิกิริยาเคมี ดังภาพ 11



ภาพ 11. พลังงานขับสำหรับการซินเตอร์ (15)

ความต้องของผิวจะเป็นพลังงานขับสำหรับการซินเตอร์เนื่องมีความเด่นจากภายนอก และมีปฏิกิริยาเคมีเกิดขึ้น พิจารณาผังปริมาณ 1 ไมล ที่ประกอบด้วยอนุภาคทรงกลมที่มีรัศมี  $a$  และมีอัตราการแพร่กระจายแสดงดังสมการที่ 18 และ 19 ตามลำดับ

$$N = \frac{3M}{4\pi a^3 \rho} \quad (18)$$

$$N = \frac{3V_m}{4\pi a^3} \quad (19)$$

กำหนดให้

- $\rho$  คือ ความหนาแน่นของอนุภาค ( $\text{g/cm}^3$ )
- $M$  คือ น้ำหนักโมเลกุล (g)
- $V_m$  คือ ปริมาตรโดยไมล์ ( $\text{cm}^3$ )
- $a$  คือ รัศมีของอนุภาค (cm)

และพื้นที่ผิวของอนุภาค ( $S_A$ ) ในระบบดังสมการที่ 20 คือ

$$S_A = 4\pi a^2 N \quad (20)$$

รวมสมการที่ 18 และ 19 จะได้ดังสมการที่ 21

$$S_A = \frac{3V_m}{4\pi a} \quad (21)$$

กำหนด  $\gamma_s$  เป็นแรงตึงผิวของอนุภาค ตั้งน้ำมันพลังงานอิสระที่ผิวของอนุภาค ( $E_s$ ) คือ

$$E_s = \gamma_s S_A \quad (22)$$

รวมสมการที่ 21 และ 22 จะได้ดังสมการที่ 23

$$E_s = \frac{3\gamma_s V_m}{a} \quad (23)$$

ค่า  $E_s$  จะบ่งบอกถึงการลดลงของพลังงานอิสระที่ผิวของระบบ ซึ่งพลังงานที่ผิวนี้เองจะทำให้เกิดการเคลื่อนที่ในการชีวนเตอร์

ถ้าในระบบใด ๆ ไม่มีปฏิกิริยาเคมีเกิดขึ้น ความดันที่ได้จากการยนต์จะเป็นตัวแปรสำคัญในการให้พลังงานขับในการซินเตอร์ โดยความดันที่ให้แก่ระบบขณะที่มีการให้ความร้อนไปด้วย สำหรับอนุภาคแรงโน้มถ่วง 1 มอล จะใช้งานที่เกิดจากความดันมีค่าประมาณตั้งสมการที่ 24

$$W = \rho_a V_m \quad (24)$$

กำหนดให้

$\rho_a$  คือ ความดันที่ให้ มีหน่วยเป็นเมกะพาสคัล (MPa)

$V_m$  คือ ปริมาตรโดยมอล ( $m^3$ )

ในทางปฏิบัติความดันจะมีความสำคัญต่อพลังงานขับในการซินเตอร์มากกว่าความడองของผิวนอกปฏิกิริยาเคมีก็มีผลต่อพลังงานขับในการซินเตอร์ ซึ่งพลังงานจากปฏิกิริยาเคมีนั้นจะมีค่าสูงกว่าพลังงานขับที่เกิดจากความโ้างของผิวและความดันจากภายนอกมาก การเปลี่ยนแปลงของพลังงานอิสระที่เกิดขึ้นพร้อมกับปฏิกิริยาเคมีดังสมการที่ 25 คือ

$$\Delta G^0 = RT \ln K_{ep} \quad (25)$$

กำหนดให้

$\Delta G^0$  คือ ความดันที่ให้ มีหน่วยเป็นเมกะพาสคัล (MPa)

R คือ ปริมาณโดยมอล ( $g/cm^3$ )

T คือ อุณหภูมิสัมบูรณ์ มีหน่วยเป็นเคลวิน (K)

$K_{ep}$  คือ ค่าคงที่สมดุลการเกิดปฏิกิริยา

ถึงแม้การเกิดปฏิกิริยาเคมีจะให้พลังงานขับสูงมาก แต่ค่าพลังงานที่ได้จะไม่ได้ถูกใช้โดยตรงในกระบวนการเปลี่ยนตัวของเชรามิกชั้นสูง เนื่องจากกระบวนการคุณโครงสร้างจุลภาคทำได้ค่อนข้างยากเมื่อเกิดปฏิกิริยาเคมีขึ้น ดังนั้นพลังงานขับที่กล่าวมานี้ทำให้เกิดการเคลื่อนที่ในการซินเตอร์ แต่การซินเตอร์จะเกิดขึ้นจริงเมื่อมีการถ่ายโอนมวลสารขึ้น สำหรับของแข็งที่มีโครงสร้างเป็นผลึก การถ่ายโอนมวลสารจะเกิดขึ้นได้ด้วยกระบวนการการแพร่

การถ่ายโอนมวลสารในวัสดุที่มีโครงสร้างผลึกเชิงช้อนจะเกิดขึ้นในเส้นทางเฉพาะหนึ่ง ๆ และจะเป็นตัวกำหนดกลไกการซินเตอร์ การถ่ายโอนมวลสารนั้นจะเกิดขึ้นจากบริเวณที่มีศักย์ทางเคมีสูง หรือที่เรียกว่า แหล่งเริ่มต้นของมวลสาร ไปสู่บริเวณที่มีศักย์ทางเคมีต่ำ ที่เรียกว่า ปลายทางของมวลสาร ซึ่งกลไกการซินเตอร์มีทั้งสิ้น 6 กลไก ดังภาพ 12



ภาพ 12 กลไกที่มีผลต่อการซินเตอร์ของอนุภาคผลึก (15)

โดยกลไกทั้งหมดนี้จะทำให้เกิดการเจริญเติบโตของคริสตัลระหว่างอนุภาค ซึ่งทำให้เกิดการเข้ามต่อระหว่างอนุภาค และทำให้เกิดความแข็งแรงของระบบอนุภาคผง ในกระบวนการซินเตอร์ จะมีเพียงบางกลไกเท่านั้นที่จะทำให้เกิดการหดตัว (shrink) และการแน่นตัว (densities) ของอนุภาค ดังแสดงในตาราง 1

### ตาราง 1 แสดงกลไกการซินเตอร์ (15)

กลไก	แหล่งเริ่มต้น	ปลายทาง	เกิดการแปรรูป	ไม่เกิดการ
	ของอนุภาค	ของอนุภาค	ตัว	แปรรูปตัว
การแพร่ผ่านผิว	พื้นผิว	คง		✓
การแพร่ผ่านแล็ตทิช	พื้นผิว	คง		✓
การขันสั่งแบบไฮ	พื้นผิว	คง		✓
การแพร่ผ่านขอบเขตเกราะ	ขอบเกราะ	คง	✓	
การแพร่ผ่านแล็ตทิชจากขอบเกราะ	ขอบเกราะ	คง	✓	
การให้แบบพลาสติก	ไม่ระบุ	ไม่ระบุ	✓	

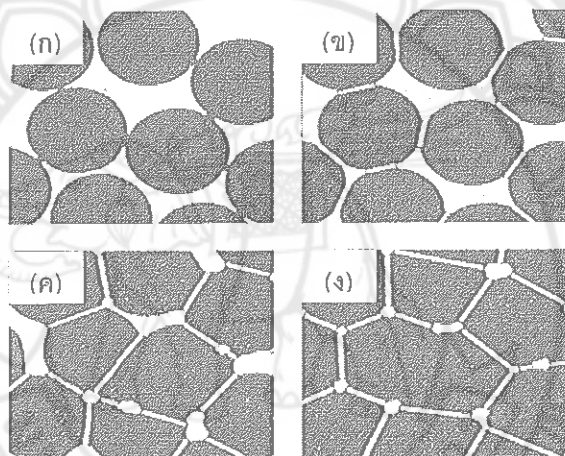
การซินเตอร์เป็นกระบวนการที่ต่อเนื่อง โครงสร้างอุดภาคของผงที่ถูกขัดจะสามารถเปลี่ยนแปลงได้อย่างรวดเร็วในระหว่างการซินเตอร์ ซึ่งจะผ่านขั้นตอนสามัญ 3 ช่วง คือ การซินเตอร์ช่วงเริ่มต้น (initial stage of sintering) การซินเตอร์ช่วงกลาง (intermediate stage of sintering) และการซินเตอร์ช่วงสุดท้าย (final stage of sintering) การแบ่งช่วงการซินเตอร์จะพิจารณาจาก การเปลี่ยนแปลงทางกายภาพของอนุภาคที่มาเข้ามือและการหายไปของรูพูน

การซินเตอร์ช่วงเริ่มต้นจะเกิดการเรียงตัวใหม่ของอนุภาคและการเติบโตของบริเวณระหว่างอนุภาคที่เรียกว่า คง อย่างรวดเร็ว ดังภาพ 13(ก) โดยการเติบโตนี้จะเกิดจากการแพร่ การขันสั่งแบบไฮ การให้แบบพลาสติก สำหรับระบบผงที่ประกอบด้วยอนุภาคทรงกลมจะมีการแปรรูปตัวที่เกิดขึ้นพร้อมกับการเติบโตของคง ซึ่งมีผลทำให้ความแตกต่างของความกว้างที่ผิวน้อยไป การซินเตอร์ในช่วงนี้จะเกิดขึ้นจนกระทั่งรัศมีของคงคือค่าประมาณ  $0.4 - 0.5$  เท่าของรัศมีอนุภาค และสำหรับระบบผงที่มีความหนาแน่นเบื้องต้นประมาณ  $0.5 - 0.6$  เท่าของความหนาแน่นทางทฤษฎี จะมีความหนาแน่นเพิ่มขึ้นประมาณ  $0.65$  เท่าของความหนาแน่นทางทฤษฎี

การซินเตอร์ช่วงกลางจะเริ่มต้นเมื่อรูพูนมีรูปร่างสมดุล การเปลี่ยนแปลงทางกายภาพของอนุภาคในช่วงกลางนี้แสดงดังภาพ 13(ข) จะเห็นว่าขนาดคงจะมีขนาดใหญ่ขึ้น ปริมาณรูพูนน้อยลงสัมพันธ์กับการลดตัวของอนุภาค อุดศูนย์กลางของอนุภาคจะเข้ามาใกล้กันมากขึ้น และขอบเกราะเริ่มเคลื่อนทำให้อนุภาคเหล่านี้ ที่เรียกว่า เกราะ เริ่มโตและเกราะที่อยู่ข้างเคียงเริ่มหายไปในเกราะดังกล่าว ซึ่งจะทำให้เกิดการเปลี่ยนแปลงรูปทรงเรขาคณิตของเกราะ คง และรูพูนจำนวนรูพูนจะมาเข้ามือกันและสิ้นสุดเมื่อรูพูนเริ่มแยกตัวออกจากกัน เป็นรูพูนเดี่ยว ๆ (isolated pores)

ทำให้การซินเตอร์ในช่วงนี้ใช้เวลานานที่สุด และเกิดการหดตัวมากกว่าช่วงอื่น ๆ มีผลทำให้ความหนาแน่นมีค่าประมาณ 0.9 เท่าของความหนาแน่นทางทฤษฎีดังภาพ 13(ค)

ในการซินเตอร์ช่วงสุดท้ายรูพูนที่อยู่ใกล้กับขอบเกรนจะถูกกำจัดออกจากระบบโดยการเพริ่งจะทำให้เกิดการเคลื่อนที่ของขอบเกรนและควบคุมการเติบโตของเกรนถ้าการเติบโตของเกรนเกิดขึ้นรวดเร็วเกินไปขอบเกรนจะเคลื่อนที่เร็วกวารูพูน จะส่งผลให้รูพูนแยกตัวไปอยู่ในเกรนซึ่งจะกำจัดรูพูนออกไปยาก ดังนั้นจะต้องควบคุมการเติบโตของเกรนเป็นอย่างดี เพื่อทำให้การกำจัดรูพูนเป็นไปได้มากที่สุด การเปลี่ยนแปลงทางกายภาพของอนุภาคนการซินเตอร์ช่วงสุดท้ายนี้แสดงดังภาพ 13(ง)



ภาพ 13 การเปลี่ยนแปลงที่เกิดขึ้นขณะซินเตอร์ (15)

#### การหาค่าความหนาแน่น (16)

ความหนาแน่น (density) หมายถึง ค่ามวลต่อปริมาตรของวัสดุ ณ อุณหภูมิหนึ่ง ๆ จัดเป็นสมบัติทางกายภาพอย่างหนึ่งของวัสดุ และมีประโยชน์อย่างยิ่งกับงานทางด้านเซรามิก ซึ่งอาศัยค่าความหนาแน่นเป็นตัววัดถึงประสิทธิภาพในการขัดแฉนตัวของวัสดุในระหว่างขั้นตอนการขึ้นรูป

การหาค่าความหนาแน่นอาศัยหลักการของaccuracy มีดีสทิกล่าวไว้ว่า "เมื่อจุ่มของเข็งลงในของเหลวจะมีแรงพยุงเกิดขึ้นบนของเข็งนั้น โดยแรงพยุงที่เกิดขึ้นจะมีค่าเท่ากับน้ำหนักของของเหลวที่ถูกแทนที่ด้วยปริมาตรของเข็ง" ซึ่งการหาค่าความหนาแน่นทำได้โดยการหาค่ามวลของวัตถุในอากาศและขณะที่จุ่มอยู่ในน้ำ และสามารถคำนวณค่าความหนาแน่น ( $\rho$ ) ได้จากการ

$$\rho = \frac{W_1}{W_2 - W_3} \rho_{st} \quad (26)$$

กำหนดให้

$\rho$  คือ ค่าความหนาแน่นของชิ้นงาน ( $\text{g/cm}^3$ )

$\rho_{st}$  คือ ค่าความหนาแน่นของเหลว ( $\text{g/cm}^3$ )

$W_1$  คือ น้ำหนักแห้งของชิ้นงาน (g)

$W_2$  คือ น้ำหนักของชิ้นงานขณะมีน้ำซึ่งในอากาศ (g)

$W_3$  คือ น้ำหนักของชิ้นงานในน้ำ ( $\text{g}$ )

สำหรับการหาค่าความหนาแน่นสัมพัทธ์ (relative density:  $\rho_r$ ) นั้นสามารถคำนวณได้ตามสมการที่ 27

$$\rho_r (\%) = \left( \frac{\rho_b}{\rho_{th}} \right) \times 100 \quad (27)$$

กำหนดให้

$\rho_r$  คือ ค่าความหนาแน่นสัมพัทธ์ มีหน่วยเป็นเปอร์เซ็นต์

$\rho_b$  คือ ค่าความหนาแน่นของชิ้นงาน มีหน่วยเป็นกรัมต่อลูกบาศก์เซนติเมตร

$\rho_{th}$  คือ ค่าความหนาแน่นในทฤษฎีของสาร มีหน่วยเป็นกรัมต่อลูกบาศก์เซนติเมตร

และการหาค่าความพ Rubin (P) นั้นสามารถหาได้จากสมการที่ 28 คือ

$$P = \frac{m_2 - m_1}{m_2 - m_3} \times 100 \quad (28)$$

กำหนดให้

$m_1$  คือ มวลของเซรามิกแห้ง (g)

$m_2$  คือ มวลของเซรามิกอิมตัวโดยวิธีแข็ง (g)

$m_3$  คือ มวลของเซรามิกอิมตัวโดยวิธีแข็งที่ซึ่งในน้ำ (g)

### ค่าความหดตัว

ค่าความหดตัวในแนวเชิงเส้นผ่านศูนย์กลางของชิ้นงานหลังจากการเผาชินเตอร์ หาได้โดยใช้สมการที่ 29

$$A = \left( \frac{\phi_i - \phi_f}{\phi_i} \right) \times 100 \quad (29)$$

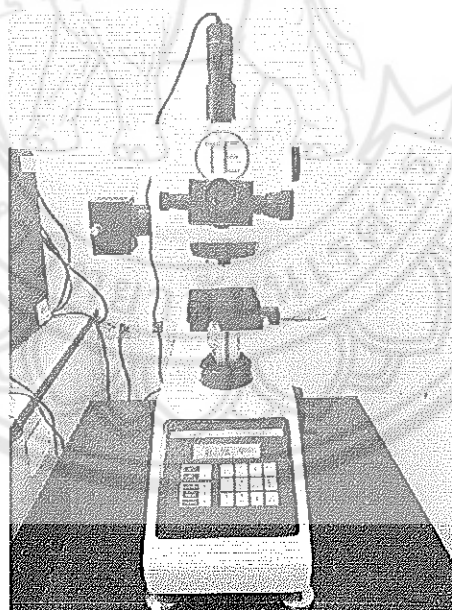
กำหนดให้

$A$  คือ ค่าความหดตัวตามแนวเส้นผ่านศูนย์กลาง (%)

$\phi_i$  คือ ขนาดเส้นผ่านศูนย์กลางเดลี่ยงก่อนเผาชินเตอร์ (cm)

$\phi_f$  คือ ขนาดเส้นผ่านศูนย์กลางเดลี่ยงหลังเผาชินเตอร์ (cm)

สมบัติเชิงกล (Mechanical properties) (17)



ภาพ 14 เครื่องทดสอบความแข็งแบบจุลภาค (Jinan Testing Equipment IE Corporation)  
รุ่น HV-1000

สมบัติเชิงกลของวัสดุคือ สมบัติที่มีความสามารถในการรับแรงหรือภาระ (Load) ในลักษณะต่าง ๆ โดยสมบัติเชิงกลของวัสดุที่สำคัญนี้ได้แก่ ความแข็งแรงและความแข็ง (Hardness)

ความแข็งคือ สมบัติของวัสดุที่มีความสามารถต้านทานหรือมีการทนต่อการเสียรูปแบบพลาสติก ซึ่งวิธีการในการวัดความแข็งสามารถวัดได้อย่างแม่นยำโดยอาศัยเครื่องวัดความแข็ง (Hardness tester) ดังภาพ 14 โดยเครื่องวัดความแข็งนั้นจะมีตัวกด (Indenter) สำหรับใช้กดลงบนพื้นผิวของวัสดุด้วยแรงขนาดต่าง ๆ และจะทำให้เกิดรอยบุ๋มขนาดต่าง ๆ จากนั้นจะทำการวัดรอยบุ๋มเพื่อนำมาคำนวณหาค่าความแข็งในแต่ละวิธีการวัดความแข็ง ซึ่งจะมีวิธีในการคำนวณหาค่าความแข็งแตกต่างกันออกไป

### 1. ความแข็งเทียบเทียน

ความแข็งเทียบเทียนเป็นการหาค่าความแข็งที่พยายามหาวิธีบอกรความแข็งของวัสดุ ซึ่งในยุคแรก ๆ การวัดค่าความแข็งที่ได้จะอยู่ในหน่วยของสเกลโลห์ (Mohs) ซึ่งวิธีการนี้เป็นการเปรียบเทียบค่าความแข็งของวัสดุที่วัดสามารถแบ่งออกเป็น 10 ระดับ โดยเซรามิกที่มีค่าความแข็งสูงที่สุดคือเพชร (Diamond) เนื่องจากเพชรมีค่าความแข็งอยู่ในระดับ 10 สำหรับวิธีการหาค่าความแข็งของวัสดุทำได้โดยการนำวัสดุที่ต้องการวัดค่าความแข็งมาทำให้เกิดรอยด้วยการใช้วัสดุที่มีค่าความแข็งที่แน่นอน โดยเริ่มจากค่าความแข็งในระดับต่ำขึ้นมาสู่ระดับสูงแล้วจึงเปรียบเทียบว่าวัสดุที่เราต้องการวัดค่าความแข็งนั้นมีค่าความแข็งอยู่ในระดับใด โดยค่าความแข็งที่วัดด้วยวิธีนี้นั้นเป็นเพียงค่าที่แสดงให้เห็นถึงระดับของความแข็งของวัสดุ แต่ไม่สามารถนำไปใช้ในการคำนวณหาค่าอื่นได้ เนื่องจากเป็นค่าที่ไม่สามารถระบุได้แน่นอนและเป็นค่าที่ไม่มีหน่วย

### 2. ค่าความแข็งที่ได้จากการวัดด้วยการกด

ค่าความแข็งที่ได้จากการวัดด้วยการกดเป็นการทดสอบความแข็งแรงเชิงปริมาณ (Quantitative) เพื่อประเมินค่าความแข็งเป็นการพัฒนาขึ้นภายหลัง โดยการใช้หัวกดลงบนพื้นผิวของชิ้นงานที่ต้องการทดสอบภายใต้เงื่อนไขที่ควบคุมให้เป็นมาตรฐานได้แก่ ความเร็วของการกด และแรงที่ใช้กด จากนั้นทำการวัดขนาดจากรอยกดที่เกิดขึ้นและนำมาแปลงเป็นค่าความแข็ง ซึ่งหากรอยกดเกิดขึ้นมากขนาดใหญ่และลึกนั่นหมายความว่าวัสดุนั้นอ่อนหรือมีความแข็งแรงต่ำ แต่อย่างไรก็ตามความแข็งที่วัดได้เป็นเพียงปริมาณสัมพันธ์เท่านั้นยังไม่ใช่ปริมาณสมบูรณ์ ดังนั้นจึงใช้ค่าตัวเลขความแข็งเปรียบเทียบกันได้เฉพาะค่าที่ได้จากการทดสอบด้วยวิธีเดียวกันเท่านั้น และไม่สามารถนำค่าตัวเลขความแข็งจากวิธีการอื่นมาเปรียบเทียบกันโดยตรง แต่วิธีการนี้เหมาะสมเฉพาะวัสดุที่มีความเปราะพอสมควร เช่น โลหะและเซรามิก ซึ่งในการทดสอบด้วยการกดมีลักษณะของหัวกดหลายชนิด เช่น การทดสอบแบบร็อกแอลล์ (Rockwell test, H<sub>R</sub>) การทดสอบแบบบริเนล

(Brinell test,  $H_B$ ) และสำหรับวิธีการที่นิยมใช้ในการทดสอบค่าความแข็งของโลหะ เช่น แบบบิกเกอร์ (Vickers test,  $H_V$ ) ที่มีการใช้หัวกดเพชรรูปพีระมิดฐานสามเหลี่ยมจัตุรัสดังภาพ 15 ซึ่งการหาความแข็งสามารถคำนวณได้จากสมการที่ 30 ซึ่งได้ค่าความแข็งในหน่วย GPa และการทดสอบค่าความแข็งแบบนูป (Knoop test) ที่มีการใช้หัวกดเพชรรูปพีระมิดสี่เหลี่ยมขนมเปียกปูน ซึ่งในการทดสอบค่าความแข็งจากวิธีที่กล่าวมานี้ จะได้เป็นค่าเฉพาะของแต่ละวิธี ดังนั้นการทดสอบวัสดุนั้นจะจำเป็นต้องคำนึงถึงความเหมาะสมและควรทดสอบค่ามาตรฐานที่ใช้กับวัสดุนั้นด้วย



ภาพ 15 ลักษณะหัวกดและรอยกดแบบบิกเกอร์ (18)

การหาค่าความแข็งแบบบิกเกอร์จากสมการที่ 30

$$H_V = (1854.4) \frac{F}{d^2} \quad (30)$$

กำหนดให้

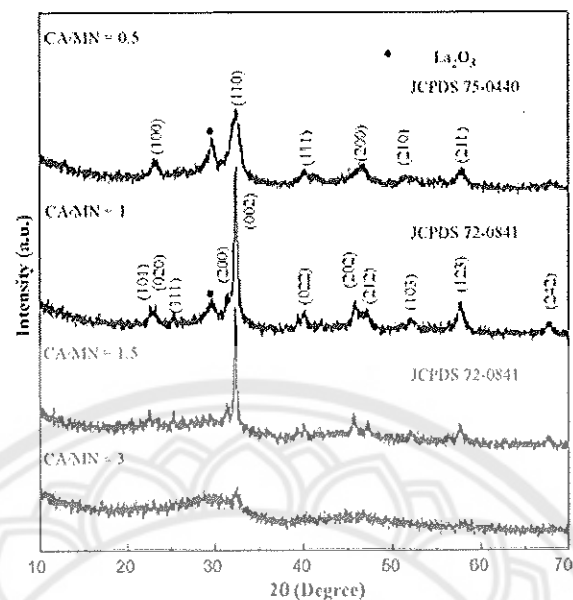
$H_V$  คือ ค่าความแข็งในหน่วยบิกเกอร์ (GPa)

$F$  คือ โหลดที่ใช้แก่หัวกด (N)

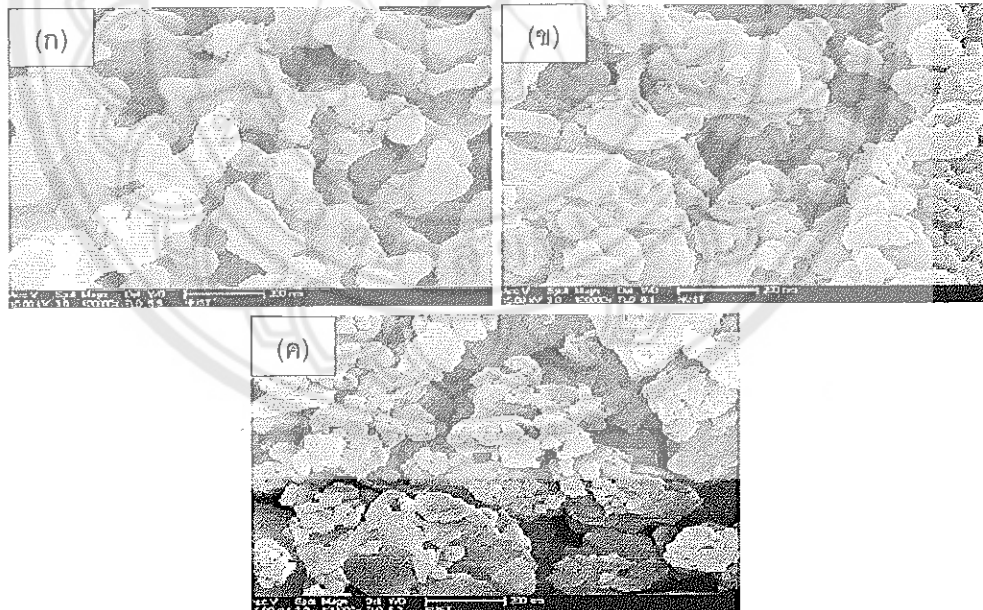
$d$  คือ ค่าความยาวเฉลี่ยของเส้นทแยงมุมของรอยกด ( $\mu\text{m}$ )

## งานวิจัยที่เกี่ยวข้อง

ในปี ค.ศ. 2008 Yuanyuan Li และคณะ (19) ได้ทำการสังเคราะห์ผลลัพธ์ใน LaMnO<sub>3</sub> ด้วยวิธีปั๊วิกริยาการเผาไหม้ชล-เจล โดยศึกษาผลของอัตราส่วนของครดิติวิกตอร์อลและไนเตรท (CA/MN) ในอัตราส่วนที่แตกต่างกัน ซึ่งกระบวนการเติมแม่เหล็กและการเตรียมสารตั้งต้น จากนั้นนำกรดชิตริกและไนเตรทในเทราทไปปรับค่า pH=7 โดยการเติมแอมโมเนียมไฮดรอกไซด์ และนำไปให้ความร้อนที่อุณหภูมิ 130 องศาเซลเซียส เป็นเวลา 24 ชั่วโมง พร้อมกับคนสารให้เข้ากัน จะได้ออกมาอยู่ในรูปแบบของชล-เจล และนำไปเผาเคลือบในอุณหภูมิ 300 องศาเซลเซียส จะได้ตัวอย่างออกมาอยู่ในรูปของผงผลึก จากผลการวิเคราะห์โครงสร้างผลึกของผง LaMnO<sub>3</sub> ด้วยเครื่องวิเคราะห์การเดี่ยวบนของวังส์ເເກັຣ໌ พบร่วมกับอัตราส่วน CA/MN = 0.5 แสดงเฟสของ LaMnO<sub>3</sub> ที่เป็นเฟสหลัก และเฟสของ La<sub>2</sub>O<sub>3</sub> ซึ่งมีโครงสร้างเป็นคิวบิกสอดคล้องกับฐานข้อมูลหมายเลข JCPDS 75-0440 เมื่อปริมาณของอัตราส่วน CA/MN เพิ่มขึ้นพบว่าเฟสของ La<sub>2</sub>O<sub>3</sub> ค่อย ๆ ลดลง และแสดงเฟสหลักของ LaMnO<sub>3</sub> ขัดเจนมากขึ้น และพบเพิ่มความบริสุทธิ์ของ LaMnO<sub>3</sub> ที่อัตราส่วน CA/MN = 1.5 ซึ่งมีโครงสร้างเป็นออร์โธรอมบิกสอดคล้องกับฐานข้อมูลหมายเลข JCPDS 72-0841 ดังภาพ 16 แต่อย่างไรก็ตามเมื่ออัตราส่วนของ CA/MN = 3 พบร่วมกับสังเคราะห์แล้วเก็บกลายเป็นรูปสัน്ധานซึ่งการเพิ่มขึ้นของ CA ลงในสารละลายตั้งต้นทำให้เกิดเป็นเนื้อเดียวกันของเจล และคำนวณด้วยสมการ Scherrer ที่อัตราส่วน CA/MN = 0.5, 1 และ 1.5 ผลลัพธ์มีขนาดเฉลี่ยอยู่ที่ประมาณ 29.8, 30.6 และ 97.8 นาโนเมตร ตามลำดับ ซึ่งจะเห็นได้ว่าเมื่ออัตราส่วนของ CA/MN เพิ่มขึ้น จากการศึกษาโครงสร้างของผงผลึกด้วยกล้องจุลทรรศน์อิเล็กตรอนแบบส่องการดูของผงผลึกที่สังเคราะห์ได้จะมีลักษณะที่แตกต่างกันตามอัตราส่วนของ CA/MN ดังภาพ 17 ซึ่งไม่แต่ละอัตราส่วนจะเห็นว่าโครงสร้างที่ได้มีขนาดใหญ่และมีรูปวน มีการเกะกะกลุ่มกันของอนุภาคที่มีขนาดเล็กซึ่งพลังงานที่ปล่อยออกมามีระหัสของการเผาไหม้ควรจะเพียงพอที่จะสร้างผงออกไซด์ แต่ไม่ควรมากไปเพื่อหลีกเลี่ยงการรวมตัวของอนุภาค และจะเห็นได้ว่าที่อัตราส่วน CA/MN = 1.5 เกิดการรวมกันของอนุภาคที่มีขนาดใหญ่ซึ่งสามารถสรุปได้ว่าการรวมตัวเกิดจากความร้อนเต็มที่ไม่ทราบชื่อ

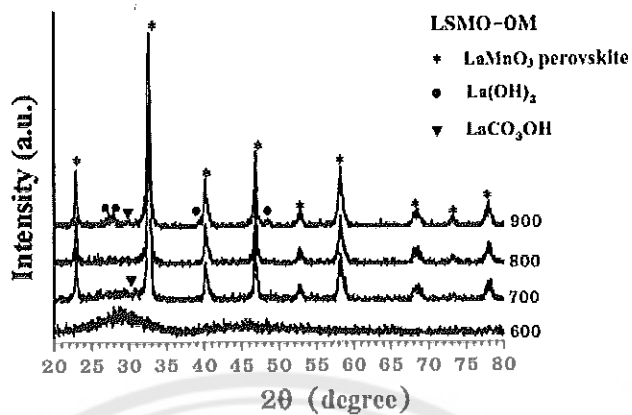


ภาพ 16 ผลการวิเคราะห์โครงสร้างผลึกของผงผลึกленทานัมแมงกานีสออกไซด์ เพกาเคลลไซน์ที่อุณหภูมิ 300 องศาเซลเซียส (19)

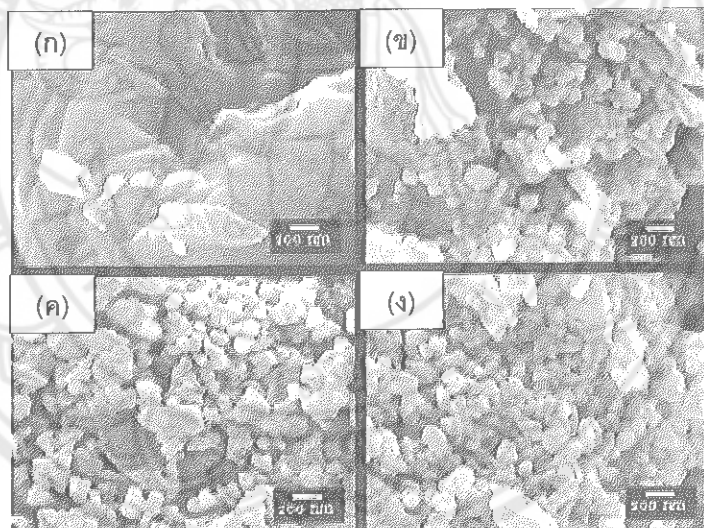


ภาพ 17 ผลการวิเคราะห์โครงสร้างจุลภาคของผงผลึกленทานัมแมงกานีสออกไซด์ อัตราส่วน CA/MN = 0.5, 1 และ 1.5 ตามลำดับ เคลลไซน์ที่อุณหภูมิ 300 องศาเซลเซียส (19)

ในปี ค.ศ. 2008 สุจิตตรา แดงสกุล และคณะ (20) ได้ทำการสังเคราะห์และศึกษาลักษณะ  
เฉพาะของอนุภาคนาโน  $\text{LaMnO}_3$  ที่เตรียมโดยวิธีไฮดโรเจลแบบดัดแปลงโดยการเติมไฮโดรเจนเพา  
เคลล์ไชน์ที่อุณหภูมิ 600 700 800 และ 900 องศาเซลเซียส ตามลำดับ เป็นเวลา 3 ชั่วโมง โดยใช้  
อัตราการเพิ่มและลดอุณหภูมิเป็น 5 องศาเซลเซียส /นาที จากผลการวิเคราะห์โครงสร้างผลึกด้วย  
เทคนิคการเลี้ยวเบนของรังสีเอกซ์ ดังภาพ 18 พบว่าที่อุณหภูมิ 600 องศาเซลเซียส อนุภาคมีลักษณะ  
เป็นอสัณฐานเนื่องจากไม่เกิดยอดกราฟการเลี้ยวของรังสีเอกซ์ และเมื่อเคลล์ไชน์ที่อุณหภูมิ 700  
องศาเซลเซียส พบว่าเฟสที่ได้แสดงถึงการเป็นผลึกของสารประกอบออกไซด์ของ  $\text{LaMnO}_3$  โดย  
คาดว่าประกอบด้วยโครงสร้างเฟสของ  $\text{LaMnO}_3$  คือ แบบอวิโอรอมบิก  $\text{LaMnO}_3$  สดคล่องกลับ  
ฐานข้อมูลหมายเลข JCPDS 35-1353 และแบบรวมใบอีดรอตของ  $\text{LaMnO}_{3.15}$  ซึ่งสดคล่องกับ  
ฐานข้อมูลหมายเลข JCPDS 50-0298 และพบว่าเริ่มเกิดเป็นเฟสเพอร์โพร์ฟไกท์ของ  $\text{LaMnO}_3$   
ที่อุณหภูมิ 700 องศาเซลเซียส และเมื่ออุณหภูมิเคลล์ไชน์เพิ่มขึ้นจะทำให้อนุภาคนาโนใน  $\text{LaMnO}_3$   
มีความเป็นผลึกมากขึ้น แต่ยังพบเฟสปลอมปนของ  $\text{LaCO}_3\text{OH}$  และ  $\text{La}(\text{OH})_3$  จากการคำนวณหา  
ขนาดอนุภาคเคลล์ไชน์ที่อุณหภูมิ 700, 800 และ 900 องศาเซลเซียส มีขนาดอนุภาคเฉลี่ยประมาณ  
24.86 25.86 และ 26.26 นาโนเมตร ตามลำดับ จากการวิเคราะห์โครงสร้างจุลภาคของผงผลึกด้วย  
กล้องจุลทรรศน์อิเล็กตรอนแบบส่องกราดด้วยกำลังขยาย 20000 เท่า ดังภาพ 19 พบว่า อนุภาคนาโนใน  
 $\text{LaMnO}_3$  ที่ได้มีลักษณะคล้ายกันในทุกสารตัวอย่างนั้นคืออนุภาคมีลักษณะค่อนข้างทรงกลมและ  
มีการเกาะตัวกันเป็นกลุ่มก้อนของอนุภาคขนาดเล็กจำนวนมาก แต่จะเห็นว่าเมื่อเคลล์ไชน์ที่อุณหภูมิ  
600 องศาเซลเซียส อนุภาคที่ได้ไม่มีลักษณะของการเป็นผลึกเนื่องจากไม่ปรากฏเม็ดผลึก



ภาพ 18 ผลการวิเคราะห์โครงสร้างผลึกของผงผลึกแلنทานัมแมงกานีสออกไซด์เพาแคลไชน์ที่อุณหภูมิ 600 700 800 และ 900 องศาเซลเซียส เป็นเวลา 3 ชั่วโมง (20)

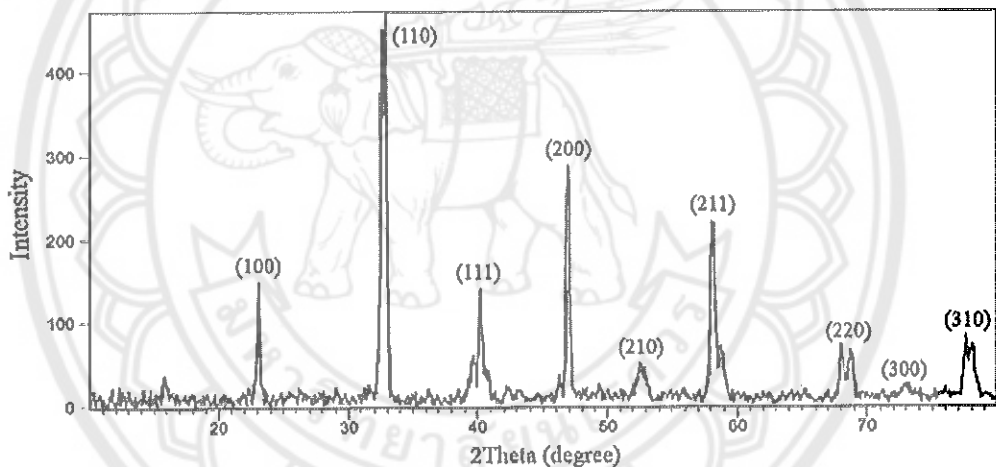


ภาพ 19 ผลการวิเคราะห์โครงสร้างจุลภาคของผงผลึกแلنทานัมแมงกานีสออกไซด์เพาแคลไชน์ที่อุณหภูมิ (ก) 600 (ข) 700 (ค) 800 และ (ง) 900 องศาเซลเซียส เป็นเวลา 3 ชั่วโมง (20)

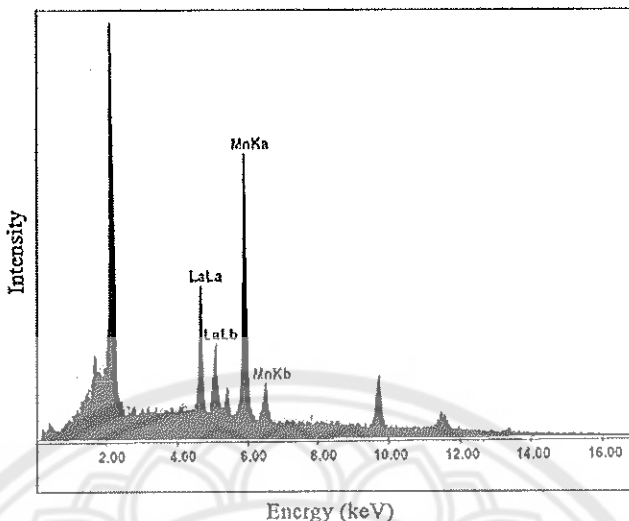
ในปี ค.ศ. 2014 Maryam Shaterian et al. (21) ได้ทำการสังเคราะห์ ศึกษาถักขณาและปฏิกิริยาไฟต่อค่าไฟติกของอนุภาคนาโน LaMnO<sub>3</sub> โดยการเตريยมสารละลายของสารตั้งต้นจากนั้นนำมาให้ความร้อนที่อุณหภูมิ 120 องศาเซลเซียส เป็นเวลา 3 ชั่วโมง จะได้ออกมาในรูปแบบของเจล และทำให้แห้งโดยการให้ความร้อนในเตาอบที่อุณหภูมิ 400 องศาเซลเซียส เป็นเวลา 12

ชั่วโมง จากนั้นนำมาแคลไชน์ที่อุณหภูมิ 800 องศาเซลเซียส เป็นเวลา 2 ชั่วโมง จะได้สารตัวอย่าง ออกมาในรูปของผลึก จากการวิเคราะห์โครงสร้างเฟสของผลึกด้วยเทคนิคการเดี่ยวเบนของรังสีเอกซ์ที่อุณหภูมิแคลไชน์ 800 องศาเซลเซียส ดังภาพ 20 พบเฟสมีความเป็นค่าดัชนีความบริสุทธิ์เพอร์เซอร์กัดของ  $\text{LaMnO}_3$  มีโครงสร้างเป็นรูมบิล็อก และสามารถหาขนาดเฉลี่ยของผลึกได้จากสมการของ Scherrer โดยมีขนาดอยู่ที่ประมาณ 18 นาโนเมตร เมื่อนำมาวิเคราะห์ด้วย EDX หรือวิเคราะห์ธาตุเชิงคุณภาพพบว่าที่ความบริสุทธิ์ของตัวอย่าง  $\text{LaMnO}_3$  ในอัตราส่วนระหว่างแlenทันมต่อแมงกานีส ที่ 1:1 ดังภาพ 21 จากการวิเคราะห์โครงสร้างจุลภาคของผลึกด้วยกล้องจุลทรรศน์อิเล็กตรอนแบบส่องการดู卜ว่าอนุภาคมีลักษณะเป็นทรงกลมขนาดนาโนโดยอนุภาคมีการเกาะกั่มกันอย่างหนาแน่น มีขนาดอนุภาคเฉลี่ยประมาณ 20-30 นาโนเมตร ดังภาพ 22

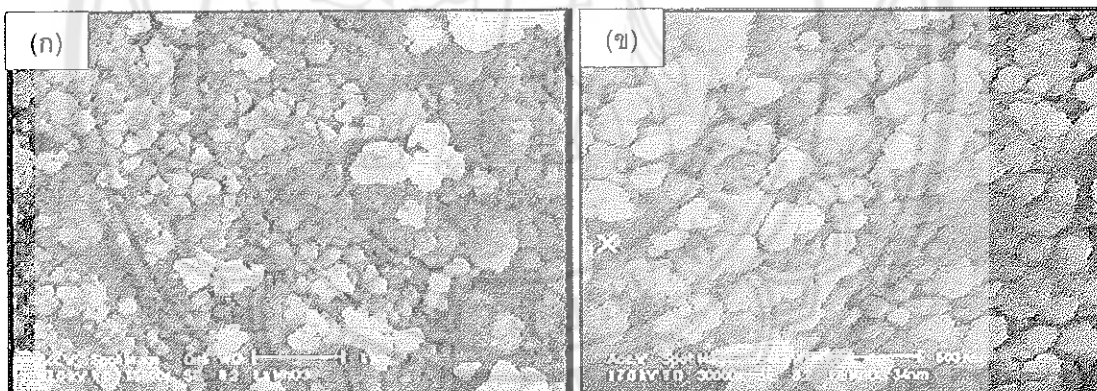
101



ภาพ 20 ผลการวิเคราะห์โครงสร้างผลึกของผลึกแlenทันมต่อแมงกานีสออกไซด์เพาแคลไชน์ที่อุณหภูมิ 800 องศาเซลเซียส เป็นเวลา 2 ชั่วโมง (21)



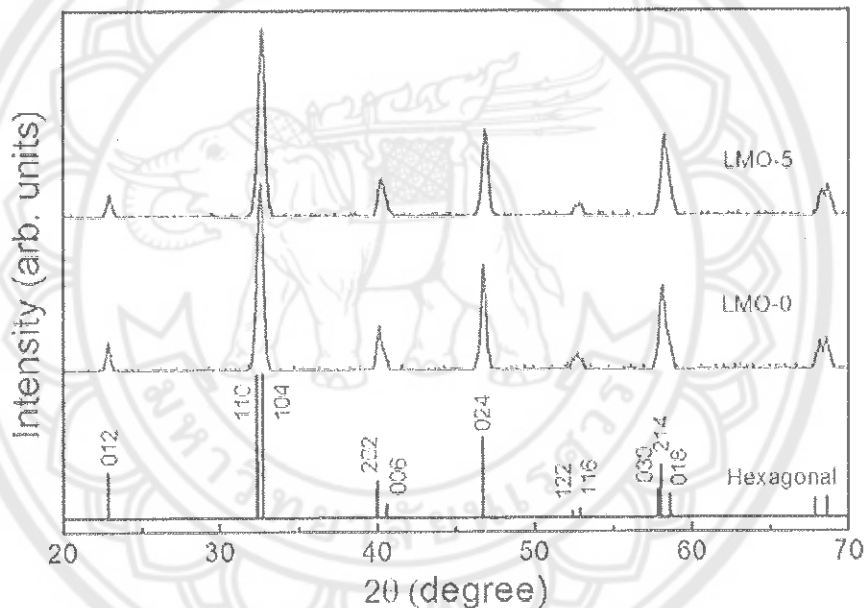
ภาพ 21 ผลการวิเคราะห์สเปกตรัมของธาตุเชิงคุณภาพของอนุภาคนามใน LENN THAN M  
แมงกานีสออกไซด์เคลือบไนท์ 800 องศาเซลเซียส เป็นเวลา 2 ชั่วโมง (21)



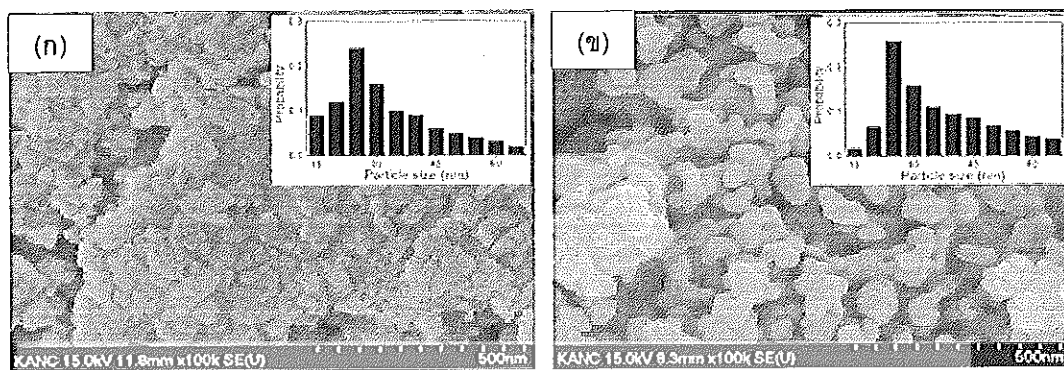
ภาพ 22 ผลการวิเคราะห์โครงสร้างจุลภาคของผงผลึก LENN THAN M แมงกานีสออกไซด์  
เคลือบไนท์อุณหภูมิ 800 องศาเซลเซียส เป็นเวลา 2 ชั่วโมง ที่กำลังขยาย  
ต่างกัน (21)

ในปี ค.ศ. 2016 P. S. Tola et al. (22) ได้ศึกษาสมบัติทางแม่เหล็กและผลของแม่เหล็ก  
ของอนุภาคนามใน  $\text{LaMnO}_3$  ที่เตรียมโดยวิธีเคลือบ โดยการสังเคราะห์อนุภาคนามใน  $\text{LaMnO}_3$  ที่มี  
อนุภาคเฉลี่ยประมาณ 25 นาโนเมตร และมีเติม PVA ในปริมาณที่ 0 และ 5 มิลลิลิตร

จากการศึกษาโครงสร้างเฟสของผงผลึกด้วยเทคนิคการเลี้ยวเบนของรังสีเอกซ์ดังภาพ 23 พบความบริสุทธิ์ของ LMO-0 และ LMO-5 ที่อุณหภูมิแคลร์โน่ 700 องศาเซลเซียส มีโครงสร้างแบบรอนบีซิดรัลและเอกตระgonol และจากการคำนวณหาอนุภาคเฉลี่ยพบว่ามีอนุภาคเฉลี่ยประมาณ 20 นาโนเมตรจากการศึกษาโครงสร้างจุลภาคของผงผลึกด้วยกล้องจุลทรรศน์อิเล็กตรอนแบบสองกราด ดังภาพ 24 พบว่าขนาดของอนุภาคในมีการเปลี่ยนแปลงเมื่อเติม PVA เพิ่มขึ้น ที่การเติม  $PVA = 0$  แสดงให้เห็นว่าลักษณะสันฐานมีความหนาแน่นขึ้นและมีการเกาะกสุ่มกันเป็นก้อน และที่การเติม  $PVA = 5$  จะพบว่าอนุภาคมีการแยกกลุ่มอย่างชัดเจน ซึ่งเมื่อหาอนุภาคเฉลี่ย พนว่า มีอนุภาคเฉลี่ยประมาณ 25 นาโนเมตร

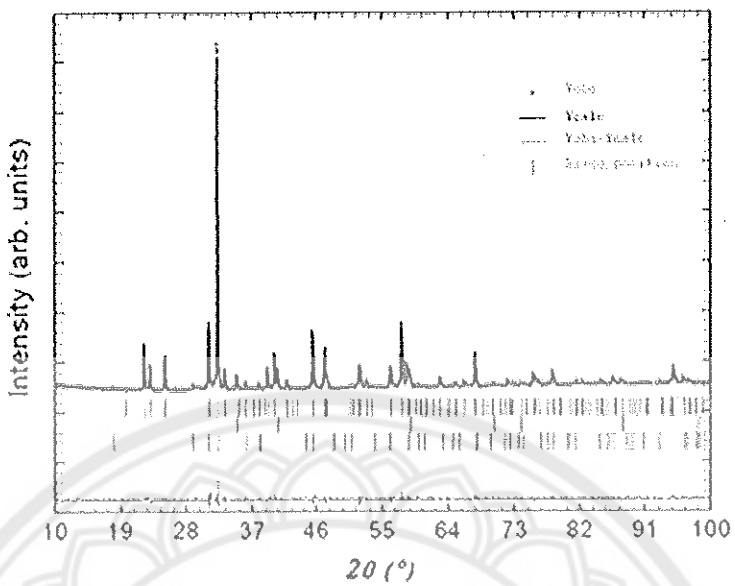


ภาพ 23 ผลการวิเคราะห์โครงสร้างผงผลึกของผงผลึกบนทาน้ำเมงกานีสออกไซด์ที่เติม  $PVA = 0$  และ 5 มิลลิลิตร (22)

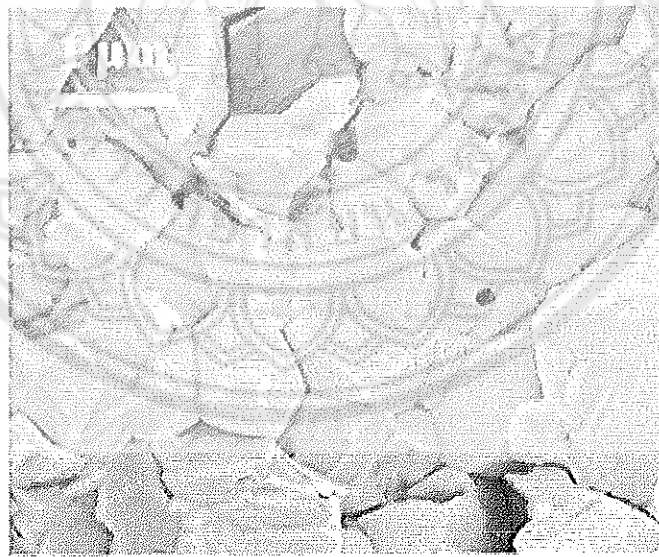


ภาพ 24 ผลการวิเคราะห์โครงสร้างอุลภาคผลึกของผงผลึกแผ่นทานัมแมงกานีสออกไซด์ที่เติม PVA = 0 และ 5 มิลลิลิตร (22)

ในปี ค.ศ. 2012 Y. Regaieg et al. (23) ได้ทำการศึกษาเรื่องการสังเคราะห์แผ่นทานัมแมงกานีสออกไซด์ แมงกานีสออกไซด์ที่มีโครงสร้างเพอร์อฟสไกต์ ซึ่งการสังเคราะห์ด้วยกระบวนการสถานะของแข็ง โดยวิธีสปาร์คพลาสม่า เพื่อศึกษาสมบัติทางแม่เหล็ก จากการสังเคราะห์จากสารตั้งต้น  $\text{La}(\text{OH})_3$  และ  $\text{Mn}_2\text{O}_3$  โดยมีอัตราส่วน  $\text{La}/\text{Mn}=0.6$  จากการสปาร์ค พลาสม่าพบว่าเริ่มมีปฏิกิริยาตอบสนองในไม่กี่นาทีที่อุณหภูมิ 900 องศาเซลเซียส ภายใน 50 เมกะปascal โดยมีอัตราการขึ้นลงของอุณหภูมิเป็น 100 องศาเซลเซียส/นาที จากการนี้วิเคราะห์ผงแผ่นทานัมแมงกานีสออกไซด์ด้วยเทคนิคการเลี้ยงเบนของรังสีเอกซ์ กล้องอุลทรารถย์อิเล็กตรอนแบบส่องกราด และวิเคราะห์ผ่านทางแม่เหล็ก เมื่อวิเคราะห์ด้วยเทคนิคการเลี้ยงเบนของรังสีเอกซ์แบบ Rietveld refinement ของผลผลึกแผ่นทานัมแมงกานีสออกไซด์ พบว่าผลึกมีโครงสร้างเพอร์อฟสไกต์ชนิด O'type แบบออกอร์โธรอมบิก และมีกลุ่มปริภูมิแบบ Pb0m ดังภาพ 25 และเมื่อวิเคราะห์ด้วย FEG SEM และวิเคราะห์หาความหนาแน่นของตัวอย่างด้วยเครื่อง pycnometer โดยใช้แก๊สไฮโดรเจน พบร่วมค่าประมาณ  $6.3 \pm 0.02$  กรัมต่อ立方เมตร ซึ่งสอดคล้องกับการรวมตัวกันอย่างอัดแน่นประมาณ 96% และพบว่าเกรนมีขนาดใหญ่มีลักษณะเป็นรูปหลากรูป เหลี่ยมซึ่งมีขนาดเกรนอยู่ในระดับไมโครเมตร และมีความเป็นเนื้อเดียวกันและมีความหนาแน่นสูงที่เกือบจะเป็นส่วนหลักของเชรามิกที่ศึกษาดังภาพ 26

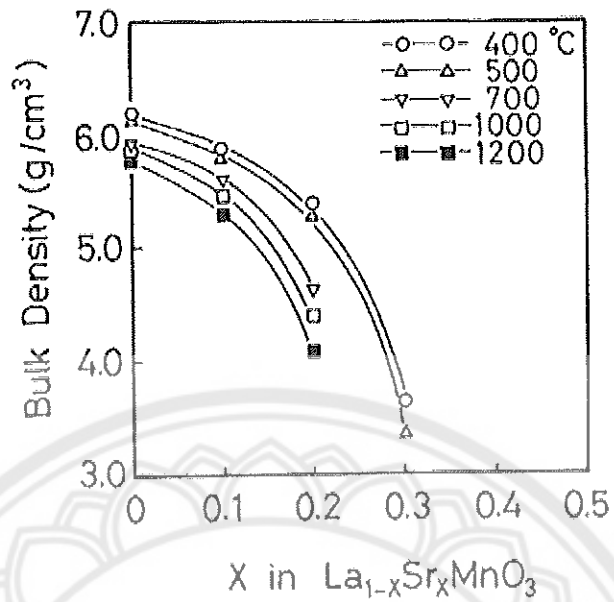


ภาพ 25 ผลการวิเคราะห์ด้วยเทคนิคการเลี้ยวเบนของรังสีเอกซ์แบบ Rietveld refinement ของเซรามิกแลนทานัมแมงกานีสออกไซด์ที่เตรียมโดยเทคนิคสปาร์คพลาสม่า (23)

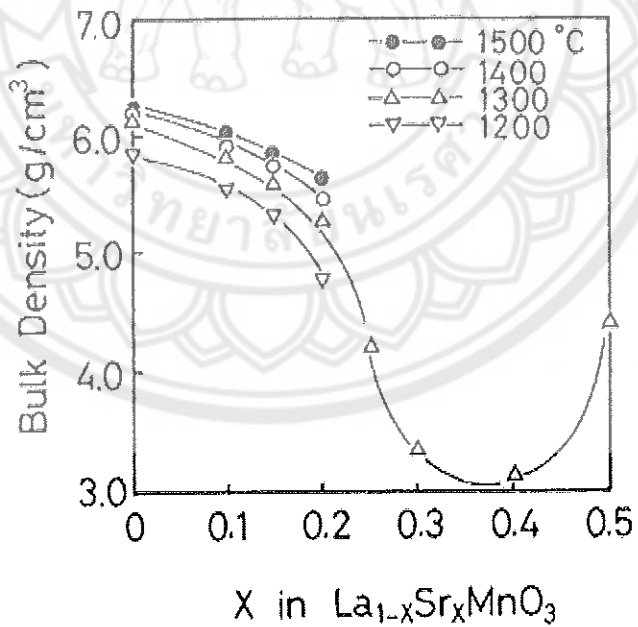


ภาพ 26 ภาพถ่ายด้วยกล้องจุลทรรศน์อิเล็กตรอนแบบส่องกราดแบบของเซรามิกแลนทานัมแมงกานีสออกไซด์ที่เตรียมโดยเทคนิคสปาร์คพลาสม่า (23)

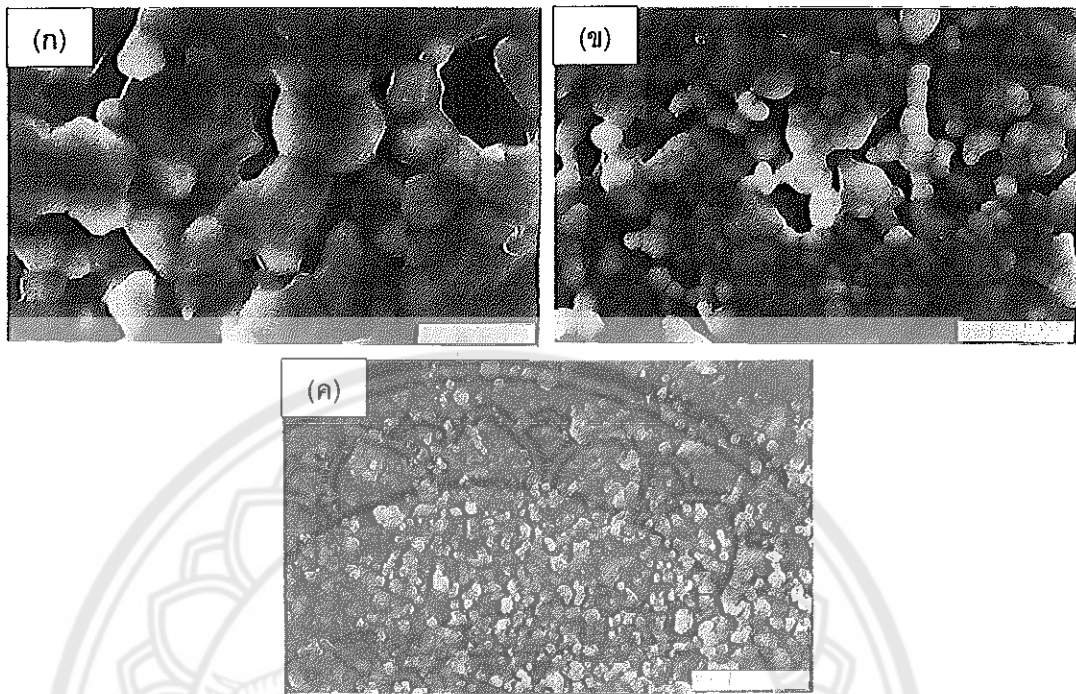
ในปี ค.ศ. 1989 Keiichi katayama (24) ได้ทำการศึกษาอุณหภูมิการเผาซินเตอร์และสภาพการนำไปไฟฟ้าของ  $\text{La}_{1-x}\text{Sr}_x\text{MnO}_3$  จากการศึกษาความสามารถในการเผาและสภาพการนำไปไฟฟ้าของ  $\text{La}_{1-x}\text{Sr}_x\text{MnO}_3$  โดยการเผาเคลือบชั่นตั้งแต่อุณหภูมิ 500 ถึง 1200 องศาเซลเซียส เผาซินเตอร์ตั้งแต่อุณหภูมิ 1200 ถึง 1500 องศาเซลเซียส เป็นเวลา 10 ชั่วโมง โดยอยู่ในสภาวะอากาศและระบบสูญญากาศ จากนั้นมีการเติมสตอรอนเทียมโดยมีความเข้มข้นตั้งแต่  $0 \leq X \leq 0.5$  และการขาดไออกอนบวก จากการวิเคราะห์ผลการเลี้ยงเบนของรังสีเอกซ์พับว่าผลลัพธ์ของ  $\text{La}_{1-x}\text{Sr}_x\text{MnO}_3$  มีโครงสร้างแบบรูปโรโดรัล ( $0 \leq X \leq 0.4$ ) หรือมีโครงสร้างแบบคิวบิก ( $X=0.5$ ) โดยผลที่พบนั้นเหมือนกับงานวิจัยก่อนหน้าของ Hawood's ในทางกลับกันเมื่อตัวอย่างถูกเผาซินเตอร์ในระบบสูญญากาศ พับโครงสร้างแบบอโคลอโรนบิกได้รับการยืนยันด้วยจำนวนเล็กน้อยของ  $\text{MnLa}_2\text{O}_4$  และ  $\text{La}(\text{OH})_3$  ที่ใกล้กับพื้นผิวของตัวอย่าง ซึ่งเพสท์สองนี้สามารถลบออกໄไปได้ง่ายโดยการใส่และรับเพสเดียว ขอเชื่อมบิกของ  $\text{La}_{1-x}\text{Sr}_x\text{MnO}_3$  ซึ่ง Jonker และ Yakei พบว่าโครงสร้างผลลัพธ์ของ  $\text{La}_{1-x}\text{Sr}_x\text{MnO}_3$  ขึ้นอยู่กับความเข้มของ  $\text{Mn}^{4+}$  และบรรยายกาศการยิงแต่พวกรูปแบบที่ไม่ได้ตรวจสอบเพิ่มเติม จากการวิเคราะห์อุณหภูมิเคลือบชั่นที่ขึ้นอยู่กับความหนาแน่น พบร่วมกับอุณหภูมิการเผาเคลือบชั่น 400 และ 500 องศาเซลเซียส จะมีรูปร่างเป็นแบบอสัญฐาน ขณะที่เผาเคลือบชั่น 600 องศาเซลเซียส หรือสูงกว่านั้นพบว่าจะมีโครงสร้างผลลัพธ์เป็นแบบเพอร์อฟส์ไกท์ โดยสามารถใช้ผงอสัญฐานมาเตรียมตัวอย่างความหนาแน่นได้ ตั้งภาพ 27 และ 28 เป็นการแสดงถึงอุณหภูมิการเผาที่ขึ้นอยู่กับความหนาแน่นโดยการเลือกผงที่ผ่านการเคลือบชั่นที่อุณหภูมิ 500 องศาเซลเซียสสามารถทำกำลังเผาซินเตอร์ในสภาวะบรรยายกาศที่อุณหภูมิต่างๆ เป็นเวลา 10 ชั่วโมง พบร่วมกับอุณหภูมิในการเผาค่าของความหนาแน่นลดลงนั้นจะขึ้นอยู่กับค่า  $X$  และพบว่ามีค่าความหนาแน่นสูงสุดที่  $X=0.4$  ซึ่งเมื่ออุณหภูมิในการเผาเพิ่มขึ้นจะช่วยเพิ่มความสามารถในการเผาซินเตอร์ และเมื่อศึกษาสภาพถ่ายตัวยกล้องจุลทรรศน์อิเล็กตรอนแบบส่องการดูพบร่วมกับขนาดของเกรนลดลงอย่างชัดเจนและพบว่ามีการยับยั้งการเดินทางของเกรนเมื่อความชื้นเด่นขึ้นเมื่อ  $X$  เพิ่มขึ้น ตั้งภาพ 29 และเมื่อวิเคราะห์ค่าความหนาแน่นของตัวอย่างที่เผาซินเตอร์ในอากาศและระบบสูญญากาศจะช่วยเพิ่มความหนาแน่นแต่ขนาดเกรนยังคงไม่ได้รับผลกระทบจากบรรยายกาศการยิง ซึ่งผลเหล่านี้ชี้ให้เห็นว่าการเผาซินเตอร์ของ  $\text{La}_{1-x}\text{Sr}_x\text{MnO}_3$  นั้นขึ้นอยู่กับความเข้มของ  $\text{Mn}^{4+}$  และยังคงความเข้มของ  $\text{Mn}^{4+}$  ต่อไปได้ความหนาแนenk ก็จะยิ่งสูงขึ้น ตั้งภาพ 30



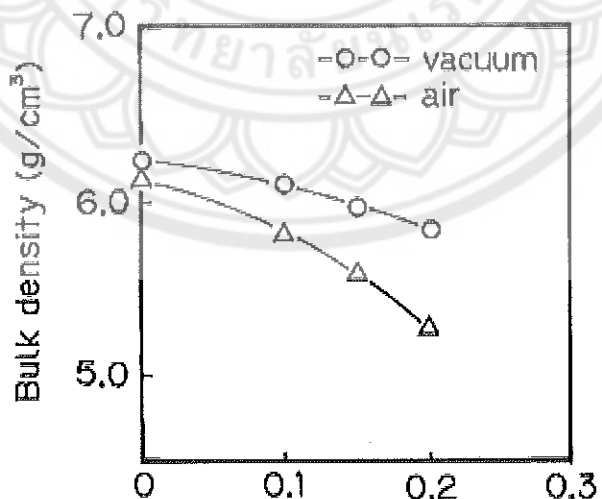
ภาพ 27 อุณหภูมิของการเผาเคลือบซึ่นที่ขึ้นกับอยู่กับความหนาแน่น  
เผาเคลือบซึ่นที่อุณหภูมิต่าง ๆ เป็นเวลา 10 ชั่วโมง (24)



ภาพ 28 อุณหภูมิการเผาซึ่นขึ้นอยู่กับความหนาแน่นโดยเลือกผงจากการเผาเคลือบซึ่น  
ที่อุณหภูมิ 500 องศาเซลเซียส มาเผาซึ่นเตอร์รีในสภาวะอากาศที่อุณหภูมิ  
ต่าง ๆ เป็นเวลา 10 ชั่วโมง (24)

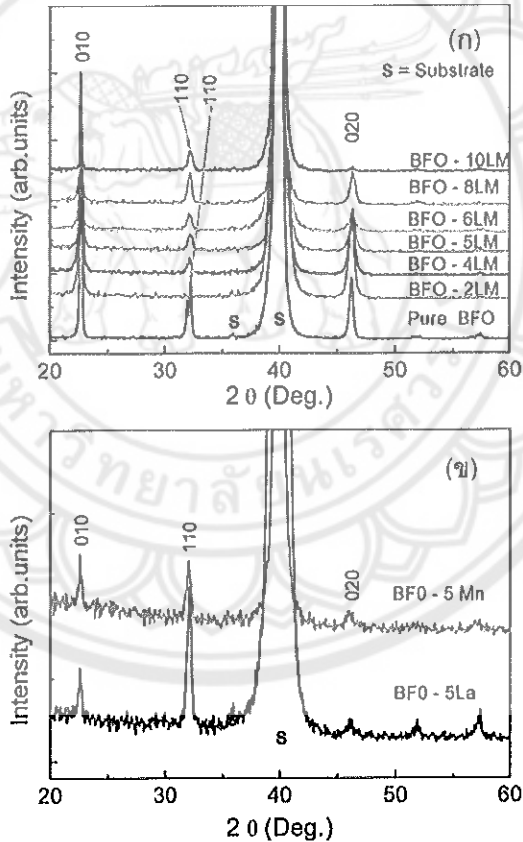


ภาพ 29 ภาพถ่ายด้วยกล้องจุลทรรศน์อิเล็กตรอนแบบส่องกราดของ  $\text{La}_{1-x}\text{Sr}_x\text{MnO}_3$  เพาชินเตอร์ในสภาวะอากาศที่อุณหภูมิ 1300 องศาเซลเซียส เป็นเวลา 10 ชั่วโมง (ก)  $x=0.0$ , (ข)  $X=0.2$  และ (ค)  $x=0.4$  สเกล 5 ไมโครเมตร (24)



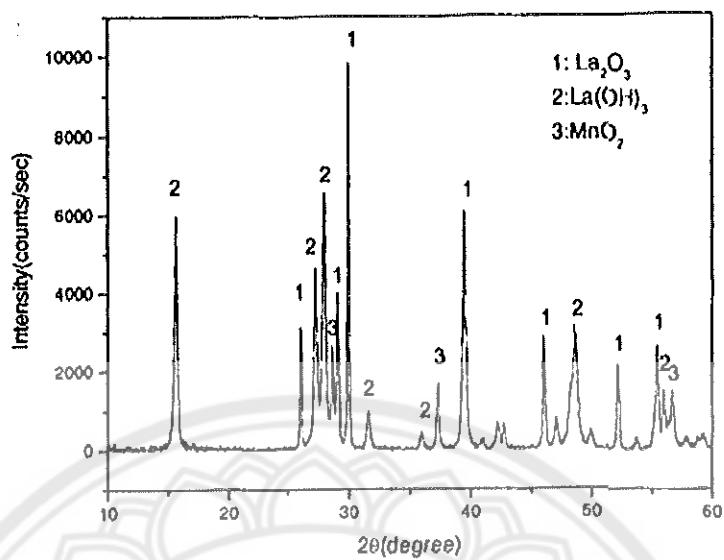
ภาพ 30 ค่าความหนาแน่นของตัวอย่างที่เพาชินเตอร์ในสภาวะอากาศและระบบสุญญากาศที่อุณหภูมิ 1300 องศาเซลเซียส เป็นเวลา 10 ชั่วโมง (24)

ในปี ค.ศ. 2009 Abdellah Lahmar et al. (25) ได้ทำการศึกษาความสัมพันธ์ระหว่างโครงสร้าง สมบัติไฟฟ้า สมบัติเฟอโรโรอิเล็กทริกของพิล์มบาง  $\text{BiFeO}_3\text{-LaMnO}_3$  ที่เตรียมด้วยวิธีสารละลายของเย็น จากการวิเคราะห์ด้วยเทคนิคการเลี้ยวเบนของรังสีเอกซ์ดังภาพ 31(ก) และ 31(ข) พบว่า เกิดการแยกของพิคที่ระนาบ 110 และสังเกตได้ว่าพิล์มบริสุทธิ์ BFO จะค่อนข้างมีประสิทธิภาพกว่าพิล์มที่มีการเจือและยังสังเกตว่ามีงานวิจัยก่อนหน้าที่ได้ทำการตัดแปลงพิล์มบาง BFO โดยการเจือ La ซึ่งจะมีโครงสร้างเป็น Heteroepitaxial ด้วยความเข้มข้นของ La อยู่ในช่วงตั้งแต่ 8% ถึง 15% และมีสาเหตุมาจากการเลี้ยงของโครงสร้างโมโนคลินิกที่ลดลงของความบริสุทธิ์และทำให้ BFO ซึ่งการปรับแต่งแล็ตทิชพารามิเตอร์ได้ปะกอบด้วยโครงสร้างโมโนคลินิกสำหรับความบริสุทธิ์ BFO และโครงสร้างของริชาร์ดมบิคสำหรับ BFO-LM โดยใช้รูปแบบการเลี้ยวเบนจากพิล์มบาง

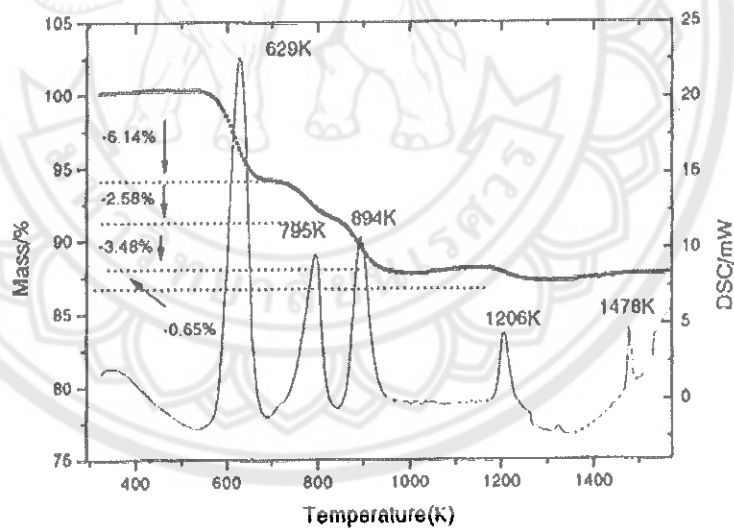


ภาพ 31 รูปแบบการเลี้ยวเบนของรังสีเอกซ์ของพิล์มบางที่อุณหภูมิห้อง (ก)  $\text{BFO-xLM}$  ( $x=0, 2, 4, 5, 6, 8$  และ  $10\%$ ) (ข)  $\text{BFO-5La}$  และ  $\text{BFO-5Mn}$  (25)

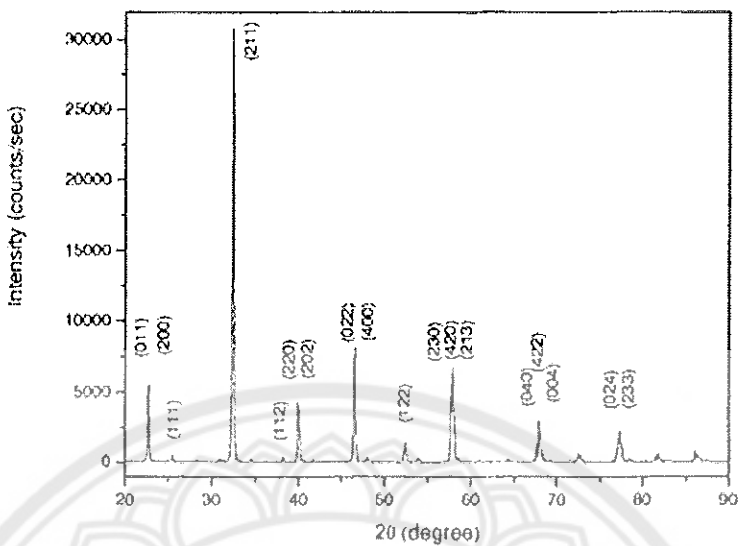
ในปี ค.ศ.2005 Qifeng Shu et al. (26) ได้ทำการสังเคราะห์แลนทานัมแมงกาไนท์ด้วยกระบวนการปฏิกิริยาสถานะของแข็งซึ่งการเตรียม  $\text{La}_{0.95}\text{MnO}_3$  ด้วยกระบวนการปฏิกิริยาสถานะของแข็ง จากการเกิดปฏิกิริยาระหว่าง  $\text{La}_2\text{O}_3$  ( $\text{La}(\text{OH})_3$ ) และ  $\text{MnO}_2$  จากนั้นทำการตรวจสอบด้วย TG/DSC และ XRD ที่อุณหภูมิสูง และอุณหภูมิห้อง จากภาพ 32 แสดงรูปแบบการเลี้ยวเบนของรังสีเอกซ์ของ  $\text{La}_2\text{O}_3$  และ  $\text{MnO}_2$  ด้วยอัตราส่วน  $\text{La}/\text{Mn}$  คือ 0.95 ซึ่งสามารถเห็นได้ว่าแลนทานัมออกไซด์บางส่วนได้ลดความชื้นไว้เป็นแลนทานัมไฮดรอกไซด์ และเมื่อวิเคราะห์ด้วย TG/DSC ของ  $\text{La}_2\text{O}_3$  และ  $\text{MnO}_2$  ในอัตราส่วน  $\text{La}/\text{Mn}$  คือ 0.95 พบว่ามีการสูญเสียน้ำหนักแรกที่พีคเมื่อการลดความร้อนประมาณ 629K สอดคล้องกับการสลายตัวของ  $\text{La}(\text{OH})_3$  เป็น  $\text{LaOOH}$  และ  $\text{H}_2\text{O}$  การสูญเสียน้ำหนักต่อมาเกิดพีคที่คุณภาพร้อนประมาณ 795 เคลวิน สอดคล้องกับการสลายตัวของ  $\text{LaOOH}$  เป็น  $\text{La}_2\text{O}_3$  และ  $\text{H}_2\text{O}$  ต่อมาการสูญเสียน้ำหนักลำดับที่ 3 เกิดพีคที่คุณภาพร้อนประมาณ 894 เคลวิน ซึ่งเกิดการสลายตัวของ  $\text{MnO}_2$  เป็น  $\text{Mn}_2\text{O}_3$  และ  $\text{O}_2$  ต่อมาเมื่อการสูญเสียน้ำหนักลำดับที่ 4 เกิดพีคที่คุณภาพร้อนประมาณ 1206 เคลวิน ซึ่งสามารถตีความได้โดยมีการสลายตัวของ  $\text{Mn}_2\text{O}_3$  เป็น  $\text{Mn}_3\text{O}_4$  และ  $\text{O}_2$  ต่อมาการสูญเสียน้ำหนักต่อไปของ TG แสดงให้เห็นว่าน้ำหนักที่เพิ่มขึ้นนั้นเกิดจาก การถูกกลืนออกซิเจนในปฏิกิริยาระหว่าง  $\text{La}_2\text{O}_3$  และ  $\text{Mn}_3\text{O}_4$  ในรูปแบบ  $\text{La}_{0.95}\text{MnO}_3$  และเกิดพีคคุณภาพร้อนตุ่ด้วยที่ 1478 เคลวิน ซึ่งมีแนวโน้มที่สอดคล้องกับการเปลี่ยนแปลงเฟสของ  $\text{Mn}_3\text{O}_4$  จากเตตระโนมอลเป็นคิวบิกดังภาพ 33 และจากการเตรียมตัวอย่าง  $\text{La}_{0.95}\text{MnO}_3$  และ  $\text{LaMnO}_3$  เพื่อให้ได้เฟสเดียวโดยการเผาที่อุณหภูมิ 1473 เคลวิน เป็นเวลา 8 ชั่วโมง เมื่อวิเคราะห์ด้วยเทคนิคการเลี้ยวเบนของรังสีเอกซ์พบว่าทั้ง  $\text{La}_{0.95}\text{MnO}_3$  และ  $\text{LaMnO}_3$  มีโครงสร้างแบบออร์โธรอมบิก และพบว่ามี  $\text{Mn}^{4+}$  ในทั้งสองตัวอย่างซึ่งมีความใกล้เคียงกันมากดังภาพ 34 และ 35



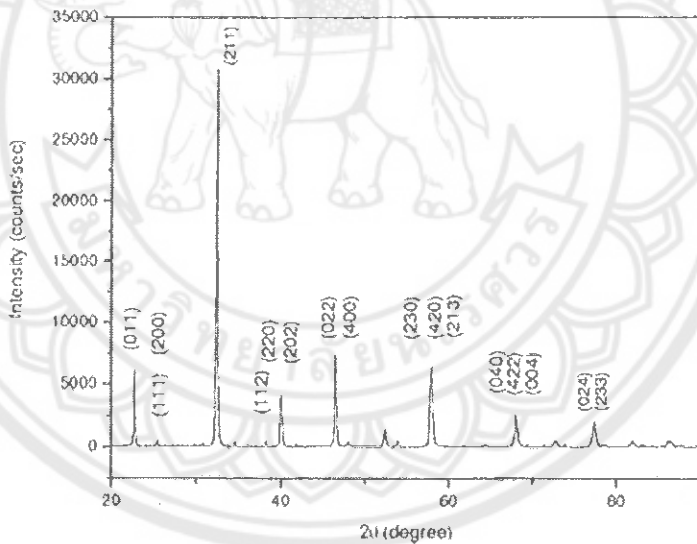
ภาพ 32 รูปแบบการเลี้ยงเบนของรังสีเอกซ์ของผงผสม  $\text{La}_2\text{O}_3$  และ  $\text{MnO}_2$  ( $\text{La}/\text{Mn}=0.95$ )  
(26)



ภาพ 33 เส้นโค้ง TG-DSC ของผงผสม  $\text{La}_2\text{O}_3$  และ  $\text{MnO}_2$  ( $\text{La}/\text{Mn}=0.95$ ) (26)



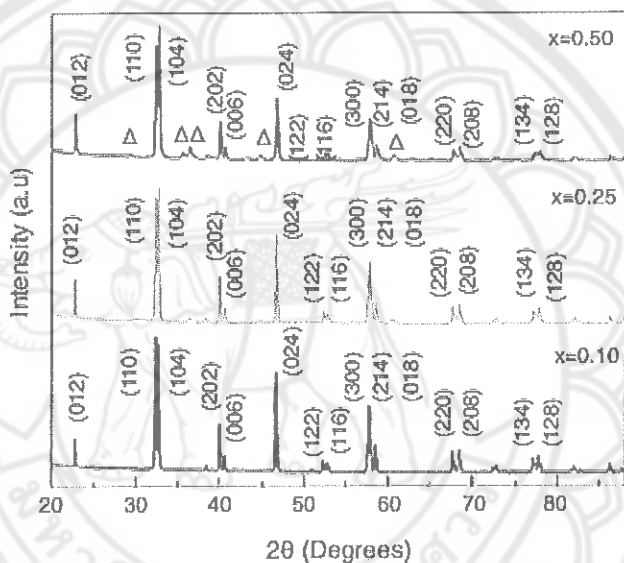
ภาพ 34 รูปแบบการเลี้ยวเบนของรังสีเอกซ์ของ  $\text{La}_{0.95}\text{MnO}_3$  (26)



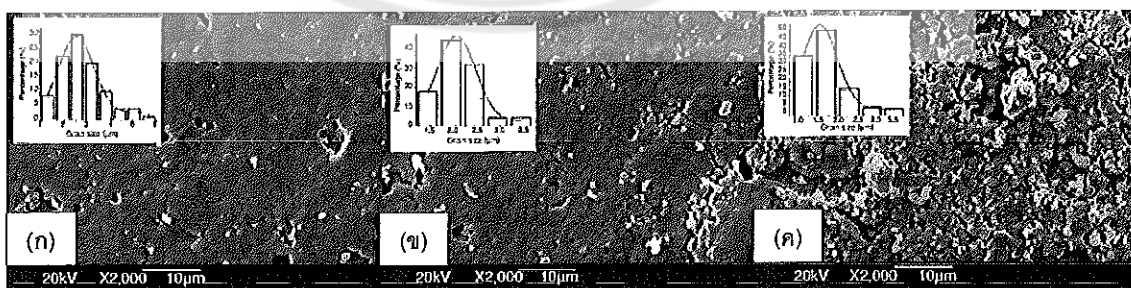
ภาพ 35 รูปแบบการเลี้ยวเบนของรังสีเอกซ์ของ  $\text{LaMnO}_3$  (26)

ในปี ค.ศ.2017 Garcia Ivan Supelano et al. (27) ได้ศึกษาผลของการเติมแมกนีเซียม ในเซรามิกแคนทานัมแมงกานีสออกไซด์ ซึ่งในงานวิจัยนี้ได้รายงานการสังเคราะห์  $\text{La}_{1-x}\text{Mg}_x\text{MnO}_3$  (เมื่อ  $x = 0.10, 0.25$  และ  $0.50$ ) โดยเตรียมตัวอย่างโดยวนการปฏิกิริยาสถานะของแก้ว เผาชินเตอร์ที่ อุณหภูมิ  $1150$  องศาเซลเซียส เป็นเวลา  $24$  ชั่วโมง เมื่อตรวจสอบด้วยเทคนิคการเลี้ยวเบนของรังสีเอกซ์ (XRD) พบว่าที่การเติม  $\text{Mg}$  ที่  $x = 0.25$  และ  $0.5$  พบร่องรอยของ  $\text{Mn}_3\text{O}_4$  ที่  $2\theta = 35.57^\circ$

และ  $36.37^\circ$  ดังภาพ 36 โดยผลึกที่ได้เป็นกรุ๊ปบริภูมิ R-3c แบบรวมไปยังรัล จากนั้นมีศึกษาโครงสร้างจุลภาคด้วยกล้องจุลทรรศน์อิเล็กตรอนแบบส่องกราด (SEM) โดยภาพแสดงนี้พบว่าไม่มีการเปลี่ยนแปลงแบบมีนัยสำคัญของลักษณะสัญญาณวิทยา เมื่อมีการเพิ่มความเข้มข้นของ Mg ใน LMO ดังภาพ 37 สำหรับการเติม Mg ที่  $x = 0.1$  มีขนาดเกรนเฉลี่ยอยู่ระหว่าง 3.23 และ 1.83 ไมโครเมตร ที่  $x = 0.25$  มีขนาดเกรนเฉลี่ยระหว่าง 2.45 และ 1.65 ไมโครเมตร และที่  $x = 0.5$  มีขนาดเกรนเฉลี่ยอยู่ระหว่าง 1.93 และ 1.13 ไมโครเมตร ซึ่งการแทนที่ของ Mg ที่ตำแหน่ง La สงผลให้ขนาดเกรนลดลง

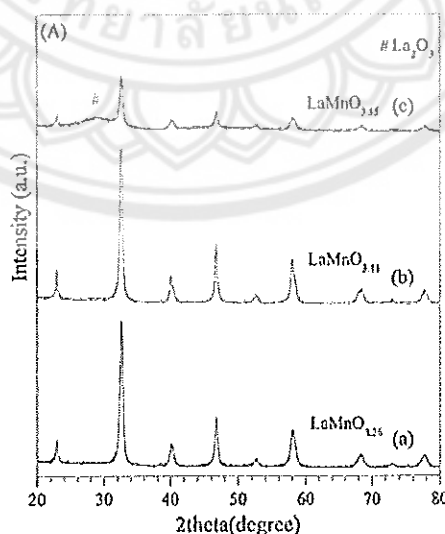


ภาพ 36 รูปแบบการเลี้ยวเบนของรังสีเอกซ์ของเซรามิก  $\text{La}_{1-x}\text{Mg}_x\text{MnO}_3$  ที่  $x = 0.1$  0.25 และ 0.50 (27)



ภาพ 37 ภาพถ่ายด้วยกล้องจุลทรรศน์อิเล็กตรอนแบบส่องกราดของเซรามิก  $\text{La}_{1-x}\text{Mg}_x\text{MnO}_3$  ที่  $x = (\eta) 0.1$  ( $\chi$ ) 0.25 และ ( $\kappa$ ) 0.50 (27)

ในปี ค.ศ.2012 Chuanhui Zhang และคณะ (28) ได้ศึกษาการสังเคราะห์โครงสร้างเพื่อขอฟสไกเต็ร์ของ  $\text{LaMnO}_3$  ที่เตรียมด้วยวิธีการต่าง ๆ สำหรับตัวเร่งปฏิกิริยาออกซิเดชั่นของโลหะอินทร์จากการวิจัยได้เตรียมการสังเคราะห์ 3 วิธี คือวิธีที่เตรียมด้วยการโซล-เจล (LMO-SG) การเผาไหม้สารเชื้อเพลิงไกลเซ็น (LMO-GC) และการตกตะกอนร่วม (LMO-CP) โดยโครงสร้างของผลึกและความสมมาตรของสารแต่ละตัวอย่างนั้นทดสอบคล้องกับฐานข้อมูล International Centre of Diffraction Data (ICDD) จากการศึกษาโครงสร้างเฟสด้วยเทคนิคการเลี้ยวเบนของรังสีเอกซ์พบว่าสารตัวอย่างที่เตรียมด้วยกระบวนการโซล-เจลพบว่าโครงสร้างเฟสที่พบมีความสอดคล้องกับฐานข้อมูล  $\text{LaMnO}_{3.26}$  (JCPDS PDF no. 50-0299) และสามารถระบุได้ว่าโครงสร้างเพื่อขอฟสไกเต็ร์นี้มีโครงสร้างสมมาตรแบบรวมในรูปปริภูมิ R-3c สำหรับตัวอย่างที่เตรียมด้วยกระบวนการเผาไหม้สารเชื้อเพลิงไกลเซ็นพบว่าโครงสร้างที่พบมีความสอดคล้องกับฐานข้อมูล  $\text{LaMnO}_{3.11}$  (JCPDS PDF no. 50-0297) และสามารถระบุได้ว่าโครงสร้างเพื่อขอฟสไกเต็ร์นี้มีโครงสร้างสมมาตรแบบคอร์โธรมบิก กรุปปริภูมิ  $\text{Pbnm}$  ในขณะที่การเตรียมด้วยกระบวนการตกตะกอนร่วมพบว่าโครงสร้างเฟสที่พบมีความสอดคล้องกับฐานข้อมูลฐานข้อมูล  $\text{LaMnO}_{3.15}$  (JCPDS PDF no. 50-0298) และสามารถระบุได้ว่าโครงสร้างเพื่อขอฟสไกเต็ร์นี้มีโครงสร้างสมมาตรแบบรวมในรูปปริภูมิ R-3c และพบเฟสเปลกปลอมของสารตั้งต้น คือ  $\text{La}_2\text{O}_3$  (JCPDS PDF no. 24-0554) ดังภาพ 38 ซึ่งมีสาเหตุมาจากการเพิ่มพื้นผิวของอะตอมเล่นท่านั้มส่งผลให้ในระหว่างการเผาไหม้เกิดการต่อตัวที่ดีของโครงสร้างเพื่อขอฟสไกเต็ร์ออกไซด์ของ  $\text{LaMnO}_3$



ภาพ 38 รูปแบบการเลี้ยวเบนของรังสีเอกซ์ (ก) LMO-SG (ข) LMO-GC และ (ค) LMO- CP (28)

## บทที่ 3

### วิธีดำเนินการวิจัย

#### สารเคมีที่ใช้ในการทดลอง

1. แลนทานัมไนเตรท เยกซั่ไฮเดรท ( $\text{La}(\text{NO}_3)_3 \cdot 6\text{H}_2\text{O}$ ) ความบริสุทธิ์ 99.00%
2. แมงกานีสไนเตรท เตตระไฮเดรท ( $\text{Mn}(\text{NO}_3)_2 \cdot 4\text{H}_2\text{O}$ ) ความบริสุทธิ์ 97.00%
3. กรดสเตียริก ( $\text{C}_{18}\text{H}_{36}\text{O}_2$ ) ความบริสุทธิ์ 98.00%
4. สารเชื้อเพลิงชีตวิค ( $\text{C}_6\text{H}_8\text{O}_7\text{H}_2\text{O}$ ) ความบริสุทธิ์ 95.50%
5. สารเชื้อเพลิงยูเรีย ( $\text{CH}_4\text{NO}_2$ ) ความบริสุทธิ์ 99.00%
6. สารเชื้อเพลิงไกลซีน ( $\text{C}_2\text{H}_5\text{NO}_2$ ) ความบริสุทธิ์ 98.50%
7. น้ำประปาจากไออกอ่อน (Deionized water)
8. สารละลายนอกanol (Ethanol absolute) ความบริสุทธิ์ 99.90%
9. สารพอลิไวนิลแคลกอฮอลล์ (Poly Vinyl Alcohol : PVA) 5%

#### อุปกรณ์ที่ใช้ในการเตรียมสาร

1. เครื่องซั่งดิจิตอลความละเอียด 0.0001 กรัม ผลิตโดยบริษัท Sartorius รุ่น MC1 Analytic AC210S ประเทศไทย
2. บีกเกอร์ขนาด 250 600 และ 1000 มิลลิลิตร
3. กระดาษฟอยล์
4. ที่คีบขึ้นงาน
5. ข้อมูลตัวสาร
6. ขาดปริมาตรรักน้ำกลม
7. เทอร์โมมิเตอร์
8. เตาเผาให้ความร้อนพร้อมเครื่องคนสารด้วยแม่เหล็ก
9. ถ้วยอะลูมิเนียม
10. กระปองพลาสติกที่ใช้ผสมสารทำด้วยพอลิเมอร์มีฝาปิดสนิท โดยมีเส้นผ่านศูนย์กลางประมาณ 10 เซนติเมตร ความสูงประมาณ 10.7 เซนติเมตร
11. ลูกบดทรงกลมที่มีเส้นผ่านศูนย์กลางประมาณ 7 มิลลิลิตร (จำนวน 200 ลูก)

12. เครื่องผสมแบบบดย่อยแบบลูกบด (Ball milling) มีลักษณะเป็นแกนแท่งเหล็ก 2 แกน วางตามแนวราบ ใช้มอเตอร์ประเภท Single phase induction motor เป็นตัวขับแกนเหล็กให้หมุนด้วยอัตราเร็ว 27 รอบ/นาที
13. เตาเผาไฟฟ้าสำหรับเผาสาร ยี่ห้อ Carboilite รุ่น S33 6RB ประเทศอังกฤษ
14. ครกหยาดสำหรับบดสสาร
15. ตะแกรงลวดมีเส้นผ่าศูนย์กลาง 9.94 เมตรติเมตร
16. Magnetic stirrer สำหรับคนตัวให้เข้ากัน
17. แม่พิมพ์ (Punch and die) ใช้ในการอัดสาร
18. ตู้อบสารปรับอุณหภูมิได้สูงสุดประมาณ 200 องศาเซลเซียส ผลิตโดยบริษัท Electrolux
19. เครื่องอัดไฮดรอลิก ใช้สำหรับขึ้นรูปสารอัดแรงอัดได้สูงสุด  $1000 \text{ kg/cm}^2$

#### เครื่องมือที่ใช้ในกระบวนการผลิต

1. เครื่องตรวจสอบการเลี้ยวเบนของรังสีเอกซ์ (X-ray diffraction) รุ่น X'Pert ผลิตโดยบริษัท Philips ประเทศเนเธอร์แลนด์
2. กล้องจุลทรรศน์อิเล็กtron แบบส่องกล้อง (Scanning electron microscope) ผลิตโดยบริษัท JOEL รุ่น LEO 1455VP ประเทศอังกฤษ
3. เครื่องวัดความแข็งระดับจุลภาค (Microhardness tester) ยี่ห้อ Jinan Testing Equipment IE Corporation รุ่น HV-1000 หัวกดวิกเกอร์ (Vickers) ประเทศสาธารณรัฐเชิง

#### วิธีการทดลอง

- ตอนที่ 1 การเตรียมสารละลายและทำน้ำมั่นแมงกานีสออกไซด์โดยวิธีการโซล-เจล
1. นำแลนทานัมไนเตรทเข้าไปเดรอและแมงกานีสไนเตรทเตตระไฮเดรท ในอัตราส่วนที่ต้องการ แยกละลายในน้ำปราศจากไอออน ปริมาตรละ 50 มิลลิลิตร
  2. นำสารละลายนามสัมคนให้เข้ากันด้วยเครื่องคนสารด้วยแท่งแม่เหล็ก จากนั้นเติมกรดสเตียริกลงไป
  3. นำสารละลายที่ได้จากข้อ 2 ไปอุ่นให้ความร้อนที่อุณหภูมิ 120 องศาเซลเซียส เป็นเวลา 3 ชั่วโมง จะได้สารตั้งต้นออกมาในรูปของโซลดังภาพ 39
  4. นำสารตั้งต้นที่อยู่ในรูปของโซลไปอบเพื่อให้สารอินทรีย์ที่อุณหภูมิ 400 องศาเซลเซียส เป็นเวลา 12 ชั่วโมง

**ตอนที่ 2 การเตรียมผงผลึกและน้ำมั่นแมงกานีสอออกไซด์ร่วมกับเชื้อเพลิงยูเรียกรดซิตริก และไกลซีน**

1. นำน้ำหนักของสารเชื้อเพลิงยูเรีย กรดซิตริก และไกลซีน ตามอัตราส่วนโดยโมลที่ได้จากการคำนวณ

2. นำผงโซลของเคนทานมั่นแมงกานีสอออกไซด์ที่ได้จากตอนที่ 1 ใส่ลงในกระปองพลาสติกที่บรรจุเม็ดบด จากนั้นเติมเชื้อเพลิงยูเรีย ซิตริก และไกลซีน ในอัตราส่วน 1:0.1 1:0.2 และ 1:0.3 โดยโมล แล้วเติมเขอกานอลลงไปให้ท่วมเม็ดบดแล้วปิดฝาให้สนิท นำไปบดย่อยแบบสูญบดเป็นเวลา 24 ชั่วโมง

3. เมื่อครบ 24 ชั่วโมงแล้วเทสารลงบนตะแกรง漉ที่วางอยู่บนบีกเกอร์เพื่อล้างสารออกจากเม็ดบด แล้วนำไปอบที่อุณหภูมิ 100 องศาเซลเซียส เพื่อให้เขอกานอลระเหยออกจนแห้ง

4. นำผงผลึกที่ได้จากข้อที่ 3 ไปแคลไชน์ที่อุณหภูมิ 600 700 800 และ 900 องศาเซลเซียส เป็นเวลา 2 ชั่วโมง โดยใช้อัตราการขึ้นลงของอุณหภูมิเป็น 2 องศาเซลเซียสต่อนาที

5. นำไปตรวจสอบโครงสร้างเฟส โครงสร้างจะลักษณะเดียวกันนิคการเลี้ยวเบนของรังสีเอกซ์และกล้องจุลทรรศน์อิเล็กตรอนแบบส่องกราด ตามลำดับดังภาพ 39

**ตอนที่ 3 การเตรียมเซรามิกและน้ำมั่นแมงกานีสอออกไซด์ร่วมกับเชื้อเพลิงยูเรียกรดซิตริก และไกลซีน**

1. เตรียมผงผลึกและน้ำมั่นแมงกานีสอออกไซด์ (LMO) โดยนำผงผลึกที่ได้จากการเตรียมในตอนที่ 2 มาใส่ลงในกระปองพลาสติกที่บรรจุเม็ดบดแล้วเติมเขอกานอลลงไปจากนั้นหยดโพลีไวนิล酇อกอซอล (PVA Binder) ลงไป 3% โดยน้ำหนัก ปิดฝาให้สนิทแล้วนำไปบดย่อยแบบสูญบดเป็นเวลา 12 ชั่วโมง

2. เมื่อครบ 12 ชั่วโมงแล้วเทสารลงบนตะแกรง漉ที่วางอยู่บนบีกเกอร์ ล้างสารออกจากเม็ดบดด้วยเขอกานอลจากนั้นทำการอบไปอบที่อุณหภูมิ 100 องศาเซลเซียส เพื่อทำให้เขอกานอลระเหยออกจนแห้ง

3. เมื่อเขอกานอลระเหยออกจนแห้งแล้ว นำมาบดด้วยครกหยกเพื่อทำให้ขนาดอนุภาคมีความสม่ำเสมอ

4. นำผงที่ผ่านการคัดขนาดแล้วมาอัดขึ้นรูปด้วยเครื่องอัดไฮดรอลิก โดยใช้แม่พิมพ์โลหะที่มีขนาดเส้นผ่าศูนย์กลาง 1.5 เซนติเมตร อัดด้วยแรงดัน 80 เมกะบาร์ascal บริเวณของผงผลึกที่ใช้ต่อการอัดขึ้นรูปประมาณ 1.5 กรัมต่อมีด

5. ในส่วนของการศึกษาอุณหภูมินในการเผาซินเตอร์ต่อสมบัติของเซรามิกโดยการนำชิ้นงานที่อัดขึ้นรูปเสร็จแล้วมาเรียงในถ้วยอะลูมินาและทำการเผาซินเตอร์ที่อุณหภูมิ 1000 1100

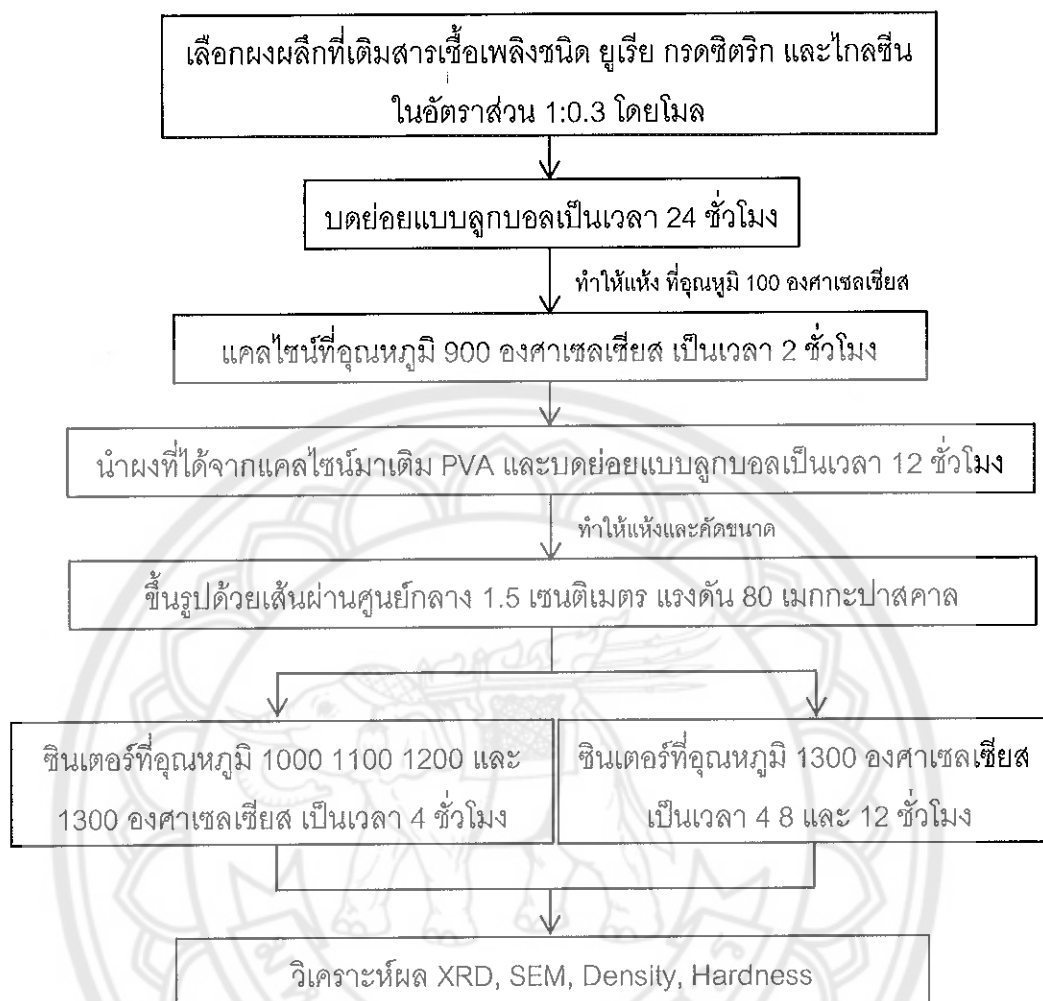
1200 และ 1300 องศาเซลเซียส เป็นเวลา 4 ชั่วโมง โดยอัตราขึ้นลงของอุณหภูมิ 5 องศาเซลเซียส ต่อนาที

6. ในส่วนของการศึกษาผลของเวลาเผาแฟ่ต่อสมบัติของเซรามิกโดยการนำชิ้นงานที่อัดขึ้นรูปเสร็จแล้วมาเรียงในถ้วยอะลูมินาและทำการเผาซินเตอร์ที่อุณหภูมิ 1300 องศาเซลเซียส เป็นเวลา 4 8 และ 12 ชั่วโมง โดยอัตราขึ้นลงของอุณหภูมิ 5 องศาเซลเซียสต่อนาที

7. นำเซรามิกแล่นทานัมแมงกานีสออกไซด์ที่ได้เปรีกษาโครงสร้างเฟส โครงสร้าง茱ลภาคด้วยเครื่องการเดี่ยวเบนของรังสีเอกซ์ กดล้อง茱ลทรัคโนว์เก็ตต์ชนแบบส่องการด แสงนำมาศึกษาสมบัติทางกายภาพโดยการวัดความhardness ของเซรามิกดังภาพ 40



ภาพ 39 แผนผังการเตรียมผงผลึกแล่นทานัมแมงกานีสออกไซด์



ภาพ 40 แผนผังการเตรียมเซรามิกเหลนทานัมแมงกานีสออกไซด์

บทที่ 4

ผลการวิจัย

ผลการตรวจสอบลักษณะเฉพาะของผงผลึกแลนทานัมเมงกานีสออกไซด์ร่วมกับสารเชื้อเพลิงยูเรีย กรดซิตริก และไกลซิน

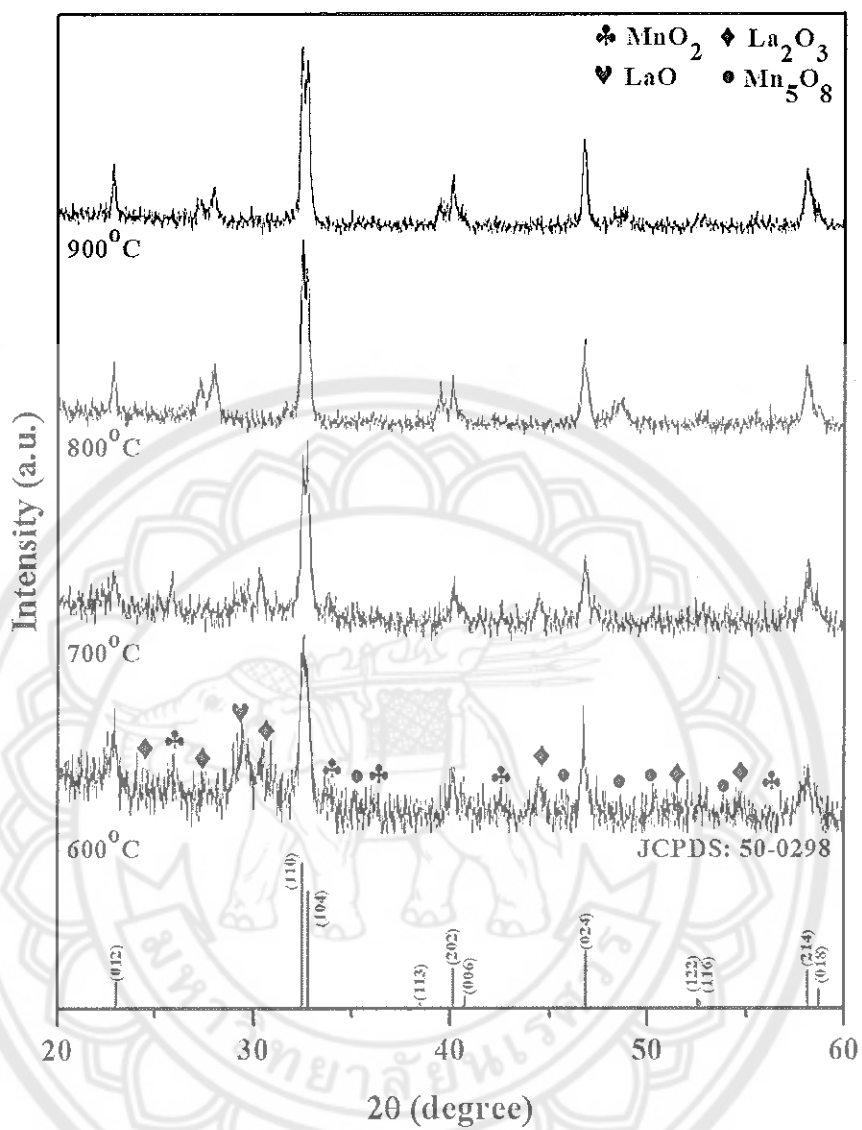
1. ผลการตรวจสอบลักษณะเฉพาะของผังคลิกแลนทานัมเมงกานีสออกไซด์ (LMO)

1.1 ผลการวิเคราะห์โครงสร้างผลึกด้วยเทคนิคการเลี้ยวเบนของรังสีเอกซ์ (X-ray diffractometer: XRD)

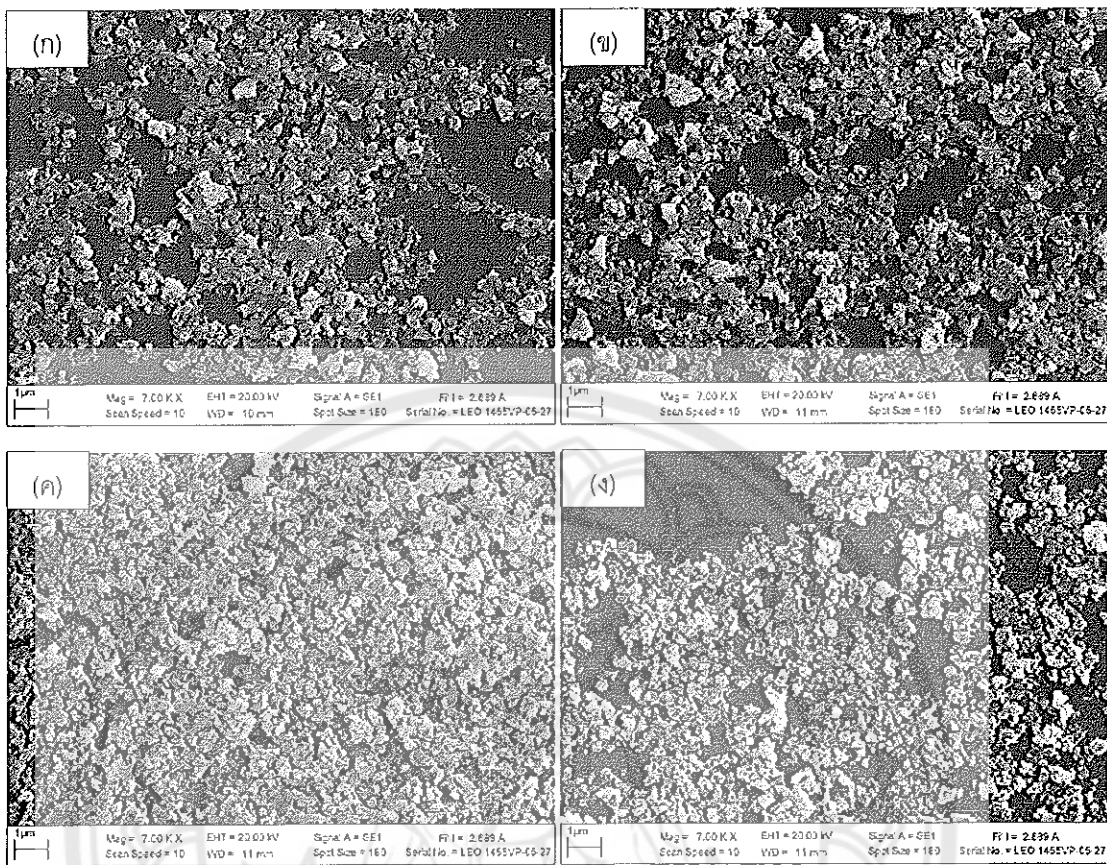
จากผลการวิเคราะห์ด้วยเทคนิคการเลี้ยวเบนของรังสีเอกซ์ (XRD) ของผงผลึกแล่นทานัมแมงกานีสออกไซด์ (LMO) แพคเกลไชน์ที่อุณหภูมิ 600-900 องศาเซลเซียสตั้งภาค 41 พบร้าตั้งแต่อุณหภูมิ 600 องศาเซลเซียส สารตั้งต้นทำปฏิกิริยากันจนเริ่มเกิดเป็นโครงสร้างผลึกของสารแล่นทานัมแมงกานีสออกไซด์ (LMO) แต่โครงสร้างที่ได้ยังไม่สมบูรณ์เนื่องจากยังพบเพลสของสารตั้งต้นหลงเหลืออยู่คือ  $MnO_2$   $La_2O_3$   $LaO$  และ  $Mn_5O_8$  และพบว่าเมื่ออุณหภูมิในการแคลกไชน์สูงขึ้นเพลสของสารเปลกปลอมลดลง แต่ยังคงหลงเหลือเพลสของสารเปลกปลอมอยู่ ซึ่งเพลสที่ได้มีโครงสร้างแบบรhombohedral (rhombohedral) ซึ่งสอดคล้องกับฐานข้อมูล JCPDS หมายเลข 50-0298

1.2 ผลการวิเคราะห์ด้วยกล้องจุลทรรศน์อิเล็กตรอนแบบส่องกราด (Scanning Electron Microscopy: SEM)

จากการศึกษาโครงสร้างอุปกรณ์ของผลึก LMO ในภาพ 42 แม่แคลไชร์ที่คุณหมูมิ 600-900 องศาเซลเซียส เป็นเวลา 2 ชั่วโมง พบร่องรอยการเผาแคลไธน์อนุภาคมีลักษณะค่อนข้างใกล้เคียงกันคือ อนุภาคมีลักษณะค่อนข้างเป็นทรงกลม เกาะกู่มุ่นกันอย่างหนาแน่น (21) ซึ่งผลึกที่ได้ยังทำปฏิกิริยากันยังไม่สมบูรณ์



ภาพ 41 รูปแบบการเลี้ยวเบนของรังสีเอกซ์ของผงผลึกแลนทานัมแมงกานีสออกไซด์



ภาพ 42 ภาพถ่ายด้วยกล้องจุลทรรศน์อิเล็กตรอนแบบส่องการดูของผงผลึกแลนทานัม  
เมงกานีสออกไซด์ เผาเคลื่อนที่อุณหภูมิ (ก) 600 องศาเซลเซียส (ข) 700  
องศาเซลเซียส (ค) 800 องศาเซลเซียส และ (ง) 900 องศาเซลเซียส เป็นเวลา  
2 ชั่วโมง

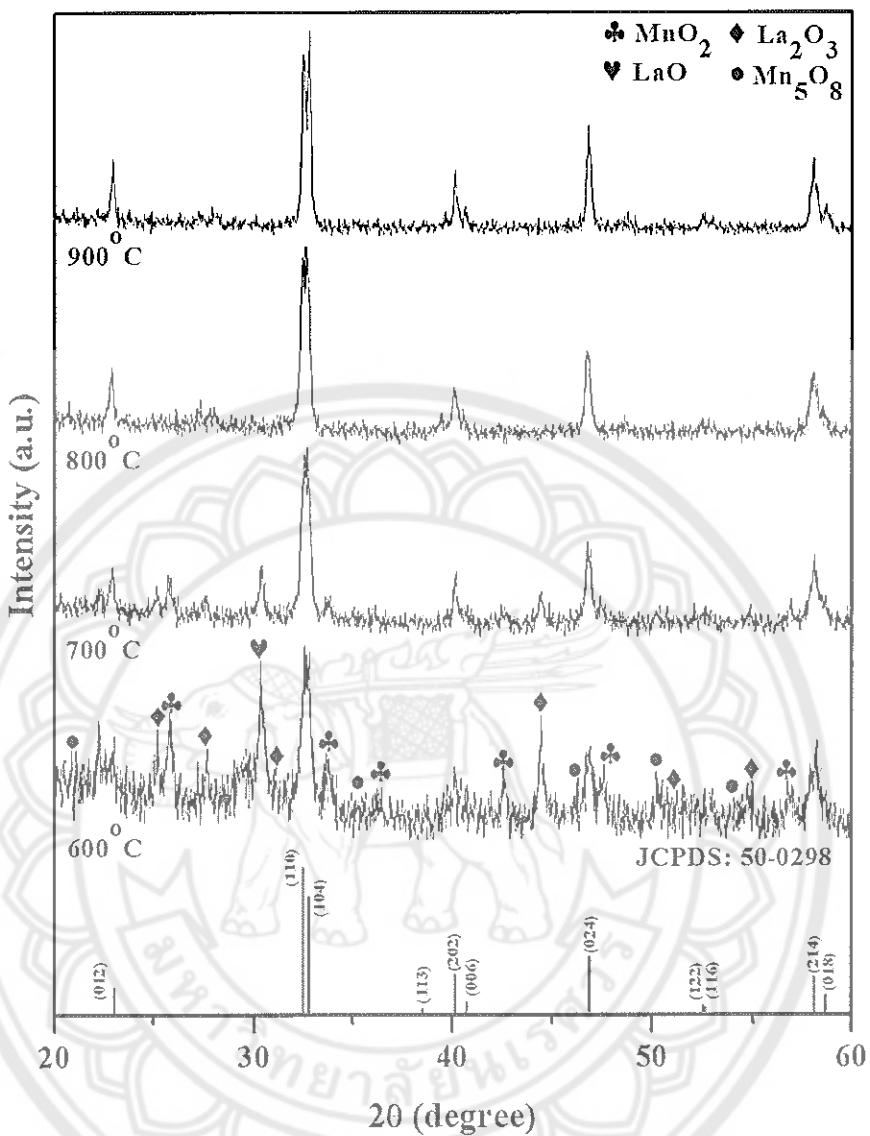
## 2. ผลการตรวจสอบลักษณะเฉพาะของผงผลึกและทานัมแมงกานีสออกไซด์ร่วมกับสารเชือเพลิงยูเรีย (LMOU)

### 2.1 ผลการวิเคราะห์โครงสร้างผลึกด้วยเทคนิคการเลี้ยวเบนของรังสีเอกซ์ (X-ray diffractometer: XRD)

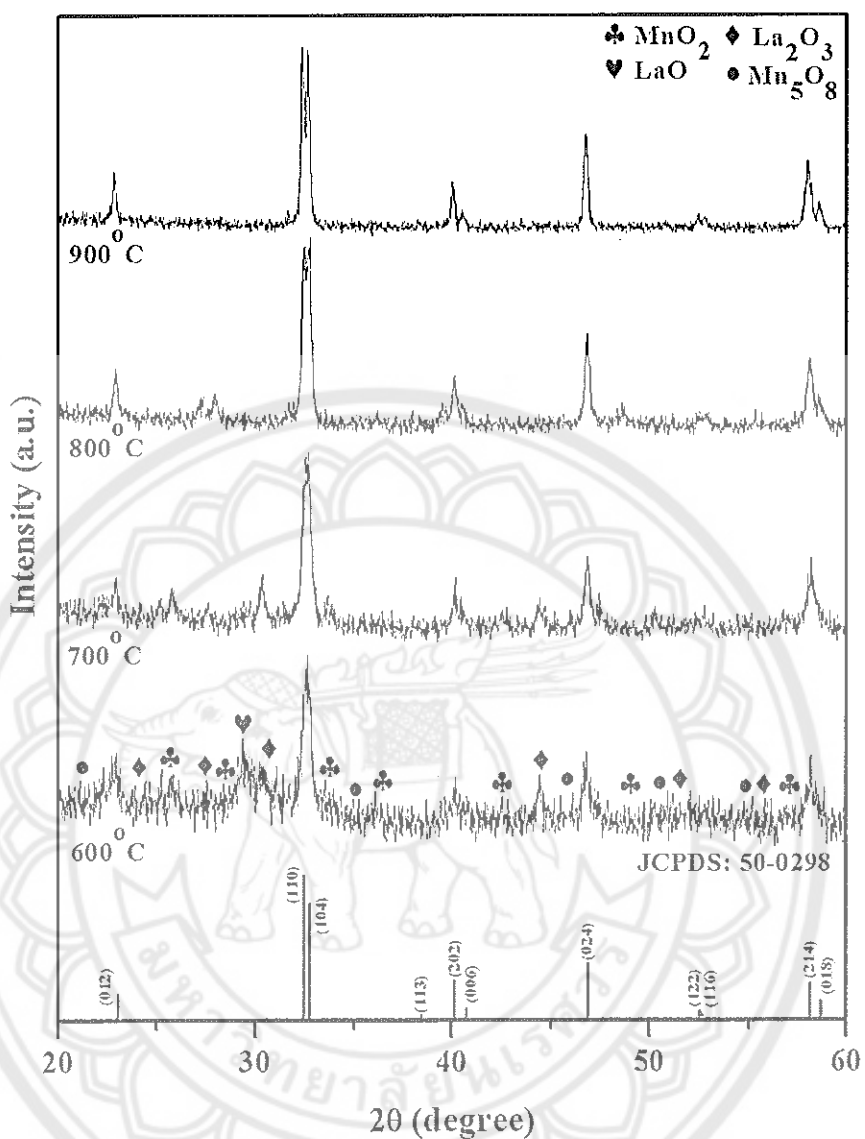
จากการวิเคราะห์ด้วยเทคนิคการเลี้ยวเบนของรังสีเอกซ์ (XRD) ของผงผลึกและทานัมแมงกานีสออกไซด์ร่วมกับสารเชือเพลิงยูเรีย (LMOU) ในอัตราส่วนสารตั้งต้นต่อสารเชือเพลิง คือ 1:0.1 1:0.2 และ 1:0.3 โดยไม่เผาแคลไนซ์ที่อุณหภูมิ 600-900 องศาเซลเซียส เป็นเวลา 2 ชั่วโมง ดังภาพ 43 44 และ 45 พบว่าตั้งแต่อุณหภูมิ 600 องศาเซลเซียส ในทุกอัตราส่วนสารตั้งต้นทำปฏิกิริยากันจนเริ่มเกิดเป็นโครงสร้างผลึกของสารและทานัมแมงกานีสออกไซด์ (LMO) แต่โครงสร้างที่ได้ยังไม่สมบูรณ์เนื่องจากยังพบเฟสของสารตั้งต้นหลงเหลืออยู่คือ  $MnO_2$   $La_2O_3$  LaO และ  $Mn_5O_8$  และพบว่าเมื่ออุณหภูมินำในการเผาแคลไนซ์สูงขึ้นฟีสของสารเปลี่ยนไปลดลง และพบความบริสุทธิ์ 100 เปอร์เซ็นต์ของผง LMOU ในอัตราส่วน 1:0.2 และ 1:0.3 โดยไม่ลดลง และพบความบริสุทธิ์ 100 เปอร์เซ็นต์ของ LMOU ในอัตราส่วน 1:0.2 และ 1:0.3 โดยไม่ลดลงที่อุณหภูมิ 900 องศาเซลเซียส ซึ่งเฟสที่ได้มีโครงสร้างแบบромบิโอร์ดอล (rhombohedral) ซึ่งสอดคล้องกับฐานข้อมูล JCPDS หมายเลข 50-0298 เพราะฉะนั้นที่อัตราส่วน 1:0.2 จึงเป็นอัตราส่วนที่ดีที่สุด เนื่องจากสามารถใช้ปริมาณของเชือเพลิงลดลง สำหรับในการเตรียมเชรามิกกันมีการเลือกอัตราส่วน 1:0.3 โดยไม่ไปศึกษาต่อเนื่องจากจะทำการเปรียบเทียบทั้งสามสารเชือเพลิงในอัตราส่วนที่เท่ากัน

### 2.2 ผลการวิเคราะห์ด้วยกล้องจุลทรรศน์อิเล็กตรอนแบบส่องกราด (Scanning Electron Microscopy: SEM)

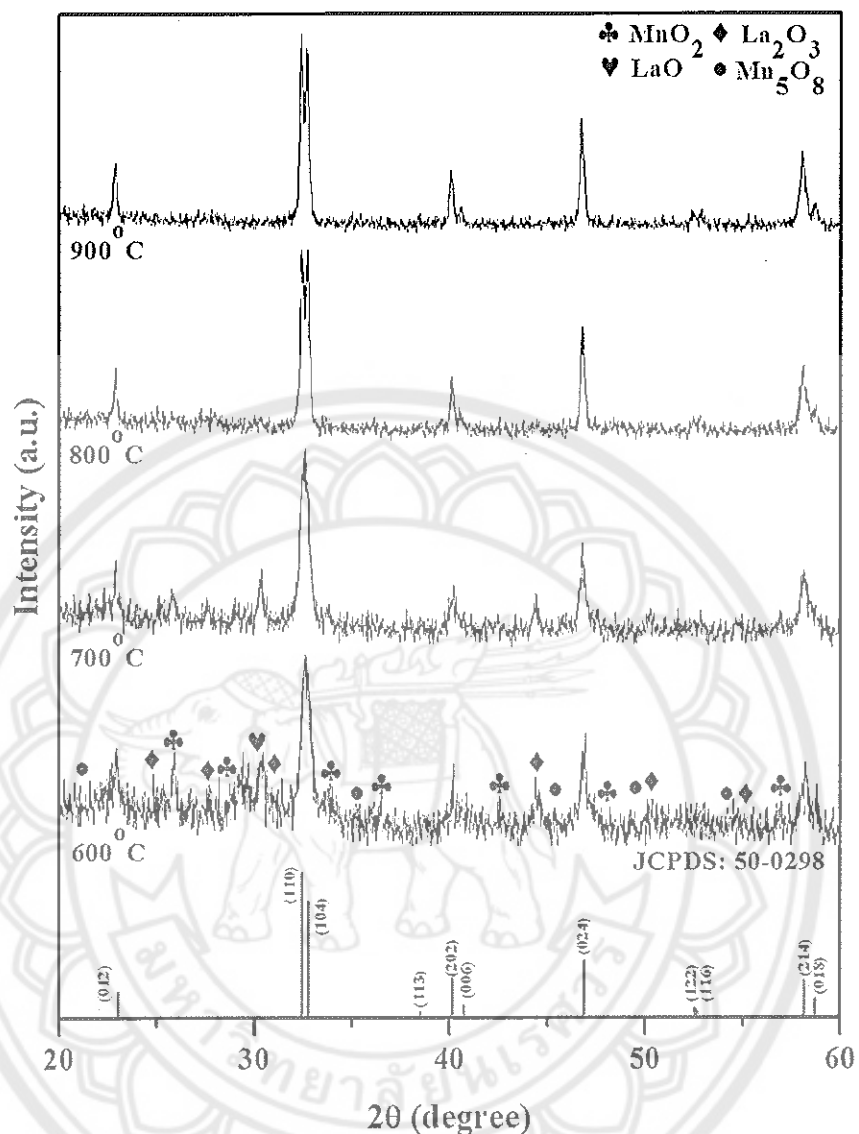
จากการศึกษาโครงสร้างจุลภาคของผงผลึก LMOU ดังภาพ 46 47 และ 48 เผาแคลไนซ์ที่อุณหภูมิ 600-900 องศาเซลเซียส เป็นเวลา 2 ชั่วโมง พบว่า อนุภาคมีลักษณะเป็นทรงกลม (21) และเหลี่ยมมากางลุ่มกันอย่างหนาแน่นโดยลังเกตุได้ว่า เมื่ออุณหภูมินำในการเผาแคลไนซ์สูงขึ้นอนุภาคมีลักษณะเป็นทรงกลมและมีแนวโน้มในทิศทางเดียวกันคือเมื่ออุณหภูมินำในการเผาแคลไนซ์สูงขึ้นส่งผลให้อนุภาคมีขนาดใหญ่ขึ้น ซึ่งในอัตราส่วน 1:0.2 และ 1:0.3 เผาแคลไนซ์ที่อุณหภูมิ 900 องศาเซลเซียส มีขนาดอนุภาคมีลักษณะเดียบอยู่ที่ 176.68 และ 147.40 นาโนเมตร ตามลำดับ



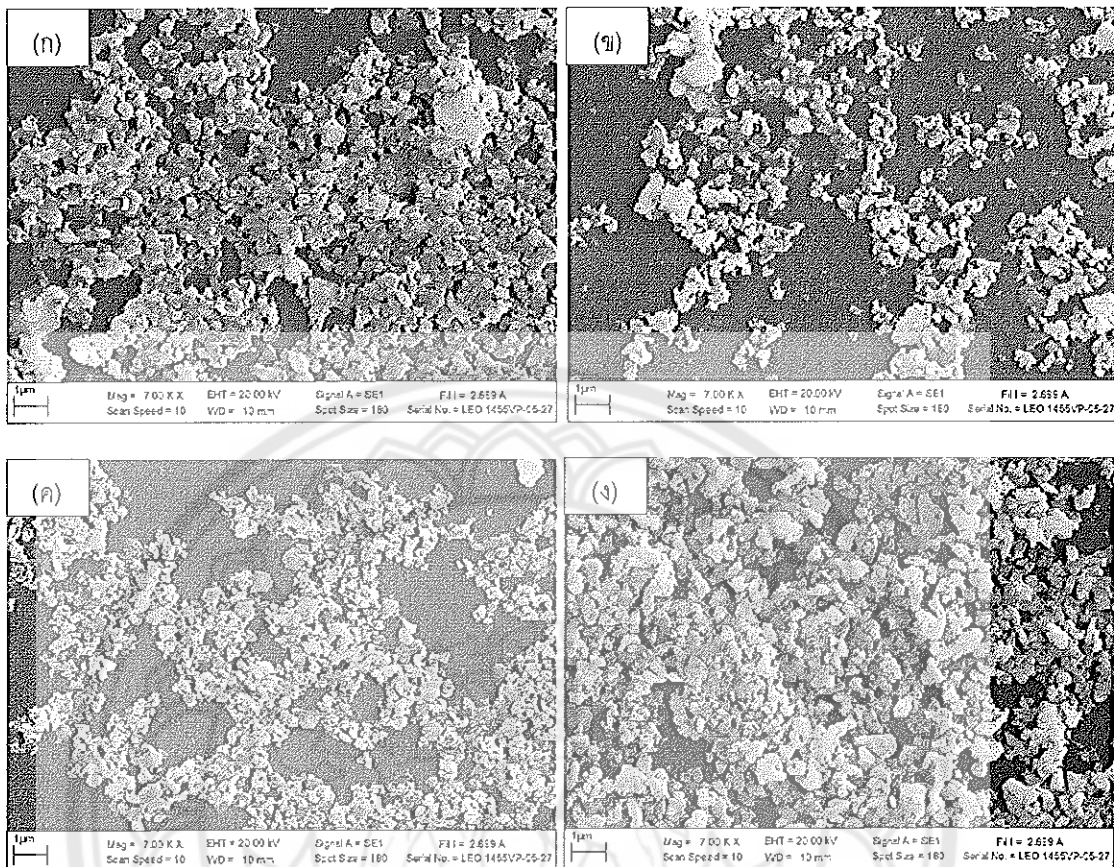
ภาพ 43 รูปแบบการเลี้ยงเวนของรังสีเอกซ์ของผงผลึกแลนทานัมเมงกานีสออกไซด์ร่วมกับสารเชือเพลิงญี่เรียวอัตราส่วน 1:0.1 โดยโมล แคลไชน์ที่อุณหภูมิ 600-900 องศาเซลเซียส เป็นเวลา 2 ชั่วโมง



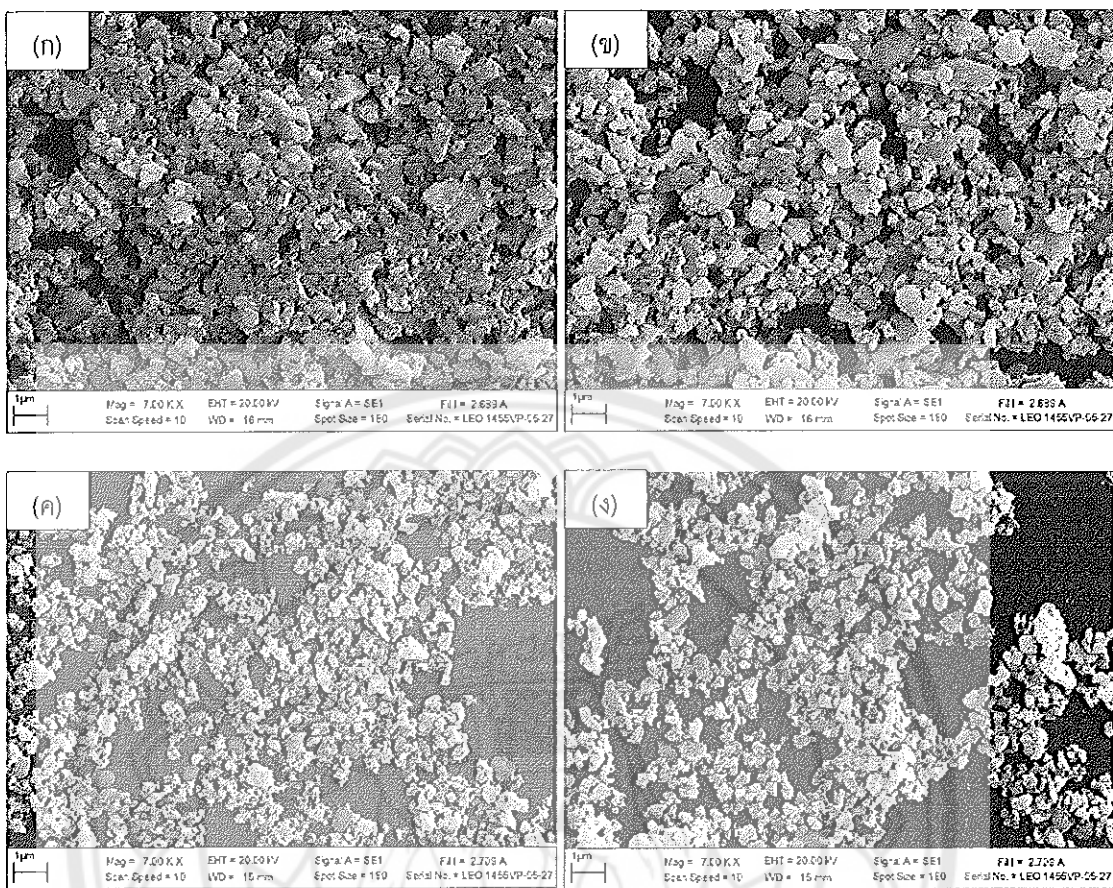
ภาพ 44 รูปแบบการเลี้ยงเวนของรังสีเอกซ์ของผงผลึกแลนทานัมแมงกานีสออกไซด์ร่วมกับสารเชื้อเพลิงญี่รี่ในอัตราส่วน 1:0.2 โดยโมล แคลไชน์ที่อุณหภูมิ 600-900 องศาเซลเซียส เป็นเวลา 2 ชั่วโมง



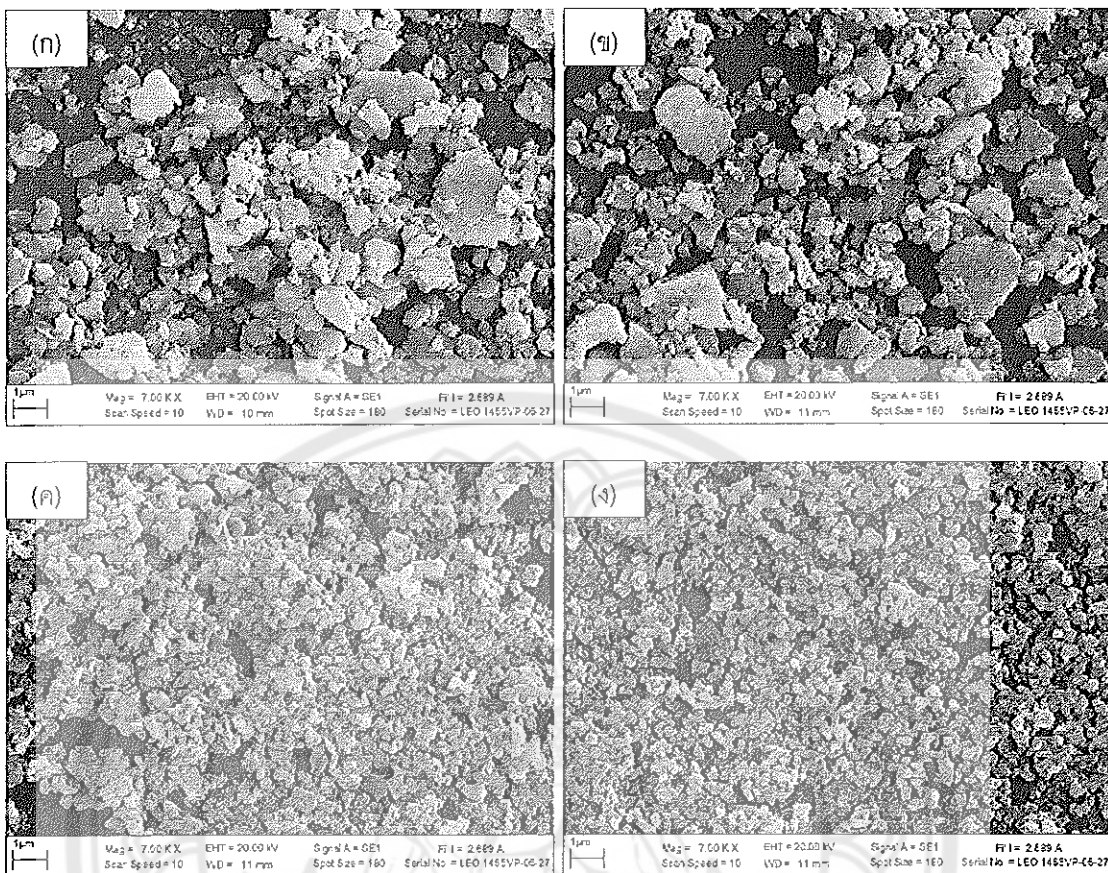
ภาพ 45 รูปแบบการเติบโตของรังสีเอกซ์ของผงผลึกแลนثانัมแมงกานีสออกไซด์ร่วมกับสารเชื้อเพลิงญี่เรียมอัตราส่วน 1:0.3 โดยโมล แคลไชน์ที่อุณหภูมิ 600-900 องศาเซลเซียส เป็นเวลา 2 ชั่วโมง



ภาพ 46 ภาพถ่ายด้วยกล้องจุลทรรศน์อิเล็กตรอนแบบส่องการดูของผลึกแลนทันัม เมงกานีสออกไซด์ร่วมกับสารเชื้อเพลิงยูเรีย ในอัตราส่วน 1:0.1 โดยมีผล เผาเคลล์ไซน์ที่อุณหภูมิ (ก) 600 องศาเซลเซียส (ข) 700 องศาเซลเซียส (ค) 800 องศาเซลเซียส และ (ง) 900 องศาเซลเซียส เป็นเวลา 2 ชั่วโมง



ภาพ 47 ภาพถ่ายด้วยกล้องจุลทรรศน์อิเล็กตรอนแบบส่องกราดของผงพลีกแลนทานัม แมงกานีสออกไซด์ร่วมกับสารเชื้อเพลิงยูเรีย ในอัตราส่วน 1:0.2 โดยไม่เผาแคลไซน์ที่อุณหภูมิ (ก) 600 องศาเซลเซียส (ข) 700 องศาเซลเซียส (ค) 800 องศาเซลเซียส และ (ง) 900 องศาเซลเซียส เป็นเวลา 2 ชั่วโมง



ภาพ 48 ภาพถ่ายด้วยกล้องจุลทรรศน์อิเล็กตรอนแบบส่องภาคของผงพลีกแลนทานัม  
เมงกานีสออกไซด์ร่วมกับสารเชือเพลิงยูเรีย ในอัตราส่วน 1:0.3 โดยโมล  
ผงแคลลไชน์ที่อุณหภูมิ (ก) 600 องศาเซลเซียส (ข) 700 องศาเซลเซียส  
(ค) 800 องศาเซลเซียส และ (ง) 900 องศาเซลเซียส เป็นเวลา 2 ชั่วโมง

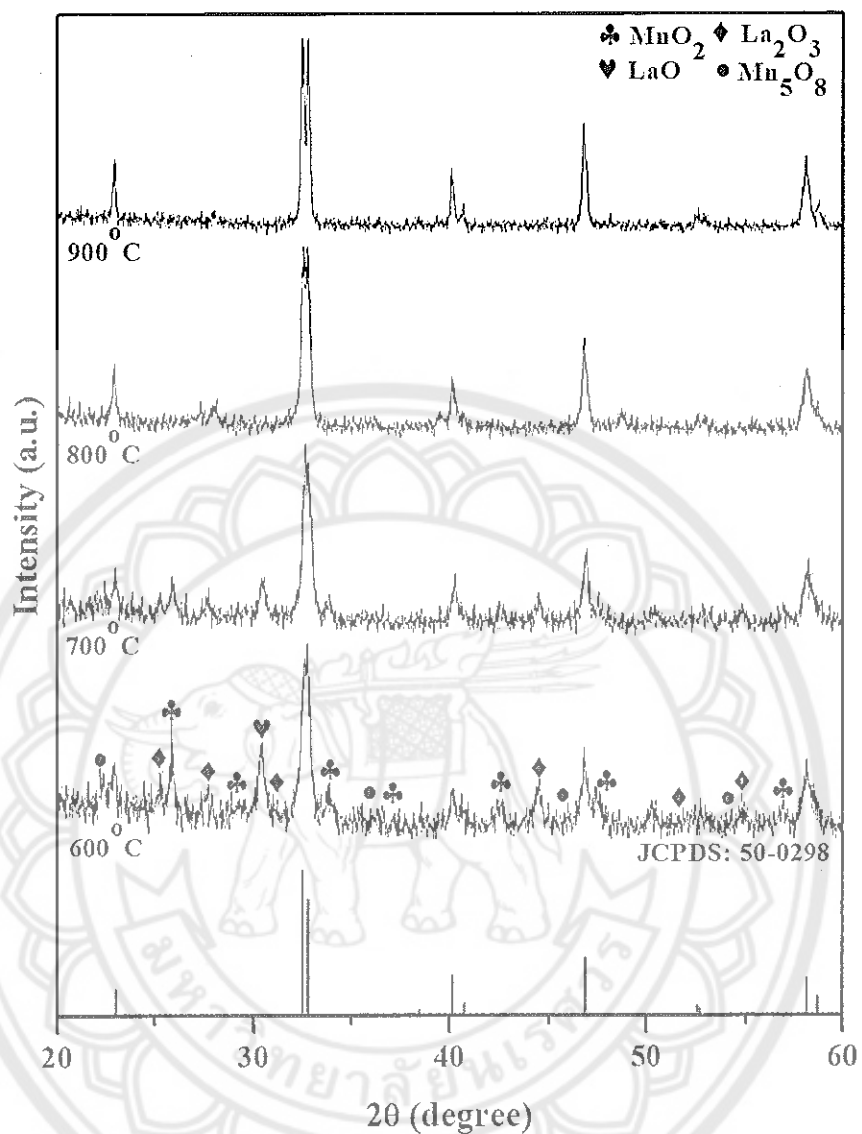
3. ผลการตรวจสอบลักษณะเฉพาะของผงผลึกและทานัมแมงกานีสออกไซด์ร่วมกับสารเชือเพลิงกรดซิตริก (LMOCA)

3.1 ผลการวิเคราะห์โครงสร้างผงผลึกด้วยเทคนิคการเสี้ยวเบนของรังสีเอกซ์ (X-ray diffractometer: XRD)

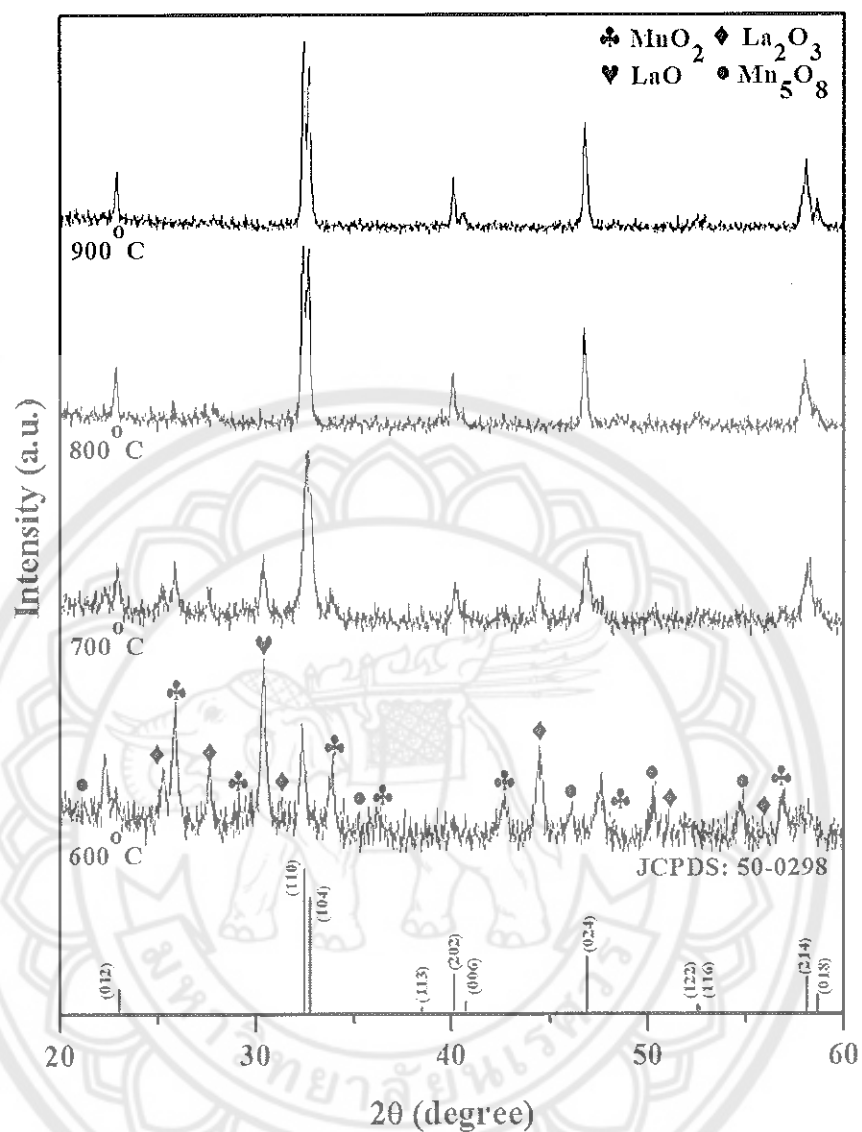
จากผลการวิเคราะห์ด้วยเทคนิคการเสี้ยวเบนของรังสีเอกซ์ (XRD) ของผงผลึกและทานัมแมงกานีสออกไซด์ร่วมกับสารเชือเพลิงกรดซิตริก (LMOCA) ในอัตราส่วนสารตั้งต้นต่อสารเชือเพลิง คือ 1:0.1 1:0.2 และ 1:0.3 โดยมีผล แพแคลลไชน์ที่อุณหภูมิ 600-900 องศาเซลเซียส เป็นเวลา 2 ชั่วโมง ดังภาพ 49 50 และ 51 พบว่าตั้งแต่อุณหภูมิ 600 องศาเซลเซียส ในทุกอัตราส่วนสารตั้งต้นทำปฏิกิริยากันจนเริ่มเกิดเป็นโครงสร้างผงผลึกของสารและทานัมแมงกานีสออกไซด์ (LMO) แต่โครงสร้างที่ได้ยังไม่สมบูรณ์เนื่องจากยังพับเพสของสารตั้งต้นหลงเหลืออยู่คือ  $MnO_2$   $La_2O_3$  LaO และ  $Mn_2O_8$  และพบว่าเมื่ออุณหภูมิในการแคลลไชน์สูงขึ้นเพสของสารเปลกปลอกลดลง และพบความบริสุทธิ์ 100 เปอร์เซ็นต์ ของผง LMOCA ในอัตราส่วน 1:0.3 โดยมีผลที่อุณหภูมิ 900 องศาเซลเซียส ซึ่งเพสที่ได้มีโครงสร้างแบบรอมบิคหรือ (rhombohedral) ซึ่งสอดคล้องกับฐานข้อมูล JCPDS หมายเลข 50-0298 เพราะขณะนี้ที่อัตราส่วน 1:0.3 จึงเป็นอัตราส่วนที่ดีที่สุดใน การเติร์นเซรามิก

3.2 ผลการวิเคราะห์ด้วยกล้องทรรศน์อิเล็กทรอนแบบส่องกราด (Scanning Electron Microscopy: SEM)

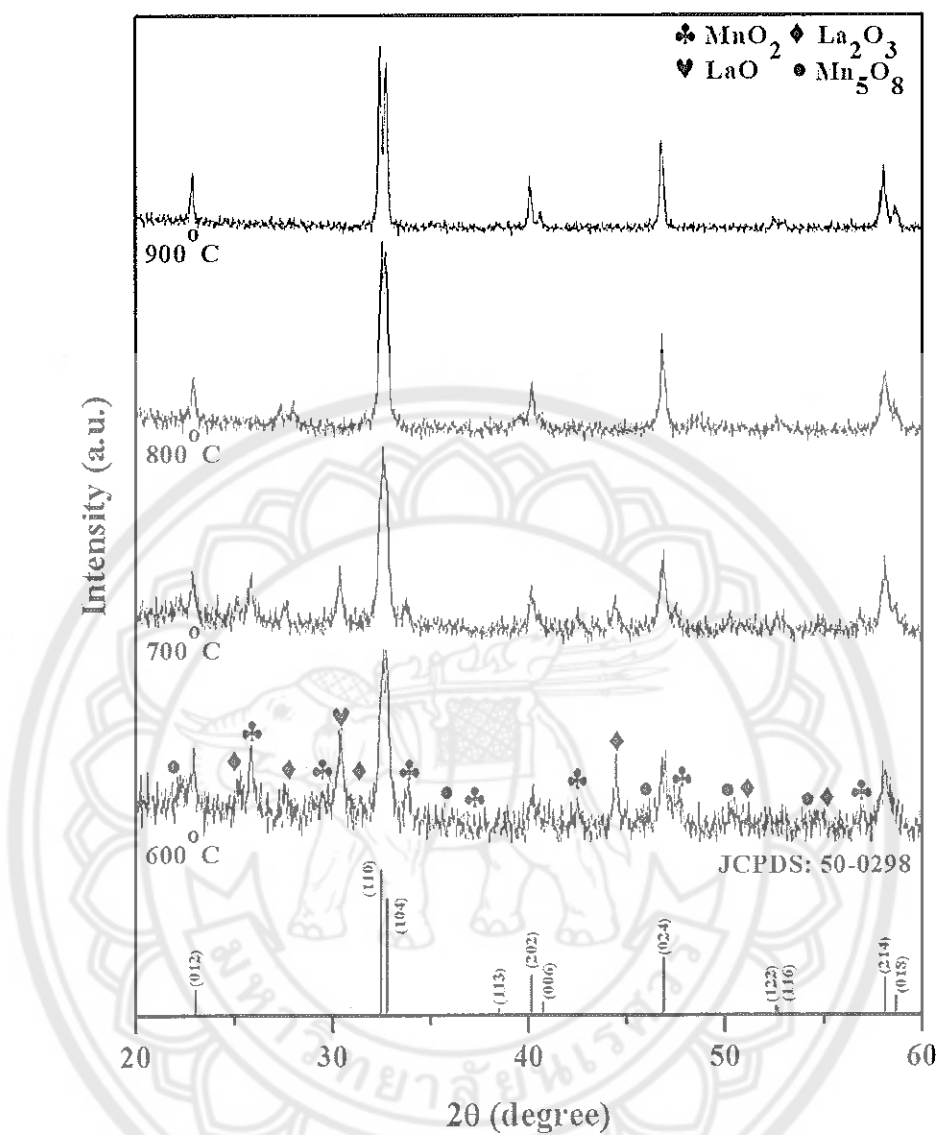
จากการศึกษาโครงสร้างจุลภาคของผงผลึก LMOCA ดังภาพ 52 53 และ 54 แพแคลลไชน์ที่อุณหภูมิ 600-900 องศาเซลเซียส เป็นเวลา 2 ชั่วโมง อนุภาคมีลักษณะค่อนข้างเป็นทรงกลมเกลากลุ่มกัน (21) และมีแนวโน้มไปในทิศทางเดียวกัน ซึ่งในอัตราส่วน 1:0.3 โดยมีผล แพแคลลไชน์ที่อุณหภูมิ 900 องศาเซลเซียส มีอนุภาคเฉลี่ยอยู่ที่ 147.34 นาโนเมตร



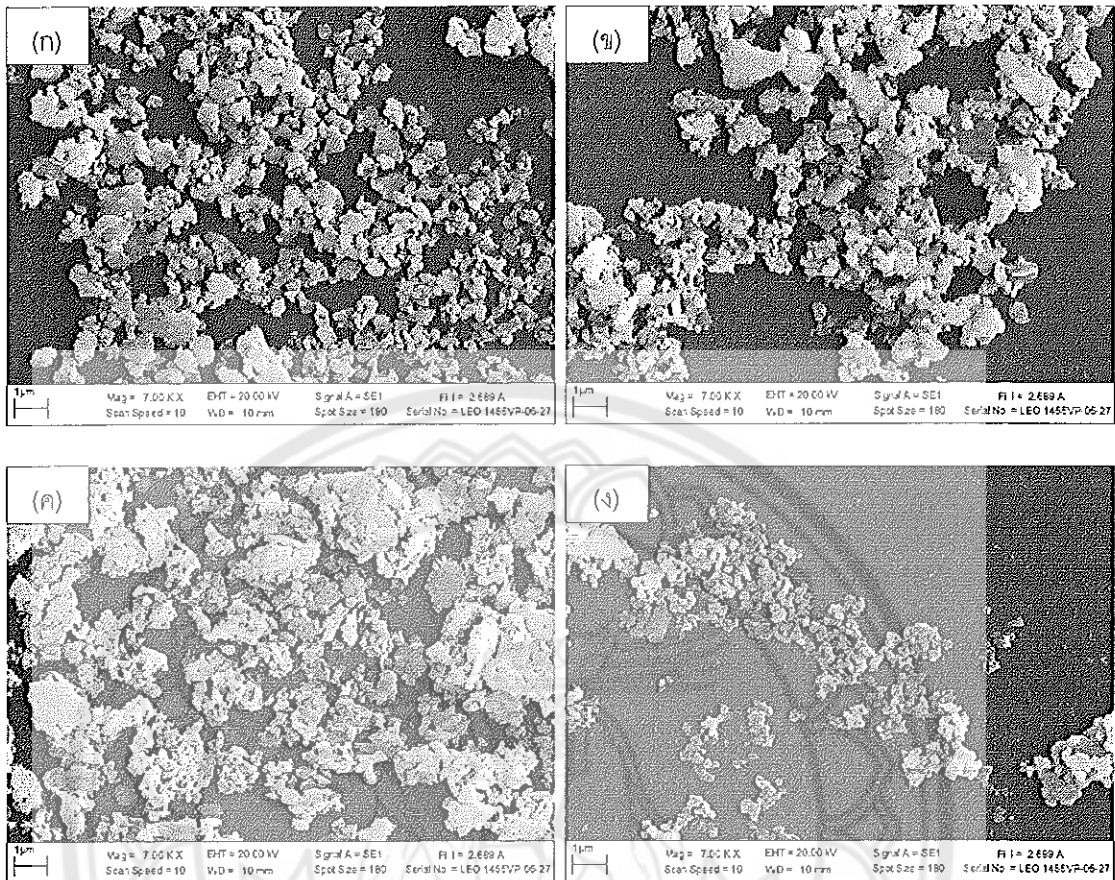
ภาพ 49 รูปแบบการเลี้ยงเป็นของรังสีเอกซ์ของผงผลึกแลนثانัมแมงกานีสออกไซด์ร่วมกับสารเชื้อเพลิงกรดซิตริกในอัตราส่วน 1:0.1 โดยโมล แคลไธน์ที่อุณหภูมิ 600-900 องศาเซลเซียส เป็นเวลา 2 ชั่วโมง



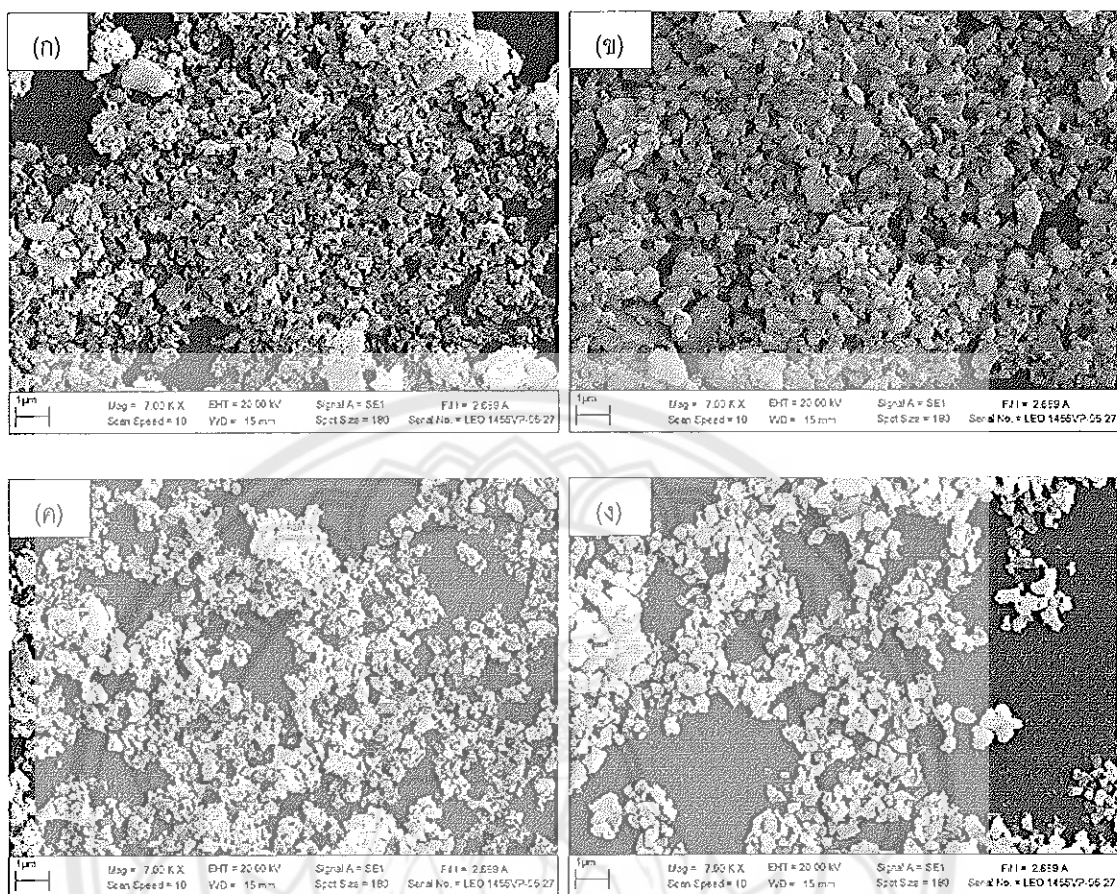
ภาพ 50 รูปแบบการเลี้ยงเวบของรังสีเอกซ์ของผงผลึกแลนثانัมเมงกานีสออกไซด์ร่วมกับสารเชื้อเพลิงกรดซิตริกในอัตราส่วน 1:0.2 โดยโมล แคลไนท์คุณภาพ 600-900 องศาเซลเซียส เป็นเวลา 2 ชั่วโมง



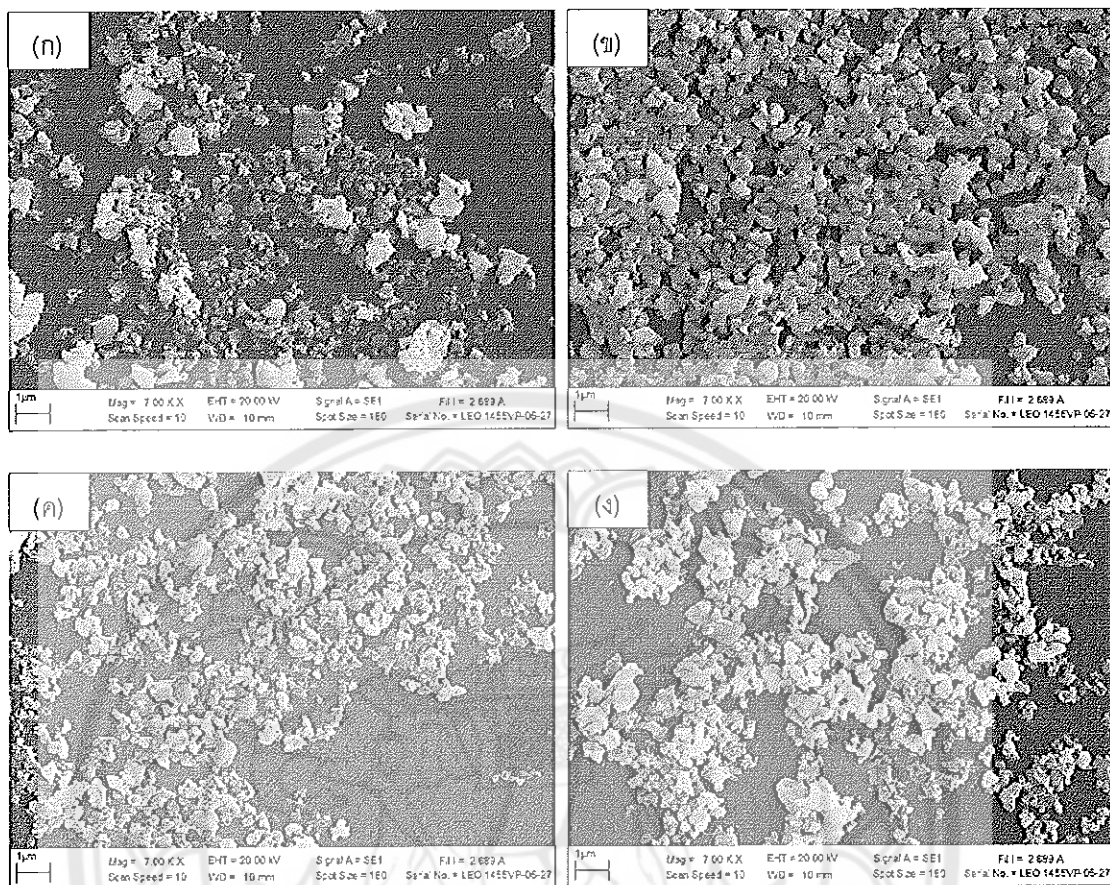
ภาพ 51 รูปแบบการเลี้ยงabenของรังสีเอกซ์ของผงผลึกแลนทานัมเมงกานีสออกไซด์ร่วมกับสารเชื้อเพลิงกรดซิตริกในอัตราส่วน 1:0.3 โดยโมล แคลไนท์อุณหภูมิ 600-900 องศาเซลเซียส เป็นเวลา 2 ชั่วโมง



ภาพ 52 ภาพถ่ายด้วยกล้องจุลทรรศน์อิเล็กตรอนแบบส่องการดูของผลึกแลนทานัม แมงกานีสออกไซด์ร่วมกับสารเชือเพลิงกรดซิตริก ในอัตราส่วน 1:0.1 โดยโมล เพาแคลไชน์ที่อุณหภูมิ (ก) 600 องศาเซลเซียส (ข) 700 องศาเซลเซียส (ค) 800 องศาเซลเซียส และ (ง) 900 องศาเซลเซียส เป็นเวลา 2 ชั่วโมง



ภาพ 53 ภาพถ่ายด้วยกล้องจุลทรรศน์อิเล็กตรอนแบบส่องการขาดของผลึกแลนทันัม เมงกานีสออกไซด์ร่วมกับสารเชือเพลิงกรดซิตริก ในอัตราส่วน 1:0.2 โดยโมล เพาแคลไชน์ที่อุณหภูมิ (ก) 600 องศาเซลเซียส (ข) 700 องศาเซลเซียส (ค) 800 องศาเซลเซียส และ (ง) 900 องศาเซลเซียส เป็นเวลา 2 ชั่วโมง



ภาพ 54 ภาพถ่ายด้วยกล้องจุลทรรศน์อิเล็กตรอนแบบส่องการดูของผงผลึกแลนทานัม แมงกานีสออกไซด์ร่วมกับสารเชื้อเพลิงกรดซิติก ในอัตราส่วน 1:0.3 โดยมีเมล เพาแคลไชน์ที่อุณหภูมิ (ก) 600 องศาเซลเซียส (ข) 700 องศาเซลเซียส (ค) 800 องศาเซลเซียส และ (ง) 900 องศาเซลเซียส เป็นเวลา 2 ชั่วโมง

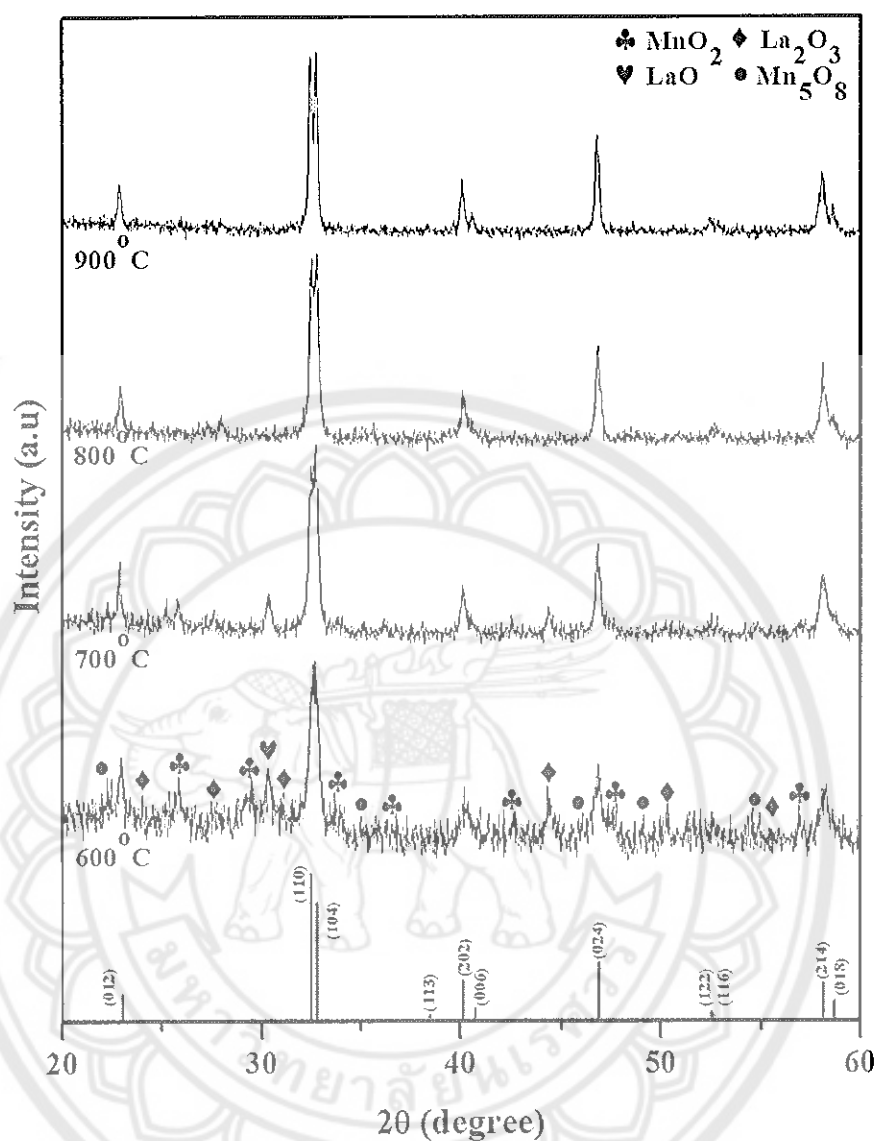
#### 4. ผลการตรวจสอบลักษณะเฉพาะของผลผลิตและทานัมแมงกานีสออกไซด์ร่วมกับสารเชือเพลิงไกลซีน (LMOG)

##### 4.1 ผลการวิเคราะห์โครงสร้างผลลัพธ์ด้วยเทคนิคการเลี้ยวเบนของรังสีเอกซ์ (X-ray diffractometer: XRD)

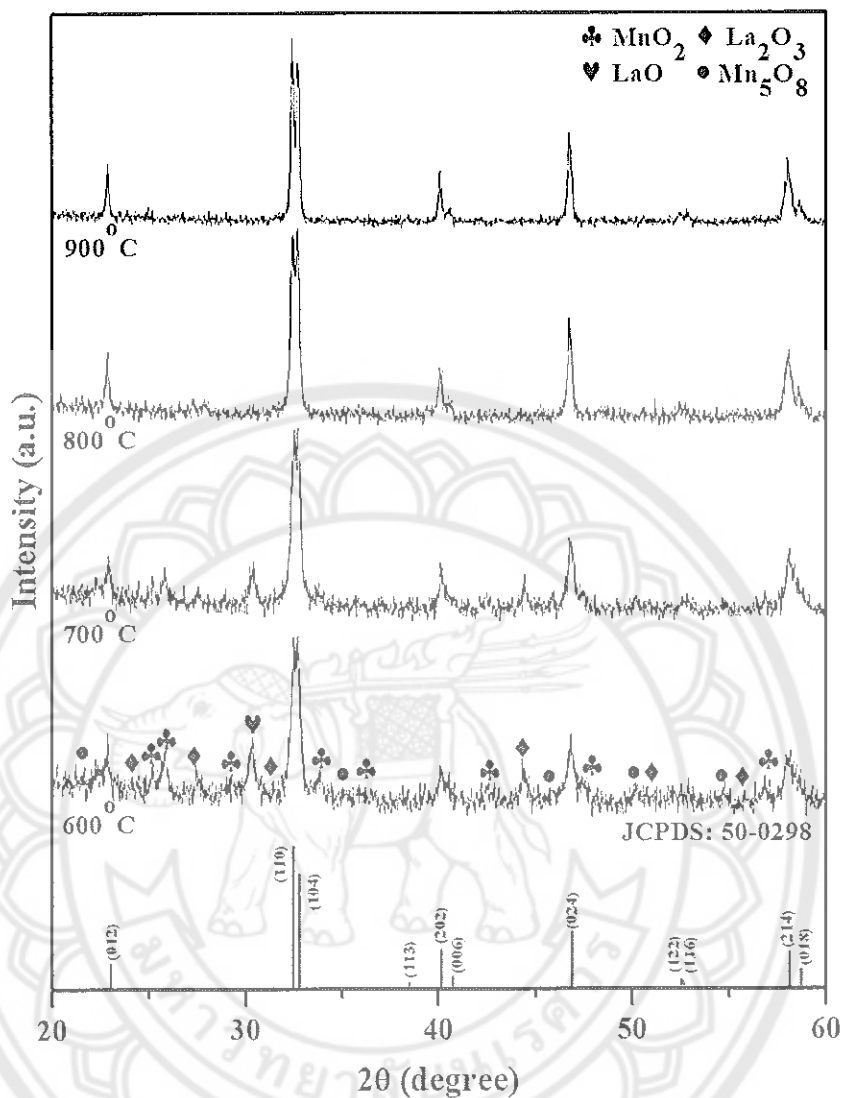
จากการวิเคราะห์ด้วยเทคนิคการเลี้ยวเบนของรังสีเอกซ์ (XRD) ของผลผลิตและทานัมแมงกานีสออกไซด์ร่วมกับสารเชือเพลิงไกลซีน (LMOG) ในอัตราส่วนสารตั้งต้นต่อสารเชือเพลิง คือ 1:0.1 1:0.2 และ 1:0.3 โดยไมล แพแคลลไชน์ที่อุณหภูมิ 600-900 องศาเซลเซียส เป็นเวลา 2 ชั่วโมง แสดงดังภาพ 55 56 และ 57 พบว่าตั้งแต่อุณหภูมิ 600 องศาเซลเซียส ในทุกอัตราส่วน สารตั้งต้นทำปฏิกิริยากันจนเริ่มเกิดเป็นโครงสร้างผลลัพธ์ของสารและทานัมแมงกานีสออกไซด์ (LMO) แต่โครงสร้างที่ได้ยังไม่สมบูรณ์เนื่องจากยังพบเฟสของสารตั้งต้นหลงเหลืออยู่คือ  $MnO_2$   $La_2O_3$   $LaO$  และ  $Mg_2O_8$  และพบว่าเมื่ออุณหภูมิในการแคลลไชน์สูงขึ้นเฟสของสารเปลกปalon ลดลง และพบความบริสุทธิ์ 100 เมอร์เซียต์ ของ LMOG ในอัตราส่วน 1:0.2 และ 1:0.3 โดยไมล ที่อุณหภูมิ 900 องศาเซลเซียส ซึ่งเฟสที่ได้มีโครงสร้างแบบรอมบิค็อกัด (trombohedrall) ซึ่งแสดงคลื่องกับฐานข้อมูล JCPDS หมายเลข 50-0298 เพราะฉะนั้นที่อัตราส่วน 1:0.2 จึงเป็นอัตราส่วนที่ดีที่สุด เนื่องจากสามารถให้ปริมาณของเชือเพลิงลดลง สำหรับในการเตรียมเชาว์มีการเลือกอัตราส่วน 1:0.3 โดยไมล ไปศึกษาต่อเนื่องจากจะทำการเปรียบเทียบทั้งสามสารเชือเพลิงในอัตราส่วนที่เท่ากัน

##### 4.2 ผลการวิเคราะห์ด้วยกล้องจุลทรรศน์อิเล็กตรอนแบบส่องกราด (Scanning Electron Microscopy: SEM)

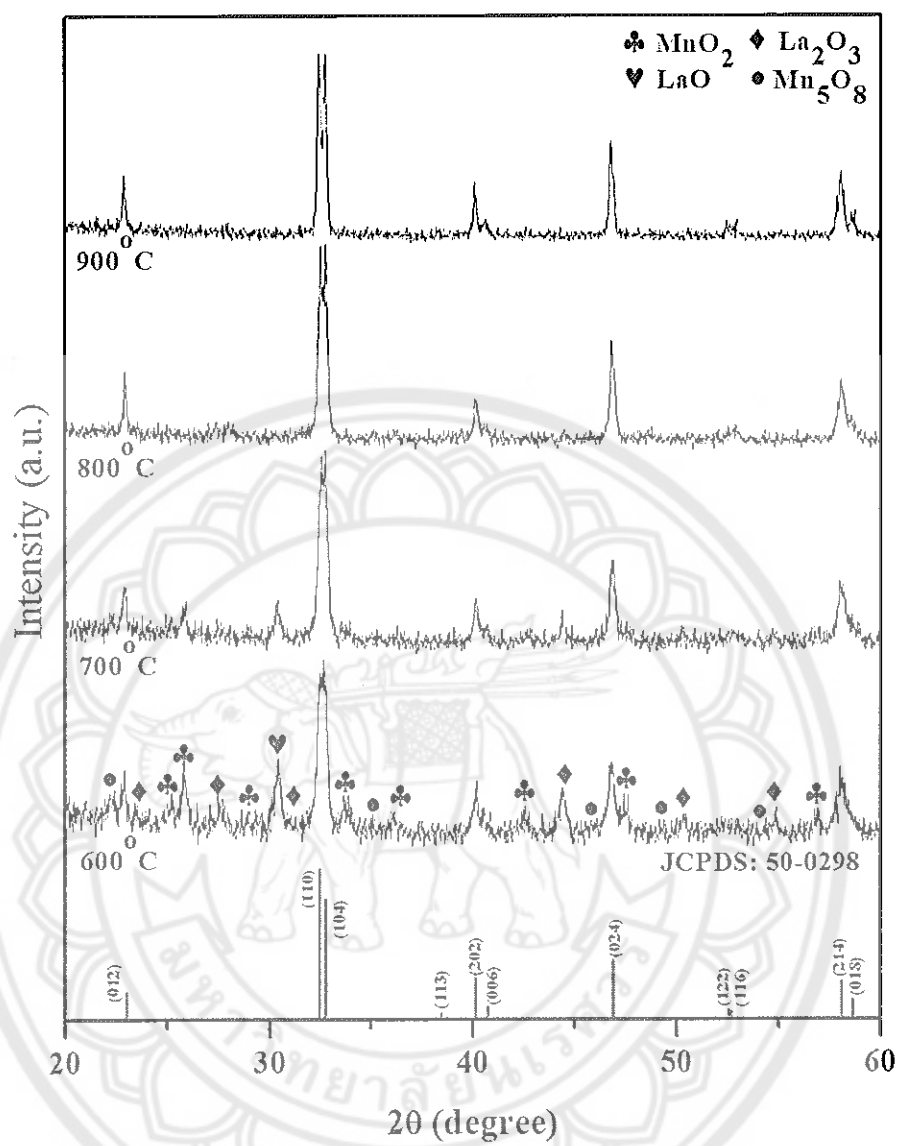
จากการศึกษาโครงสร้างจุลภาคของผลผลิต LMOG แสดงในภาพ 58 59 และ 60 แพแคลลไชน์ที่อุณหภูมิ 600-900 องศาเซลเซียส เป็นเวลา 2 ชั่วโมง พบร่วมกับในอัตราส่วน 1:0.1 โดยไมล อนุภาคมีลักษณะเป็นทรงเหลี่ยมและทรงกลมเก้ากู่มัน (21) โดยมีขนาดอยู่ใน 2 ช่วง แต่เมื่อแพแคลลไชน์สูงขึ้นที่อุณหภูมิ 900 องศาเซลเซียส และอนุภาคมีลักษณะค่อนข้างเป็นทรงกลมไม่สม่ำเสมอ สำหรับการเติมสารเชือเพลิงไกลซีนที่ 1:0.2 และ 1:0.3 โดยไมล อนุภาคมีลักษณะค่อนข้างเป็นทรงกลมเก้ากู่มัน และเมื่ออุณหภูมิแคลลไชน์สูงขึ้นลักษณะอนุภาคมีแนวโน้มไปในทางเดียวกันคือเมื่ออุณหภูมิในการแพแคลลไชน์สูงขึ้นส่งผลให้ขนาดอนุภาคใหญ่ขึ้นโดยมีอนุภาคเฉลี่ยอยู่ที่ 161.53 และ 172.86 นาโนเมตร



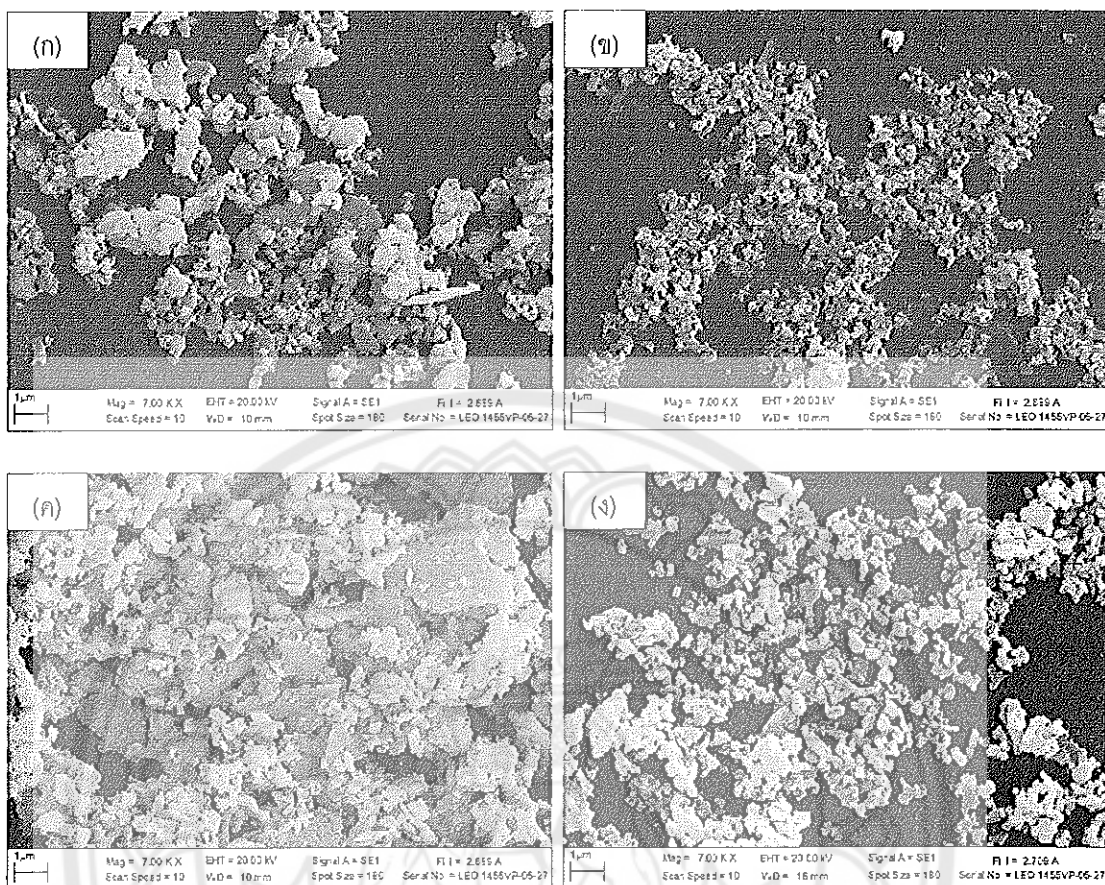
ภาพ 55 รูปแบบการเลี้ยงเวนของรังสีเอกซ์ของผงผลึกแلنทานัมเมงกานีสออกไซด์ร่วมกับสารเชื้อเพลิงไกลซีนในอัตราส่วน 1:0.1 โดยโมล แคลไชน์ที่อุณหภูมิ 600-900 องศาเซลเซียส เป็นเวลา 2 ชั่วโมง



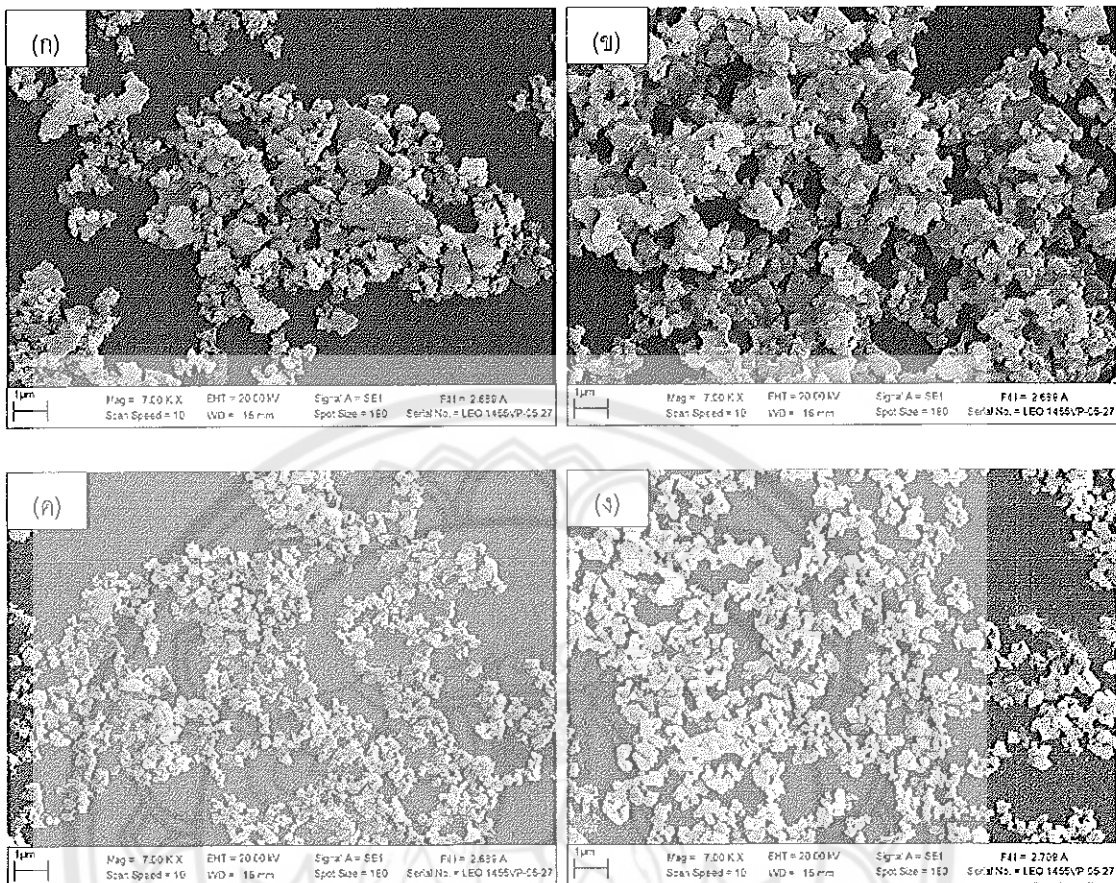
ภาพ 56 รูปแบบการเติบโตของรังสีเอกซ์ของผงผลึกแลนثانัมเมงกานีสอออกไซด์ร่วมกับสารเชื้อเพลิงไกลเซ็นในอัตราส่วน 1:0.2 โดยโมล แคลใจน์ที่อุณหภูมิ 600-900 องศาเซลเซียส เป็นเวลา 2 ชั่วโมง



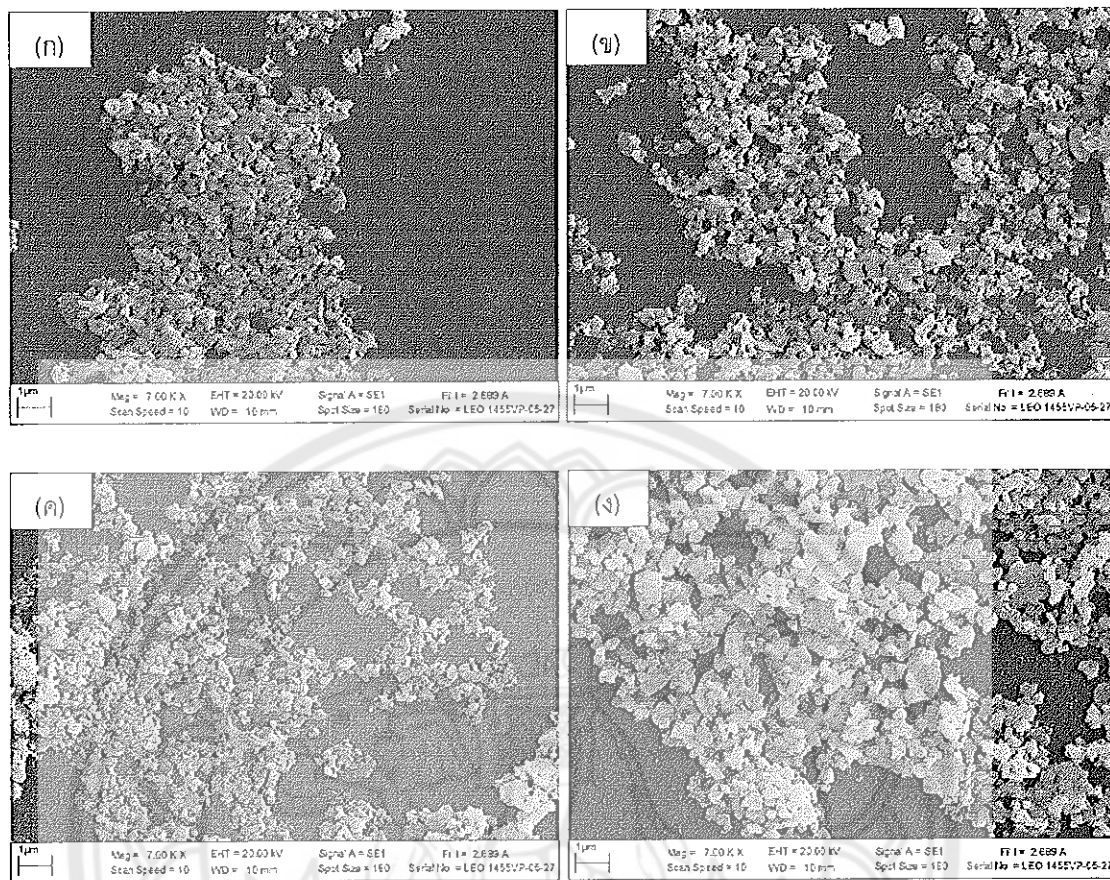
ภาพ 57 รูปแบบการเลี้ยงเวนของรังสีเอกซ์ของผงผลึกแลนทานัมแมงกานีสออกไซด์ร่วมกับสารเชื้อเพลิงไกลชีนในอัตราส่วน 1:0.3 โดยโมล แคลไชน์ที่อุณหภูมิ 600-900 องศาเซลเซียส เป็นเวลา 2 ชั่วโมง



ภาพ 58 ภาพถ่ายด้วยกล้องจุลทรรศน์อิเล็กตรอนแบบส่องการดูของพอลีไธโอลทานัม เมงกานีสออกไซด์ร่วมกับสารเชื้อเพลิงไกลิน ในอัตราส่วน 1:0.1 โดยโมล เผาเคลื่อนที่อุณหภูมิ (ก) 600 องศาเซลเซียส (ข) 700 องศาเซลเซียส (จ) 800 องศาเซลเซียส และ (ก') 900 องศาเซลเซียส เป็นเวลา 2 ชั่วโมง



ภาพ 59 ภาพถ่ายด้วยกล้องจุลทรรศน์อิเล็กตรอนแบบส่องการดูของผงพลีกแลนทานัม  
แมงกานีสออกไซด์ร่วมกับสารเพิ่มไอลซิน ในอัตราส่วน 1:0.2 โดยโมล  
เพาแคลไชน์ที่อุณหภูมิ (ก) 600 องศาเซลเซียส (ข) 700 องศาเซลเซียส  
(ค) 800 องศาเซลเซียส และ (ง) 900 องศาเซลเซียส เป็นเวลา 2 ชั่วโมง



ภาพ 60 ภาพถ่ายด้วยกล้องจุลทรรศน์อิเล็กตรอนแบบส่องการดูของผลลัพธ์แทนท่านัม  
เมงกานีสออกไซด์ร่วมกับสารเชื้อเพลิงไกลซิน ในอัตราส่วน 1:0.3 โดยโมล  
เพาแคลไชน์ที่อุณหภูมิ (ก) 600 องศาเซลเซียส (ข) 700 องศาเซลเซียส  
(ค) 800 องศาเซลเซียส และ (ง) 900 องศาเซลเซียส เป็นเวลา 2 ชั่วโมง

จากการสังเคราะห์ผังผลลัพธ์แลนทานัมแมงกานีสออกไซด์ด้วยวิธีการปฏิกิริยาการเผาไหม้ชุด-เจล ร่วมกับสารเชื้อเพลิงยูเรีย กรดซิตริก และไกลซีน ในอัตราส่วนสารตั้งต้นต่อสารเชื้อเพลิง เป็น 1:0.1 1:0.2 และ 1:0.3 โดยโมล ตามลำดับ เมื่อเปรียบเทียบร้อยละความบริสุทธิ์ของผังผลลัพธ์ LMO ที่มีการเติมสารเชื้อเพลิงชนิดต่างๆ ในปริมาณที่แตกต่างกัน และที่ไม่เติมสารเชื้อเพลิง ดังตาราง 2 พนวจนาความบริสุทธิ์เพิ่มขึ้นเมื่ออุณหภูมิในการแคลไทรน์สูงขึ้น และพบว่าเมื่อบริมานความเข้มข้นของสารเชื้อเพลิงแต่ละชนิดเพิ่มขึ้นก็จะมีเปอร์เซ็นต์ความบริสุทธิ์เพอร์อฟส์ไกต์สูงขึ้น คาดว่าสาเหตุจากการที่บริมานความเข้มข้นของสารเชื้อเพลิงเพิ่มขึ้นนั้นส่งผลให้อุณภูมิภายในเพิ่มขึ้นจึงมีโอกาสเกิดการชนกันได้มาก และทำให้เกิดการปลดปล่อยพลังงานออกมากพอที่จะเกิดโครงสร้างของผลลัพธ์ได้กว่าที่ความเข้มข้นต่ำ และจากผลการวิเคราะห์ที่ให้เห็นว่าการเติมสารเชื้อเพลิงสังผลต่อเปอร์เซ็นต์ความบริสุทธิ์ของสารตั้งต้นเนื่องจากสารเชื้อเพลิงยูเรีย กรดซิตริก และไกลซีน มีอุณหภูมิในการทำงานอยู่ที่ 196 310 และ 240 องศาเซลเซียส และมีค่าพลังงานความร้อนน้อยที่ 545.7 1784.4 และ 862.3 กิโลจูลต่้อมอล (29) ตามลำดับ จากการเปรียบเทียบความบริสุทธิ์ของผังผลลัพธ์ LMO ข้างต้นนี้นั้น ซึ่งผังที่เตรียมโดยการเติมยูเรียมีความบริสุทธิ์ที่อัตราส่วน 1:0.2 และ 1:0.3 โดยโมล ที่อุณหภูมิเผาแคลไทรน์ 900 องศาเซลเซียส ผังที่เตรียมโดยการเติมกรดซิตริกมีความบริสุทธิ์ที่อัตราส่วน 1:0.3 โดยโมล ที่อุณหภูมิเผาแคลไทรน์ 900 องศาเซลเซียส ในขณะที่การเตรียมโดยการเติมไกลซีนพบความบริสุทธิ์ที่อัตราส่วน 1:0.2 และ 1:0.3 โดยโมล ที่อุณหภูมิเผาแคลไทรน์ 900 องศาเซลเซียส กล่าวได้ว่าการเตรียมด้วยวิธีการปฏิกิริยาการเผาไหม้ชุด-เจล ร่วมกับสารเชื้อเพลิง 3 ชนิด นั้นมีความเหมาะสมที่อัตราส่วนสารตั้งต้นต่อสารเชื้อเพลิงคือ 1:0.3 โดยโมล เป็นเงื่อนไขที่เหมาะสมที่สุดในการเตรียมผังผลลัพธ์ LMO ต่อไป เนื่องจากเชื้อเพลิงทั้ง 3 ชนิดนั้นมีความบริสุทธิ์ที่อัตราส่วน 1:0.3 เมื่อกัน เพื่อจะทำการเปรียบเทียบทั้งสามสารเชื้อเพลิงในอัตราส่วนที่เท่ากัน

ตาราง 2 แสดงร้อยละความบริสุทธิ์ของผงผลึก LMO ที่เตรียมด้วยวิธีการปั๊กิริยา การเผาไหม้ไฮดรอล-เจลร่วมกับสารเชื้อเพลิงยูเรีย กรดซิตริก และไกลซีน ในอัตราส่วน 1:0.1 1:0.2 และ 1:0.3 โดยโมล

อุณหภูมิ	ร้อยละความบริสุทธิ์เพอร์เซนต์ (%)										
	LMO		LMOU			LMOCA			LMOG		
	1:0.0	1:0.1	1:0.2	1:0.3	1:0.1	1:0.2	1:0.3	1:0.1	1:0.2	1:0.3	
600	73.18	35.12	80.31	65.95	52.21	57.29	10.39	69.31	61.26	54.55	
700	76.88	71.45	78.13	71.51	64.50	74.35	59.16	81.82	73.51	84.00	
800	67.84	84.36	80.94	90.70	81.49	87.00	89.35	92.88	96.41	96.73	
900	85.87	97.51	100.00	100.00	96.88	97.02	100.00	94.99	100.00	100.00	

จากการวัดขนาดอนุภาคเฉลี่ยของผงผลึก LMO ที่เตรียมโดยวิธีการเผาไหม้ไฮดรอล-เจลร่วมกับสารเชื้อเพลิงกรดยูเรีย ซิตริก และไกลซีน ในอัตราส่วนสารตั้งต้นต่อสารเชื้อเพลิงเป็น 1:0.1 1:0.2 และ 1:0.3 โดยโมล ตามลำดับไกลซีน โดยเผาแคลไชน์ที่อุณหภูมิ 600-900 องศาเซลเซียส จากการวัดขนาดอนุภาคของผงผลึกด้วยโปรแกรม image J และหาขนาดอนุภาคด้วยสมการ Scherrer พบรากษณะของอนุภาคที่เตรียมได้มีลักษณะค่อนข้างเป็นทรงกลม เกาะกลุ่มกันอย่างหนาแน่น (21) แบบไม่สม่ำเสมอ อย่างไรก็ตามขนาดอนุภาคเฉลี่ยที่มีการเติมสารเชื้อเพลิงชนิดต่างๆค่อนข้างใกล้เคียงกัน ที่อุณหภูมิเผาแคลไชน์ 900 องศาเซลเซียส โดยตัวอย่างที่เตรียมร่วมกับเชื้อเพลิงยูเรียในอัตราส่วน 1:0.2 และ 1:0.3 โดยโมล มีอนุภาคเฉลี่ยประมาณ 176.68 และ 147.40 นาโนเมตร เมื่อคำนวณด้วยสมการเซอร์เวอร์ (13) 'ได้ขนาดอนุภาคเฉลี่ยประมาณ 33.52 และ 34.25 นาโนเมตร ตัวอย่างที่เตรียมร่วมกับสารเชื้อเพลิงกรดซิตริกในอัตราส่วน 1:0.3 โดยโมล มีขนาดอนุภาคเฉลี่ยประมาณ 147.34 นาโนเมตร คำนวณตามสมการได้ขนาดอนุภาคเฉลี่ยประมาณ 36.81 นาโนเมตร และสุดท้ายที่มีการเตรียมร่วมกับเชื้อเพลิงไกลซีนมีอนุภาคเฉลี่ยประมาณ 161.53 และ 172.86 นาโนเมตร เมื่อคำนวณตามสมการได้ขนาดอนุภาคเฉลี่ยประมาณ 37.13 และ 34.16 นาโนเมตร ตามลำดับ ตามตาราง 3 และ 4

ตาราง 3 แสดงขนาดอนุภาคเฉลี่ยของผงผลึก LMO ที่เตรียมด้วยวิธีการปฏิกิริยา การเผาไหม้ไฮม์เซล-เจล ร่วมกับสารเชื้อเพลิงยูเรีย กรดซิตริก และไกลชีน ในอัตราส่วน 1:0.1 1:0.2 และ 1:0.3 โดยโมล

อุณหภูมิ	ขนาดอนุภาคเฉลี่ย (nm.)									
	LMO	LMOU	LMOCA			LMOG				
1:0.0	1:0.1	1:0.2	1:0.3	1:0.1	1:0.2	1:0.3	1:0.1	1:0.2	1:0.3	
600	-	-	-	-	-	-	-	-	-	
700	-	-	-	-	-	-	-	-	-	
800	-	-	-	-	-	-	-	-	-	
900	-	-	176.68	147.40	-	-	147.34	-	161.53	172.86

ตาราง 4 แสดงขนาดอนุภาคเฉลี่ยของผงผลึก LMO ตามสมการ Scherrer ที่เตรียมด้วย วิธีการปฏิกิริยาการเผาไหม้ไฮม์เซล-เจล ร่วมกับสารเชื้อเพลิงยูเรีย กรดซิตริก และไกลชีน ในอัตราส่วน 1:0.1 1:0.2 และ 1:0.3 โดยโมล

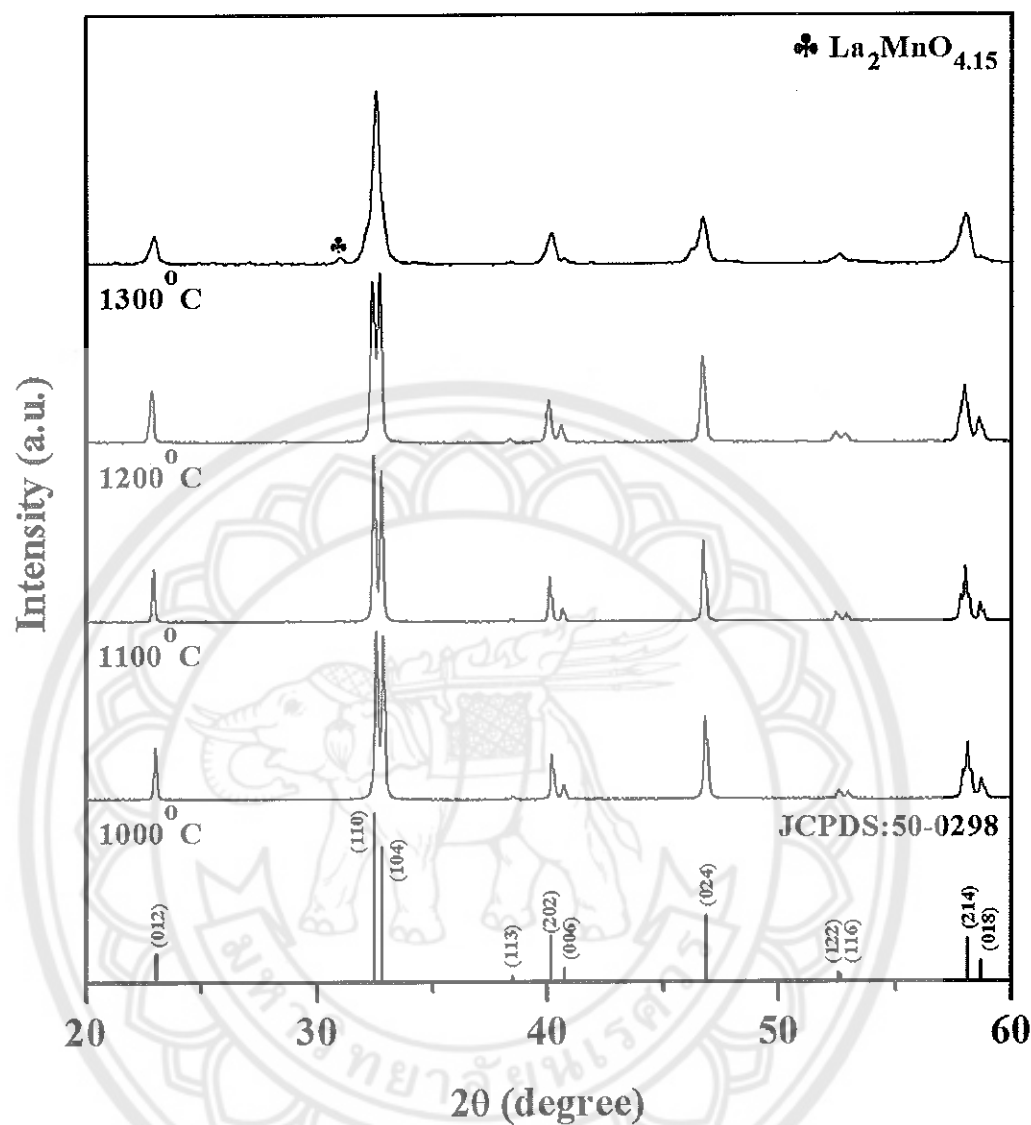
อุณหภูมิ	ขนาดอนุภาคเฉลี่ย (nm.)									
	LMO	LMOU	LMOCA			LMOG				
1:0.0	1:0.1	1:0.2	1:0.3	1:0.1	1:0.2	1:0.3	1:0.1	1:0.2	1:0.3	
600	-	-	-	-	-	-	-	-	-	
700	-	-	-	-	-	-	-	-	-	
800	-	-	-	-	-	-	-	-	-	
900	-	-	33.52	34.25	-	-	36.81	-	37.13	34.16

ผลการตรวจสอบลักษณะเฉพาะของเซรามิกแ Len tan นัมแมงกานีสออกไชด์ร่วมกับสารเชื้อเพลิงยูเรีย กรดซิตริก และไกลซีน

1. ผลการตรวจสอบลักษณะเฉพาะของเซรามิกแ Len tan นัมแมงกานีสออกไชด์ร่วมกับสารเชื้อเพลิงยูเรีย (LMOU)

1.1 ผลการวิเคราะห์โครงสร้างเซรามิกด้วยเทคนิคการเลี้ยวเบนของรังสีเอกซ์ (X-ray diffractometer: XRD)

ผลการวิเคราะห์ด้วยเทคนิคการเลี้ยวเบนของรังสีเอกซ์ของเซรามิกแ Len tan นัมแมงกานีสออกไชด์ ที่มีการเตรียมผงผลึกแ Len tan นัมแมงกานีสออกไชด์ร่วมกับสารเชื้อเพลิงยูเรีย ในอัตราส่วน 1:0.3 โดยไม่เผาซินเตอร์ที่อุณหภูมิ 1000-1300 องศาเซลเซียส เป็นเวลา 4 ชั่วโมง พนโครงสร้างที่มีความบริสุทธิ์ที่อุณหภูมิการเผาซินเตอร์ 1000-1200 องศาเซลเซียส โดยมีโครงสร้างเป็นเพอร์ฟไกต์แบบรวมใบฮีดวัล ซึ่งสอดคล้องกับฐานข้อมูล JCPDS หมายเลข 50-0298 และเมื่อเผาซินเตอร์ที่อุณหภูมิสูงขึ้นพบว่าที่อุณหภูมิ 1300 องศาเซลเซียสที่  $2\theta = 30.740$  เกิดเฟสแยกปลอมของ  $\text{La}_2\text{MnO}_{4.15}$  (JCPDS หมายเลข 40-0002) นอกจากนี้ยังสังเกตได้อีกว่าเฟสที่อยู่ใกล้กันเกิดการหลอมรวมกันเป็นเฟสเดียวที่อาจเกิดจากอุณหภูมิที่สูงขึ้นส่งผลให้เกิดการเปลี่ยนโครงสร้าง ดังภาพ 61



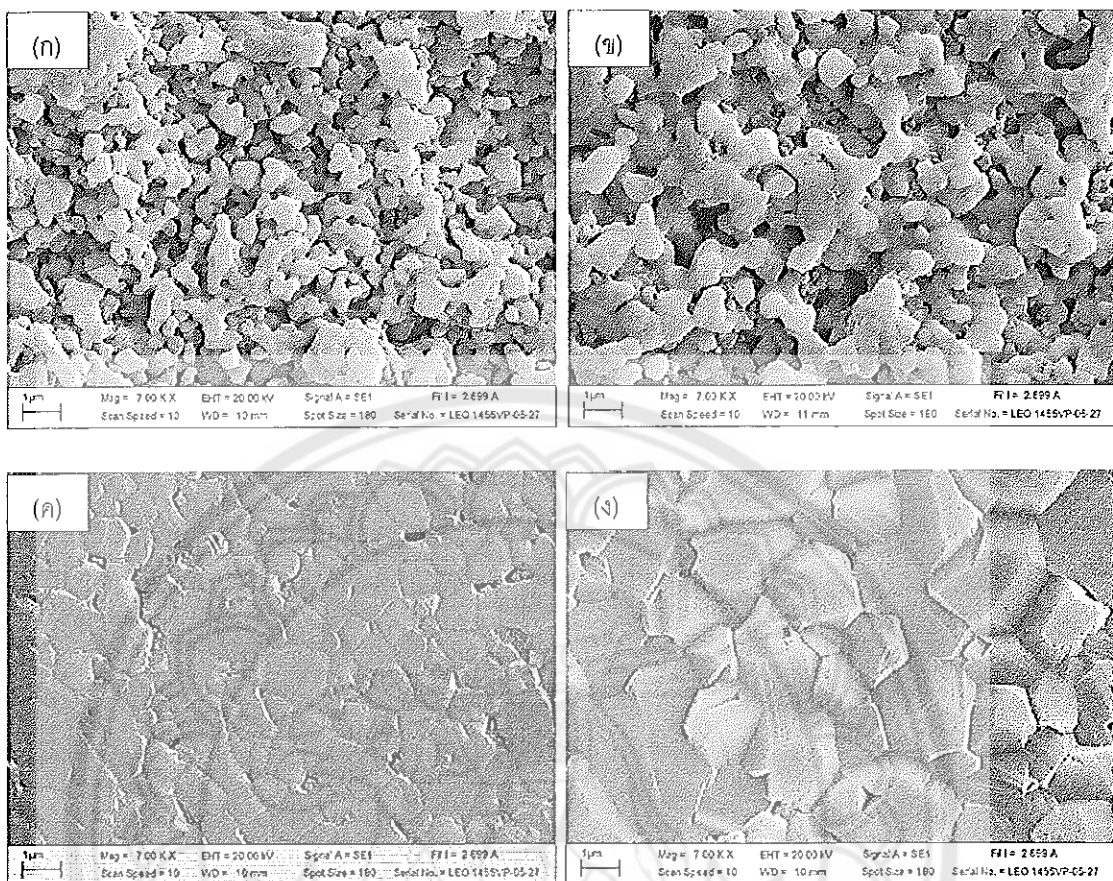
ภาพ 61 แสดงรูปแบบการเลี้ยวเบนของรังสีเอกซ์ของเซรามิกแลนทานัมแมงกานีออกไซด์ร่วมกับสารเชื้อเพลิงยูเรียที่อุณหภูมิในการเผาต่อ 1200-1300 องศาเซลเซียส เป็นเวลา 4 ชั่วโมง

## 1.2 ผลการวิเคราะห์ด้วยกล้องจุลทรรศน์อิเล็กตรอนแบบส่องกราด (Scanning Electron Microscopy: SEM)

ผลการศึกษาโครงสร้างอุลตราภาคด้วยกล้องจุลทรรศน์อิเล็กตรอนแบบส่องกราดของเซรามิกแอลนทานัมแมงกานีสออกไซด์ ที่มีการเตรียมผงผลึกแอลนทานัมแมงกานีสออกไซด์ร่วมกับสารเชือเพลิงยูเรียในอัตราส่วน 1:0.3 โดยไม่ลด เฟซิชนเตอร์ที่อุณหภูมิ 1000-1300 องศาเซลเซียส เป็นเวลา 4 ชั่วโมง ดังภาพ 62 พนว่าที่อุณหภูมิ 1000 และ 1100 องศาเซลเซียส ลักษณะของเกรน มีรูปร่างค่อนข้างเป็นทรงกลมซึ่งมีขนาดใหญ่เล็กปะปนกัน และมีการจัดเรียงตัวกันอย่างไม่สม่ำเสมอ นอกจากนี้ยังสังเกตได้ว่ามี รูพูนเกิดขึ้นจำนวนมาก แต่เมื่ออุณหภูมิในการเผาซินเตอร์เพิ่มขึ้น ขนาดของเกรนจะใหญ่ขึ้นเรื่อยๆ และดังดังภาพ 62(ก-ช) โดยมีขนาดเกรนเฉลี่ยประมาณ 0.55 และ 0.69 ไมโครเมตร ตามลำดับ เกรนที่มีขนาดเล็กหลอมรวมกันตามอุณหภูมิการเผาซินเตอร์ที่สูงขึ้น และจะเห็นว่าขนาดเกรนโตขึ้นที่อุณหภูมิ 1200 องศาเซลเซียส ดังภาพ 62(ค) ซึ่งมีขนาดเกรนเฉลี่ย ประมาณ 0.79 ไมโครเมตร และขนาดเกรนมีขนาดใหญ่อย่างชัดเจนมีลักษณะเป็นทรงเหลี่ยม (23) ที่อุณหภูมิ 1300 องศาเซลเซียส ดังภาพ 62(ง) โดยมีขนาดเกรนเฉลี่ยประมาณ 1.77 ไมโครเมตร ซึ่งสามารถอนุมานได้ว่าเกรนที่มีขนาดใหญ่มาจากการหลอมรวมกันของอนุภาคเกรนขนาดเล็กของผงโซล-เจล ที่ทำปฏิกิริยากับผงของเชือเพลิงจึงทำให้เกรนมีขนาดเล็กใหญ่แตกต่างกันได้อย่างชัดเจน

## 1.3 ผลการคำนวณหาค่าความหนาแน่นและร้อยละการหดตัว

ผลของค่าความหนาแน่นและร้อยละความหดตัวของเซรามิกแอลนทานัมแมงกานีสออกไซด์ร่วมกับสารเชือเพลิงยูเรียในอัตราส่วน 1:0.3 โดยไม่ เมื่อเผาซินเตอร์ที่อุณหภูมิ 1000-1300 องศาเซลเซียส พนว่าที่อุณหภูมิการเผาซินเตอร์สูงขึ้นร้อยละการหดตัวจะมีค่าเพิ่มขึ้น โดยจะมีค่าการหดตัวอยู่ในช่วงร้อยละประมาณ 2.36-18.28 ส่วนค่าความหนาแน่นภายในของเซรามิกนั้นเมื่ออุณหภูมิการเผาซินเตอร์สูงขึ้นพบว่าเซรามิกมีค่าความหนาแน่นสูงขึ้น เนื่องจากเกิดการหลอมรวมกันของเกรน ทำให้เกรนมีขนาดใหญ่ขึ้นและซึ่งว่าระหว่างเกรนแคบลงจึงส่งผลให้รูพูนลดน้อยลง โดยความหนาแน่นของเซรามิกแอลนทานัมแมงกานีสออกไซด์มีค่าประมาณ 3.85-4.95 กรัมต่อลูกบาศก์เซนติเมตร หรือคิดเป็นประมาณร้อยละ 67.84-87.16 ของความหนาแน่นทางทฤษฎีและค่าร้อยละความพรุนลดลงเมื่ออุณหภูมิซินเตอร์สูงขึ้นดังตาราง 5



ภาพ 62 ภาพถ่ายด้วยกล้องจุลทรรศน์อิเล็กตรอนแบบส่องการดูของเซรามิกленทันนัม  
เมงกานีสออกไซเดอร์ร่วมกับสารเชือเพลิงญี่เรียว เมาซินเตอร์ที่อุณหภูมิ (ก) 1000  
องศาเซลเซียส (ข) 1100 องศาเซลเซียส (ค) 1200 องศาเซลเซียส และ (ง) 1300  
องศาเซลเซียส เป็นเวลา 4 ชั่วโมง

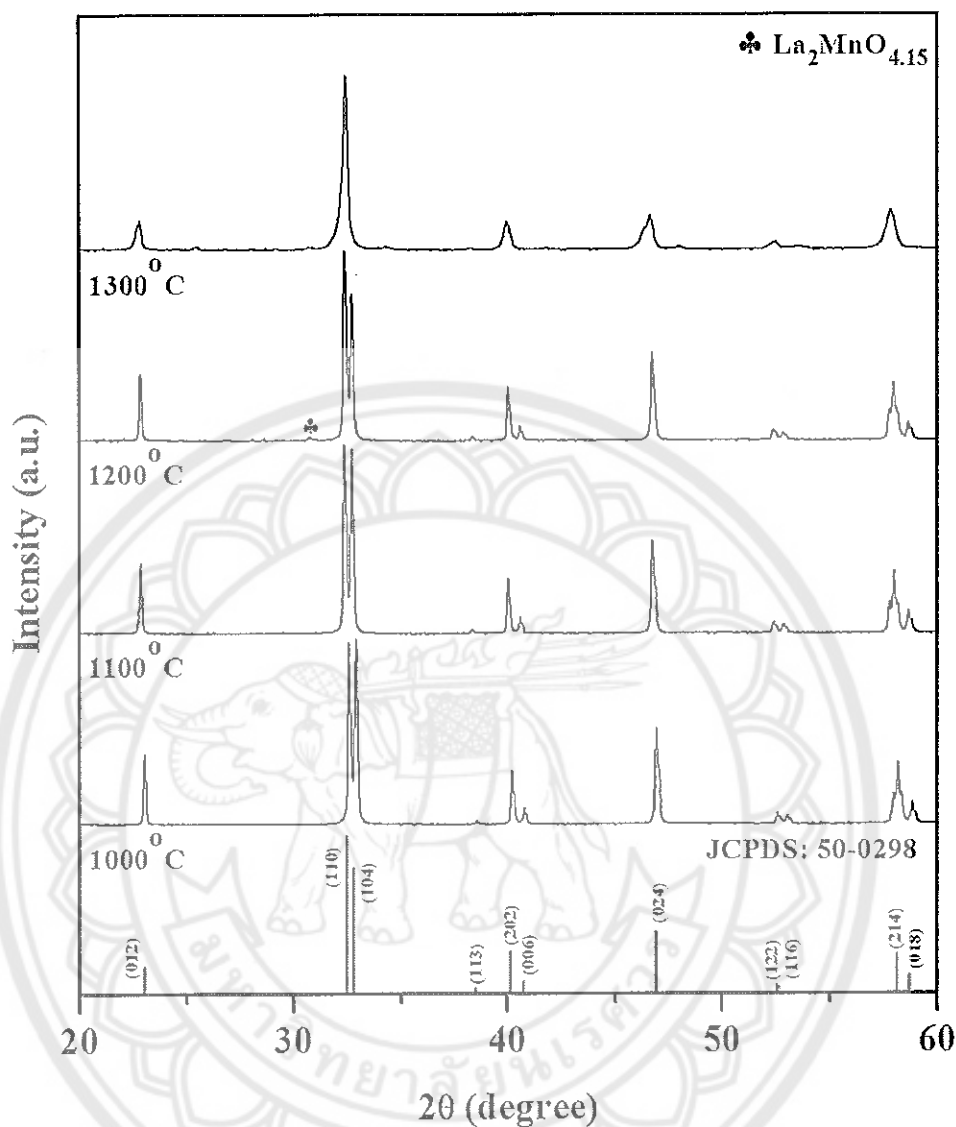
ตาราง 5 แสดงขนาดเกรนเฉลี่ย ค่าร้อยละการหดตัว ค่าความหนาแน่นของเซรามิก  
และทานัมแมงกานีสออกไซด์ร่วมกับสารเชือเพลิงขณะหภูมิ 1000-1300 องศาเซลเซียส เป็นเวลา 4 ชั่วโมง

เซรามิก	อุณหภูมิ ชีวนเตอร์ (°C)	ขนาด เกรนเฉลี่ย (μm)	ร้อยละ การหดตัว (%)	ความหนาแน่น		ความ พูน (%)
				การทดลอง (g/cm <sup>3</sup> )	สัมพัทธ์ทุบกระป๋อง (%)	
LMOU	1000	0.55	2.36	3.85	67.84	43.24
	1100	0.69	4.90	4.22	74.34	35.29
	1200	0.79	15.45	4.60	80.97	29.03
	1300	1.77	18.28	4.95	87.16	24.14

2. ผลการตรวจสอบลักษณะเฉพาะของเซรามิกและทานัมแมงกานีสออกไซด์ร่วมกับสารเชือเพลิงกรดซิตริก (LMOCA)

2.1 ผลการวิเคราะห์โครงสร้างเซรามิกด้วยเทคนิคการเลี้ยวเบนของรังสีเอกซ์ (X-ray diffractometer: XRD)

ผลการวิเคราะห์ด้วยเทคนิคการเลี้ยวเบนของรังสีเอกซ์ของเซรามิกและทานัมแมงกานีสออกไซด์ ที่มีการเตรียมผงผลึกและนานัมแมงกานีสออกไซด์ร่วมกับสารเชือเพลิงซิตริก ในอัตราส่วน 1:0.3 โดยมีอัตราการเผาตันเตอร์ที่อุณหภูมิ 1000-1300 องศาเซลเซียส เป็นเวลา 4 ชั่วโมง พบโครงสร้างที่มีความบริสุทธิ์ที่อุณหภูมิการเผาตันเตอร์ 1000-1100 องศาเซลเซียส โดยมีโครงสร้างเป็นเพอร์อฟส์ไกเต็ตแบบรวมใบไฮดรอล ซึ่งสอดคล้องกับฐานข้อมูล JCPDS หมายเลข 50-0298 และพบว่าที่อุณหภูมิ 1200 องศาเซลเซียส ที่  $2\theta = 30.740$  เกิดเฟสแปรกเปลี่ยนของ  $\text{La}_2\text{MnO}_{4.15}$  (JCPDS หมายเลข 40-0002) เมื่อเพาท์อุณหภูมิสูงขึ้นที่อุณหภูมิ 1300 องศาเซลเซียส เฟสเกิดการเปลี่ยนโครงสร้างเป็นเพอร์อฟส์ไกเต็ตแบบออร์โกรومบิคที่มีความบริสุทธิ์ ซึ่งสอดคล้องกับฐานข้อมูล JCPDS หมายเลข 50-0297 และดังภาพ 63



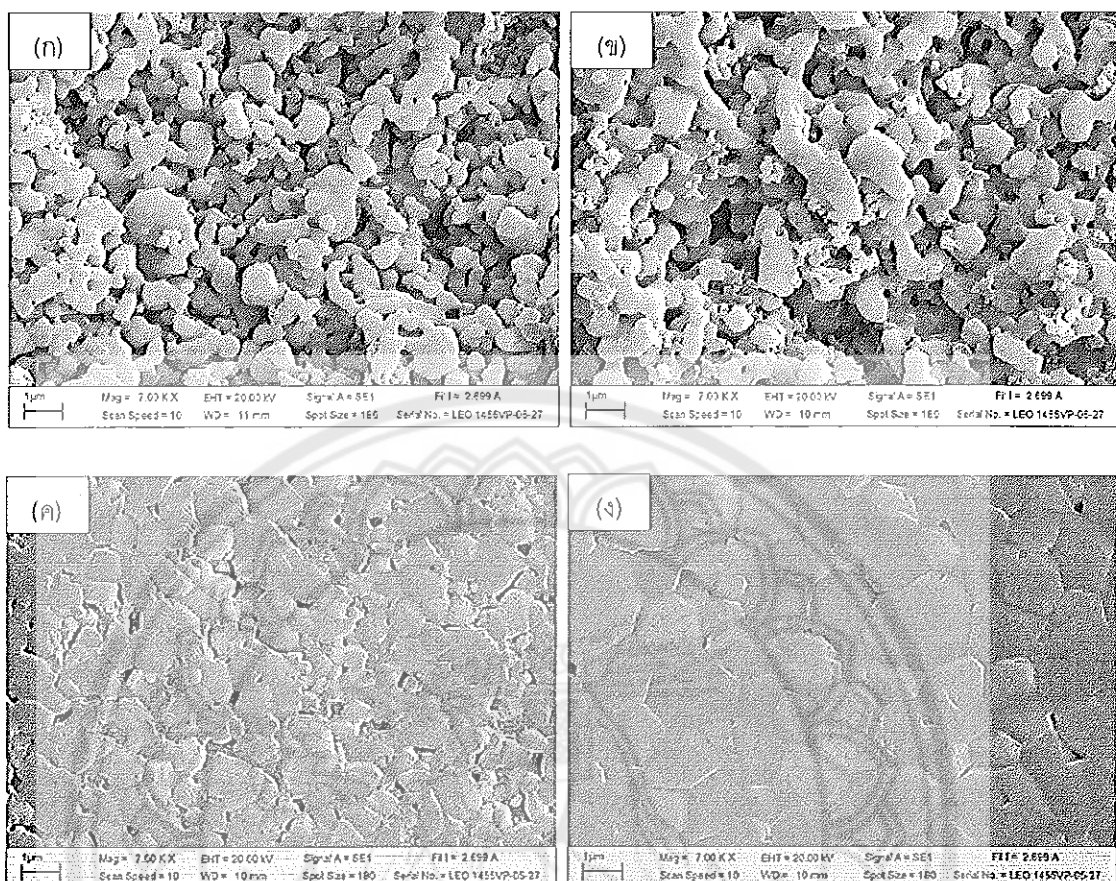
ภาพ 63 แสดงรูปแบบการเลี้ยวเบนของรังสีเอกซ์ของเซรามิกแลนثانัมเมงกานีส ออกไซเดอร์ร่วมกับสารเชื้อเพลิงซิตริกที่อุณหภูมิในการเผาเตอร์ 1200-1300 องศาเซลเซียสเป็นเวลา 4 ชั่วโมง

## 2.2 ผลการวิเคราะห์ด้วยกล้องจุลทรรศน์อิเล็กตรอนแบบส่องกราด (Scanning Electron Microscopy: SEM)

ผลการศึกษาโครงสร้างอุลตราภาคตัวยอกกล้องจุลทรรศน์อิเล็กตรอนแบบส่องกราด ของเซรามิกแlenทานัมแมงกานีสออกอิซซ์ด์ ที่มีการเตรียมผงหลักแlenทานัมแมงกานีสออกอิซซ์ด์ ร่วมกับสารเชือกเพลิงชีตวิริในอัตราส่วน 1:0.3 โดยไมล แพซิโนเตอร์ที่อุณหภูมิ 1000-1300 องศาเซลเซียส เป็นเวลา 4 ชั่วโมง ดังภาพ 64 พนบว่า ลักษณะของเกรนมีรูปร่างค่อนข้างเป็นทรงกลมซึ่งมีขนาดใหญ่เล็กปานกลาง และมีการจัดเรียงตัวกันอย่างไม่สม่ำเสมอ นอกจากนี้ยังสังเกตได้ว่ามีรูพรุนเกิดขึ้นจำนวนมาก แต่เมื่ออุณหภูมิในการเผาตีนเตอร์เพิ่มขึ้นขนาดของเกรนจะโตขึ้นเรื่อยๆ แสดงตั้งภาพ 64(ก-ช) โดยมีขนาดเกรนเฉลี่ยประมาณ 0.63 และ 0.71 ไมโครเมตร ตามลำดับ เกรนที่มีขนาดเล็กหลอมรวมกันตามอุณหภูมิชินเตอร์ที่สูงขึ้นและจะเห็นว่าขนาดเกรนโตขึ้นที่อุณหภูมิ 1200 องศาเซลเซียส ดังภาพ 64(ค) ซึ่งมีขนาดเกรนเฉลี่ยประมาณ 1.26 ไมโครเมตร และขนาดเกรนมีขนาดใหญ่อย่างชัดเจนและมีลักษณะคล้ายทรงเหลี่ยม (23) ที่อุณหภูมิ 1300 องศาเซลเซียส ดังภาพ 64(ง) โดยมีขนาดเกรนเฉลี่ยประมาณ 1.87 ไมโครเมตร ซึ่งสามารถอนุมานได้ว่าเกรนที่มีขนาดใหญ่มาจากการหลอมรวมกันของอนุภาคน้ำหนักเกรนขนาดเล็กของผงไฮโล-เจล ที่ทำปฏิกิริยากับผงของเชือกเพลิงจึงทำให้เกรนมีขนาดเล็กใหญ่แตกต่างกันได้อย่างชัดเจน

## 2.3 ผลการคำนวณหาค่าความหนาแน่นและร้อยละการหดตัว

ผลของค่าความหนาแน่นและร้อยละความหดตัวของเซรามิกแlenทานัมแมงกานีส ออกอิซซ์ด์ร่วมกับสารเชือกเพลิงกรดชีตวิริในอัตราส่วน 1:0.3 โดยไมล แพซิโนเตอร์ที่อุณหภูมิ 1000-1300 องศาเซลเซียส พนบว่าเมื่ออุณหภูมิการเผาตีนเตอร์สูงขึ้นร้อยละการหดตัวจะมีค่าเพิ่มขึ้นโดยจะมีค่าการหดตัวอยู่ในช่วงร้อยละประมาณ 0.43-24.24 ส่วนค่าความหนาแน่นภายในของเซรามิกนั้นมีอุณหภูมิการเผาตีนเตอร์สูงขึ้นพบว่าเซรามิกมีค่าความหนาแน่นสูงขึ้น เนื่องจากเกิดการหลอมรวมกันของเกรน ทำให้เกรนมีขนาดใหญ่ขึ้นและซองว่าระหว่างเกรนเคบลงจึงส่งผลให้รูพรุนลดลงโดยความหนาแน่นของเซรามิกแlenทานัมแมงกานีสออกอิซซ์ด์มีค่าประมาณ 3.73-5.30 กรัมต่อลูกบาศก์เซนติเมตร หรือคิดเป็นประมาณร้อยละ 65.70-93.38 ของความหนาแน่นทางทฤษฎีและค่าวิริยะความพูนลดลงเมื่ออุณหภูมิชินเตอร์สูงขึ้นดังตาราง 6



ภาพ 64 ภาพถ่ายด้วยกล้องจุลทรรศน์อิเล็กตรอนแบบส่องการดูของเซรามิกленทันนัม  
แมงกานีสออกไซด์ร่วมกับสารเชือเพลิงชิตริก เพาซินเตอร์ที่อุณหภูมิ (η) 1000  
องศาเซลเซียส (ω) 1100 องศาเซลเซียส (κ) 1200 องศาเซลเซียส และ (γ) 1300  
องศาเซลเซียส เป็นเวลา 4 ชั่วโมง

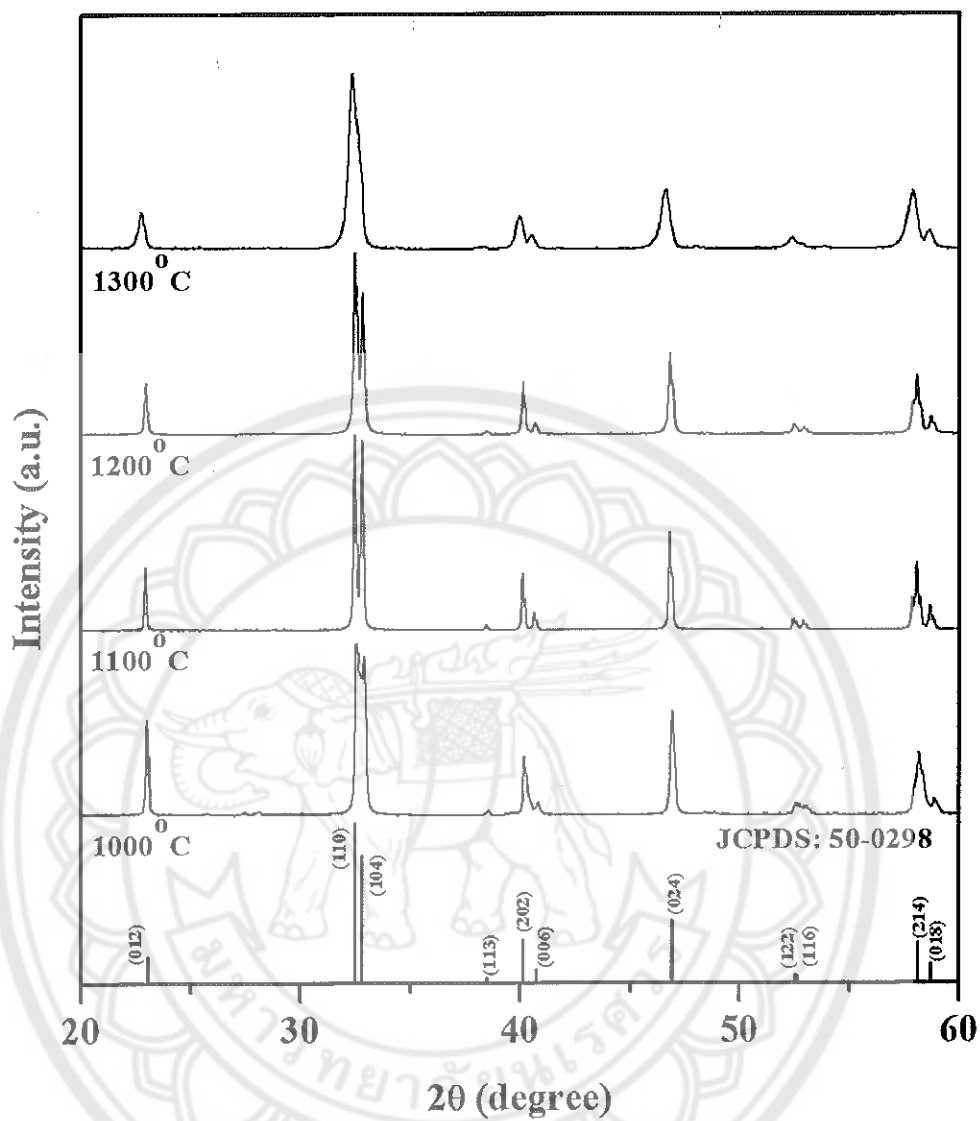
ตาราง 6 แสดงขนาดเกรนเฉลี่ย ค่าร้อยละการหดตัว ค่าความหนาแน่นของเซรามิก  
และอุณหภูมิเมงกานีสออกไซด์ร่วมกับสารเชือเพลิงกรดซิต्रิกที่อุณหภูมิ  
1000-1300 องศาเซลเซียส เป็นเวลา 4 ชั่วโมง

เซรามิก	อุณหภูมิ	ขนาด	ร้อยละ	ความหนาแน่น		ความ พรุน (%)
	ซีนเตอร์ (°C)	เกรนเฉลี่ย (μm)	การหดตัว (%)	การทดลอง (g/cm <sup>3</sup> )	สัมพัทธ์ถูกวี (%)	
LMOCA	1000	0.63	0.43	3.73	65.70	45.71
	1100	0.71	9.47	4.28	75.37	32.35
	1200	1.26	19.71	4.99	87.76	22.22
	1300	1.87	24.24	5.30	93.38	20.00

3. ผลการตรวจสอบลักษณะเฉพาะของเซรามิกและอุณหภูมิเมงกานีสออกไซด์ร่วมกับสารเชือเพลิงไกลซีน (LMOG)

### 3.1 ผลการวิเคราะห์โครงสร้างเซรามิกด้วยเทคนิคการเลี้ยวเบนของรังสีเอกซ์ (X-ray diffractometer: XRD)

ผลการวิเคราะห์ด้วยเทคนิคการเลี้ยวเบนของรังสีเอกซ์ของเซรามิกและอุณหภูมิเมงกานีสออกไซด์ที่มีการเตรียมผงผลึกและอุณหภูมิเมงกานีสออกไซด์ร่วมกับสารเชือเพลิงไกลซีนในอัตราส่วน 1:0.3 โดยไม่เผาซินเตอร์ที่อุณหภูมิ 1000-1300 องศาเซลเซียส เป็นเวลา 4 ชั่วโมง สังเกตุได้ว่าที่อุณหภูมิ 1300 องศาเซลเซียสเพสที่ได้ค่อนข้างจะหลอมรวมกันซึ่งเป็นการคาดการณ์ว่าอุณหภูมิที่สูงขึ้นนี้ส่งผลให้เพสที่ได้เริ่มจะมีการเปลี่ยนโครงสร้าง และพบว่าโครงสร้างที่ได้มีความบริสุทธิ์ทุกช่วงอุณหภูมิการเผาซินเตอร์และไม่มีเพสแปลกปลอมหลงเหลืออยู่ โดยมีโครงสร้างเป็นเพอร์อฟส์ไกท์แบบรอมบิเอ็ครัล ซึ่งสอดคล้องกับฐานข้อมูล JCPDS หมายเลข 50-0298 ดังภาพ 65



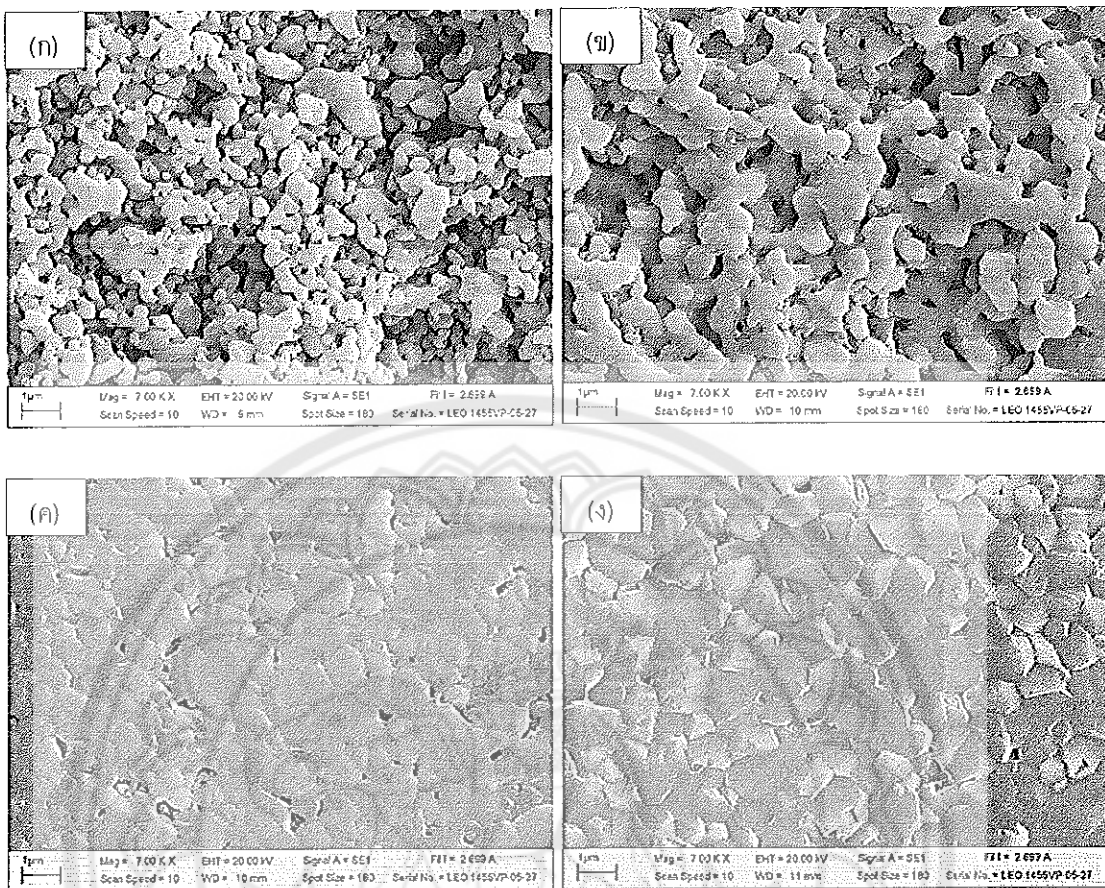
ภาพ 65 แสดงรูปแบบการเลี้ยวเบนของรังสีเอกซ์ของเซรามิกแลนทานัมแมงกานีส ออกไซด์ร่วมกับสารเชือเพลิงไกลซินที่อุณหภูมิในการซินเตอร์ 1200-1300 องศาเซลเซียส เป็นเวลา 4 ชั่วโมง

### 3.2 ผลการวิเคราะห์ด้วยกล้องจุลทรรศน์อิเล็กตรอนแบบส่องกราด (Scanning Electron Microscopy: SEM)

ผลการศึกษาโครงสร้างจุลภาคด้วยกล้องจุลทรรศน์อิเล็กตรอนแบบส่องกราด ของเซรามิกแlenทานัมแมงกานีสออกไซด์ ที่มีการเตรียมผงพลีกแlenทานัมแมงกานีสออกไซด์ ร่วมกับสารเชื้อเพลิงไกลซีนในอัตราส่วน 1:0.3 โดยไมล เผาชินเตอร์ที่อุณหภูมิ 1000-1300 องศาเซลเซียส เป็นเวลา 4 ชั่วโมง ตั้งภาพ 66 พบว่าลักษณะของเกรนมีรูปร่างค่อนข้างเป็นทรงกลมซึ่งมีขนาดใหญ่เล็กปะปนกัน และมีการจัดเรียงตัวกันอย่างไม่สม่ำเสมอ นอกจากนี้ยังสังเกตได้ว่ามีรูพูนเกิดขึ้นจำนวนมาก แต่มีอุณหภูมิในการเผาชินเตอร์เพิ่มขึ้นขนาดของเกรนจะโตขึ้นเรื่อยๆ แสดงดังภาพ 66(ก-ช) โดยมีขนาดเกรนเฉลี่ยประมาณ 0.56 และ 0.71 ไมโครเมตร ตามลำดับ เกรนที่มีขนาดเล็กหลอมรวมกันตามอุณหภูมิชินเตอร์ที่สูงขึ้นแต่จะเห็นว่าขนาดเกรนโตขึ้นที่ อุณหภูมิ 1200 องศาเซลเซียส ดังภาพ 66(ค) ซึ่งมีขนาดเกรนเฉลี่ยประมาณ 0.95 ไมโครเมตร และ ขนาดเกรนมีขนาดใหญ่อย่างชัดเจนมีลักษณะเป็นทรงเหลี่ยม (23) ที่อุณหภูมิ 1300 องศาเซลเซียส ดังภาพ 66(ง) โดยมีขนาดเกรนเฉลี่ยประมาณ 1.30 ไมโครเมตร ซึ่งสามารถอนุമานได้ว่าเกรนที่มีขนาดใหญ่มาจากการหลอมรวมกันของอนุภาคเกรนขนาดเล็กของผงโซล-เจล ที่ทำปฏิกิริยากับผงของเชื้อเพลิงซึ่งทำให้เกรนมีขนาดเล็กใหญ่แตกต่างกันได้อย่างชัดเจน

### 3.3 ผลการคำนวณหาค่าความหนาแน่นและร้อยละการหดตัว

ผลของค่าความหนาแน่นและร้อยละความหดตัวของเซรามิกแlenทานัมแมงกานีส ออกไซด์ร่วมกับสารเชื้อเพลิงไกลซีนในอัตราส่วน 1:0.3 โดยไมล เผาชินเตอร์ที่อุณหภูมิ 1000-1300 องศาเซลเซียส พบว่าเมื่ออุณหภูมิการเผาชินเตอร์สูงขึ้นร้อยละการหดตัวจะมีค่าเพิ่มขึ้น โดยจะมีค่าการหดตัวอยู่ในช่วงร้อยละประมาณ 0.56-17.20 ส่วนค่าความหนาแน่นภายในของเซรามิกนั้น เมื่ออุณหภูมิการเผาชินเตอร์สูงขึ้นพบว่าเซรามิกมีค่าความหนาแน่นสูงขึ้น เนื่องจากเกิดการหลอมรวมกันของเกรน ทำให้เกรนมีขนาดใหญ่ขึ้นและซึ่งว่าจะหัวงเกรนแคบลงจึงส่งผลให้รูพูนลดน้อยลง โดยความหนาแน่นของเซรามิกแlenทานัมแมงกานีสออกไซด์มีค่าประมาณ 3.30-4.88 กรัมต่อซูกบาศก์เซนติเมตร หรือคิดเป็นร้อยละ 58.09-85.88 ของความหนาแน่นทางทฤษฎี และค่าร้อยละความพุ่นลดลงเมื่ออุณหภูมิชินเตอร์สูงขึ้นดังตาราง 7

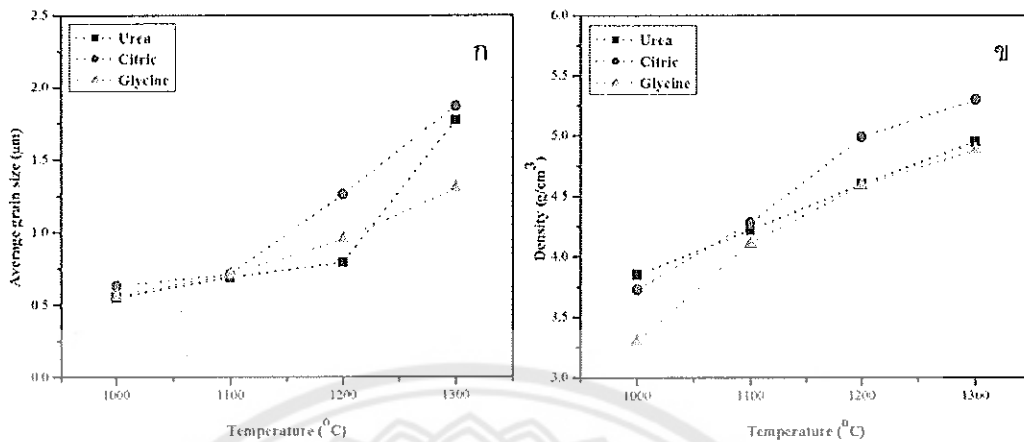


ภาพ 66 ภาพถ่ายด้วยกล้องจุลทรรศน์อิเล็กตรอนแบบส่องการดูของเซรามิกленทานัม  
แมงกานีสออกไซด์ร่วมกับสารเชื่อเพลิงไกลซิน เพาชินเตอร์ที่อุณหภูมิ (ก) 1000  
องศาเซลเซียส (ข) 1100 องศาเซลเซียส (ค) 1200 องศาเซลเซียส และ (ง) 1300  
องศาเซลเซียส เป็นเวลา 4 ชั่วโมง

ตาราง 7 แสดงขนาดเกรนเคลือบ ค่าร้อยละการหดตัว ค่าความหนาแน่นของเซรามิก  
และทานัมแมงกานีสออกไซด์ร่วมกับสารเชือเพลิงไกลซีนที่อุณหภูมิ  
1000-1300 องศาเซลเซียส เป็นเวลา 4 ชั่วโมง

เซรามิก	อุณหภูมิ ชินเตอร์ (°C)	ขนาด เกรนเคลือบ ( $\mu\text{m}$ )	ร้อยละ การหดตัว (%)	ความหนาแน่น		ความ พุ่น (%)
				การทดสอบ ( $\text{g}/\text{cm}^3$ )	สัมพัทธ์ทฤษฎี (%)	
LMOG	1000	0.56	0.56	3.30	58.09	54.76
	1100	0.71	3.35	4.11	72.28	41.18
	1200	0.95	10.84	4.59	80.74	33.33
	1300	1.30	17.20	4.88	85.88	35.71

จากการวิเคราะห์เกรนเคลือบและความหนาแน่นของเซรามิกและทานัมแมงกานีสออกไซด์ร่วมกับสารเชือเพลิงยูเรีย กรดซิตริก และไกลซีน เผาชินเตอร์ที่อุณหภูมิ 1000-1300 องศาเซลเซียส เป็นเวลา 4 ชั่วโมง พบร่วมกับอุณหภูมิในการชินเตอร์สูงขึ้นขนาดเกรนเคลือบสูงขึ้น และ ค่าความหนาแน่นสูงขึ้น ซึ่งขนาดเกรนนั้นยังส่งผลต่อค่าความหนาแน่นเมื่อขนาดเกรนเคลือบเพิ่มขึ้นส่งผลให้ค่าความหนาแน่นของเซรามิกนั้นเพิ่มขึ้นดังภาพ 67



ภาพ 67 กราฟแสดง (ก) ขนาดกรานเฟลี่ย์ (ข) ความหนาแน่น ของเซรามิกแลนทานัมเมงกานีสออกอกไซด์ร่วมกับสารเชื้อเพลิงยูเรีย กรดซิตริก และไกลชีน ที่อุณหภูมิ 1000-1300 องศาเซลเซียส

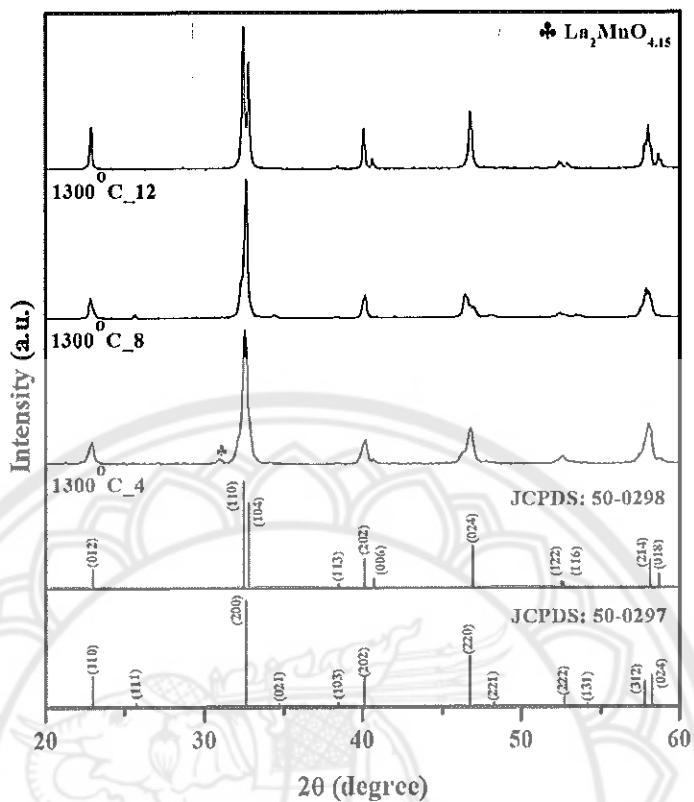
จากการสังเคราะห์เซรามิกแลนทานัมเมงกานีสออกอกไซด์ที่เตรียมโดยวิธีการปฏิกิริยาการเผาไหม้โซล-เจล ร่วมกับสารเชื้อเพลิงยูเรีย กรดซิตริก และไกลชีน ในอัตราส่วน 1:0.3 โดยโมลเพาเซินเตอร์ที่อุณหภูมิ 1000-1300 องศาเซลเซียส เป็นเวลา 4 ชั่วโมง พบร้าตัวอย่างที่สังเคราะห์ได้นั้นไม่สามารถเตรียมมาศึกษาสมบัติทางไฟฟ้าและวงรอบอีสเทอเรตได้ เนื่องจากตัวอย่างมีลักษณะที่ค่อนข้างดูดซับสารละลายจึงทำให้ไม่สามารถทำข้าวเพื่อไปทดสอบได้ ซึ่งมีการคาดการณ์ว่าอาจเกิดจากความพูนของเนื้อเซรามิก โดยมีปัจจัยอยู่ 2 อายุ คือ อุณหภูมิในการซินเตอร์ และ เวลาในการเผา เช่น ไม่เพียงพอ ดังนั้นผู้วิจัยจึงพิจารณาปรับปรุงกระบวนการโดยการเลือกเพิ่มระยะเวลาในการเผา เช่นโดยเลือกอุณหภูมิโซลเตอร์ 1300 องศาเซลเซียส มาศึกษาต่อโดยเพิ่มระยะเวลาเป็น 8 และ 12 ชั่วโมง ดังต่อไปนี้

ผลการตรวจสอบลักษณะเฉพาะของเซรามิกแ Len ทานัมแมงกานีสออกไซด์ร่วมกับสารเชื้อเพลิงกรดยูเรีย กรดซิตริก และไกลชีน ที่อุณหภูมิ 1300 องศาเซลเซียส ระยะเวลาเผาแค่ 4 8 และ 12 ชั่วโมง

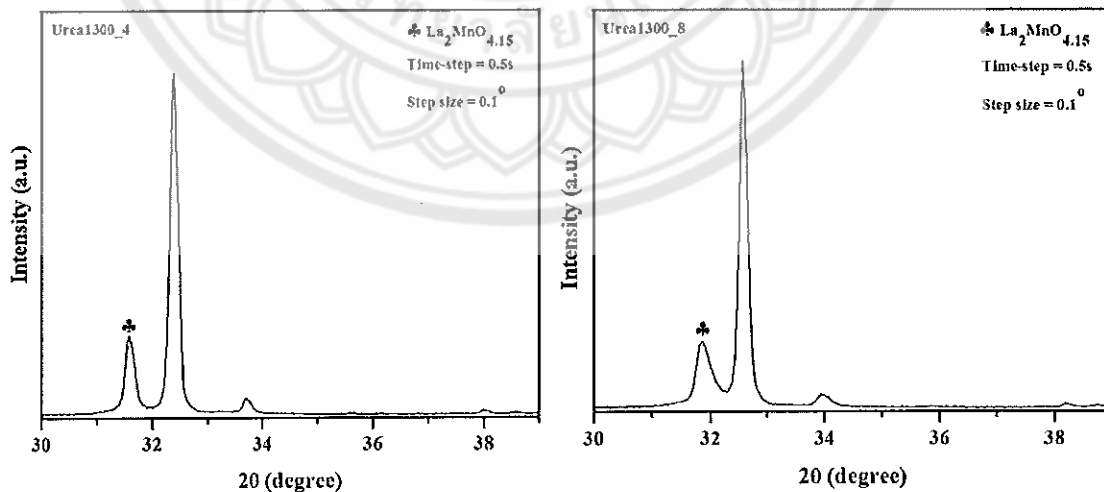
1. ผลการตรวจสอบลักษณะเฉพาะของเซรามิกแ Len ทานัมแมงกานีสออกไซด์ร่วมกับสารเชื้อเพลิงยูเรีย (LMOU) ที่อุณหภูมิ 1300 องศาเซลเซียส

1.1 ผลการวิเคราะห์โครงสร้างเซรามิกด้วยเทคนิคการเลี้ยวเบนของรังสีเอกซ์ (X-ray diffractometer: XRD)

ผลการวิเคราะห์ด้วยเทคนิคการเลี้ยวเบนของรังสีเอกซ์ของเซรามิกแ Len ทานัมแมงกานีสออกไซด์ ที่มีการเติมผงอลิกแ Len ทานัมแมงกานีสออกไซด์ร่วมกับสารเชื้อเพลิงยูเรียในอัตราส่วน 1:0.3 โดยโนล เผาชิ้นเตอร์ที่อุณหภูมิ 1300 องศาเซลเซียส เป็นเวลา 4 8 และ 12 ชั่วโมง สังเกตุได้ว่าที่อุณหภูมิ 1300 องศาเซลเซียส ที่  $2\theta = 30.740$  เกิดเฟสแบลกปломของ  $\text{La}_2\text{MnO}_{4.16}$  (JCPDS หมายเลข 40-0002) นอกจากนี้พบว่าเฟสเริ่มเปลี่ยนเป็นออร์โธรอมบิกที่ระยะเวลาเผาแค่ 4 ชั่วโมง โดยได้รับการยืนยันจากการพิจารณาที่  $2\theta = 32.612$  เปลี่ยน Size step ให้เล็กลงจากปกติใช้ Size step =  $0.2^\circ$  มาเป็น  $0.1^\circ$  พนท.ไม่มีการซ้อนทับกันของพีคซึ่งพีคที่เกิดขึ้นนั้นตรงกับฐานข้อมูล JCPDS หมายเลข 50-0297 ดังภาพ 69 และเมื่อระยะเวลาในการเผาแค่เป็น 8 ชั่วโมง เฟสเกิดการเปลี่ยนโครงสร้างเป็นเพอรอฟสไกต์แบบออร์โธรอมบิกดังภาพ 69 ที่มีความบริสุทธิ์ซึ่งลดคล่องกับฐานข้อมูล JCPDS หมายเลข 50-0297 แต่อย่างไรก็ตามเนื่อระยะเวลาในการเผาแค่เพิ่มมากขึ้นเฟสเกิดการเปลี่ยนแปลงอีกครั้งที่ระยะเวลาในการเผาแค่ 12 ชั่วโมง เป็นโครงสร้างเพอรอฟสไกต์แบบรวมใบฮีดวัลที่มีความบริสุทธิ์ซึ่งลดคล่องกับฐานข้อมูล JCPDS หมายเลข 50-0298 แสดงดังภาพ 68



ภาพ 68 แสดงรูปแบบการเลี้ยวเบนของรังสีเอกซ์ของเซรามิกแลนثانัมเมงกานีสออกอิชีด์ร่วมกับสารเชื้อเพลิงยูเรียที่อุณหภูมิในการซินเตอร์ 1300 องศาเซลเซียส เป็นเวลา 4 8 และ 12 ชั่วโมง



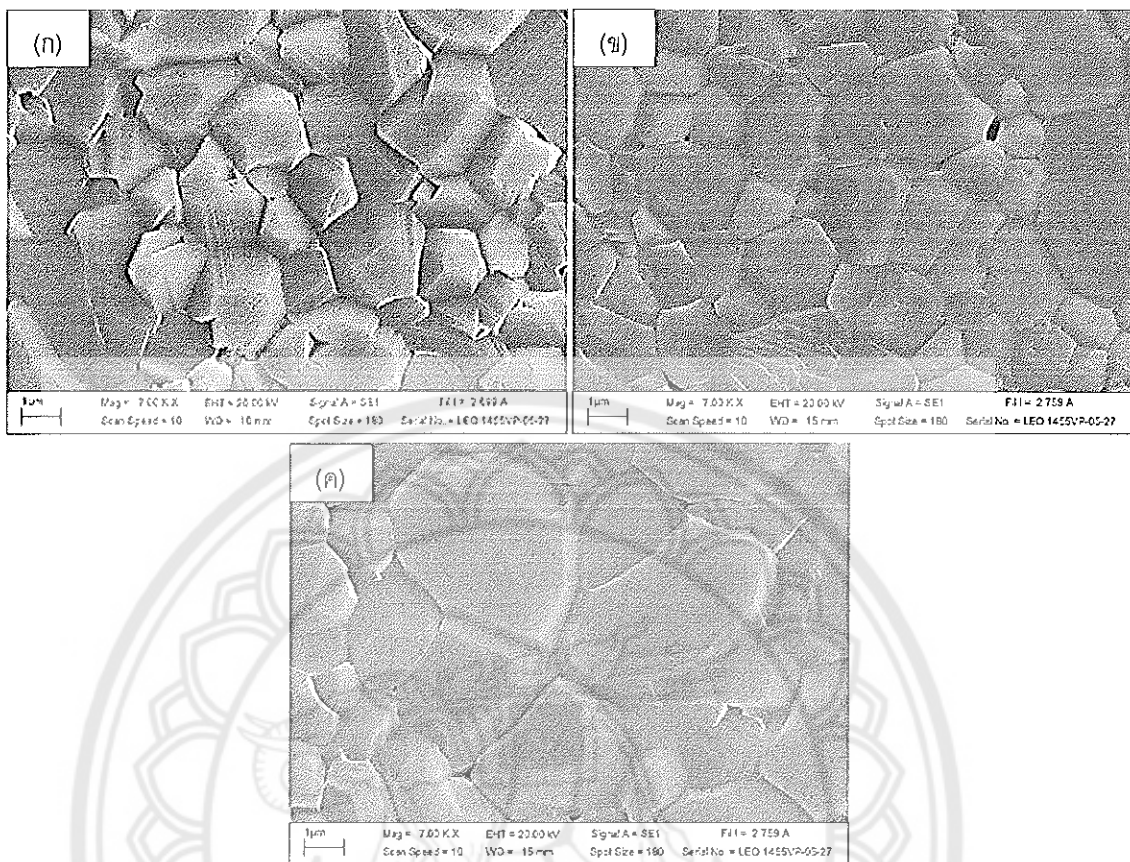
ภาพ 69 แสดงรูปแบบการเลี้ยวเบนของรังสีเอกซ์ของเซรามิกแลนثانัมเมงกานีสออกอิชีด์ร่วมกับสารเชื้อเพลิงยูเรียที่อุณหภูมิในการซินเตอร์ 1300 องศาเซลเซียส เป็นเวลา 4 และ 8 ชั่วโมง

## 1.2 ผลการวิเคราะห์ด้วยกล้องจุลทรรศน์อิเล็กทรอนแบบส่องกราด (Scanning Electron Microscopy: SEM)

ผลการศึกษาโครงสร้างจุลภาคด้วยกล้องจุลทรรศน์อิเล็กทรอนแบบส่องกราด ของเซรามิกแคนทานมแมงกานีสออกไซด์ ที่มีการเตรียมผงผลึกแคนทานมแมงกานีสออกไซด์ร่วมกับสารเชื้อเพลิงญี่ปุ่นในอัตราส่วน 1:0.3 โดยโมล เพาซินเตอร์ที่อุณหภูมิ 1300 องศาเซลเซียส เป็นเวลา 4 ชั่วโมง ตามลำดับดังภาพ 70 พบว่า ลักษณะของเกรนมีรูปร่างค่อนข้างเป็นทรงเหลี่ยมที่ใหญ่และมีการจัดเรียงตัวกันอย่างไม่สม่ำเสมอ (23) เมื่อเวลาในการเผาแฟเพิ่มมากขึ้นขนาดของเกรนจะโตขึ้นเรื่อยๆ แสดงดังภาพ 70(ก-ข) โดยมีขนาดเกรนเฉลี่ยประมาณ 1.77 และ 2.13 ไมโครเมตร และขนาดเกรนมีขนาดใหญ่ขึ้นชัดเจนที่เวลาในการเผาแฟ 12 ชั่วโมง ดังภาพ 70(ค) โดยมีขนาดเกรนเฉลี่ยประมาณ 2.83 ไมโครเมตร

## 1.3 ผลการคำนวณหาค่าความหนาแน่นและร้อยละการหดตัว

ผลของค่าความหนาแน่นและร้อยละความหดตัวของเซรามิกแคนทานมแมงกานีสออกไซด์ร่วมกับสารเชื้อเพลิงญี่ปุ่นในอัตราส่วน 1:0.3 โดยโมล เพาซินเตอร์ที่อุณหภูมิ 1300 องศาเซลเซียส เป็นเวลา 4 ชั่วโมง พบร่วมกับเมื่อเวลาในการเผาแฟเพิ่งสูงขึ้นร้อยละความหดตัวจะมีเพิ่มขึ้นจากเดิมเพียงเล็กน้อย โดยจะมีค่าการหดตัวอยู่ในช่วงร้อยละประมาณ 18.28-18.71 ส่วนค่าความหนาแน่นภาษาในของเซรามิกนั้นมีเวลาในการเผาแฟเพิ่งสูงขึ้นพบว่าเซรามิก มีค่าความหนาแน่นสูงขึ้น เนื่องจากเกิดการหลอมรวมกันของเกรน ทำให้เกรนมีขนาดใหญ่ขึ้น และซึ่งว่าระหว่างเกรนแคบลงจึงส่งผลให้รูปฐานลดน้อยลง โดยความแน่นของเซรามิกแคนทานมแมงกานีสออกไซด์มีค่าประมาณ 4.95-5.25 grammต่อสูตรบาศก์เซนติเมตร หรือคิดเป็นประมาณร้อยละ 87.16-97.22 ของความหนาแน่นทางทฤษฎีและค่าร้อยละความพุนลดลงเมื่ออุณหภูมิซึ่งเตอร์สูงขึ้น ดังตาราง 8



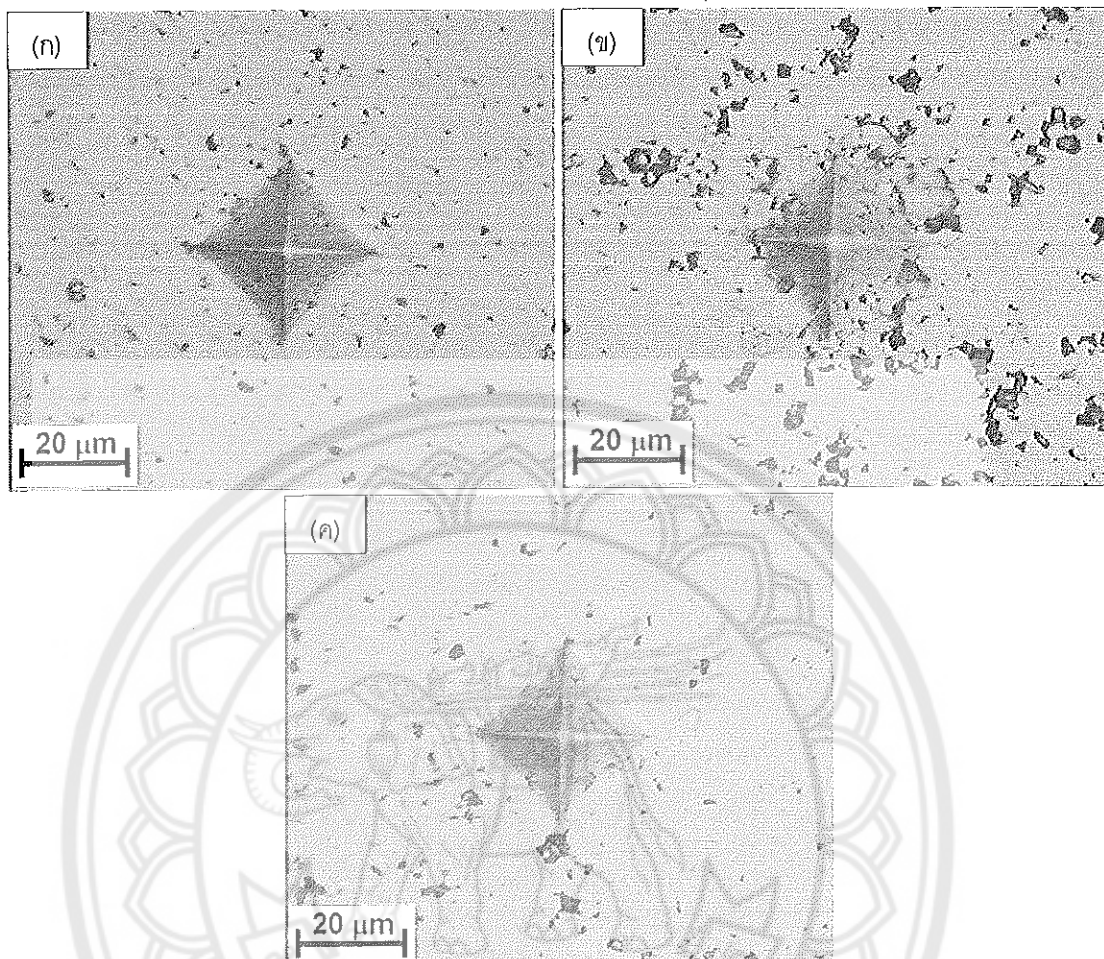
ภาพ 70 ภาพถ่ายด้วยกล้องจุลทรรศน์อิเล็กตรอนแบบส่องการดูของเซรามิกแลนทันัม เมงกานีสออกไซด์ร่วมกับสารเชือเพลิงยูเรีย เผาชินเตอร์ที่อุณหภูมิ 1300 องศาเซลเซียส เป็นเวลา (ก) 4 ชั่วโมง (ข) 8 ชั่วโมง และ (ค) 12 ชั่วโมง

ตาราง 8 แสดงขนาดเกรนเฉลี่ย ค่าร้อยละการหดตัว ค่าความหนาแน่นของเซรามิก  
และทานัมเมงกานีสออกไช์ด์ร่วมกับสารเชื้อเพลิงยูเรียที่อุณหภูมิ  
1300 องศาเซลเซียส เป็นเวลา 4 8 และ 12 ชั่วโมง

เซรามิก	ระยะเวลา	ขนาด	ร้อยละ	ความหนาแน่น		ความ พูน
	การเผา	เกรนเฉลี่ย	การหดตัว	การทดลอง	สัมพัทธ์ทฤษฎี	
	(ช.m.)	(μm)	(%)	(g/cm <sup>3</sup> )	(%)	
LMOU	4	1.77	18.28	4.95	87.16	24.14
	8	2.13	18.55	5.17	90.96	17.50
	12	2.83	18.71	5.25	97.22	11.54

1.4 ผลการตรวจสอบสมบัติเชิงกลของเซรามิกและทานัมเมงกานีสออกไช์ด์  
ร่วมกับสารเชื้อเพลิงยูเรีย

ผลการศึกษาสมบัติเชิงกลของเซรามิกและทานัมเมงกานีสออกไช์ด์ร่วมกับสาร  
เชื้อเพลิงยูเรีย ในอัตราส่วน 1:0.3 โดยมิล เผาขึ้นเตอร์ที่อุณหภูมิ 1300 องศาเซลเซียส เป็นเวลา  
4 8 และ 12 ชั่วโมง โดยการนำเซรามิกที่ผ่านการขัดเจ้ามาตรวจสอบค่าความแข็งระดับจุดภาคแบบ  
วิกเกอร์ ซึ่งใช้การกดที่โหลดขนาด 500 กรัม เป็นเวลา 15 วินาที พบร่วมกับอุณหภูมิในการเผา เช้  
เพิ่มขึ้น ค่าความแข็งของเซรามิกเพิ่มขึ้นซึ่งสอดคล้องกับค่าความหนาแน่นของเซรามิกที่เพิ่มขึ้น  
ดังภาพ 71 แต่จะเห็นได้ว่าขนาดของรอยกดค่อนข้างไม่ต่างกันมาก โดยเซรามิกที่ผ่านการเผา เช้  
เพิ่มขึ้น ร้อยกตมีขนาดใหญ่สุด ดังภาพ 71(ก) และเซรามิกที่ผ่านกระบวนการเผา เช้เป็น 8 และ 12  
ชั่วโมง มีรอยกดขนาดเล็กลงตามลำดับ ดังภาพ 71(ข-ค) โดยมีค่าความแข็งระดับจุดภาคเฉลี่ย  
ประมาณ 6.64 7.68 และ 7.94 จิกราสคลาดตาราง 9



ภาพ 71 ภาพถ่ายด้วยกล้องจุลทรรศน์แสงกำลังขยาย 400 เท่าของรอยกดแบบวิกเกอร์  
ของเซรามิกแลนทานัมแมงกานีสออกไซด์ร่วมกับสารเชื่อมเพลิงญี่ริเอกซิน  
เตอร์ที่อุณหภูมิ 1300 องศาเซลเซียส เป็นเวลา (ก) 4 ชั่วโมง (ข) 8 ชั่วโมง  
และ (ค) 12 ชั่วโมง

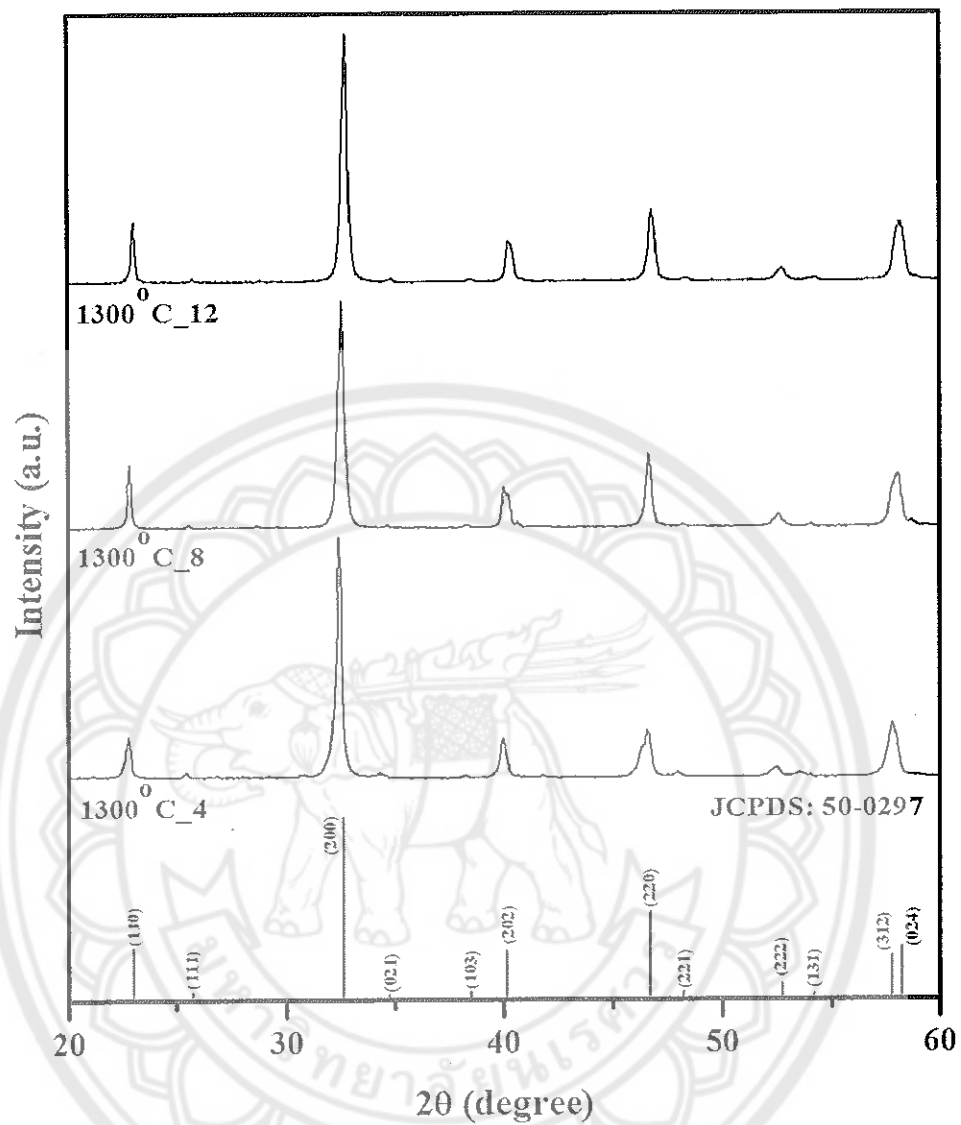
ตาราง 9 แสดงค่าความแข็งระดับจุลภาคแบบวิกเกอร์ของเซรามิกแlenทานัมเมงกานีส ออกไซด์ร่วมกับสารเชือเพลิงญี่เรียวที่อุณหภูมิ 1300 องศาเซลเซียส เป็นเวลา 4 8 และ 12 ชั่วโมง

เวลาในการเผาต่อ (ชั่วโมง)	ค่าความแข็ง (GPa)
4	6.64±0.28
8	7.68±0.36
12	7.94±0.57

2. ผลการตรวจสอบลักษณะเฉพาะของเซรามิกแlenทานัมเมงกานีสออกไซด์ร่วมกับสารเชือเพลิงกรดซิตริก (LMOCA) ที่อุณหภูมิ 1300 องศาเซลเซียส

2.1 ผลการวิเคราะห์โครงสร้างเซรามิกด้วยเทคนิคการเลี้ยวเบนของรังสีเอกซ์ (X-ray diffractometer: XRD)

ผลการวิเคราะห์ด้วยเทคนิคการเลี้ยวเบนของรังสีเอกซ์ของเซรามิกแlenทานัมเมงกานีสออกไซด์ ที่มีการเตรียมแผ่นลีกแlenทานัมเมงกานีสออกไซด์ร่วมกับสารเชือเพลิงซิตริกในอัตราส่วน 1:0.3 โดยไมล แพชินเตอร์ที่อุณหภูมิ 1300 องศาเซลเซียส เป็นเวลา 4 8 และ 12 ชั่วโมง สังเกตุได้ว่าที่อุณหภูมิ 1300 องศาเซลเซียส ที่เวลาเผาต่อ 4 ชั่วโมง เพสเกิดการเปลี่ยนโครงสร้างจากรวมใบสีดรัลเป็นเฟสเพอรอฟสต์แบบออร์โวรมบิคที่มีความบริสุทธิ์ เมื่อเพิ่มระยะเวลาในการเผาต่อเป็น 8 และ 12 ชั่วโมง โครงสร้างที่ได้ยังคงเป็นโครงสร้างเพอรอฟสไกต์แบบออร์โวรมบิค ซึ่งสอดคล้องกับฐานข้อมูล JCPDS หมายเลข 50-0297 แสดงดังภาพ 72



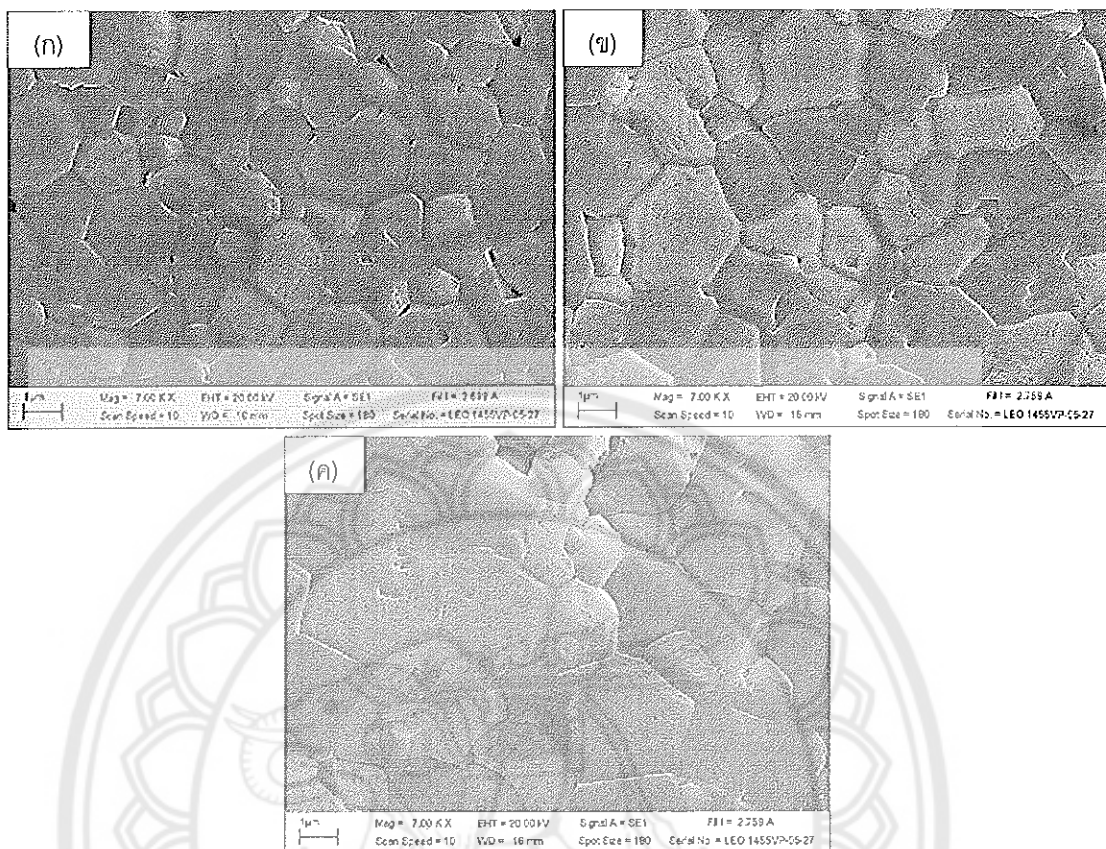
ภาพ 72 รูปแบบการเรียงเวบนของรังสีเอกซ์ของเซรามิกแลนทานัมแมงกานีสออกไซด์ร่วมกับสารเชือเพลิงชิตริกที่อุณหภูมิในการชินเตอร์ 1300 องศาเซลเซียสเป็นเวลา 4 8 และ 12 ชั่วโมง

## 2.2 ผลการวิเคราะห์ด้วยกล้องจุลทรรศน์อิเล็กตรอนแบบส่องกราด (Scanning Electron Microscopy: SEM)

ผลการศึกษาโครงสร้างจุลภาคด้วยกล้องจุลทรรศน์อิเล็กตรอนแบบส่องกราด ของเซรามิกแอลเทอร์เนชันแมงกานีสออกไซด์ ที่มีการเตรียมผงผลึกแอลเทอร์เนชันแมงกานีสออกไซด์ ร่วมกับสารเชือเพลิงซิติตริกในอัตราส่วน 1:0.3 โดยไมล เผาชินเตอร์ที่อุณหภูมิ 1300 องศาเซลเซียส เป็นเวลา 4 8 และ 12 ชั่วโมง ตามลำดับ ดังภาพ 73 พบว่าลักษณะของเกรนมีรูปร่างค่อนข้างเป็น ทรงเหลี่ยมที่ใหญ่และมีการจัดเรียงตัวกันอย่างไม่สม่ำเสมอ (23) เมื่อเวลาในการเผาเพิ่มมาก ขึ้นขนาดของเกรนจะตื้นเรื่อยๆ แสดงดังภาพ 73(ก-ช) โดยมีขนาดเกรนเฉลี่ยประมาณ 1.84 และ 2.39 ไมโครเมตร และขนาดเกรนมีขนาดใหญ่อย่างชัดเจนที่ระยะเวลาในการเผาเพิ่ม 12 ชั่วโมง ดังภาพ 73(ค) โดยมีขนาดเกรนเฉลี่ยประมาณ 2.79 ไมโครเมตร

## 2.3 ผลการคำนวณหาค่าความหนาแน่นและร้อยละการหดตัว

ผลของค่าความหนาแน่นและร้อยละความหดตัวของเซรามิกแอลเทอร์เนชันออกไซด์ร่วมกับสารเชือเพลิงซิติตริกในอัตราส่วน 1:0.3 โดยไมล เผาชินเตอร์ที่อุณหภูมิ 1300 องศาเซลเซียส เป็นเวลา 4 8 และ 12 ชั่วโมง พบว่าเมื่อเวลาในการเผาเพิ่งสูงขึ้นร้อยละการหดตัวจะ มีค่าเพิ่มขึ้นจากเดิมเพียงเล็กน้อย โดยจะมีค่าการหดตัวอยู่ในช่วงร้อยละประมาณ 24.24-24.51 ส่วนค่าความหนาแน่นภายในของเซรามิกนั้นเมื่อเวลาในการเผาเพิ่มสูงขึ้นพบว่าเซรามิกมีค่า ความหนาแน่นสูงขึ้น เนื่องจากเกิดการหลอมรวมกันของเกรน ทำให้เกรนมีขนาดใหญ่ขึ้นและ ซ่องว่างระหว่างเกรนแคบลงจึงส่งผลให้ภูมูลดันออกลง โดยความแน่นของเซรามิกแอลเทอร์เนชันแมงกานีสออกไซด์มีค่าประมาณ 5.30-5.61 กรัมต่อสูตราก้าวเซนติเมตร หรือคิดเป็นประมาณ ร้อยละ 93.38-98.73 ของความหนาแน่นทางทฤษฎีและค่าร้อยละความพุ่นลดลงเมื่ออุณหภูมิ ชินเตอร์สูงขึ้นดังตาราง 10



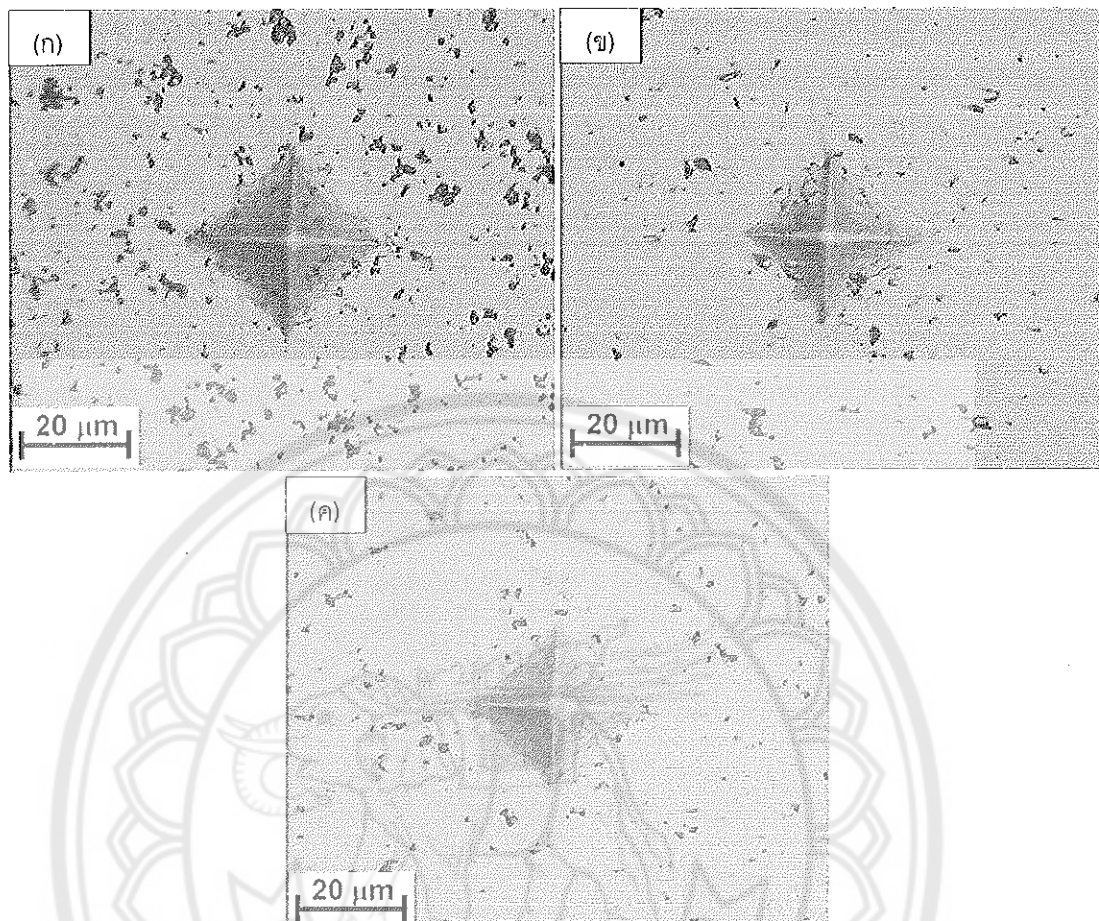
ภาพ 73 ภาพถ่ายด้วยกล้องจุลทรรศน์อิเล็กตรอนแบบส่องการดูของเซรามิกเคลือบหัวนม  
แมงกานีสออกไซด์ร่วมกับสารเชือเพลิงซิตริก เผาชินเตอร์ที่อุณหภูมิ 1300  
องศาเซลเซียส เป็นเวลา (ก) 4 ชั่วโมง (ข) 8 ชั่วโมง และ (ค) 12 ชั่วโมง

ตาราง 10 แสดงขนาดเกรนเฉลี่ย ค่าร้อยละการหดตัว ค่าความหนาแน่นของเซรามิก  
และหนานัมเมงกานีสอออกไซด์ร่วมกับสารเชือเพลิงซิติตริกที่อุณหภูมิ  
1300 องศาเซลเซียส เป็นเวลา 4 8 และ 12 ชั่วโมง

เซรามิก	ระยะเวลา	ขนาด เกรนเฉลี่ย ( $\mu\text{m}$ )	ร้อยละ การหดตัว (%)	ความหนาแน่น		ความ พุ่น (%)
				การทดสอบ	สัมพัทธ์ทฤษฎี	
				( $\text{g}/\text{cm}^3$ )	(%)	
LMOCA	4	1.87	24.24	5.30	93.38	20.00
	8	2.39	24.40	5.53	97.27	16.67
	12	2.79	24.51	5.61	98.73	12.50

#### 2.4 ผลการตรวจสอบสมบัติเชิงกลของเซรามิกและหนานัมเมงกานีสอออกไซด์ ร่วมกับสารเชือเพลิงซิติตริก

ผลการศึกษาสมบัติเชิงกลของเซรามิกและหนานัมเมงกานีสอออกไซด์ร่วมกับสาร  
เชือเพลิงซิติตริก ในอัตราส่วน 1:0.3 โดยไม่ลด เผาชิ้นเตอร์ที่อุณหภูมิ 1300 องศาเซลเซียส เป็นเวลา  
4 8 และ 12 ชั่วโมง โดยการนำเซรามิกที่ผ่านการขัดเจ้ามาตรวจสอบค่าความแข็งระดับฉลากแบบ  
วิกเกอร์ ซึ่งใช้การกดที่โหลดขนาด 500 กรัม เป็นเวลา 15 วินาที พบร่วมกับอุณหภูมิในการเผา เช้  
เพิ่มขึ้น ค่าความแข็งของเซรามิกเพิ่มขึ้นซึ่งสอดคล้องกับค่าความหนาแน่นของเซรามิกที่เพิ่มขึ้น  
ดังภาพ 74 โดยเซรามิกที่ระยะในการเผา เช้ 4 ชั่วโมง ร้อยกเด้มีขนาดใหญ่สุด ดังภาพ 74(ก)  
และเซรามิกที่ระยะการเผา เช้เป็น 8 และ 12 ชั่วโมง มีร้อยกเด้มีขนาดเล็กลงตามลำดับ ดังภาพ  
74(ข-ค) โดยมีค่าความแข็งระดับฉลากเฉลี่ยประมาณ 6.08 7.43 และ 7.72 จิกะป่าสคาด  
ดังตาราง 11



ภาพ 74 ภาพถ่ายด้วยกล้องจุลทรรศน์แสงกำลังขยาย 400 เท่าของรอยกดแบบวิกเกอร์ ของเซรามิกแลนทานัมแมงกานีสกอไชด์ร่วมกับสารเชื่อมเพลิงชีตريك เม้าซิน เทอร์ฟิล์เมทิก 1300 องศาเซลเซียส เป็นเวลา (ก) 4 ชั่วโมง (ข) 8 ชั่วโมง และ (ค) 12 ชั่วโมง

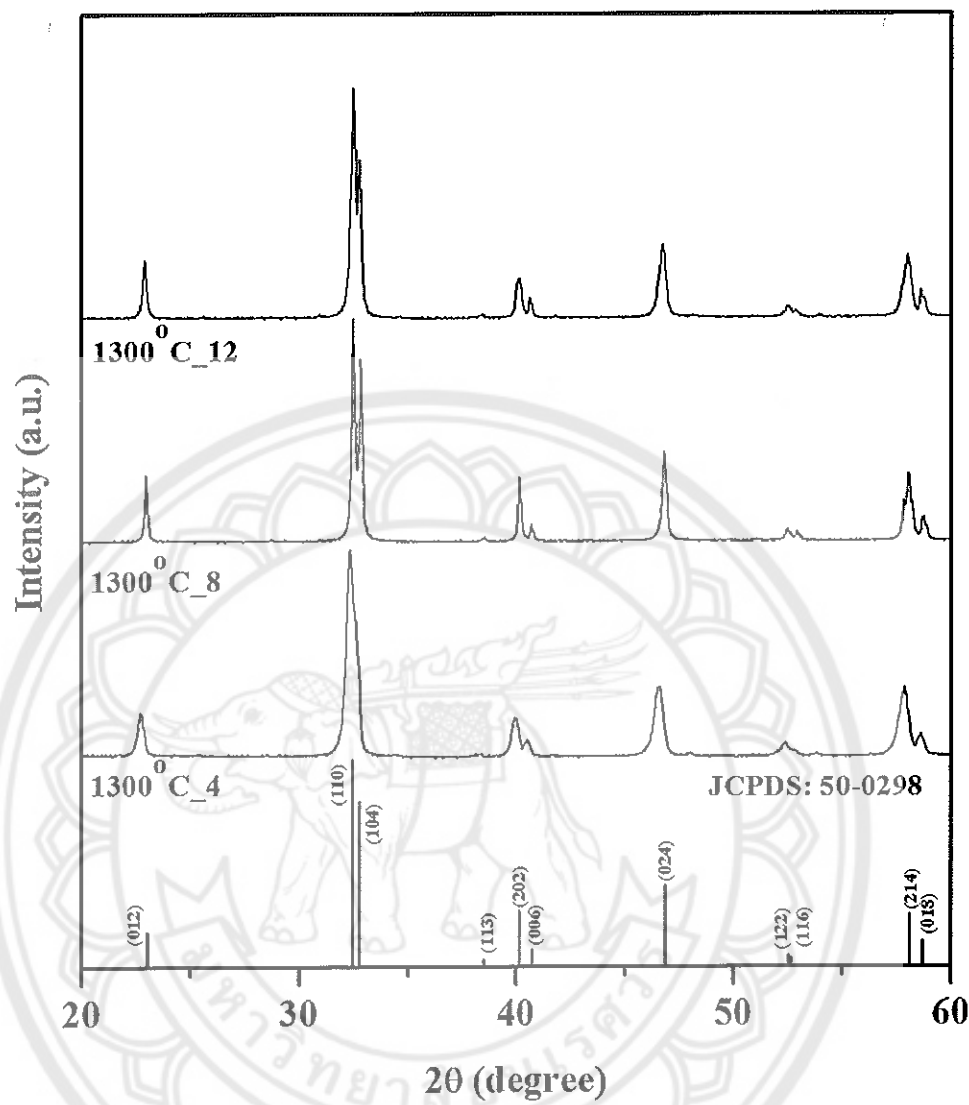
ตาราง 11 แสดงค่าความแข็งระดับจุลภาคแบบวิกเกอร์ของเซรามิกแLENทานัม  
แมงกานีสออกไซด์ร่วมกับสารเชือเพลิงซิตริกที่อุณหภูมิ 1300  
องศาเซลเซียส เป็นเวลา 4 8 และ 12 ชั่วโมง

เวลาในการเผาไหม้ (ชั่วโมง)	ค่าความแข็ง (GPa)
4	6.08±0.39
8	7.43±0.23
12	7.72±0.11

3. ผลการตรวจสอบลักษณะเฉพาะของเซรามิก LENทานัมแมงกานีสออกไซด์ร่วมกับสารเชือเพลิงไกลซีน (LMOG) ที่อุณหภูมิ 1300 องศาเซลเซียส

3.1 ผลการวิเคราะห์โครงสร้างเซรามิกด้วยเทคนิคการเลี้ยวเบนของรังสีเอกซ์ (X-ray diffractometer: XRD)

ผลการวิเคราะห์ด้วยเทคนิคการเลี้ยวเบนของรังสีเอกซ์ของเซรามิก LENทานัมแมงกานีสออกไซด์ ที่มีการเตรียมผงผลึก LENทานัมแมงกานีสออกไซด์ร่วมกับสารเชือเพลิงไกลซีน ในอัตราส่วน 1:0.3 โดยมี โมล เผาขึ้นเตอร์ที่อุณหภูมิ 1300 องศาเซลเซียส เป็นเวลา 4 8 และ 12 ชั่วโมง ผังเกตุได้ว่าที่อุณหภูมิ 1300 องศาเซลเซียส ที่ระยะเวลาในเผาไหม้ 4 ชั่วโมง เพสที่อยู่ใกล้กันนั้นเกือบจะหลอมรวมเป็นเฟสเดียวกันแต่ยังคงเฟสหลักไว้อยู่ และเมื่อเพิ่มระยะเวลาในการเผาไหม้เป็น 8 ชั่วโมง เพสที่เกือบจะหลอมรวมเป็นเฟสเดียวได้แยกเพสเป็นไปตามโครงสร้างเป้าหมายที่มีความบริสุทธิ์ ที่ระยะเวลาในการเผาไหม้ 8 และ 12 ชั่วโมง โดยมีโครงสร้างเป็นเพอร์อฟส์ไกท์แบบร่องใบชีดวัล ซึ่งสอดคล้องกับฐานข้อมูล JCPDS หมายเลข 50-0298 ดังภาพ 75



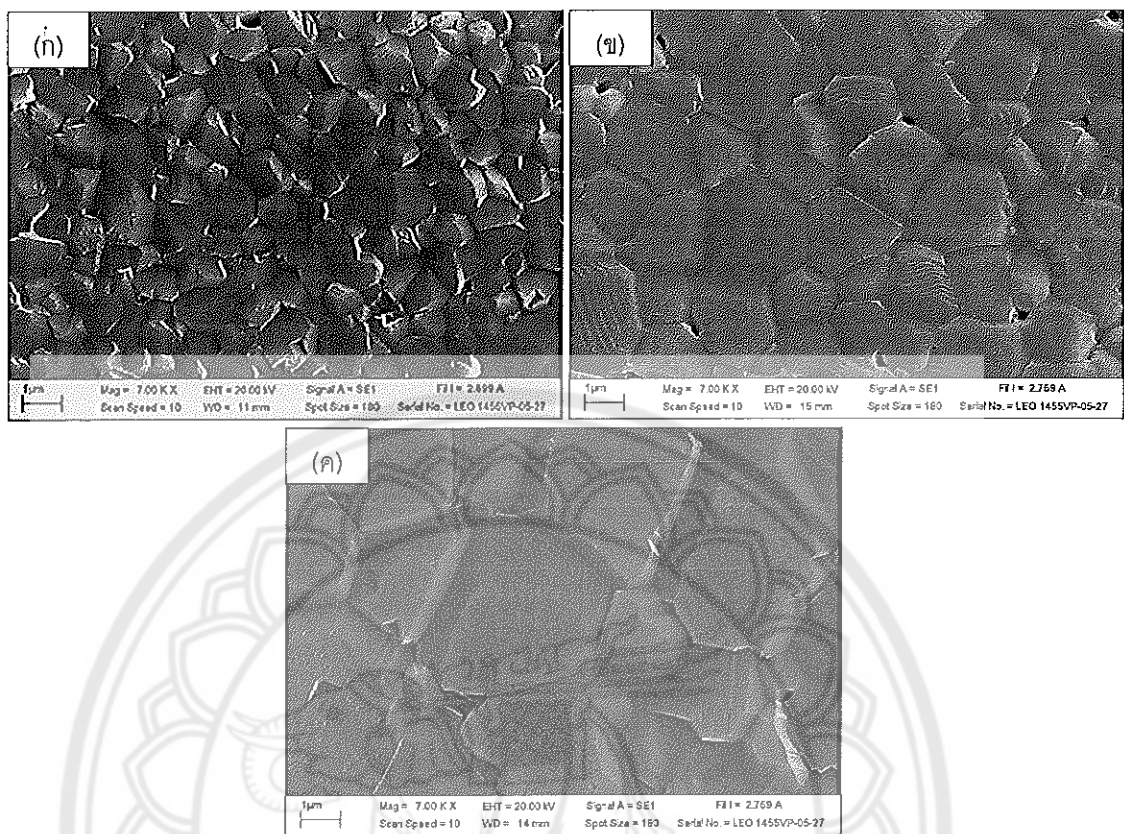
ภาพ 75 แสดงรูปแบบการเลี้ยวเบนของรังสีเอกซ์ของเซรามิกแลนثانัมแมงกานี ออกไซด์ร่วมกับสารเชื้อเพลิงไกลซินที่อุณหภูมิในการเผาต่อ 1300 องศาเซลเซียสเป็นเวลา 4 8 และ 12 ชั่วโมง

### 3.2 ผลการวิเคราะห์ด้วยกล้องจุลทรรศน์อิเล็กตรอนแบบส่องกราด (Scanning Electron Microscopy: SEM)

ผลการศึกษาโครงสร้างจุลภาคด้วยกล้องจุลทรรศน์อิเล็กตรอนแบบส่องกราด ของเซรามิกแlenทานัมแมงกานีสออกไซด์ ที่มีการเตรียมผงผลึกแlenทานัมแมงกานีสออกไซด์ร่วมกับสารเชื้อเพลิงยูเรียในอัตราส่วน 1:0.3 โดยโมล เพาซินเตอร์ที่อุณหภูมิ 1300 องศาเซลเซียส เป็นเวลา 4 8 และ 12 ชั่วโมง ตามลำดับ ดังภาพ 76 พบร่องรอยแตกต่างค่อนข้างเป็นทรงเหลี่ยมที่ใหญ่และมีการจัดเรียงตัวกันอย่างไม่สม่ำเสมอ (23) เมื่อเวลาในการเผาเพิ่มมากขึ้นขนาดของเกรนจะโตขึ้นเรื่อยๆ แสดงดังภาพ 76(ก-ช) โดยมีขนาดเกรนเฉลี่ยประมาณ 1.30 และ 2.30 ไมโครเมตร และขนาดเกรนมีขนาดใหญ่อย่างชัดเจนที่ระยะเวลาในการเผาเพิ่ง 12 ชั่วโมง ดังภาพ 76(ค) โดยมีขนาดเกรนเฉลี่ยประมาณ 3.33 ไมโครเมตร

### 3.3 ผลการคำนวณหาค่าความหนาแน่นและร้อยละการหดตัว

ผลของค่าความหนาแน่นและร้อยละความหดตัวของเซรามิกแlenทานัมแมงกานีสออกไซด์ร่วมกับสารเชื้อเพลิงไกซีนในอัตราส่วน 1:0.3 โดยโมล เพาซินเตอร์ที่อุณหภูมิ 1300 องศาเซลเซียส เป็นเวลา 4 8 และ 12 ชั่วโมง พบร่องรอยที่ใหญ่ขึ้นเมื่อเวลาในการเผาเพิ่มสูงขึ้นร้อยละการหดตัวจะมีค่าเพิ่มขึ้น โดยจะมีค่าการหดตัวอยู่ในช่วงร้อยละประมาณ 17.20-23.75 ส่วนค่าความหนาแน่นภายในของเซรามิกนั้นมีเวลาในการเผาเพิ่มสูงขึ้นพบว่าเซรามิกมีค่าความหนาแน่นสูงขึ้น เนื่องจากเกิดการหลอมรวมกันของเกรน ทำให้เกรนมีขนาดใหญ่ขึ้นและซ่องว่างระหว่างเกรนแคบลงจึงส่งผลให้รูพุนลดน้อยลง โดยความแน่นของเซรามิกแlenทานัมแมงกานีสออกไซด์มีค่าประมาณ 4.88-5.65 กรัมต่อลูกบาศก์เซนติเมตร หรือคิดเป็นประมาณร้อยละ 85.88-99.47 ของความหนาแน่นทางทฤษฎีและค่าร้อยละความพรุนลดลงเมื่ออุณหภูมิซึ่งเตอร์สูงขึ้นดังตาราง 12



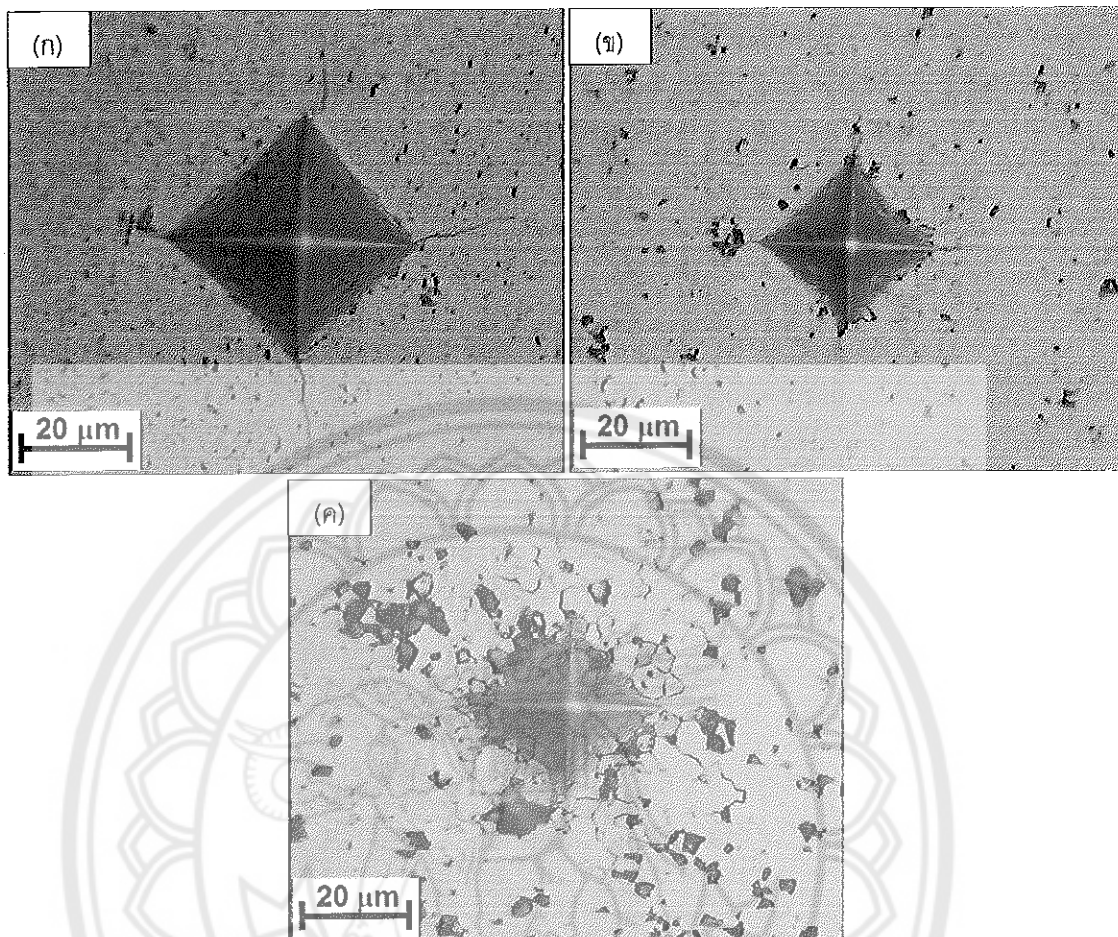
ภาพ 76 ภาพถ่ายด้วยกล้องจุลทรรศน์อิเล็กตรอนแบบส่องกราดของเช้ามิกแ伦ทันม  
แมงกานีสออกไซด์ร่วมกับสารเชือเพลิงไกลซีน เพาชินเทอร์ที่อุณหภูมิ 1300  
องศาเซลเซียส เป็นเวลา (ก) 4 ชั่วโมง (ข) 8 ชั่วโมง และ (ค) 12 ชั่วโมง

ตาราง 12 แสดงขนาดเกรนเฉลี่ย ค่าร้อยละการหดตัว ค่าความหนาแน่นของเซรามิก  
และนา้มแมงกานีสอออกไซด์ร่วมกับสารเชือเพลิงไกลซินที่อุณหภูมิ  
1300 องศาเซลเซียส เป็นเวลา 4 8 และ 12 ชั่วโมง

เซรามิก	ระยะเวลา การเผา (ช.ม.)	ขนาด เกรนเฉลี่ย (μm)	ร้อยละ การหดตัว (%)	ความหนาแน่น		ความ พุ่น (%)
				การทดลอง	สัมพัทธ์กุญแจ	
				(g/cm <sup>3</sup> )	(%)	
LMOCA	4	1.30	17.20	4.88	85.88	35.71
	8	2.30	22.02	5.57	98.00	33.33
	12	3.33	23.75	5.65	99.47	25.00

### 3.4 ผลการตรวจสอบสมบัติเชิงกลของเซรามิกและนา้มแมงกานีสอออกไซด์ ร่วมกับสารเชือเพลิงไกลซิน

ผลการศึกษาสมบัติเชิงกลของเซรามิกและนา้มแมงกานีสอออกไซด์ร่วมกับ  
สารเชือเพลิงไกลซิน ในอัตราส่วน 1:0.3 โดยโนล เผาขึ้นเทอร์ทิอุณหภูมิ 1300 องศาเซลเซียส  
เป็นเวลา 4 8 และ 12 ชั่วโมง โดยการนำเซรามิกที่ผ่านการขัดเงา มาตรวจสอบค่าความแข็งระดับ  
จุดภาคแบบบิวเกอร์ ซึ่งใช้การกดที่โหลดขนาด 500 กรัม เป็นเวลา 15 วินาที พบร่วมเมื่ออุณหภูมิใน  
การเผาเพิ่มขึ้น ค่าความแข็งของเซรามิกเพิ่มขึ้นซึ่งสอดคล้องกับค่าความหนาแน่นของเซรามิกที่  
เพิ่มขึ้น ดังภาพ 77 โดยเซรามิกที่ระยะในการเผาเพิ่ 4 ชั่วโมง รอยกดมีขนาดใหญ่ ดังภาพ 77(g)  
และเซรามิกที่ผ่านระยะเวลาในการเผาเพิ่ 8 และ 12 ชั่วโมง มีรอยกดขนาดเล็กลงตามลำดับ  
ดังภาพ 77(ข-ค) โดยมีค่าความแข็งระดับจุดภาคเฉลี่ยประมาณ 3.82 7.63 และ 7.97 จิกะปาสกาล  
แสดงตาราง 13

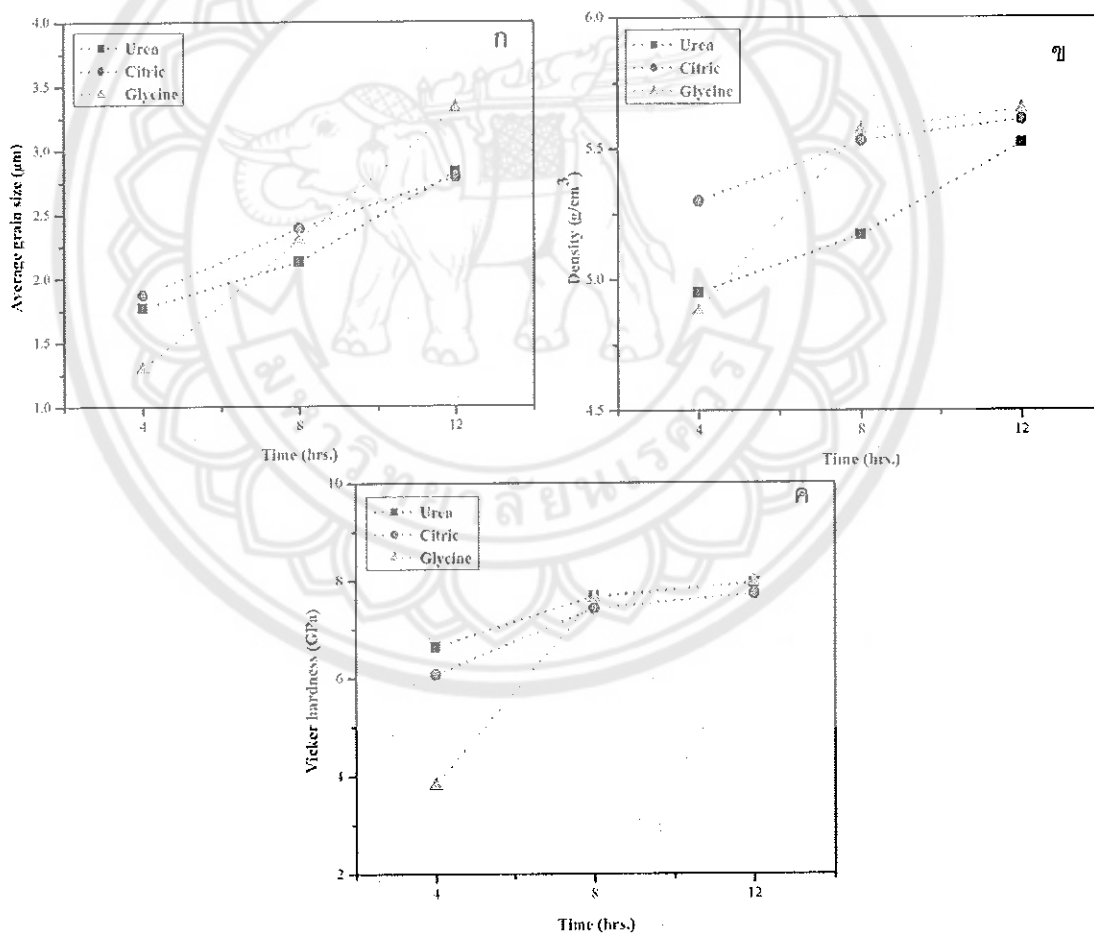


ภาพ 77 ภาพถ่ายด้วยกล้องจุลทรรศน์แสงกำลังขยาย 400 เท่าของรอยกดแบบวิกเกอร์  
ของเซรามิกแลนทานัมแมงกานีสออกไซด์ร่วมกับสารเชือเพลิงไกลซีน  
เผาชิ้นเตอร์ที่อุณหภูมิ 1300 องศาเซลเซียส เป็นเวลา (ก) 4 ชั่วโมง  
(ข) 8 ชั่วโมง และ (ค) 12 ชั่วโมง

ตาราง 13 แสดงค่าความแข็งระดับจุลภาคแบบวิกเกอร์ของเซรามิกแลนทานัม<sup>2</sup>  
แมงกานีสออกไซด์ร่วมกับสารเชือเพลิงไกลซีนที่อุณหภูมิ 1300  
องศาเซลเซียส เป็นเวลา 4 8 และ 12 ชั่วโมง

เวลาในการเผา (ชั่วโมง)	ค่าความแข็ง (GPa)
4	3.82±0.14
8	7.63±0.13
12	7.97±0.49

จากผลการวิเคราะห์เกณฑ์เฉลี่ย ค่าความหนาแน่น และความแข็งของเซรามิก แลนทานัมแมงกานีสออกไซด์ร่วมกับสารเชื้อเพลิงญูเรีย กรดซิตริก และไกลซีน เม็ดสินเตอร์ที่ อุณหภูมิ 1300 องศาเซลเซียส เป็นเวลา 4 8 และ 12 ชั่วโมง พนว่า เซรามิกที่เตรียมร่วมกับสาร เชื้อเพลิงทั้ง 3 ชนิด มีขนาดเกรน ค่าความหนาแน่น และค่าความแข็งค่อนข้างใกล้เคียงกันแต่เมื่อ ระยะเวลาในการเผาเพิ่มขึ้นที่ 12 ชั่วโมง พนว่าเซรามิกที่เตรียมร่วมกับสารเชื้อเพลิงไกลซีนนี้ ขนาดเกรน ค่าความหนาแน่น และค่าความแข็งสูงกว่า ญูเรียและซิตริกเพียงเล็กน้อย โดยพนว่าเมื่อ เกลาในการเผาเพิ่งสูงขึ้นขนาดเกรนจะลดลงสูงขึ้น ค่าความหนาแน่นสูงขึ้น และค่าความแข็งสูงขึ้น ซึ่งขนาดเกรนนั้นยังส่งผลต่อค่าความหนาแน่นเมื่อขนาดเกรนเฉลี่ยเพิ่มขึ้นส่งผลให้ค่าความ หนาแน่นของเซรามิกนั้นเพิ่มขึ้น และค่าความแข็งเพิ่มขึ้นดังภาพ 78



ภาพ 78 กราฟแสดง (ก) ขนาดเกรนเฉลี่ย (ข) ความหนาแน่น และ (ค) ความแข็งของเซรามิกแลนทานัมแมงกานีสออกไซด์ร่วมกับสารเชื้อเพลิงญูเรีย กรดซิตริก และไกลซีน ที่อุณหภูมิ 1300 องศาเซลเซียส เป็นเวลา 4 8 และ 12 ชั่วโมง

## บทที่ 5

### บทสรุป

#### สรุปผลการวิจัย

จากการศึกษาผลของผลึกแlenทานัมแมงกานีสออกไซด์ที่ไม่เติมสารเชือเพลิง และที่มีการเติมสารเชือเพลิงโดย กรณีติริก และไกลซีน พบร่วมกับตัวอย่างที่มีการเติมสารเชือเพลิงนั้นมีเปอร์เซ็นความบริสุทธิ์เพื่อรองฟลักไกต์เพิ่มขึ้นเมื่อปริมาณความเข้มข้นสารเชือเพลิงเพิ่มขึ้น และอุณหภูมิการเผาเคลือบเร็วขึ้น โดยพบความบริสุทธิ์เพื่อรองฟลักไกต์ของสารตัวอย่างที่มีการเติมสารเชือเพลิงในอัตราส่วน 1:0.3 โดยมีอุณหภูมิ 900 องศาเซลเซียส สอดคล้องกับฐานข้อมูล JCPDS: 50-0298 จากผลการวิเคราะห์โครงสร้างจุลภาคพบว่าอนุภาคมีลักษณะเป็นทรงกลม เกาะกลุ่มกันโดยมีขนาดอนุภาคมีลักษณะ 147.40-172.86 นาโนเมตร เมื่อคำนวณตามสมการ เชคเรอว์ได้ออนุภาคมีลักษณะ 33.52-37.13 นาโนเมตร

จากการศึกษาการสังเคราะห์เซรามิกแlenทานัมแมงกานีสออกไซด์ที่เติมสารเชือเพลิงในอัตราส่วน 1:0.3 โดยมีอุณหภูมิ 1000-1300 องศาเซลเซียส พบร่วมกับตัวอย่างที่เติร์ยมพร้อมกับสารเชือเพลิงโดย กรณีติริกและไกลซีน และคงโครงสร้างเพื่อรองฟลักไกต์แบบ รวมใบชีดวัล และพบว่าเมื่ออุณหภูมิการเผาตีนเตอร์ 1200 องศาเซลเซียสของเซรามิกที่เติมสารเชือเพลิงกรณีติริก และอุณหภูมิการเผาตีนเตอร์ 1300 องศาเซลเซียสของเซรามิกที่เติมสารเชือเพลิงโดยมีการเปลี่ยนโครงสร้างจากอนุภาคมีดีวัลเป็นออร์โกรอมบิค นอกจากนี้ยังเกิดเฟล็กกลอม  $\text{La}_2\text{MnO}_{4.15}$  ระหว่างเปลี่ยนโครงสร้าง สำหรับผลการวิเคราะห์โครงสร้างจุลภาคพบว่าขนาดเกณฑ์แนวโน้มเพิ่มขึ้นตามอุณหภูมิการเผาตีนเตอร์ โดยมีขนาดเกณฑ์แนวโน้มเพิ่มขึ้นอยู่ประมาณ 0.55-3.33 ไมโครเมตร นอกจากนี้เมื่อศึกษาสมบัติทางกายภาพของเซรามิกพบว่าค่าความหนาแน่นเพิ่มขึ้น ค่าร้อยละการลดตัวเพิ่มขึ้น และค่าความแข็งเพิ่มขึ้นเมื่ออุณหภูมิในการเผาตีนเตอร์ และเวลาในการเผาเชื้อเพลิงขึ้น ซึ่งส่งผลให้ค่าว้อยละความพูนลดลง

จากการวิจัยนี้จึงสรุปได้ว่าการสังเคราะห์เซรามิกแlenทานัมแมงกานีสออกไซด์ร่วมกับสารเชือเพลิงโดย กรณีติริก และไกลซีน พบร่วมกับตัวอย่างที่เติร์ยมร่วมกับเชือเพลิงไกลซีนไม่เกิดการเปลี่ยนโครงสร้างและไม่พบเฟล็กกลอมเมื่อเปลี่ยนอุณหภูมิการเผาตีนเตอร์เพิ่มขึ้น รวมถึงระยะเวลาในการเผาเชื้อเพลิงขึ้น ตั้งนั้นในงานวิจัยนี้จึงเลือกเซรามิกแlenทานัมแมงกานีสออกไซด์ที่เติร์ยมร่วมกับเชือเพลิงไกลซีนมาศึกษาและประยุกต์ใช้งานในด้านอื่น ๆ ต่อไป

## ข้อเสนอแนะ

1. จากการสังเคราะห์เซรามิกแลนทานัมแมงกานีสออกไซด์ได้พบความบกพร่องคือ ตัวอย่างที่เตรียมได้ไม่สามารถนำมาศึกษาค่าทางไฟฟ้าและอีสเตอริซได้ เนื่องจากไม่สามารถทำข้าวให้กับตัวอย่างได้ ดังนั้นจึงทำการแก้ไขไปเบื้องต้นคือเพิ่มความหนาของเม็ดเซรามิก และเปลี่ยนวิธีการทำข้าวให้กับชิ้นงานจากทักษิณเป็นโค๊ดทอง

2. จากการเตรียมตัวอย่างไปเบื้องต้นพบว่าวิธีที่ทำการแก้ไขไปนั้นยังไม่สามารถทำข้าวให้กับชิ้นงานได้ดังนั้นจึงคาดว่าเรื่องของชิ้นงานยังคงมีปัญหา อาจจะเกิดจากระยะเวลาในการเผาเช่นไม่เพียงพอหรืออุณหภูมิในการเผาไม่เพียงพอจึงได้เพิ่มระยะเวลาเผาเป็น 8 และ 12 ชั่วโมง

จากที่ได้ศึกษาและแก้ไขชิ้นงานของเซรามิกในการหาวิธีทำข้าวให้กับตัวอย่างไปเบื้องต้น น้ำหนักว่าไม่สามารถทำข้าวได้เช่นเดิมแต่พบว่าเมื่อเพิ่มระยะเวลาในการเผาของเซรามิกขึ้นนั้น ส่งผลให้เซรามิกมีสมบัติทางกายภาพที่ดีขึ้นโดยมีขนาดเกรนที่ใหญ่ขึ้นและมีความหนาแน่นสูงขึ้น ซึ่งสามารถกำจัดดูรุนได้ดีกว่าระยะเวลาในการเผาเช่น 4 ชั่วโมง ดังนั้นจึงได้คาดการณ์ว่าเมื่อระยะเวลาในการเผาเช่นสูงขึ้นอีกจะสามารถกำจัดดูรุนได้สูงขึ้นจึงเสนอแนวทางแก้ไขโดยการเพิ่มระยะเวลาในการเผาเช่นของเซรามิก



## บรรณานุกรม

1. B.L. Crushing. Recent Advances in the LiquidPhase Syntheses of Inorganic Nanoparticles. *Chemical Review.* 2004;104:3893-946.
2. R. Tan. Preparation of nanosized  $\text{LaCo}_x\text{Mn}_{1-x}\text{O}_3$  perovskite oxide using amorphous heteronuclear complex as a precursor. *Journal of Alloys and Compounds.* 2002;337:282-8.
3. M. Popa. Nanopowders of  $\text{LaMeO}_3$  perovskite obtainedby a solution-based ceramic processingtechnique. *Physica B.* 2002;327:233-6.
4. B.M. Nagabhushana. Low temperature synthesis, structural characterization, and zero-field resistivity of nanocrystalline  $\text{La}_{1-x}\text{Sr}_x\text{MnO}_{3+\delta}$  ( $0.0 \leq x \leq 0.3$ ) manganites. *Materials Research Bulletin.* 2006;41:1735-46.
5. Y. Tian.  $\text{La}_{1-x}\text{Sr}_x\text{MnO}_3$  ( $x = 0, 0.3, 0.5, 0.7$ ) Nanoparticles nearly freestanding in water: Preparation and magnetic properties. *Chemistry of Materials.* 2006;18:6088-90.
6. สุจิตรา วงศ์กษัณฑ์. วิทยาศาสตร์และเทคโนโลยี “กระบวนการไฮด์-เจล”.  
กุญแจพิมพ์แห่งจุฬาลงกรณ์มหาวิทยาลัย; 2552.
7. นพศิริ ไชยโย, และนราธิป วิทยากร. วิธีสังเคราะห์แบบเผาไฟมี. *วารสารวิทยาศาสตร์* ลาดกระบัง. 2554;20(1):45-59.
8. G.H. Haertling. Ferroelectric ceramic. *Journal of American Ceramic Society.* 1999;82:797-818.
9. A. Moulson. Electroceramic, Properties, apphlication. England: West Sussex PO19 8SQ; 2003.
10. C. Li. Formability of  $\text{ABO}_3$  perovskites. *Journal of Alloys and Compound.* 2004;372:40-8.
11. กฤช ไวยวานิชย์. สมบัติเพี่ยมใชอิเล็กซ์ทิริกของเลตเซอร์โคเนตไดตาเนตโดยด้วยออกไซด์ของธาตุแร่คิริท  $\text{La}_2\text{O}_3$ ,  $\text{Dy}_2\text{O}_3$  หรือ  $\text{Pr}_6\text{O}_{11}$ . กุญแจพิมพ์ มหาวิทยาลัยเกษตรศาสตร์; 2558.
12. แม่น ออมรสถี. หลักการและเทคนิคการวิเคราะห์เชิงเครื่องมือ: การเลี้ยงเบนนังสีเอกซ์. กุญแจพิมพ์ 50; 2552.
13. ศันสนีย์ รักไทยเจริญ. การวัดขนาดอนุภาคนาโนเมตรด้วย X-ray Diffraction. *วารสารกមนวิทยาศาสตร์บวิการ.* 2557;194:34-5.

14. กฤษณา ศิริเลิศมุกุล. กล้องจุลทรรศน์อิเล็กตรอนแบบส่องการดูและอุปกรณ์วิเคราะห์ราดูรังสีเอกซ์. ใน เครื่องมือวิจัยทางวัสดุศาสตร์: ทฤษฎีและการทำงานเบื้องต้น. กรุงเทพฯ: สำนักพิมพ์แห่งจุฬาลงกรณ์มหาวิทยาลัย; 2545.
15. สุกานดา เจียศิริสมบูรณ์. กระบวนการประดิษฐ์เซรามิกขั้นสูง. ใน เอกสารประกอบสอนรายวิชา ว.ว.ศ. 210443. เชียงใหม่: ภาควิชาพิสิกส์ คณะวิทยาศาสตร์ มหาวิทยาลัยเชียงใหม่; 2551.
16. ปราณี รัตนลักษณ์. การหาความหนาแน่นเดียวเครื่องใช้ไฟฟ้า. ในเครื่องมือวิจัยทางวัสดุศาสตร์: ทฤษฎีและการทำงานเบื้องต้น. กรุงเทพฯ: สำนักพิมพ์แห่งจุฬาลงกรณ์มหาวิทยาลัย; 2543.
17. Instructure Manual. Microhardness Tester MXT-  $\alpha$ 3, MXT-  $\alpha$  7, MXT-  $\alpha$  3e, MXT-  $\alpha$  7e. Japan: Matsuzawa Seiki; n.d.
18. William D., & Callister, Jr. Materials Science and Engineering. Utha: Department of Metallurgical Engineering The University of Utha; 2006.
19. Yuanyuan Li. The effect of citric acid to metal nitrates molar ratio on sol-gel combustion synthesis of nanocrystalline  $\text{LaMnO}_3$  powders. Journal of Alloys and Compounds. 2008;478:493–7.
20. สุจิตตรา แแดงสกุล. Synthesis and characterization of  $\text{LaMnO}_3$  nanoparticles by simple modified Sol-gel route. KKU Res J. 2008;13(1):81-9.
21. Maryam Shaterian. Synthesis, characterization and photocatalytic activity of  $\text{LaMnO}_3$  nanoparticles. Applied Surface Science. 2014;318:213-7.
22. P. S. Tola. Magnetic Properties and Magnetocaloric Effect of  $\text{LaMnO}_3$  Nanoparticles Prepared by Using the Sol-Gel Method. Journal of the Korean Physical Society. 2016;69:65-71.
23. Y. Regaieg. Rapid solid state synthesis by spark plasma sintering and magnetic properties of  $\text{LaMnO}_3$  perovskite manganite. Materials Letters. 2012;80:195-8.
24. Keiichi Katayama. Sintering and Electrical Conductivity of  $\text{La}_{1-x}\text{Sr}_x\text{MnO}_3$ . NipponSeramikkusu KyokaiGakujutsu Ronbunsh. 1989;97:1327-33.

25. Abdelilah Lahmar. Correlation between structure, dielectric and ferroelectric properties in  $\text{BiFeO}_3\text{-LaMnO}_3$  Solid solution thin film. *Journal of Applied Physics*. 2009;105.
26. Qifeng Shu. Solid-state Reaction for Preparation of Lanthanum Manganite. *High Temperature Materials and Processes*. 2005;24:169-74.
27. G.I. Supelano. Effect of Mg addition on  $\text{LaMnO}_3$  ceramic system. *J Mater Res Technol*. 2018;7(1):77-81.
28. Chuanhui Zhang.  $\text{LaMnO}_3$  perovskite oxides prepared by different methods for catalytic oxidation of toluene. *Applied Catalysis B*. 2013;148-149:490-8.
29. Ramzi H., Habib B. Combustion synthesisef crystalline La-Mn perovskite catalysts: Role of fuel molencule on thermal and chemical events. *Arabian Journal of Chemistry*. 2017.